



ประสิทชิผลในการใช้หลังคาปููกด้านไม้เพื่อลดความร้อนสำหรับสภาพภูมิอากาศร้อนชื้น

โดย
นายวรุฒิ ชนาวนิวัฒนา

วิทยานิพนธ์นี้เป็นส่วนหนึ่งของการศึกษาตามหลักสูตรปริญญาสาขาวิชาสถาปัตยกรรมศาสตรมหาบัณฑิต^๑
สาขาวิชาสถาปัตยกรรม
ภาควิชาสถาปัตยกรรม
บัณฑิตวิทยาลัย มหาวิทยาลัยศิลปากร
ปีการศึกษา 2552
ลิขสิทธิ์ของบัณฑิตวิทยาลัย มหาวิทยาลัยศิลปากร

ประสิทธิผลในการใช้หลังคาปููกต้านไม้เพื่อลดความร้อนสำหรับสภาพภูมิอากาศร้อนชื้น

โดย

นายวรุณิ ธนาวุฒิวัฒนา

วิทยานิพนธ์นี้เป็นส่วนหนึ่งของการศึกษาตามหลักสูตรปริญญาโทสาขาวิชาระบบทรัมมหาบัณฑิต
สาขาวิชาสถาปัตยกรรม
ภาควิชาสถาปัตยกรรม
บัณฑิตวิทยาลัย มหาวิทยาลัยศิลปากร
ปีการศึกษา 2552
ลิขสิทธิ์ของบัณฑิตวิทยาลัย มหาวิทยาลัยศิลปากร

**THE EFFICIENCY IN REDUCING HEAT GAIN BY USING GREEN ROOF
FOR HOT - HUMID CLIMATE**

By

Worawut Tanawutwattana

**A Thesis Submitted in Partial Fulfillment of the Requirements for the Degree
MASTER OF ARCHITECTURE
Department of Architecture
Graduate School
SILPAKORN UNIVERSITY
2009**

บัณฑิตวิทยาลัย มหาวิทยาลัยศิลปากร อนุมัติให้วิทยานิพนธ์เรื่อง “ ประสิทธิผลในการใช้หลังคาปvc ไม้เพื่อลดความร้อนสำหรับสภาพภูมิอากาศร้อนชื้น ” เสนอโดย นายวรุฒิ ธนาวุฒิวัฒนา เป็นส่วนหนึ่งของการศึกษาตามหลักสูตรปริญญาสถาปัตยกรรมศาสตรมหาบัณฑิต สาขาวิชาสถาปัตยกรรม

.....
(รองศาสตราจารย์ ดร.ศิริชัย ชินะตั้งกร)

คณบดีบัณฑิตวิทยาลัย
วันที่เดือน พ.ศ.

อาจารย์ที่ปรึกษาวิทยานิพนธ์
รองศาสตราจารย์ มาลินี ศรีสุวรรณ

คณะกรรมการตรวจสอบวิทยานิพนธ์

..... ประธานกรรมการ
(ผู้ช่วยศาสตราจารย์ ดร. พันธุศา พุฒิไพรจน)
...../...../.....

..... กรรมการ
(อาจารย์ ดร. ทศพล เขตเจนการ)
...../...../.....

..... กรรมการ กรรมการ

(ผู้ช่วยศาสตราจารย์ ดร. ปรีชญา มหาชนทวี) (รองศาสตราจารย์ มาลินี ศรีสุวรรณ)

...../...../...../...../.....

49054212 : สาขาวิชาสถาปัตยกรรม

คำสำคัญ : หลังคาเขียว / หลังคา / โปรแกรม EnergyPlus

วรวุฒิ ธนาวุฒิวัฒนา : ประสิทธิผลในการใช้หลังคาปลูกต้นไม้เพื่อลดความร้อนสำหรับสภาพภูมิอากาศร้อนชื้น. อาจารย์ที่ปรึกษาวิทยานิพนธ์ : รศ.มาลินี ศรีสุวรรณ. 202 หน้า.

หลังคาเป็นส่วนของเปลือกอาคารที่ได้รับความร้อนโดยตรงจากดวงอาทิตย์มากที่สุด เมื่อหลังคาถ่ายเทความร้อนเข้าสู่ภายในอาคาร ก็จะมีผลต่อการใช้พลังงานภายในอาคารลดอัตราการติดต่อสื่อสารระหว่างหลังคาและภายในอาคาร ดังนั้นจึงได้มีการนำวัสดุพืชพันธุ์มาใช้ปกคลุมหลังคาอาคาร เรียกว่า Green Roof (หลังคาเขียว)

วัตถุประสงค์ของงานวิจัยครั้งนี้ เพื่อศึกษาประสิทธิผลของการใช้ Green roof ใน การลดอุณหภูมิภายในอาคาร และลดการใช้พลังงานไฟฟ้าจากเครื่องปรับอากาศ และศึกษาตัวแปรของ Green roof ที่มีผลต่อการป้องกันความร้อนเข้าสู่อาคารผ่านทางหลังคา ในการวิจัยได้ทำการสร้างกล่องทดลองขนาด $1.20 \times 1.20 \times 1.20$ ม. จำนวน 4 กล่อง ประกอบด้วยหลังคา 4 ชนิด ได้แก่ หลังคา ค.ส.ล. หลังคา หลังคาเขียว (ดินปลูก 10 ซม.) หลังคาหลังคาหินอ่อน (ดินปลูก 10 ซม.) และ หลังคาหลังคาหินอ่อน (ดินปลูก 20 ซม.) จากนั้นทำการเก็บข้อมูลอุณหภูมิของกล่องทั้ง 4 กล่อง แล้วนำไปเปรียบเทียบกับการจำลองด้วยโปรแกรม EnergyPlus และหาต่าการใช้พลังงานของห้องทำงาน ขนาด $4.00 \times 6.00 \times 3.20$ ม.

ผลการทดลองด้วยกล่องทดลองจริง พบว่า หลังคาหลังคาหินอ่อน ดินปลูก 10 ซม. มีค่าอุณหภูมิผิวได้หลังคาเฉลี่ยในช่วงเวลากลางวันต่ำที่สุด โดยน้อยกว่าหลังคา ค.ส.ล. ถึง 7.3°C หรือลดลงประมาณ 23.7% ส่วนค่าอุณหภูมิอากาศภายในเฉลี่ยลดลงไป 2.4°C หรือประมาณ 8.5% ดังนั้นในกรณีไม่ปรับอากาศ หลังคาหลังคาหินอ่อน ซึ่งมีค่าดัชนีพื้นที่ใบ (Leaf area index) มากกว่าหลังคาเขียว สามารถลดอุณหภูมิผิวได้หลังคาและอุณหภูมิอากาศภายในอาคารได้ดีกว่า เมื่อปลูกในดินลึกเท่ากัน ส่วนผลการทดลองด้วยโปรแกรม EnergyPlus ของห้องทำงานนั้น พบว่า หลังคาหลังคาหินอ่อน ดินปลูก 20 ซม. จะมีค่าการใช้พลังงานไฟฟ้าน้อยที่สุด คือลดลงจากหลังคา ค.ส.ล. 21.5 % ต่อปี ดังนั้นกรณีปรับอากาศ หลังคาที่มีความลึกดินปลูกมากกว่า เมื่อปลูกพืชชนิดเดียวกัน จะมีค่าการใช้พลังงานไฟฟ้าต่ำกว่า

ดังนั้นสรุปได้ว่า Green roof ที่เหมาะสมกับอาคารที่ตั้งอยู่ในภูมิอากาศแบบร้อนชื้น ควรปลูกพืชที่มีใบหนาแน่น (ดัชนีพื้นที่ใบมาก) และควรเป็นอาคารที่มีการใช้เครื่องปรับอากาศ ในช่วงเวลากลางวันมากกว่ากลางคืน เช่น อาคารสำนักงาน อาคารเรียนในมหาวิทยาลัย เป็นต้น

49054212 : MAJOR : (ARCHITECTURE)

KEY WORD : GREEN ROOF / GRASS/ENERGYPLUS

WORAWUT TANAWUTWATTANA : THE EFFICIENCY IN REDUCING HEAT GAIN BY USING GREEN ROOF FOR HOT - HUMID CLIMATE. THESIS ADVISOR : ASSOC. PROF. MALINEE SRISUWAN. 202 pp.

The roof is part of the building where obtains the most of direct heat from the sun. Heat transfer inside the building could affect energy consumption and also thermal comfort of building user. Consequently, there is a method to cover the roof by plant called Green roof.

The objective of this research is to study the efficiency of Green roof to reduce building temperature and to decrease electricity consumption from air conditioner; and to analyze factors of Green roof which could protect heat gain from the roof into the building. The experiment consists of four model boxes of 1.20 x 1.20 x 1.20 meter each, representing four different roof types as follows: Concrete roof, Malaysia grass roof with 10 centimeter soil depth, Nuannoi grass roof with 10 centimeter soil depth and Malaysia grass roof with 20 centimeter soil depth. Temperature data has been collected to compare with the EnergyPlus program model and to find energy consumption of stimulated workshop room of 4.00 x 6.00 x 3.20 meter.

The result of this experiment is that Nuannoi grass roof with 10 centimeter soil depth has the lowest temperature under roof surface during daytime. The temperature is 7.3 degree Celsius less than Concrete roof or 23.7% decrease while the inside building temperature decrease at 2.4 degree Celsius or at 8.5%. In case of no air conditioning system, Nuannoi grass which has the leaf area index more than Malaysia grass can better reduce temperature under the roof surface at the similar depth of soil, as well as the temperature inside the building. The stimulation of workshop room by EnergyPlus Program shows that Nuannoi grass roof with 20 centimeter soil depth will consume the minimum of electricity energy by decreasing 21.5% of the consumption per year compare to Concrete roof. In case of building with air conditioning system, the same plant with more depth of soil will consume less electrical energy.

As a result, Green roof which is appropriate to buildings in tropical climate zone should have dense leaf (High Leaf area index) and should be the buildings which use air conditioning system during the day than during the night, for example, office building, classroom in university, etc.

กิตติกรรมประกาศ

วิทยานิพนธ์ฉบับนี้ สามารถสำเร็จลุล่วงไปได้ด้วยดี เนื่องจากได้รับคำแนะนำที่เป็นประโยชน์และความช่วยเหลือจากบุคคลเหล่านี้

ขอขอบคุณ รองศาสตราจารย์มาลินี ศรีสุวรรณ อาจารย์ที่ปรึกษาวิทยานิพนธ์ และผู้ช่วยศาสตราจารย์ ดร.ปรีชาญา มหัทธนทวี ที่ให้คำแนะนำและข้อคิดเห็นที่เป็นประโยชน์ในงานวิจัยมาโดยตลอด

ขอขอบคุณ ผู้ช่วยศาสตราจารย์ ดร.พันธุ์ด้า พุฒิไพรโจน ที่ให้ความอนุเคราะห์เครื่องมือในการทำวิจัย อิกทั้ง ให้คำแนะนำ คำปรึกษา ที่เป็นประโยชน์มาตลอดระยะเวลาที่ทำการศึกษา

ขอขอบคุณ อาจารย์ ดร. ทศพล เอกเจนการ ที่ให้คำแนะนำและข้อเสนอแนะที่เป็นประโยชน์ ทำให้งานวิจัยครั้งนี้สมบูรณ์มากยิ่งขึ้น

ขอขอบคุณ คุณพ่อ-คุณแม่ ที่ให้การสนับสนุนในทุกด้าน และให้กำลังใจเสมอมา

ขอขอบคุณ คุณไพศาล ปัญจพรผล ที่ให้ความอนุเคราะห์สถานที่ในการทดลอง และคอยช่วยเหลือตลอดระยะเวลาที่ทำการเก็บข้อมูล

ขอขอบคุณเจ้าหน้าที่ฝ่ายข้อมูล กรมอุตุนิยมวิทยา สถานีบางนา สำหรับข้อมูลอันเป็นประโยชน์ในงานวิจัย

ขอขอบคุณ เพื่อนร่วมหลักสูตรทุกๆคน สำหรับความช่วยเหลือที่มีให้กันมาตลอดระยะเวลาที่ทำการศึกษา

ขอขอบคุณ คุณตรีนุช เจริญ สำหรับความช่วยเหลือด้านภาษาต่างประเทศ

ขอบขอบคุณ คุณจงลักษณ์ ใจเมเลา สำหรับความช่วยเหลือด้านงานเอกสาร

ขอขอบคุณ อ.กฤตพง ลาภพิมล คณะสถาปัตยกรรมศาสตร์ มหาวิทยาลัยรังสิต ที่เคยเป็นกำลังใจ และคอยช่วยเหลือตลอดมา

สารบัญ

	หน้า
บทคัดย่อภาษาไทย	๑
บทคัดย่อภาษาอังกฤษ.....	๑
กิตติกรรมประกาศ	๒
สารบัญตาราง	๓
สารบัญภาพ	๗
สารบัญแผนภูมิ	๙
บทที่	
1 บทนำ.....	1
ความเป็นมาและความสำคัญของการศึกษา.....	1
ความมุ่งหมายและวัตถุประสงค์ของการศึกษา	3
สมมติฐานของการศึกษา	3
ขอบเขตของการศึกษา	3
วิธีการศึกษา	4
ประโยชน์ที่คาดว่าจะได้รับ.....	5
2 ทฤษฎีและงานวิจัยที่เกี่ยวข้อง.....	6
คำจำกัดความของ Green roof	6
ประโยชน์ของ Green roof	11
ส่วนประกอบของ Green roof	13
ข้อควรคำนึงถึง ปัญหาและข้อจำกัดของการใช้ Green roof	17
ทฤษฎีที่เกี่ยวข้อง	19
งานวิจัยที่เกี่ยวข้อง	30
ตัวอย่างอาคารกรณีศึกษา (Case Study)	38
การศึกษาการใช้พลังงานในอาคารที่ใช้ Green roof ด้วยโปรแกรม EnergyPlus	44
3 สมมติฐานและวิธีการวิจัย	48
สมมติฐานการวิจัย.....	48
ตัวแปรในการวิจัย.....	48
การแบ่งชุดการทดลอง	50

บทที่	หน้า
ชุดการทดลองที่ 1	51
ชุดการทดลองที่ 2	61
ชุดการทดลองที่ 3	68
ชุดการทดลองที่ 4	76
ชุดการทดลองที่ 5	78
4 ผลการวิจัยและการวิเคราะห์ข้อมูล	81
ผลการทดลองที่ 1	82
ผลการทดลองที่ 2	91
ผลการทดลองที่ 3	106
ผลการทดลองที่ 4	125
ผลการทดลองที่ 5	129
5 สรุปผลการวิจัยและข้อเสนอแนะ	134
สรุปผลการวิจัย	134
การนำผลการวิจัยไปประยุกต์ใช้ในงานออกแบบ	139
ข้อจำกัดในการวิจัย	139
ข้อเสนอแนะ	140
 บรรณานุกรม	 141
 ภาคผนวก	 143
 ประวัติผู้วิจัย	 202

สารบัญตาราง

ตารางที่		หน้า
1	แสดงการสรุปเปรียบเทียบ Intensive green roof และ Extensive green roof ..	8
2	สรุประยุทธ์ในการวิจัยต่างๆที่เกี่ยวข้อง.....	37
3	แสดงความลึกของдинปลูกและวัสดุพืชพันธุ์ที่ใช้ในตัวอย่างอาคารกรณีศึกษา....	43
4	แสดงรายการวัสดุที่ใช้ในชุดการทดลองที่ 2	65
5	แสดงรายการวัสดุที่ใช้ในชุดการทดลองที่ 3	73
6	แสดงรายละเอียดชนวนหุ้มรอบด้านด้วยอุณหภูมิเนียมฟอยล์ ที่นำมาใช้จำลอง	78
7	เปรียบเทียบอุณหภูมิผิวหลังคากาวยนอก วันที่ 15-17 มกราคม 2552.....	83
8	เปรียบเทียบอุณหภูมิผิวหลังคากาวยใน วันที่ 15-17 มกราคม 2552	85
9	เปรียบเทียบอุณหภูมิอากาศภายในกล่อง วันที่ 15-17 มกราคม 2552	87
10	เปรียบเทียบผลการทดลอง หลังคา ค.ส.ล. ระหว่างกล่องทดลองจริง กับโปรแกรม EnergyPlus วันที่ 15-17 มกราคม 2552	93
11	เปรียบเทียบผลการทดลอง หลังคาหลังมาเดเชีย (ดิน 10 ซม.) ระหว่างกล่อง ทดลองจริงกับโปรแกรม EnergyPlus วันที่ 15-17 มกราคม 2552	96
12	เปรียบเทียบผลการทดลอง หลังคาหลังมาวนน้อย (ดิน 10 ซม.) ระหว่างกล่อง ทดลองจริงกับโปรแกรม EnergyPlus วันที่ 15-17 มกราคม 2552	99
13	เปรียบเทียบผลการทดลอง หลังคาหลังมาเดเชีย (ดิน 20 ซม.) ระหว่างกล่อง ทดลองจริงกับโปรแกรม EnergyPlus วันที่ 15-17 มกราคม 2552	102
14	เปรียบเทียบอุณหภูมิผิวหลังคากาวยนอก วันที่ 15-17 เมษายน.....	109
15	เปรียบเทียบอุณหภูมิผิวหลังคากาวยนอก วันที่ 15-17 สิงหาคม.....	109
16	เปรียบเทียบอุณหภูมิผิวหลังคากาวยนอก วันที่ 15-17 ธันวาคม.....	110
17	เปรียบเทียบอุณหภูมิผิวได้หลังคา วันที่ 15-17 เมษายน	115
18	เปรียบเทียบอุณหภูมิผิวได้หลังคา วันที่ 15-17 สิงหาคม	115
19	เปรียบเทียบอุณหภูมิผิวได้หลังคา วันที่ 15-17 ธันวาคม	116
20	เปรียบเทียบอุณหภูมิอากาศภายใน วันที่ 15-17 เมษายน.....	121
21	เปรียบเทียบอุณหภูมิอากาศภายใน วันที่ 15-17 สิงหาคม	121
22	เปรียบเทียบอุณหภูมิอากาศภายใน วันที่ 15-17 ธันวาคม.....	122
23	แสดงรายละเอียดค่าไฟฟ้าต่อเดือนของอาคารสำนักงานแห่งหนึ่ง	126

ตารางที่		หน้า
24	เปรียบเทียบค่าพลังงานไฟฟ้าจากเครื่องปรับอากาศ ของหลังคาชนิดต่างๆ.....	127
25	เปรียบเทียบราคาค่าวัสดุและค่าแรงติดตั้งต่อตร.ม. ระหว่างการใช้ชั่วโมง กับการใช้หลังคาปูกลหิน (ดิน 20 ซม.).....	130
26	เปรียบเทียบค่าพลังงานไฟฟ้าจากเครื่องปรับอากาศ ของหลังคาที่ใช้ชั่วโมง ชนิดต่างๆกับหลังคาหินอ่อนน้อย ดิน 20 ซม.....	132

สารบัญภาพ

ภาพที่		หน้า
1	ภาพเมืองที่มีความเจริญเติบโตมากและเต็มไปด้วยสิ่งก่อสร้าง	1
2	ภาพจำลองเมือง New York ที่อาคารทุกหลังใช้ Green roof	2
3	ภาพแสดงตัวอย่าง Intensive green roof	6
4	ภาพแสดงตัวอย่าง Extensive green roof	7
5	ภาพแสดงหลังคาปูกระถางของบ้านหลายหลังที่เห็นในหมู่บ้าน Bor และเกาะฟาร์โอล (Faroe Islands)	9
6	ภาพ Green roof บนหลังคาอาคาร Chicago City Hall	10
7	แสดงรูปตัดขวาง Extensive green roof	11
8	รูปตัดแสดงส่วนประกอบของ Green roof	13
9	แสดงขั้นตอนการติดตั้งวัสดุกันน้ำซึม (Water Proof Membrane)	14
10	Glass cell ทำจากพลาสติก โครงสร้างเหมือนรากผึ้ง (Honeycomb)	15
11	แผ่นไยกรองดิน Enkadrane (ซ้าย) และแผ่น Geotech (ขวา)	16
12	แสดงการติดตั้งวัสดุปูกระถางและพืชพันธุ์	17
13	Solar Radiation Control	23
14	หญ้าแพรก	26
15	หญ้าสูงปูนและหญ้านวนน้อย	27
16	หญ้าเซนต์ออกัสติน	27
17	หญ้าเซนติปีด	28
18	หญ้ามาเลเซีย	28
19	หญ้าบราเซีย	29
20	หญ้านวลจันทร์	29
21	แสดงกล่องทดลองในงานวิจัย	32
22	แสดงอาคารจอดรถที่ใช้เป็นสถานที่ในงานวิจัย	34
23	แสดง Graphic ของหลังคานำการทดลอง	35
24	อาคาร Osaka Municipal Central Gymnasium	38
25	อาคาร ACROS Fukuoka	39
26	แสดงรูปตัด ACROS Fukuoka	40

ภาพที่		หน้า
27	แสดงทัศนียภาพภายนอกอาคาร ACROS Fukuoka	40
28	อาคาร Chicago City Hall	41
29	อาคาร Vastra Hamnen.....	42
30	ภาพแสดงหลังคาเขียวบนอาคารชุดพักผ่อนการ์เดนคลิฟ 2 พัทยา.....	44
31	แสดงหน้าต่างในการ Input ข้อมูล ของโปรแกรม EnergyPlus	46
32	แสดงตัวอย่างค่า Leaf Area Index	47
33	หน้ากว้างน้อยและหน้ามาเลเซีย	49
34	แสดงอาคารที่ตั้งกล่องทดลอง.....	52
35	แสดงบริเวณพื้นคาดฟ้าของอาคารที่จะใช้ในการทดสอบ	52
36	แสดงเครื่องมือ Data Logger รุ่น Testo 177 (สีดำ) และ Testo 175 (สีขาว).....	53
37	แสดงรูปตัดข่ายของกล่องทดลองแบบต่างๆ	54
38	แสดงตำแหน่งที่วัดอุณหภูมิของกล่องทดลอง	55
39	แสดงตำแหน่งการวางกล่องทดลองบนคาดฟ้าอาคาร	56
40	แสดงตำแหน่งการวางกล่องทดลองและจำลองทิศทางแสงแดดที่เกิดขึ้น.....	57
41	แสดงกล่องทดลองที่สร้างจริง.....	58
42	แสดงกล่องทดลองที่ 1 (หลังคา ค.ส.ล.)	58
43	แสดงกล่องทดลองที่ 2 (หลังคาหน้ากว้างน้อย ความลึกดิน 10 ซม.)	59
44	แสดงกล่องทดลองที่ 3 (หลังคาหน้ากว้างน้อย ความลึกดิน 10 ซม.).....	59
45	แสดงกล่องทดลองที่ 4 (หลังคาหน้ามาเลเซีย ความลึกดิน 20 ซม.)	60
46	แสดงเส้นรอบรูปของใบ และค่าพื้นที่ใบที่วัดได้จากโปรแกรม Autocad.....	62
47	แสดงรูปตัดข่ายของกล่องทดลอง ที่จำลองด้วยโปรแกรม Energyplus	63
48	แสดงการแบ่ง Surface ของกล่องทดลอง แสดงผลเป็น 3D ด้วยโปรแกรม Sketch up	66
49	แสดงภาพจำลองอาคารสำนักงานสูง 5 ชั้น ที่จะนำมาใช้ทดสอบ ด้วยโปรแกรม EnergyPlus.....	69
50	แสดงแบบแปลนห้องทำงานของอาคารสำนักงานสูง 5 ชั้น ที่จะนำมาใช้ทดสอบ ด้วยโปรแกรม EnergyPlus	70
51	แสดงแบบข่ายห้องทำงานที่จะนำมาใช้ทดสอบด้วยโปรแกรม EnergyPlus	71

ภาคที่		หน้า
52	แสดงการแบ่ง Surface ของห้องทำงาน แสดงผลเป็น 3D ด้วยโปรแกรม Sketch up.....	74
53	ชนวนหุ่มรอบด้านด้วยแผ่นอลูมิเนียมฟอยล์.....	79

สารบัญแผนภูมิ

แผนภูมิที่		หน้า
1	เปรียบเทียบคุณภาพมิผิวหลังคาภายในอก ระหว่างวันที่ 15-17 มกราคม 2552	82
2	เปรียบเทียบคุณภาพมิผิวหลังคาภายในอก วันที่ 16 มกราคม 2552.....	82
3	เปรียบเทียบคุณภาพมิผิวหลังคาภายใน ระหว่างวันที่ 15-17 มกราคม 2552	84
4	เปรียบเทียบคุณภาพมิผิวหลังคาภายใน วันที่ 16 มกราคม 2552.....	84
5	เปรียบเทียบคุณภาพมิօากาศภายในกล่อง ระหว่างวันที่ 15-17 มกราคม 2552 ...	86
6	เปรียบเทียบคุณภาพมิօากาศภายในกล่อง วันที่ 16 มกราคม 2552.....	86
7	เปรียบเทียบคุณภาพมิօากาศจากแหล่งข้อมูลต่างๆ	89
8	เปรียบเทียบผลการทดลองของหลังคา ค.ส.ล. ระหว่างกล่องทดลองจริง กับโปรแกรม EnergyPlus วันที่ 15-17 มกราคม 2552	91
9	เปรียบเทียบค่าคุณภาพมิเฉลี่ยเวลากลางวัน (9.00-18.00 น.) ของหลังคา ค.ส.ล. ระหว่างกล่องทดลองจริงกับโปรแกรม EnergyPlus วันที่ 15-17 มกราคม 2552	92
10	เปรียบเทียบผลการทดลองของหลังคาหน้ามاءเดียว (ดิน 10 ซม.)ระหว่าง กล่องทดลองจริงกับโปรแกรม EnergyPlus วันที่ 15-17 มกราคม 2552	94
11	เปรียบเทียบค่าคุณภาพมิเฉลี่ยเวลากลางวัน (9.00-18.00 น.) ของหลังคาหน้า มาเดียว (ดิน 10 ซม.)ระหว่างกล่องทดลองจริงกับโปรแกรม EnergyPlus วันที่ 15-17 มกราคม 2552	95
12	เปรียบเทียบผลการทดลองของหลังคาหน้าวนลั่นอย (ดิน 10 ซม.) ระหว่าง กล่องทดลองจริงกับโปรแกรม EnergyPlus วันที่ 15-17 มกราคม 2552	97
13	เปรียบเทียบค่าคุณภาพมิเฉลี่ยเวลากลางวัน (9.00-18.00 น.) ของหลังคาหน้า วนลั่นอย (ดิน 10 ซม.)ระหว่างกล่องทดลองจริงกับโปรแกรม EnergyPlus วันที่ 15-17 มกราคม 2552	98
14	เปรียบเทียบผลการทดลองของหลังคาหน้ามاءเดียว (ดิน 20 ซม.).ระหว่าง กล่องทดลองจริงกับโปรแกรม EnergyPlus วันที่ 15-17 มกราคม 2552	100
15	เปรียบเทียบค่าคุณภาพมิเฉลี่ยเวลากลางวัน (9.00-18.00 น.) ของหลังคาหน้า มาเดียว (ดิน 20 ซม.).ระหว่างกล่องทดลองจริงกับโปรแกรม EnergyPlus วันที่ 15-17 มกราคม 2552	101

แผนภูมิที่		หน้า
16	เปรียบเทียบอุณหภูมิผิวหลังคากายนอก ระหว่างวันที่ 15-17	106
17	เปรียบเทียบอุณหภูมิผิวหลังคากายนอก วันที่ 16	107
18	เปรียบเทียบอุณหภูมิผิวหลังคากายนอก เฉลี่ยเวลากลางวัน (9.00-18.00 น.) ระหว่างวันที่ 15-17	108
19	เปรียบเทียบอุณหภูมิผิวได้หลังคากา ระหว่างวันที่ 15-17	112
20	เปรียบเทียบอุณหภูมิผิวได้หลังคากา วันที่ 16	113
21	เปรียบเทียบอุณหภูมิผิวได้หลังคากา เฉลี่ยเวลากลางวัน (9.00-18.00 น.) ระหว่างวันที่ 15-17	114
22	เปรียบเทียบอุณหภูมิอากาศภายใน ระหว่างวันที่ 15-17	118
23	เปรียบเทียบอุณหภูมิอากาศภายใน วันที่ 16	119
24	เปรียบเทียบอุณหภูมิอากาศภายในเฉลี่ยเวลากลางวัน (9.00-18.00 น.) ระหว่างวันที่ 15-17	120
25	เปรียบเทียบค่าพลังงานไฟฟ้าจากเครื่องปรับอากาศ ของหลังคาชนิดต่างๆ	125
26	เปรียบเทียบค่าพลังงานไฟฟ้าจากเครื่องปรับอากาศ ของหลังคาที่ใช้ชนวน ชนิดต่างๆ กับหลังคากันสา่นวนน้อย ดิน 20 ซม.....	129

บทที่ 1

บทนำ

1. ความเป็นมาและความสำคัญของการศึกษา

ในอดีต ผู้คนเห็นความสำคัญและเคารพธรมชาติ เรียนรู้ที่จะอยู่ร่วมกับธรมชาติและรักษาธรมชาติได้อย่างเหมาะสม แต่เมื่อมีการพัฒนาเทคโนโลยี ความสะดวกสบายเริ่มมีมากขึ้น ความสัมพันธ์ของมนุษย์กับธรมชาติก็เริ่มลดลง การเจริญเติบโตของเมืองและการก่อสร้างเพื่อรองรับการขยายตัวของประชากร มีผลทำให้พื้นที่เปิดโล่งและพื้นที่สีเขียวลดน้อยลง สิ่งก่อสร้างที่มีมากขึ้น ซึ่งส่งผลกระทบโดยตรงต่อสภาพแวดล้อมทางธรรมชาติ



ภาพที่ 1 ภาพเมืองที่มีความเจริญเติบโตมากและเต็มไปด้วยสิ่งก่อสร้าง

ที่มา : [New York City \[online\]](#), Accessed 20 February 2007.

Available from management.journaldunet.com/.../new_york/1.shtml

ในด้านของสถาปัตยกรรม เพื่อการอนรักษาพลังงานน้ำ นอกเหนือจากการออกแบบ เพื่อให้อาคารใช้พลังงานน้อยที่สุดหรือมีประสิทธิภาพมากที่สุด ต้องคำนึงถึงสภาวะน้ำท่วมของผู้ใช้อาคารและวิธีการป้องกันความร้อนจากภัย nokokakarawen@hotmai.com เข้าสู่ภายในอาคาร

หลังคาเป็นส่วนของเปลือกอาคารที่ได้รับความร้อนโดยตรงจากดวงอาทิตย์มากที่สุด เมื่อหลังคาสะสมความร้อนไว้จนมีอุณหภูมิสูงระดับหนึ่ง ก็จะถ่ายเทความร้อนเข้าสู่ภายในอาคาร และสภาพแวดล้อมโดยรอบที่มีอุณหภูมิต่ำกว่า ทำให้มีผลต่อการใช้พลังงานภายในอาคาร ตลอดจนสภาวะน้ำท่วมทางอุณหภูมิของผู้ใช้อาคาร ดังนั้นหากมีการป้องกันความร้อนให้กับ

หลังคาอาคารที่ดี ไม่ว่าจะเป็นการเลือกใช้วัสดุหลังคาที่มีความเหมาะสม หรือใช้วัสดุคุณภาพหลังคา อาคาร ก็จะช่วยลดภาระการใช้พลังงานในการปรับอากาศภายในอาคารลงได้

ดังนั้นเพื่อแก้ปัญหาการใช้พลังงานสิ่งปลูกสร้างของอาคาร ภายใต้แนวคิดที่เป็นมิตรกับสิ่งแวดล้อม จึงได้มีการคิดที่จะนำวัสดุพืชพันธุ์มาใช้ปูคลุมหลังคาอาคาร ซึ่งเรียกว่า Green Roof

สารานุกรมเสรีทางอินเตอร์เน็ต "Wikipedia" ได้ให้ความหมายของ Green roof เป็นภาษาไทยว่า “หลังคาเขียว” หมายถึง หลังคาของอาคารที่ปิดทับบางส่วนหรือทั้งหมดด้วยพืชพันธุ์ และดิน หรือเครื่องปูฐอย่างอื่นบนชั้นแผ่นกันน้ำ ในที่นี้ไม่ได้หมายถึงหลังคาที่ทาด้วยสีเขียว หรือวัสดุมุงสีเขียวใดๆ หลังคาเขียวอาจรวมส่วนประกอบอื่น เช่น แผ่นชั้นกันราก ระบบระบายน้ำ และระบบระดับน้ำต้นไม้

Green Roof ไม่ใช่มีประโยชน์เพียงการป้องกันหลังคา ไม่ให้ได้รับอิทธิพลจากการแพร่กระจายของควาทริตติโดยตรงเท่านั้น แต่เป็นการป้องกันความร้อนที่จะเข้าสู่อาคารผ่านทางหลังคา เนื่องจากพืชพันธุ์ที่ปูคลุมหลังคานั้น จะทำหน้าที่ดูดซับแสงอาทิตย์ เพื่อนำไปใช้ในกระบวนการสังเคราะห์แสง นอกจากนี้หากมองในแง่ของเมืองแล้ว การที่หลังคาของอาคารต่างๆ มีพืชสีเขียวปูคลุมทั้งหมดนั้น ก็จะเป็นการช่วยลดอุณหภูมิของเมืองลงอีกด้วย



ภาพที่ 2 ภาพจำลองเมือง New York ที่อาคารทุกหลังใช้ Green roof

ที่มา : [Green Roof \[online\]](#), Accessed 23 November 2006.

Available from www.greenroofs.com

แม้ว่า Green roof จะไม่ใช่เรื่องใหม่ แต่ข้อมูลทางการศึกษาและการทดลองเรื่อง Green roof ในแง่ของผลกระทบต่อสิ่งแวดล้อมในประเทศไทยยังมีจำกัด และมีปัญหาที่ไม่อาจคาดเดาได้ ดังนั้นหากมีการทำการศึกษาวิจัยถึงประสิทธิผลในการนำ Green Roof มาใช้กับ

อาคารในประเทศไทยมากขึ้น ก็จะช่วยให้ สถาปนิก วิศวกร และผู้ที่เกี่ยวข้อง สามารถมีแนวทางในการนำ Green roof ไปใช้ได้อย่างมีประสิทธิภาพและเกิดประโยชน์สูงสุดต่อไป

2. ความมุ่งหมายและวัตถุประสงค์ของการศึกษา

1. เพื่อศึกษาประสิทธิผลของการใช้ Green roof ใน การป้องกันความร้อนเข้าสู่อาคาร ที่ตั้งอยู่ในสภาพภูมิอากาศร้อนชื้น
2. เพื่อศึกษาตัวแปรที่เกี่ยวข้องกับ Green roof ซึ่งมีผลต่อการป้องกันความร้อนเข้าสู่ อาคารผ่านทางหลังคา เช่น ความหนาของดินปลูก ชนิดของพืชพันธุ์ เป็นต้น
3. เพื่อศึกษาประสิทธิผลของการใช้ Green roof ใน การลดการใช้พลังงานจาก เครื่องปรับอากาศ

3. สมมติฐานของการศึกษา

1. หลังคadata ฟ้าอาคารที่มีการใช้พืชพันธุ์และดินปกคลุม จะมีค่าอุณหภูมิที่ผิวสุดทั้ง ภายนอกและภายใน ต่ำกว่าหลังคadata ฟ้า ค.ส.ล.
2. หลังคadata ฟ้าอาคารที่มีการใช้พืชพันธุ์และดินปกคลุม จะมีค่าอุณหภูมิอากาศ ภายในอาคารต่ำกว่า หลังคadata ฟ้าอาคาร ค.ส.ล.
3. หลังคath ปลูกพืชชนิดเดียวกัน แต่มีความลึกดินปลูกต่างกัน หลังคath มีความลึกดิน ปลูกมากกว่า จะมีค่าอุณหภูมิผิวได้หลังคและอุณหภูมิอากาศภายในอาคารต่ำกว่าหลังคath มีชั้น ความลึกดินปลูกน้อยกว่า
4. หลังคath ปลูกพืชต่างชนิดกันในดินที่มีความลึกเท่ากัน พืชที่มีความหนาแน่นของใบ มากที่สุด จะสร้างร่มเงาให้กับผิวดินมากที่สุด มีผลทำให้อุณหภูมิผิวได้หลังคต่ำที่สุด

4. ขอบเขตของการศึกษา

1. ศึกษาเบริยบเทียบความแตกต่างของอุณหภูมิผิวหลังค า อุณหภูมิอากาศภายใน อาคาร ระหว่างการใช้หลังค า ค.ส.ล. กับการใช้หลังค าปลูกพืชคลุมดินชนิดต่างๆ
2. ศึกษาเบริยบเทียบผลของการใช้ Green roof กับอาคารสำนักงาน ในด้านอุณหภูมิ และการใช้พลังงาน โดยทำการศึกษา 2 กรณี คือ
 - 2.1 กรณีไม่ปรับอากาศ
 - 2.2 กรณีปรับอากาศ ในช่วงเวลา 9.00 – 18.00 น. (กำหนดตามช่วงเวลาการใช้งาน ของอาคารสำนักงานทั่วไป)

3. กำหนดสถานที่ทำการศึกษาและเก็บข้อมูลทดลอง ที่จังหวัดกรุงเทพมหานคร

5. วิธีการศึกษา

1. การเก็บรวบรวมข้อมูลจากเอกสารที่เกี่ยวข้อง เพื่อใช้เป็นข้อมูลเบื้องต้น

1.1 ศึกษาค้นคว้าทฤษฎี งานวิจัย ที่เกี่ยวข้องกับ Green roof ทั้งในประเทศไทยและต่างประเทศ

1.2 ศึกษาข้อมูลตัวอย่าง จากอาคารกรณีศึกษา

2. กำหนดตัวแปรที่ใช้ในการศึกษา ดังนี้

2.1 ตัวแปรอิสระ

รูปแบบของหลังคา ได้แก่ หลังคา Green roof และ หลังคา ค.ส.ล. ความลึกของดินปลูก ชนิดและความหนาแน่นของใบพืชที่ปลูก

2.2 ตัวแปรตาม

อุณหภูมิผิวนอก หลังคา อุณหภูมิผิวใต้หลังคา อุณหภูมิอากาศภายในอาคาร และค่าการใช้พลังงานไฟฟ้าจากเครื่องปรับอากาศ

2.3 ตัวแปรควบคุม

สถานที่ตั้ง สภาพแวดล้อม ระยะเวลาการใช้งานอาคาร ค่าความชื้นในดิน

3. ศึกษาวิธีการที่จะนำมาใช้ในการทดลอง

4. การทดลอง

4.1 ทำการสร้างหุ่นจำลอง Green roof เพื่อทำการเก็บข้อมูล

4.2 ทำการจำลอง Green Roof ด้วยโปรแกรม EnergyPlus

5. กรณีศึกษา

5.1 ประสิทธิผลในการลดอุณหภูมิผิวหลังคา และอุณหภูมิอากาศภายใน กรณีไม่ปรับอากาศ

5.2 ประสิทธิผลในการลดอุณหภูมิผิวหลังคา และอุณหภูมิอากาศภายใน กรณีปรับอากาศ

5.3 ประสิทธิผลในการลดการใช้พลังงานไฟฟ้าจากเครื่องปรับอากาศ

6. สรุปผลการศึกษา

6. ประโยชน์ที่คาดว่าจะได้รับ

1. ทราบอิทธิพลของตัวแปร เช่น ความหนาแน่นใน ความลึกดินปลูก มีผลต่ออุณหภูมิผิวด้านล่างหลังคาอาคารอย่างไร
2. ทราบแนวทางในการใช้ Green roof เพื่อลดการถ่ายเทความร้อนผ่านหลังคาอาคาร ที่ทำให้อุณหภูมิผิวใต้หลังคาต่ำที่สุด
3. ทราบถึงประสิทธิภาพการลดการใช้พลังงานไฟฟ้าจากเครื่องปรับอากาศในอาคารที่ใช้ Green roof
4. นำผลที่ได้ไปขยายผลเพื่อหารูปแบบของ Green roof ที่เหมาะสมกับสภาพภูมิอากาศร้อนชื้นของประเทศไทยต่อไป

บทที่ 2

ทฤษฎีและงานวิจัยที่เกี่ยวข้อง

1. คำจำกัดความของ Green roof¹

ความหมายของ Green roof หรือ “หลังคาเขียว” อาจแบ่งออกได้เป็น 2 กลุ่มใหญ่ๆ คือ

1.1 Green roof ในแง่ของเทคโนโลยีอาคาร เน้นที่การทดลองวัสดุก่อสร้างและเทคโนโลยีสมัยใหม่ที่ช่วยลดอุณหภูมิ ลดการใช้พลังงาน สร้างภาวะน่าสบายน ส่งเสริมแนวความคิดของการพัฒนาอย่างยั่งยืนในรูปแบบของสถาปัตยกรรมสีเขียว (Green architecture) เน้นที่เทคโนโลยีในการออกแบบก่อสร้างงานสถาปัตยกรรม ที่คำนึงถึงการลดผลกระทบต่อสภาพแวดล้อม

1.2 Green roof ที่หมายถึง หลังคาที่เป็นสีเขียวจากการมีพืชพันธุ์ปกคลุมอยู่ข้างบน ไม่ว่าจะเป็นพืชพันธุ์ในลักษณะพืชคลุมดิน ไม้เลี้ยงหรือลักษณะใดๆ ก็ตาม โดยเน้นที่การคำนึงถึงผลกระทบต่อสภาพแวดล้อมโดยตรง นอกเหนือไปจากการสร้างสภาพแวดล้อมน่าสบายน และการลดการใช้พลังงานของอาคาร ซึ่งอาจแบ่งได้เป็น 2 ประเภท คือ

1.2.1 Intensive green roof คือ Green roof ที่มุ่งเน้นประโยชน์ใช้สอย เช่น ใช้เป็นสวนหลังคา (Roof garden) หรือ พื้นที่นันทนาการของอาคาร หลังคาที่จัดอยู่ในรูปแบบนี้จะมีน้ำหนัก 1,500-3,000 กิโลกรัม/ตารางเมตร และต้องการการดูแลรักษามากกว่า (ภาพที่ 3)



ภาพที่ 3 ภาพแสดงตัวอย่าง Intensive green roof

ที่มา : [Green Roof \[online\]](#), Accessed 16 November 2007.

Available from www.greenroofs.com

¹ กนกวนิช ศุภิธร, หลังคาเขียว ทางเลือกเพื่อการกำจัดน้ำฝน (กรุงเทพมหานคร : คณะสถาปัตยกรรมศาสตร์ จุฬาลงกรณ์มหาวิทยาลัย, 2548) , 3-5

1.2.2 Extensive green roof คือ Green roof ที่เน้นประโยชน์ทางด้านสิ่งแวดล้อม เป็น Green roof ที่มีความลึกดิน 1-5 นิ้ว และมีน้ำหนักประมาณ 300-1,000 กิโลกรัม/ตารางเมตร ใช้พืชพันธุ์ขนาดเล็ก เช่น หญ้า หรือพืชคลุมดินที่ไม่โตและไม่ต้องการดินมากนัก (ภาพที่ 4)



ภาพที่ 4 ภาพแสดงตัวอย่าง Extensive green roof

ที่มา : [Green Roof \[online\]](#), Accessed 16 November 2007.

Available from www.greenroofs.com

หลังคาเขียวในยุคแรกหรือหลังคาเขียวในรูปแบบที่เรียบง่ายที่สุด อาจเป็นการวางแผนไม่กระถางบนพื้นที่คาดฟ้า ทั้งเพื่อความสวยงาม ช่วยลดความร้อนและลดแสงสะท้อนจากพื้นดิน แข็งบนหลังคา หากแต่ว่าเป็นหลังคาเขียวที่มีขนาดเล็กหรือมีพืชพันธุ์ในปริมาณจำกัดและอาจไม่ให้ผลในการลดอุณหภูมิที่เด่นชัดนัก

ส่วนหลังคาเขียวสมัยใหม่นั้น สร้างขึ้นตามระบบแผ่นชั้นที่ทำขึ้นจำนวนมากโดยบริษัทผู้ผลิตที่จงใจทำขึ้นเฉพาะเพื่อใช้วางบนหลังคาสำหรับรองรับวัสดุปลูกพืชและตัวพืชที่จะปลูก นับเป็นปรากฏการณ์ใหม่ เทคโนโลยีนี้พัฒนาขึ้นในประเทศไทยมีปี พ.ศ. 2508 และได้เผยแพร่หลายไปทั่วประเทศนับแต่นั้นมา ปัจจุบัน ประมาณว่าร้อยละ 10 ของหลังคาอาคารในประเทศไทยมีเป็น “หลังคาเขียว” หลังคาเขียวกำลังได้รับความนิยมเพิ่มขึ้นอย่างรวดเร็วในสหราชอาณาจักร ไม่มากเท่าในยุโรป

ตารางที่ 1 แสดงการสรุปเปรียบเทียบ Intensive green roof และ Extensive green roof

Intensive Green roof	Extensive Green roof
ข้อดี <ul style="list-style-type: none"> ▪ ปลูกพืชพันธุ์ได้ หลากหลาย ▪ มีคุณสมบัติการเป็นอนุวัติที่ดี ▪ มีความสวยงาม ▪ ปรับเปลี่ยนรูปแบบการใช้สอยได้ หลากหลาย 	ข้อดี <ul style="list-style-type: none"> ▪ โครงสร้างมีน้ำหนักเบา ▪ รองรับ slope หลังคาตั้งแต่ 0-30° ▪ ดูกลมกลืนกับธรรมชาติ ▪ สามารถปล่อยพืชพันธุ์เดิมได้ ▪ ค่าบำรุงรักษาต่ำ
ข้อด้อย <ul style="list-style-type: none"> ▪ น้ำหนักมาก ▪ ต้องการระบบการระบายน้ำที่ดี ▪ ราคาสูง ▪ ระบบมีความซับซ้อน ต้องใช้ผู้ชำนาญ 	ข้อด้อย <ul style="list-style-type: none"> ▪ พืชพันธุ์ที่ปลูกมีจำกัด ▪ ไม่สามารถใช้สอยพื้นที่หลังคาได้

ที่มา : Jacklyn Johnston and John Newton, Building Green a guide to using plants on roofs walls and pavements, (London: Ecology Unit, 1993), 54.

สารานุกรมเสรีทางอินเตอร์เน็ต “Wikipedia” ได้อธิบายเพิ่มเติมไว้ว่า หลังคาเขียวส่วนใหญ่ ถูกสร้างให้เป็นไปตามข้อบัญญัติท่องถิ่นซึ่งให้ความสำคัญแก่การจัดการการระบายน้ำฝน ในพื้นที่ที่ใช้ระบบระบายน้ำรวม (รวมน้ำโสโครกและน้ำฝนไว้ในท่อเดียวกัน - Combined sewer-stormwater systems) ซึ่งน้ำฝนที่มากผิดปกติจะทำให้เกิดน้ำล้นท่อพาของเสียไหลท่วมพื้นที่แล้ว ให้ลงสู่ทางน้ำสาธารณะได้ หลังคาเขียวจะช่วยลดปริมาณน้ำฝนที่ไหลตามผิวด้วยรวม ทำให้อัตราการไหลจากหลังคาช้าลง ซึ่งพบว่าหลังคาเขียวช่วยรับและหน่วงน้ำได้มากถึง 75% ของปริมาณน้ำฝนปกติที่ตกลงบนหลังคาแล้วจึงค่อยๆ ปล่อยน้ำกลับคืนสู่บรรยากาศอย่างช้าๆ โดยการระเหย ในขณะเดียวกันдинปลูกก์จะช่วยจับมลพิษที่ดูดซึบมาโดยฝนไว้ในดิน โครงการอสังหาริมทรัพย์ใหม่เช่น “ເອລເວັນ 314” ในกรุงวอชิงตัน ดี.ซี. ได้ใช้หลังคาเขียวสำหรับกรองและเก็บกักน้ำฝนบางส่วนไว้ในบริเวณโครงการเพื่อหลีกเลี่ยงการใช้ระบบกรองได้ในที่ใช้รายที่มีราคาแพงเพื่อให้เป็นไปตามข้อบัญญัติว่าด้วยการระบายน้ำฝนของหน่วยงานควบคุมด้านสาธารณสุข ของวอชิงตัน ดี.ซี.



ภาพที่ 5 ภาพแสดงหลังคาปลูกหญ้าของบ้านหลายหลังที่เห็นในหมู่บ้าน Bøur

แลน gere Faroe Islands)

ที่มา : [Green Roof \[online\]](#), Accessed 1 February 2008.

Available from th.wikipedia.org/wiki/หลังคาเขียว

การต่อสู้กับปรากฏการณ์ภาวะความร้อนในเมือง เป็นเหตุผลสำคัญอีกประการหนึ่งที่ทำให้ Green roof ได้รับการยอมรับ วัสดุก่อสร้างอาคารทั่วไปเมื่อคุณซื้อบ้านร้อนไว้เต็มที่แล้วก็จะไม่ดูดซับได้ไว้อีกและจะแผ่ความร้อนสู่อากาศที่เย็นกว่า ทำให้เมืองที่มีอาคารตั้งอยู่หนาแน่นมีความร้อนสูงกว่าพื้นที่ชานเมืองโดยรอบที่มีพื้นที่สีเขียวถึง 4 องศาเซลเซียส ตัวอย่างเช่น หลังคาเขียวของ Chicago City Hall (ภาพที่ 6) จะมีอุณหภูมิต่ำกว่าหลังคาธรรมดائี่น่าทั่วไปที่อยู่ใกล้เคียงประมาณ 14-44 องศาเซลเซียส

หลังคาเขียว เริ่มมีมากและกลายเป็นเรื่องธรรมดามากขึ้นในชิคาโก รวมทั้งแอดแลนดา พอร์ตแลนด์และเมืองอื่นๆ การใช้ที่มากขึ้นนี้เกิดจากข้อบัญญัติห้องถินที่ให้การสนับสนุนเพื่อต่อสู้กับปรากฏการณ์ภาวะความร้อน และเป็นตัวอย่างที่ได้เด่นตัวอย่างหนึ่งของประเทศ ที่ได้จัดสร้างขึ้นเพื่อทดลองหาข้อมูลว่า หลังคาเขียวจะมีผลต่อลมฟ้าอากาศดุลภาคบนหลังคาอย่างไร จากตัวอย่างนี้และจากการศึกษาหลังคาเขียวแห่งอื่นๆ ทำให้ประมาณการได้แล้วว่า หากหลังคาของ

อาคารทุกหลังในเมืองใหญ่เป็นหลังคาเขียว ในวันที่ร้อนจัด อุณหภูมิในเมืองจะลดลงได้มากถึง 7 องศาเซลเซียส

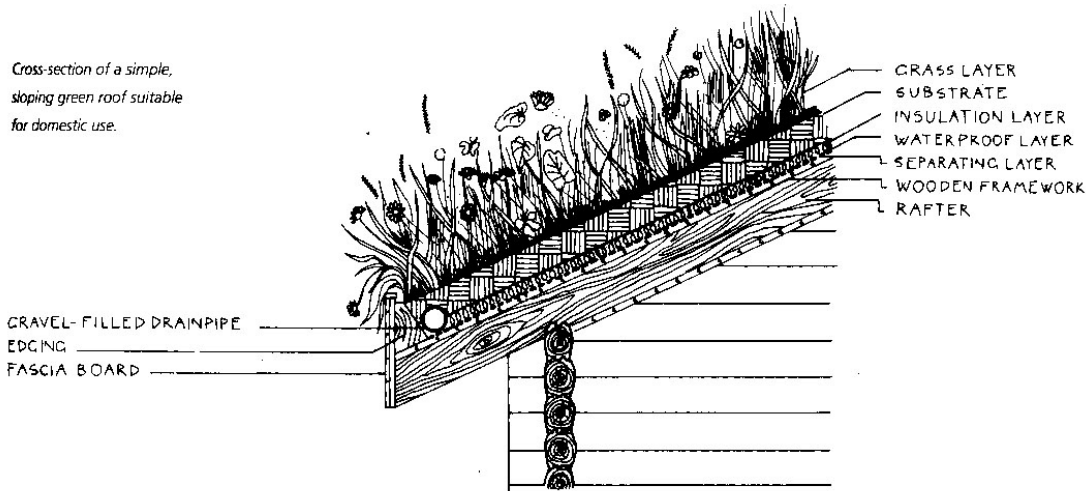


ภาพที่ 6 ภาพ Green roof บนหลังคาอาคาร Chicago City Hall

ที่มา : Earth Pledge, Green Roof Ecological Design and Construction, (U S A: A Shiffer Publishing Ltd & Design, 2005), 58.

นอกจากนี้ยังพบว่าหลังคาเขียวสามารถเพิ่มค่าความเป็นอนุรักษ์ของหลังคาได้มากอีกด้วย การศึกษาของหน่วยงานสิ่งแวดล้อมของแคนาดา (Environment Canada) พบร่วมกับ Green Roof Council ว่าหลังคาเขียวสามารถลดความต้องการในการทำความอบอุ่นในฤดูหนาวได้ 26% องศาเซลเซียส และลดความต้องการในการทำความเย็นในฤดูร้อนได้ 26% องศาเซลเซียส เช่นกัน และการศึกษาของศูนย์วิจัยหลังคาเขียวของมหาวิทยาลัยเพนสेटพบว่า หลังคาเขียวสามารถยืดอายุการใช้งานของหลังคาอาคารให้ยืนยาวไปได้อีก 2-3 เท่า ที่เดียว

หลังคาเขียวในยุคแรกมักสร้างโดยใช้รูปแบบที่เรียบง่ายที่สุด อาจเป็นการวางไม้กระถางบนพื้นที่ดัดฟ้า ทั้งเพื่อความสวยงาม ช่วยลดความร้อนและลดแสงสะท้อนจากพื้นดิน เช่นบนหลังคา หากแต่ Green roof ที่มีขนาดเล็กหรือมีพืชพันธุ์ในปริมาณจำกัด อาจไม่ให้ผลในการลดอุณหภูมิที่เด่นชัดนัก ถ้าหากทั้งยังมีข้อจำกัดทั้งในเรื่องของน้ำหนัก การขนย้าย การดูแลรักษา รวมทั้งรูปแบบที่อาจจะเป็นข้อจำกัด คือ หลังคาที่ไม่ได้เป็นดัดฟ้ามักจะไม่สามารถปลูกพืชพันธุ์ปักลุมได้ดี ด้านบนเพื่อสร้างหลังคาเขียวได้



ภาพที่ 7 แสดงรูปตัดของ Extensive green roof

ที่มา : Jacklyn Johnston and John Newton, Building Green a guide to using plants on roofs walls and pavements, (London: Ecology Unit, 1993), 57.

2. ประโยชน์ของ Green roof²

ประโยชน์ของ Green roof อาจสรุปได้ดังนี้

2.1 ลดปริมาณและปรับสภาพน้ำฝนที่หลังคา

Green roof เป็นการแก้ปัญหาการจัดการน้ำฝนที่ได้ผลดีที่สุดวิธีหนึ่ง เพราะหลังคาที่มีพืชพันธุ์ปกคลุมอยู่ จะสามารถเก็บน้ำไว้ได้มากกว่าหลังคาที่ไม่มีการปลูกต้นไม้ด้านบน กิงก้านใบ และดินปลูก สามารถดูดซับน้ำไว้ไม่ให้หล่นลงไปในทันที แต่จะเก็บน้ำฝนเอาไว้และค่อยๆ หลอกอุ่นไปช้าๆ ในขณะเดียวกันน้ำฝนที่หล่นลงหลังคาที่มีพืชพันธุ์ ก็ได้ผ่านกรองของเขา ผุ่นและมลพิษที่ปนเปื้อนจากอากาศ ทำให้คุณภาพของน้ำที่หล่นลงหลังคาเขียว ได้รับการปรับปรุงให้ดีขึ้น เป็นการช่วยลดผลกระทบต่อสภาพแวดล้อม

2.2. การกรองเสียงรบกวน (Sound filter)

² กนกวนี ศุภิธร, หลังคาเขียว ทางเลือกเพื่อการกำจัดน้ำฝน (กรุงเทพมหานคร : คณะสถาปัตยกรรมศาสตร์ จุฬาลงกรณ์มหาวิทยาลัย, 2548), 8.

ปัญหามลภาวะทางเสียง นับเป็นอีกหนึ่งปัญหาใหญ่ในเมืองที่มีความหนาแน่นสูง การสร้างหลังคาเขียว นอกจากจะช่วยในการจัดการน้ำฝนแล้ว พืชพันธุ์บนหลังคายังทำหน้าที่เป็น เหตุการณ์ที่ช่วยลดความร้อนให้กับอาคาร ความหนาของหลังคาที่เพิ่มขึ้นจากดินปูนและวัสดุพืช พันธุ์ทำหน้าที่ดูดซับเสียงรบกวนจากภายนอกได้เป็นอย่างดี

2.3 การเพิ่มพื้นที่สีเขียวในเมืองและช่วยลดมลภาวะสร้างอากาศบริสุทธิ์

เช่นเดียวกับประโยชน์จากต้นไม้ทั่วไป พืชพันธุ์บนหลังคาเขียวช่วยเพิ่มออกซิเจน และลดคาร์บอนไดออกไซด์ให้กับเมือง พืชพันธุ์ที่มีชีวิตที่อยู่บนหลังคาสร้างอากาศบริสุทธิ์ช่วยกรองฝุ่นละอองในอากาศ และลดมลภาวะในเมืองได้

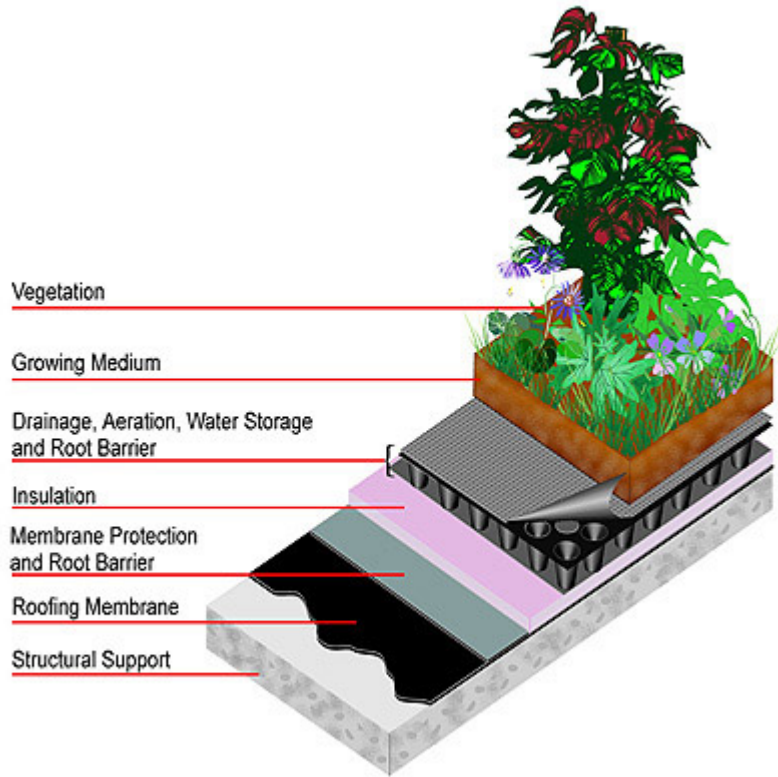
2.4 การควบคุมอุณหภูมิภายในอาคารให้อยู่ในสภาพที่สบาย

หลังคาเขียวช่วยควบคุมการเปลี่ยนแปลงของอุณหภูมิภายในอาคาร พืชพันธุ์ที่อยู่บนหลังคาทำหน้าที่เป็นเหมือนฉนวนกันความร้อนจากภายนอก และควบคุมอุณหภูมิภายในอาคารให้อยู่ในระดับที่คงที่ และยังสามารถลดแสงแดดที่ตกจากหลังคาที่มีผลกระทบต่ออาคาร ข้างเดียวได้อีกด้วย

2.5 การปรับสภาพของระบบเศรษฐกิจเมือง (Urban ecology) โดยรวมให้ดีขึ้น

ปัญหาที่สำคัญของระบบเศรษฐกิจเมือง คือ อุณหภูมิและมลภาวะ ความแปรปรวนของสภาพอากาศและความขาดแคลนพื้นที่ธรรมชาติที่ส่งเสริมสภาพแวดล้อมที่เหมาะสมให้กับสิ่งมีชีวิตหลังคาเขียวช่วยควบคุมอุณหภูมิของเมือง ลดมลภาวะ กรองฝุ่น ช่วยสร้างอากาศบริสุทธิ์ สร้างสภาพแวดล้อมที่เป็นธรรมชาติและเป็นที่อยู่ของสิ่งมีชีวิต

3. ส่วนประกอบของ Green roof³



ภาพที่ 8 รูปดัดแสดงส่วนประกอบของ Green roof

ที่มา : [Green Roof \[online\]](#), Accessed 16 November 2007.

Available from www.greenroof.com

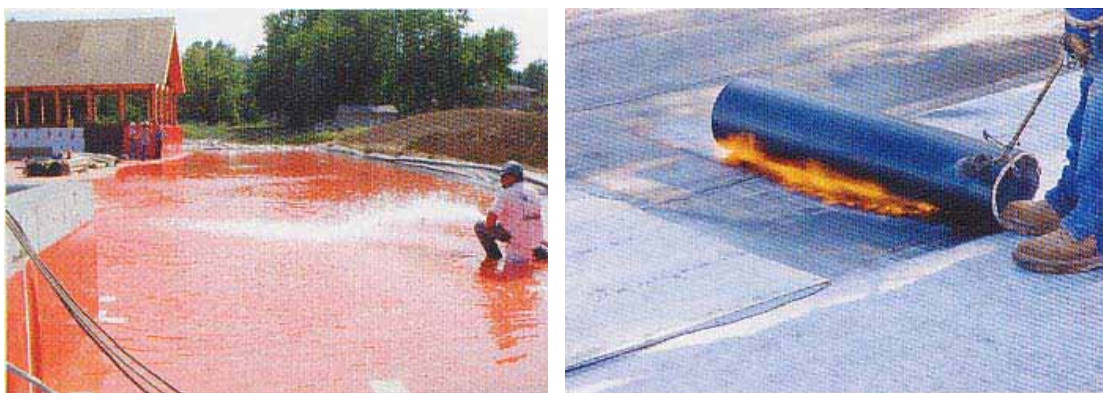
3.1 โครงสร้างรับน้ำหนัก (Structural Support)

เป็นส่วนที่ใช้รับน้ำหนักทั้งหมดของหลังคา Green roof ตามหลักการ อาคารควรมี การคำนวณทางวิศวกรรมโครงสร้างเพื่อรองรับน้ำหนักไว้ตั้งแต่ก่อนการก่อสร้าง โดยปกติอาคาร ทั่วไปที่ไม่ต้องรับน้ำหนักอะไรมากเป็นพิเศษ มักสามารถรองรับน้ำหนักที่ 200 -400 กิโลกรัม/ตารางเมตร แต่หากเป็นอาคารที่ต้องการมีสวนหลังคา การรับน้ำหนักต้องอยู่ที่ 1,220 – 1,465 กิโลกรัม/ตารางเมตร หรือมากกว่านั้น

³ พชร. เลิศปิติวัฒนา, “การออกแบบสวนหลังคาในกรุงเทพมหานคร” (วิทยานิพนธ์ปริญญา มหาบัณฑิต จุฬาลงกรณ์มหาวิทยาลัย, 2547).

3.2 วัสดุกันน้ำชีม (Roofing Membrane)

วัสดุกันน้ำชีมเป็นพื้นผิวชั้นที่สำคัญที่สุดที่มีหน้าที่ป้องกันน้ำจากหลังคาซึ่งเข้าสู่ภายในอาคาร โดยมีข้อกำหนดที่สำคัญคือ ต้องมีความทนทาน สามารถต้านการกระแทกจากอุปกรณ์ต่างๆ ได้ดี ป้องกันการแทรกซึมของรากพืชและน้ำได้เป็นอย่างดี มีอายุการใช้งานยาวนาน ป้องกันรังสีอัลตราไวโอเลต ทนต่อการแปรเปลี่ยนของอุณหภูมิและชั้นบรรยากาศ ทนต่อการทำลายของแมลงและสิ่งมีชีวิตขนาดเล็ก



ภาพที่ 9 แสดงขั้นตอนการติดตั้งวัสดุกันน้ำชีม (Water Proof Membrane)

ที่มา : Earth Pledge, [Green Roof Ecological Design and Construction](#) (U S A: A Shiffer Publishing Ltd & Design, 2005), 134.

3.3 วัสดุป้องกันชั้นวัสดุกันน้ำชีม (Membrane Protection and Roof Barrier)

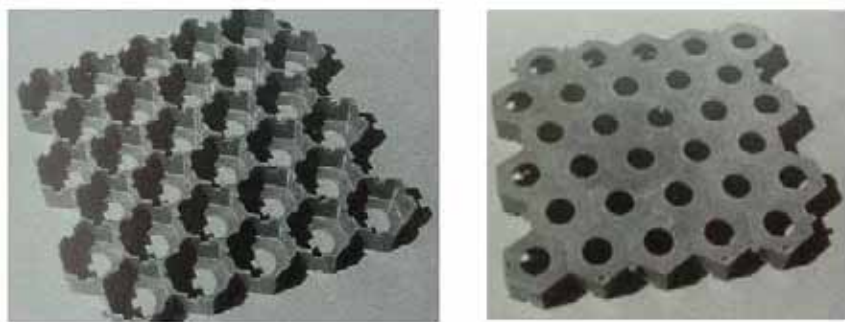
เป็นชั้นวัสดุป้องกันชั้นวัสดุกันน้ำชีมจากความเสียหายระหว่างการก่อสร้าง และป้องกันการแทรกหลุมของรากพืชชั้นวัสดุกันน้ำชีม ซึ่งจะมีผลทำให้เกิดการรั่วซึมของน้ำสู่ชั้นล่างของอาคารได้ วัสดุที่ใช้ในชั้นนี้มีความมีความแข็งแรงทนทาน ในสมัยก่อนนิยมใช้แผ่นไบหิน แต่เนื่องจากมีผลกระบทต่อสุขภาพ ในทวีปยุโรปจึงมีการเปลี่ยนมาใช้เป็นวัสดุฟิล์มโพลียูรีเทน (Polyurethane Film) มีความหนาประมาณ 8 มิลลิเมตร ซึ่งพบว่ามีประสิทธิภาพดีกว่า

3.4 ฉนวนกันความร้อน (Insulation)

ฉนวนเป็นตัวทำหน้าที่ป้องกันความร้อนภายนอกอาคารที่มีอุณหภูมิสูงกว่า เข้าสู่พื้นที่ภายในอาคารที่มีอุณหภูมิต่ำกว่า ทำให้สามารถช่วยประหยัดพลังงานของเครื่องทำความเย็น ขณะเดียวกันในฤดูหนาวก็จะเป็นฉนวนป้องกันความร้อนจากภายนอกอาคารออกสู่ภายนอกอาคาร ซึ่งความหนาของชั้นฉนวนที่ต้องการอยู่ที่ 5.0 เมตรขึ้นไป ตัวอย่างเช่น โฟมโพลีสไตรีน

(Polystyrene Foam) ซึ่งมีน้ำหนักเบา มีคุณสมบัติต่อต้านความชื้นและมีความแข็งแรงไม่บิดงอ้ง่าย

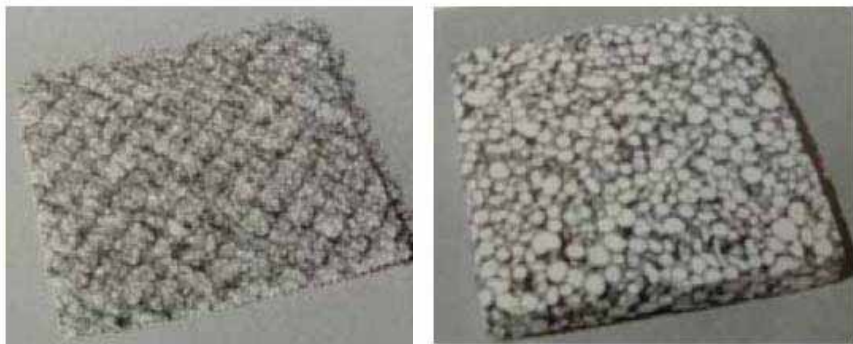
3.5 วัสดุกรองและระบายน้ำ (Drainage, Aeration, Water Storage and Roof Barrier)
เป็นชั้นของวัสดุที่ทำหน้าที่ระบายน้ำ ประกอบด้วย ก้อนกรวด เศษหินแตก แต่ในปัจจุบันเริ่มมีการผลิตวัสดุระบายน้ำสังเคราะห์ที่เรียกว่า Glass cell ทำจากพลาสติก โครงสร้างเหมือนรูปผึ้ง (Honeycomb) เป็นตารางหลุม หกมุมหกเหลี่ยมเชื่อมกันเป็นแผ่นสี่เหลี่ยม (ภาพที่ 10) มีคุณสมบัติที่ดีคือ แข็งแรง ไม่เบราะแตกง่าย สามารถรับน้ำหนักได้ดี มีประสิทธิภาพในการระบายน้ำได้ดี มีน้ำหนักเบา ติดตั้งง่าย



ภาพที่ 10 Glass cell ทำจากพลาสติก โครงสร้างเหมือนรูปผึ้ง (Honeycomb)

ที่มา : Theodore Osmundson, The Changing Technique of Roof Garden Design (New York : W.W. Norton&Company, 1999), 165.

วัสดุกรองหรือแผ่นไยกรองдин เป็นผืนผ้ายสังเคราะห์ทับอยู่บนส่วนชั้นระบายน้ำ โดยแผ่นไยกรองนี้จะมีรูรุนขนาดเล็กมาก ทำหน้าที่ให้น้ำไหลผ่าน แต่สามารถป้องกันเศษผงเศษดินที่จะไหลผ่านเข้าไปในชั้นระบายน้ำได้ ทำให้ปราศจากการอุดตันของชั้นระบายน้ำและท่อระบายน้ำ จากเศษดิน คุณสมบัติที่ดีของแผ่นไยกรองดินคือ น้ำหนักเบา ต่อต้านรังสีอัลตราไวโอเลตได้ดี มีความคงทนแข็งแรงไม่ฉีกขาดง่ายจากการรับน้ำหนักของดินปลูก ติดตั้งง่าย แผ่นไยกรองที่นิยมนำมาใช้ เช่น แผ่น Enkadrain ทำจากเส้นด้ายพลาสติกสังเคราะห์หลายๆ ที่เป็นฝอยเส้นเล็ก หรือแผ่น Geotech มีลักษณะเป็นแผ่นคล้ายชนวนกระยาสารท ประกอบด้วยเม็ดโพลีสไตรีนแผ่นกว้างเชื่อมเป็นแผ่นด้วยการแอลฟ์ล็อก (ภาพที่ 11)



ภาพที่ 11 แผ่นไยกรองดิน Enkadrane (ซ้าย) และแผ่น Geotech (ขวา)

ที่มา : Theodore Osmundson, The Changing Technique of Roof Garden Design (New York : W.W. Norton&Company, 1999), 165.

3.6 วัสดุปลูก (Growing Medium)

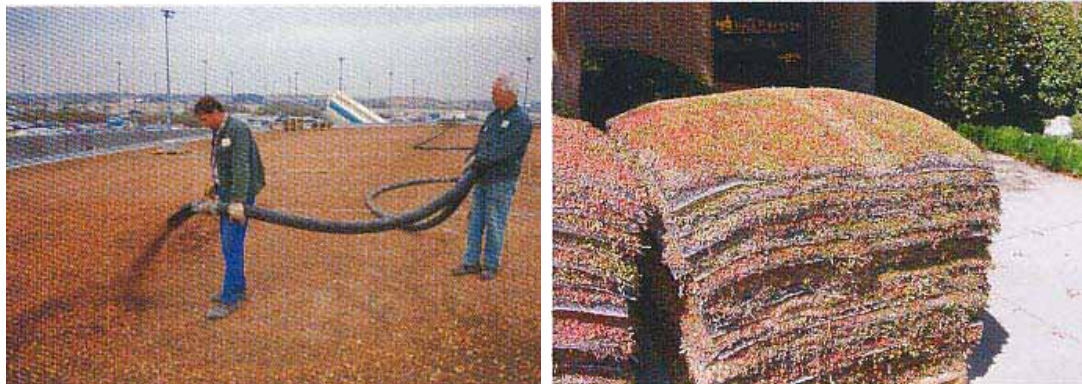
ดินปลูกเป็นแผ่นให้พืชได้ยึดเกาะและเป็นแหล่งธาตุอาหารเพื่อการเจริญเติบโตของพืช ซึ่งดินปลูกที่มีลักษณะเหมาะสมกับงาน Green roof คือ แข็งแรงทนทาน น้ำหนักไม่มาก มีความสามารถในการระบายน้ำได้ดี มีความชื้นแต่ไม่เปียก ยึดธาตุอาหารได้ดี วัสดุปลูกมีหลายชนิด ทั้งที่นำมาจากธรรมชาติ เช่น ดินร่วน ดินเหนียว และวัสดุปลูกที่มาจากการสังเคราะห์ซึ่งมีราคาค่อนข้างสูง แต่มีคุณสมบัติที่ดี เช่น หินชานวนไลก้า (Leca) ดินเม็ดไดอะโทแมซ เอิร์ท (Diatomaceous Earth) ดินไอโซไลท์ (Isolite) นอกจากดินปลูกแบบเม็ดแล้ว ดินปลูกสังเคราะห์ยังได้พัฒนาเป็นแผ่นหรือก้อนโพมนิคิดพิเศษ ซึ่งบางครั้งถูกนำมาใช้เป็นฉนวนกันความร้อน ทำหน้าที่คล้ายเป็นแผ่นโพมซับน้ำ และยังมีคุณสมบัติเก็บธาตุอาหารได้เหมือนดินธรรมชาติอีกด้วย

ดินปลูกเป็นวัสดุหนึ่งที่ก่อให้เกิดปัญหาการเพิ่มน้ำหนักต่อโครงสร้างหลังคา การแก้ไขที่เป็นที่นิยมคือ การแทนที่เนื้อดินปลูกด้วยแผ่นสไตรโฟม (Styrofoam Slab) ซึ่งมีน้ำหนักเบากว่ามาก แต่จะไม่สามารถดูดซับธาตุอาหารหรือน้ำได้ จึงมีภาวะอยู่ในส่วนล่างสุดของดินปลูก วิธีนี้เหมาะสมสำหรับใช้ในกรณีที่บริเวณที่จะปลูกมีความลึกมาก

3.7 พืชพันธุ์ (Vegetation)

พืชพันธุ์เป็นส่วนประกอบที่สำคัญของงาน Green roof ซึ่งจะมีมากหรือน้อยขึ้นอยู่กับการใช้งาน โดยข้อพิจารณาในการเลือกพืชพันธุ์มาปลูกคือ พืชที่นำมาปลูกควรมีลักษณะสอดคล้องกับการรับน้ำหนักโครงสร้างของพื้นหลังคา ความสูงของต้นไม้ที่สูงสุด จุดสูงสุดของการแผ่ขยายของใบไม้ กิ่งไม้ ขนาดรากพืช ความลึกของรากพืชในการซ่อนไว้ต้องไม่กระทบต่อ

โครงสร้างอาคาร มีความทนทานต่อภาวะแห้งแล้งและน้ำท่วมขัง สภาพแวดล้อมและภูมิอากาศสัมพันธ์กับความต้องการของพืช



ภาพที่ 12 แสดงการติดตั้งวัสดุปูน้ำและพืชพันธุ์

ที่มา : Earth Pledge, Green Roof Ecological Design and Construction (U S A: A Shiffer Publishing Ltd & Design, 2005), 135.

4. ข้อควรคำนึงถึง ปัญหาและข้อจำกัดของการใช้ Green roof

4.1 ชนิดของพืชพันธุ์

พืชพันธุ์ที่ใช้ควรเป็นพืชพันธุ์ที่ดูแลรักษาง่าย ไม่มีราชชอนใช้ทำลายโครงสร้างของอาคาร หรือกิ่งก้านที่ประะหักง่ายซึ่งอาจเป็นอันตราย และมีน้ำหนักไม่มากนัก ควรเลือกพืชพันธุ์โดยดูจากขนาดเมื่อโตเต็มที่ด้วย เพื่อไม่ให้เกิดปัญหาพืชพันธุ์มีขนาดใหญ่เกินไปในภายหลัง พืชพันธุ์ที่ใช้ อาจเป็นพวงไม้อ่อนน้ำที่ไม่ต้องรดน้ำบ่อยและทนต่อการสูญเสียน้ำหรือพืชพันธุ์ประเภทที่ใช้ในสวนหิน พืชพันธุ์ที่ไม่ต้องการดินปูนมาก และควรเป็นพันธุ์ไม้ที่ทนแดด เพราะพืชพันธุ์ที่ปูนบนหลังคา มักจะต้องโดนแดดเต็มที่

4.2 สภาพแวดล้อม

แดด ลม ฝน ความชื้นและอุณหภูมิ ในบางพื้นที่ที่มีลมแรง อาจมีผลต่อพืชพันธุ์ที่มีใบขนาดใหญ่ เพราะใบอาจฉีกขาด กิ่งประหัก หรืออาจมีการสูญเสียน้ำมากกว่าการปูน ข้างล่าง ปริมาณแสงแดดที่มากกว่า ทั้งความเข้มของแสงและช่วงเวลาที่ได้รับแสง ทำให้ต้องคำนึงถึงการเลือกใช้พืชพันธุ์ที่เหมาะสมด้วย ความชื้นและความแตกต่างของอุณหภูมิเป็นอีกปัจจัยหนึ่งที่สำคัญ แสงแดดที่รุนแรงส่งผลให้อุณหภูมิสูงขึ้นในตอนกลางวัน ความชื้นและอุณหภูมิที่ลดต่ำลงในตอนกลางคืนทำให้เกิดการควบแน่น และการกลั่นตัวเป็นหยดน้ำ ดังนั้น ในการสร้าง

หลังคา Green roof ในประเทศไทย ต้องมีการคำนึงถึงความชื้นและอุณหภูมิที่แตกต่างเนื่องจากประเทศไทยอยู่ในเขตอากาศแบบร้อนชื้น พื้นที่ปักคลุมหลังคา อาจส่งผลให้เกิดความชื้นที่สูงเกินไป และมีผลกระทบต่อโครงสร้างอาคาร

4.3 โครงสร้าง การรั่วซึมและการรับน้ำหนัก

เช่นเดียวกับที่อื่นๆ การคำนึงถึงการรับของหลังคาเป็นปัญหาสำคัญ โดยเฉพาะอย่างยิ่ง ในประเทศไทย ที่มีภูมิอากาศแบบร้อนชื้นและมีฤดูฝนนานหลายเดือน หรือเกือบจะทั้งปี ในหลายๆ พื้นที่ แม้ว่าจะมีการยืนยันว่า Green roof ไม่ได้เป็นสาเหตุของการรั่ว หรือการสร้างหลังคา Green roof จะทำให้เกิดการรั่วซึมในอาคารมากไปกว่าหลังคาธรรมดายี่ห้อใดมีการออกแบบป้องกันการรั่วซึมที่เหมาะสมอย่างไรก็ได้ การเตรียมการเพื่อป้องกันการรั่วซึมนับเป็นเรื่องที่จำเป็นในแข็งของโครงสร้างและการรับน้ำหนัก ควรเลือกใช้พื้นที่ไม่มีรากซอนไว ทำลายโครงสร้างอาคาร หรือมีน้ำหนักมากเกินไป ที่อาจส่งผลกระทบต่อโครงสร้าง เมื่อพื้นที่มีน้ำดีใหญ่โตขึ้น

4.4 การดูแลรักษา

มีทั้งเรื่องการรดน้ำ การเก็บกวาด ตัดแต่งและการใส่ปุ๋ยหรือเปลี่ยนดินที่อาจเสื่อมคุณภาพเนื่องจากข้อจำกัดทางด้านโครงสร้าง ดินที่ใช้บน Green roof จึงมักมีปริมาณและความลึกที่น้อยที่สุดที่จะยังคงทำให้พืชสามารถมีชีวิตอยู่ได้ ดังนั้นจึงต้องมีการบำรุงรักษาดินให้อยู่ในสภาพที่เหมาะสม การตัดแต่งพื้นที่บน Green roof ไม่ได้เป็นเรื่องที่ยุ่งยากมากนัก เนื่องจากปริมาณดินที่มีอยู่จำกัด และความลาดเอียงของหลังคา พื้นที่บน Green roof จึงมักจะต้องในแนวระนาบ ซึ่งทำให้ไม่ต้องมีการตัดแต่งมาก

4.5 ค่าใช้จ่าย

ในการสร้าง Green roof อาจต้องใช้ค่าใช้จ่ายมากกว่าหลังคาปกติถึง 2 เท่าทั้งค่าใช้จ่ายของโครงสร้างที่มากขึ้น ค่าใช้จ่ายในการปลูกและบำรุงรักษาพื้นที่บนหลังคา หากแต่ผลประโยชน์ที่จะได้รับตามมา นับว่าคุ้มค่า และอาจใช้เป็นการสร้างรายได้อีกด้วย ที่โรงเรียม แฟร์มอนท์ วอเตอร์ฟร้อนท์ ในแคนาดาสามารถปลูกพืชและสมุนไพรบนหลังคาได้เป็นมูลค่าถึงกว่า \$30,000 ต่อปี

อย่างไรก็ตาม ยังไม่มีการทดลองและมีสูตรผลที่ชัดเจน เกี่ยวกับการประเมินคุณค่าทั้งในทางบวกและลบของการใช้ Green roof ในประเทศไทย ความแตกต่างทางสภาพแวดล้อมทั้งสภาพอากาศ ความชื้น ความลาดชันของหลังคา สภาพภูมิประเทศและลักษณะทางกายภาพ

อื่นๆของประเทศไทย ดังนั้น ในการที่จะนำ Green roof มาใช้ในประเทศไทยจะต้องมีการทดลอง ทดสอบ และประเมินผลต่อไป

5. ทฤษฎีที่เกี่ยวข้อง

5.1 พฤติกรรมการถ่ายเทความร้อนของหลังคา⁴

เมื่อหลังคาได้รับความร้อนจากแสงอาทิตย์จะมีการส่งผ่านความร้อนแล้วสะสมไว้ ในตัววัสดุหลังคา โดยการนำความร้อนผ่านมวลสารของวัสดุหลังคาและการพาความร้อนเข้าสู่ภายในอาคารที่มีอุณหภูมิต่ำกว่า ซึ่งปริมาณความร้อนที่เข้าสู่อาคารจะมากหรือน้อยนั้น ขึ้นอยู่กับมวลสาร คุณสมบัติในการด้านทานความร้อน ตลอดจนคุณสมบัติในด้านต่างๆ ของวัสดุ เช่น คุณสมบัติในการดูดกลืนความร้อน การสะท้อนความร้อน เป็นต้น คุณสมบัติดังกล่าวมีผลต่อการ การปรับอากาศของอาคาร ทำให้สามารถช่วยเพิ่มหรือลดการใช้พลังงานในการปรับอากาศของอาคารได้

ในช่วงกลางวัน หลังคาจะเป็นส่วนที่ได้รับแสงแดดมากที่สุดเกือบตลอดทั้งวัน วัสดุ มุงหลังคาจะดูดกลืนรังสีความร้อนที่มากับแสงอาทิตย์ จึงทำให้อุณหภูมิของวัสดุมุงหลังคามีค่า สูงขึ้น ความร้อนที่สะสมในวัสดุมุงหลังคาจะถูกถ่ายเทไปยังช่องว่างอากาศใต้หลังคา เมื่อช่องอากาศใต้หลังคามีอุณหภูมิสูงขึ้นก็จะถ่ายเทความร้อนไปสู่ฝาpedanที่มีอุณหภูมิต่ำกว่า และเมื่อฝาpedanมีอุณหภูมิสูงกว่าอุณหภูมิในห้อง ก็จะเกิดการแพร่รังสีความร้อนให้กับห้อง ผลให้ห้องมี อุณหภูมิสูงขึ้น

ในช่วงกลางคืน จะเกิดการแลกเปลี่ยนความร้อนกับท้องฟ้า (Night Sky Radiation) ทำให้อุณหภูมิของวัสดุมุงหลังคากายณอกอาคารเย็นลงกว่าอุณหภูมิของอากาศภายในส่วน ของช่องว่าง ใต้หลังคานี้มีอุณหภูมิสูงกว่าก็จะสูญเสียความร้อนให้กับผิววัสดุมุงหลังคากายณอก ทำให้ช่องอากาศมีอุณหภูมิลดลง

⁴ สราวยุธ จิตต์เจริญ, “แนวทางการสร้างแบบประเมินประสิทธิภาพในการประยัดพลังงาน ของหลังคากาครในภูมิอากาศเขตร้อนชื้น” (วิทยานิพนธ์ปริญญามหาบัณฑิต ภาควิชา สถาปัตยกรรมศาสตร์ คณะสถาปัตยกรรมศาสตร์ จุฬาลงกรณ์มหาวิทยาลัย, 2548).

5.2 คุณสมบัติของวัสดุ ที่มีผลต่อการถ่ายเทความร้อน⁵

5.2.1 ค่าสัมประสิทธิ์การนำความร้อน (Thermal Conductivity - K)

หมายถึงความสามารถในการถ่ายเทความร้อนโดยการนำความร้อนของวัตถุ ได้ๆ หรือปริมาณความร้อนภายในตัวสภาวะคงที่ ที่ถ่ายเทผ่าน 1 หน่วยพื้นที่ของวัตถุที่มีความหนา 1 หน่วย ใน 1 หน่วยเวลา โดยมีความแตกต่างของคุณภาพมิผิววัสดุทั้ง 2 ด้าน 1 หน่วย มีหน่วยเป็น (Btu-In/hr.ft².°F) และมีหน่วย SI เป็น (W/m².K)

5.2.2 ค่าความนำความร้อน (Thermal Conductance - C)

หมายถึงค่าความนำความร้อนของวัสดุได้ๆ หรือ อัตราส่วนระหว่างค่า สัมประสิทธิ์การนำความร้อนต่อกำไรของวัสดุ ซึ่งสามารถคำนวณได้ดังสมการต่อไปนี้

$$C = K / \Delta x$$

C คือ ค่าความนำความร้อน (W/m²-°C)

Δx คือ ความหนาของวัสดุ (m.)

K คือ ค่าสัมประสิทธิ์การนำความร้อนของวัสดุ (W/m-°C)

5.2.3 ค่าความต้านทานความร้อน (Thermal Resistance – R-Value)

คือค่าที่แสดงประสิทธิภาพความเป็นฉนวนของวัสดุนั้นๆ ถ้าค่า R มาก แสดงถึง ความเป็นฉนวนที่ดี สามารถต้านทานความร้อนที่จะถ่ายเทผ่านวัสดุได้มาก ค่าที่จะเป็นส่วนกลับ ของค่าความนำความร้อนสามารถคำนวณได้ดังสมการต่อไปนี้

$$R = 1 / C \text{ หรือ } \Delta x / k$$

R คือ ค่าความต้านทานความร้อน (m²-°C/W)

C คือ ค่าความนำความร้อน (W/m²-°C)

Δx คือ ความหนาของวัสดุ (m.)

k คือ ค่าสัมประสิทธิ์การนำความร้อนของวัสดุ (W/m-°C)

⁵ ศุภกิจ ยิ่มสรวล, “การใช้ส่วนหลังคาเพื่อลดการถ่ายเทความร้อน” (วิทยานิพนธ์ปริญญา มหาบัณฑิต ภาควิชาสถาปัตยกรรมศาสตร์ คณะสถาปัตยกรรมศาสตร์ จุฬาลงกรณ์มหาวิทยาลัย, 2541).

5.2.4 ค่าสัมประสิทธิ์การถ่ายเทความร้อน (Coefficient of Transmission / U-Value)

หมายถึงการคำนวณหาปริมาณความร้อนเข้าสู่ตัวอาคารหรือออกจากตัวอาคาร เนื่องจากความแตกต่างของอุณหภูมิ โดยจะใช้ U-Value เป็นหลัก สามารถหาได้จากสมการดังนี้

$$U = 1/\sum R$$

$\sum R$ คือผลรวมของ R-Value ของเปลือกอาคาร

5.2.5 ค่าความจุความร้อน (Specific Heat)

หมายถึงค่าคุณสมบัติในการจุความร้อนของวัสดุ หรือปริมาณความร้อนที่ทำให้วัสดุหนัก 1 หน่วย มีอุณหภูมิเพิ่มขึ้น 1 องศาเซลเซียส วัสดุที่มีค่าความจุความร้อนสูงจะสามารถกักเก็บความร้อนไว้ได้มาก สามารถคำนวณหาค่าความจุความร้อน (Heat Capacity) ของวัสดุต่างๆ ดังสมการดังนี้

$$C = pc \text{ โดยที่ } p = m / v$$

C คือ ค่าความจุความร้อนของวัสดุ ($\text{W}/\text{m}^2 \cdot ^\circ\text{C}$)

p คือ ความหนาแน่นของวัสดุ (kg/m^3)

c คือ ค่าความจุความร้อนจำเพาะของวัสดุ ($\text{kJ}/\text{kg} \cdot ^\circ\text{C}$)

m คือ มวลของวัสดุ (kg)

v คือ ปริมาตรของวัสดุ (m^3)

ค่าความจุความร้อนจำเพาะ ยังสามารถใช้คำนวณหาปริมาณความร้อนที่วัสดุต้องการในการเปลี่ยนอุณหภูมิ มีสมการดังต่อไปนี้

$$Q = mc \Delta T$$

Q คือ ปริมาณความร้อน (kj)

m คือ มวลสารของวัสดุ (kg)

c คือ ค่าความจุความร้อนจำเพาะของวัสดุ ($\text{kJ}/\text{kg} \cdot ^\circ\text{C}$)

ΔT คือ ค่าความแตกต่างของอุณหภูมิที่ต้องการ ($^\circ\text{C}$)

5.3 พีชพันธุ์ไม้กับการปรับอุณหภูมิและลดการแพร่รังสีความร้อน⁶

พีชพันธุ์ไม้มีความสำคัญในการปรับอุณหภูมิสภาพแวดล้อมให้เหมาะสมกับการอยู่อาศัยของมนุษย์ให้อยู่ในภาวะน่าสบาย นอกจากนี้ยังสามารถช่วยลดการสะท้อนแสง และปริมาณความร้อนที่เข้าสู่อาคาร ช่วยลดปริมาณการใช้พลังงานภายในอาคาร ปัจจัยในการปรับอุณหภูมิโดยการปรับสภาพของสิ่งที่เกี่ยวข้องกับความร้อนและพีชพันธุ์ไม้ได้แก่

5.3.1 การดูดซับความร้อน (Absorption)

ต้นไม้ต้องใช้แสงแดดเพื่อใช้ในกระบวนการสังเคราะห์แสง โดยการดูดซับพลังงานความร้อนจากแสงอาทิตย์ เงาของต้นไม้เกิดขึ้นเนื่องจากกลุ่มใบที่หนาแน่นปกคลุมพื้นที่สูงกว่า โดยไปไม้จะทำการดูดซับพลังงานความร้อนจากแสงอาทิตย์ และทำให้เกิดร่มเงากับพื้นผิวได้ต้นไม้ระดับของการดูดซับขึ้นอยู่กับขนาดของต้นไม้

5.3.2 การสะท้อนความร้อน (Reflection)

ใบไม้สามารถสะท้อนแสงแดด ช่วยลดอุณหภูมิบริเวณโดยรอบให้ต่ำลง การสะท้อนแสงอาทิตย์โดยพีชพันธุ์ไม้ขึ้นอยู่กับ

1. ความยาวของคลื่นแสง
2. ชนิดของใบไม้
3. อายุของใบไม้
4. ระดับความสูงต่ำของใบไม้
5. ตำแหน่งที่ได้รับแสงแดด
6. ตำแหน่งของใบไม้ในกลุ่มใบ
7. ความแห้งแล้งของสถานที่ตั้ง
8. ความสมบูรณ์ของที่ตั้ง
9. ถูกกาล
10. ระดับดินที่ไว

⁶ สุดสาสดี ศรีสถาปตย์, การออกแบบวัสดุพีชพันธุ์และการประยุกต์พลังงาน (กรุงเทพมหานคร : ภาควิชาภูมิสถาปัตยกรรม จุฬาลงกรณ์มหาวิทยาลัย, 2530).

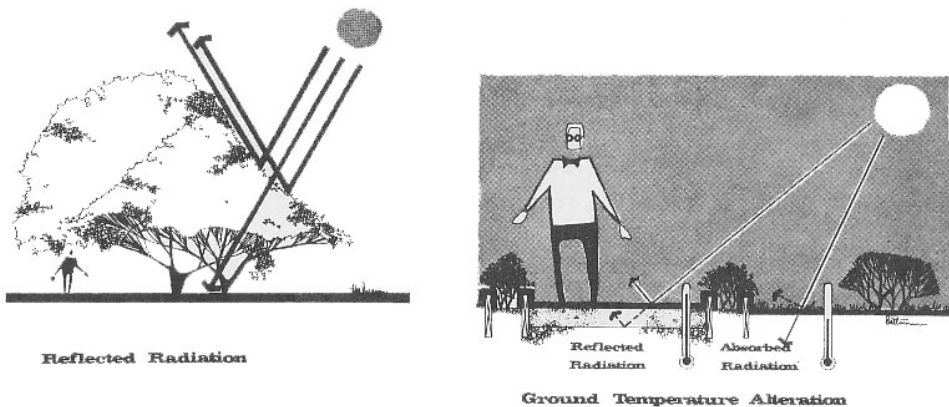
จากการศึกษาพบว่า พืชพันธุ์ไม้สามารถสะท้อนแสงเดด รวมทั้งดูดซับแสง และความร้อนที่มากับแสงอาทิตย์ได้ดีกว่าวัสดุที่มีนุชย์ได้สังเคราะห์ขึ้น เช่น ยางมะตอย หญ้า เทียม คอนกรีต ดังนั้นหากเราใช้พืชพันธุ์ไม้ปักคลุมในบริเวณที่ได้รับแสงแดด ก็จะช่วยให้สามารถลดอุณหภูมิบริเวณนั้นได้

5.3.3 การแพร่รังสีความร้อน (Radiation)

ต้นไม้จะดูดซับความร้อนในเวลากลางวัน และแพร่รังสีความร้อน(ความร้อน) ในเวลากลางคืน โดยความออกจากใบไม้โดยเฉพาะส่วนบนของกลุ่มใบ จึงทำให้อุณหภูมิของต้นไม้ลดลงต่ำกว่าอุณหภูมิโดยรอบ (ภาพที่ 13)

ในบริเวณที่มีพืชพันธุ์ไม้จะมีอุณหภูมิต่ำกว่าพื้นที่ที่ไม่มีต้นไม้เสมอ ไม่ว่าต้นไม้จะมีขนาดเท่าไหร่ตาม เพราะต้นไม้และหญ้าสามารถลดอุณหภูมิโดยการกระจายการแพร่รังสีความร้อน ดูดซับแสงอาทิตย์รวมทั้งเพิ่มปริมาณไอน้ำและความชื้นผ่านรูใบ

อุณหภูมิที่วัดได้ต้นไม้จะแตกต่างกันออกไป ขึ้นอยู่กับชนิดของพืชพันธุ์ เนื่องจาก ความหนาแน่นของกลุ่มใบ ลักษณะใบและลักษณะกิ่งก้านสาขาที่ต่างกัน



ภาพที่ 13 Solar Radiation Control

ที่มา : Gary O. Robinette, Landscape Planning for Energy Conservation (Virginia : Mclean, 1976), 12.

5.3.4 การส่งผ่านความร้อน (Transmission)

พืชพันธุ์ไม้มีอัตราการส่งผ่านความร้อนที่น้อยกว่าวัสดุอื่นๆ ที่มีนุชย์ได้สังเคราะห์ขึ้น ถือได้ว่าเป็นชนวนความร้อนที่ดี เนื่องจากความสามารถในการดูดซับความร้อน

และการสะท้อนแสงที่ดี โดยปริมาณการส่งผ่านความร้อนขึ้นอยู่กับ การดูดซับความร้อน การสะท้อนความร้อน และการแพร่รังสีความร้อน

นอกจากปัจจัยของการดูดซับความร้อน การสะท้อนความร้อน การแพร่รังสีความร้อน และการส่งผ่านความร้อนดังกล่าวแล้ว ยังมีปัจจัยอื่นๆ ที่มีผลต่อการปรับอุณหภูมิของสภาพแวดล้อมอีก เช่น ปริมาณน้ำฝน สภาพภูมิประเทศ และสภาพของวัสดุพืชพันธุ์ เป็นต้น

5.4 นิเวศวิทยาของพืช (Plant Ecology)

วัสดุพืชพันธุ์ทั่วไป มีความแตกต่างกันออกไปตามลักษณะภูมิประเทศของถิ่นกำเนิด ซึ่งสามารถประมาณลักษณะต่างๆ ได้ดังต่อไปนี้ คือ

1. สภาพชื้นชื้นบนที่สูง
2. สภาพแห้งแล้งบนที่สูง
3. สภาพแบบที่ราบลุ่ม
4. สภาพแบบที่ราบกันดาร
5. สภาพใกล้แม่น้ำ
6. สภาพบริเวณน้ำกร่อย
7. สภาพแบบบริเวณแม่น้ำ

การจำแนกวัสดุพืชพันธุ์ออกตามลักษณะภูมิอากาศ เพื่อความเหมาะสมกับสภาพที่ตั้ง จัดแบ่งออกได้ตามกลุ่ม ดังต่อไปนี้

1. แถบอากาศหนาว
2. แถบอากาศอบอุ่น
3. แถบอากาศร้อนแห้ง
4. แถบอากาศร้อนชื้น

การจำแนกวัสดุพืชพันธุ์ออกตามลักษณะสภาพแวดล้อมที่มักมีการเปลี่ยนแปลงในระยะเวลาช่วงหนึ่ง สามารถจัดแบ่งออกได้ตามกลุ่ม ดังต่อไปนี้

1. ความต้องการแสงเดด (มาก - จำไว - น้อย)
2. ความสามารถต้านทานลม (มาก - น้อย - ไม่ชอบลม)
3. ความต้องการปริมาณน้ำ (มาก - น้อย - ไม่ชอบน้ำ)

การจัดแบ่งชนิดของวัสดุพืชพันธุ์ออกเป็นหมวดหมู่ดังกล่าว จะช่วยให้สามารถประยุกต์เวลาในการนำข้อมูลไปใช้ในการวิจัยหรือออกแบบได้สะดวกยิ่งขึ้น

5.5 ชนิดของพืช (Plant Category)

การจัดแบ่งชนิดของพืช สามารถจัดแบ่งเป็นกลุ่มใหญ่ได้ดังต่อไปนี้

1. ไม้ยืนต้น (Tree)
2. ไม้พุ่ม (Shrub)
3. ไม้คลุมดิน (Groundcover)
4. ไม้เลื้อย (Vine)
5. หญ้า (grass)
6. วัชพืช (Weed)

นอกจากนี้ ชนิดของพืชยังสามารถจัดแบ่งออกได้ตามลักษณะของการดำรงชีวิต ดังต่อไปนี้

1. พืชเขียวตลอดปี เช่น วงศ์สน เป็นต้น
2. พืชผลัดใบ
3. พืชลักษณะพิเศษ เช่น วงศ์ปาล์ม วงศ์มาก วงศ์ไผ่ วงศ์กล้วย และวงศ์ขิง ฯลฯ
4. พืชที่มีอายุการดำรงชีวิตจำกัด เช่น Annual, Biennial, Triennial และ Perennial
5. พืชที่ให้ดอกต่างฤดูกัน หรือพืชที่ให้ดอกตลอดปี
6. พืชที่เจริญเติบโตในน้ำ เช่น บัว กุก พุทธกรรากษา เป็นต้น

ในการศึกษาครั้นนี้มุ่งเน้นไปที่พืชที่สามารถปลูกบนหลังคาได้ ซึ่งพืชประเภทหญ้าเป็นพืชที่สามารถปลูกบนหลังคาได้ง่าย เพราะไม่ต้องกังวลเรื่องน้ำหนักและการดูแลรักษาขนาดนัก ดังนั้นจึงทำการศึกษาถึงชนิดของพันธุ์หญ้าเขตร้อน ที่เหมาะสมที่จะนำมาใช้ในการวิจัย ดังนี้

พันธุ์หญ้าเขตตropical⁷

หญ้าเขตตropical หรือเรียกอีกอย่างว่า หญ้าเขตตอบคุ่น จะเจริญเติบโตได้ดี ในภูมิประเทศที่มีอากาศตอบคุ่นหรืออากาศครัวน อุณหภูมิระหว่าง 26–32 °C ประเทศไทยเป็นประเทศในเขตตropical สามารถปลูกหญ้าเขตตropical ได้ดี หญ้าเขตตropical ที่นิยมปลูกมีอยู่ 7 ชนิด คือ

1. หญ้าแพรก
2. หญ้าญี่ปุ่น
3. หญ้าเซนต์โอดัติน
4. หญ้าเซนติปิด
5. หญ้ามาเลเซีย
6. หญ้ามาเยีย
7. หญ้านวลจันทร์

หญ้าแพรก

หญ้าแพรกเป็นหญ้าสนามที่มีคุณสมบัติการเจริญเติบโตเหมาะสมกับสภาพดินฟ้าอากาศของประเทศไทยมาก มีใบสีเขียวตลอดปี มีความแน่น ทนต่ออากาศครัวนและแห้งแล้ง สามารถปลูกได้ในที่ดินเดิม ดินแร่น ข้อเดียวก็ ไม่เจริญออกงานในที่ร่วน ต้องการปุ๋ยไนโตรเจนมาก (ภาพที่ 14)



ภาพที่ 14 หญ้าแพรก

ที่มา: หญ้าแพรก [ออนไลน์], เข้าถึงเมื่อ 17 มิถุนายน 2551. เข้าถึงจาก www.mst.ac.th

⁷ สิน พันธุ์พินิจ, การจัดการสนามหญ้า, (กรุงเทพมหานคร : รวมสาส์น, 2535), 44.

หญ้าญี่ปุ่น

กลุ่มหญ้าญี่ปุ่น ที่นิยมปลูกในประเทศไทย มี 2 ชนิด คือ

1. หญ้าญี่ปุ่น มีขนาดใบกว้างประมาณ 4 มม. ยาว 1-2 นิ้ว มีใบละเอี้ยด และแข็ง
2. หญ้านวน้อย เหมาะสำหรับปลูกในเขตร้อนโดยเฉพาะ ลักษณะต่างๆ เมื่อเทียบกับหญ้าญี่ปุ่น แต่ลำต้นสูงกว่า ใบใหญ่ มีผิวสัมผัสหยาบกว่า ดูแลรักษาง่าย แต่ต้องการน้ำมาก (ภาพที่ 15)



ภาพที่ 15 หญ้าญี่ปุ่น(ซ้าย) และหญ้านวน้อย(ขวา)

ที่มา: [หญ้าญี่ปุ่น \[ออนไลน์\]](#), เข้าถึงเมื่อ 17 มิถุนายน 2551. เข้าถึงจาก www.grassyland.com

หญ้าเซนต์ออกัสติน

มีถิ่นกำเนิดอยู่ในเม็กซิโก ออฟริกา และออสเตรเลีย เป็นหญ้าประเภทยืนต้นที่มีใบใหญ่ กว้าง 4-10 มิลลิเมตร ยาว 3-5 นิ้ว ผิวสัมผัสหยาบ เจริญเติบโตเร็ว คลุมดินแน่น แต่ต้องการน้ำมาก ถ้าหากขาดน้ำในฤดูแล้งจะเหลืองทันที (ภาพที่ 16)



ภาพที่ 16 หญ้าเซนต์ออกัสติน

ที่มา: [หญ้าเซนต์ออกัสติน \[ออนไลน์\]](#), เข้าถึงเมื่อ 17 มิถุนายน 2551. เข้าถึงจาก

www.baanlaesuan.com

หญ้าเซนติปิด

มีถิ่นกำเนิดในประเทศไทย เป็นหญ้าที่มีการเจริญเติบโตช้า ใบปานกลาง กว้าง 3-5 มิลลิเมตร ลำต้นสูง 3-4 นิ้ว เจริญได้ในดินที่ไม่ค่อยสมบูรณ์ ต้องการปุ๋ยน้อย ตั้งตัวช้ากว่าหญ้าเขตต้อนชนิดอื่นๆ (ภาพที่ 17)



ภาพที่ 17 หญ้าเซนติปิด

ที่มา: [Centipeded \[ออนไลน์\]](#), เข้าถึงเมื่อ 17 มิถุนายน 2551. เข้าถึงจาก

www.american-lawns.com

หญ้ามาเลเซีย

หญ้ามาเลเซียหรือเรียกอีกชื่อว่า หญ้าพรอม ไม่ทนต่ออากาศหนาวเย็น เพราะกำเนิดในเขตต้อน มีใบใหญ่เขียวเข้ม ยาว 2-4 นิ้ว ผิวสัมผัสหยาบ ชอบชื้นในที่มีอินทรีย์วัตถุและดินมีความชื้นสูง ถ้าหากปลูกกลางแจ้งต้องให้น้ำอย่างพอเพียง มีเช่นนั้นหญ้าจะดี (ภาพที่ 18)



ภาพที่ 18 หญ้ามาเลเซีย

ที่มา: [หญ้ามาเลเซีย \[ออนไลน์\]](#), เข้าถึงเมื่อ 17 มิถุนายน 2551. เข้าถึงจาก www.iecm.co.th

หญ้าบราเซีย

หญ้าบราเซียมีลำต้นสูง แข็งแรง ใบยาว สีเขียวปานกลาง ใบกว้าง 4-8 มิลลิเมตร ช่อดอกยาว 1-2 พุ่ต มีความทนทานต่อการเหยียบย่ำได้ดี ต้องการน้ำยืนอยู่ ดูแลรักษาง่าย ทนทานต่อความแห้งแล้ง เจริญเติบโตได้ดีกับสภาพดินหลายชนิด (ภาพที่ 19)



ภาพที่ 19 หญ้าบราเซีย

ที่มา: Bahia [ออนไลน์], เข้าถึงเมื่อ 17 มิถุนายน 2551. เข้าถึงจาก www.gardenet.com.au

หญ้านวลจันทร์

หญ้านวลจันทร์มีถิ่นกำเนิดและเป็นหญ้าพื้นเมืองของประเทศไทย ลักษณะลำต้นแบบเดี่ยว ถ้าปลูกกลางแจ้งจะเรียบชิดติดกันได้ดีกว่าหญ้านวลน้อย ในสีเขียวอ่อน ยาวปานกลาง ใบบางเรียบอ่อนนุ่ม ดูแลรักษาง่าย ต้องการน้ำยืนอยู่ แต่ต้องให้น้ำอย่างพอเพียงในฤดูร้อน มีฉนั้นหญ้าจะไม่เขียวชุ่ม (ภาพที่ 20)



ภาพที่ 20 หญ้านวลจันทร์

ที่มา: หญ้านวลจันทร์ [ออนไลน์], เข้าถึงเมื่อ 17 มิถุนายน 2551. เข้าถึงจาก http://www.dld.go.th/ncna_nak/polytriasindica.html

6. งานวิจัยที่เกี่ยวข้อง

งานวิจัยและการทดลองเกี่ยวกับหลังคาเขียว Green roof หรือหลังคาที่เกี่ยวข้องกับสภาพแวดล้อมส่วนมากจะเน้นเกี่ยวกับเทคโนโลยีอาคารและวัสดุก่อสร้างสำหรับหลังคาที่มีความหลากหลายทั้งวัสดุสังเคราะห์ และวัสดุธรรมชาติ โดยมักจะเน้นการวัดผลที่อุณหภูมิภายในอาคาร และความสามารถในการช่วยลดการใช้พลังงานภายในอาคาร

6.1 การใช้สวนหลังคาเพื่อลดการถ่ายเทความร้อน⁸

เป็นงานวิจัยเพื่อศึกษาและวิเคราะห์ตัวแปรที่มีผลทำให้อุณหภูมิผิวด้านล่างหลังคาลดลง เพื่อหาแนวทางทำให้อุณหภูมิผิวด้านล่างของหลังคาต่ำที่สุดและเพื่อเสนอแนวทางการใช้สวนบนหลังคาเพื่อลดการถ่ายเทความร้อน โดยเลือกอาคารกรณีศึกษา คือ โรงพยาบาลราชธานี

ตัวแปรที่ศึกษา

อิทธิพลของดิน สภาพความชื้นภายในดิน สภาพผิวดิน อิทธิพลจากการแพร่รังสีดวงอาทิตย์ และสภาพแวดล้อมเหนือดิน

วิธีการ

ทำการวิจัยโดยแบ่งเป็น 5 ขั้นตอน คือ 1) ศึกษาอิทธิพลของดิน โดยเปรียบเทียบ อุณหภูมิผิวด้านล่างหลังคาอาคารที่มีดินปกคลุมและไม่มีดินปกคลุม 2) ศึกษาสภาพความชื้นภายในดิน โดยเปรียบเทียบอุณหภูมิผิวด้านล่างหลังคาอาคารที่ปอกคลุมด้วยดินที่มีความชื้นมาก และดินที่มีความชื้นน้อย 3) ศึกษาสภาพผิวดิน โดยเปรียบเทียบอุณหภูมิผิวด้านล่างหลังคาอาคารที่ผิวดินปกคลุมด้วยหญ้า พืชคลุมดิน และไม่มีสิ่งปกคลุม 4) ศึกษาอิทธิพลจากการแพร่รังสีดวงอาทิตย์ โดยเปรียบเทียบอุณหภูมิผิวด้านล่างหลังคาอาคารที่ผิวดินปกคลุมด้วยหญ้าในร่ม และหญ้าโคนเดด 5) ศึกษาสภาพแวดล้อมเหนือดิน โดยเปรียบเทียบอุณหภูมิผิวด้านล่างหลังคาอาคารที่ผิวดินปกคลุมด้วยหญ้าในที่โล่ง หญ้าได้เมี้ยม และหญ้าได้ตันไม้

ผลการวิจัย

จากการวิจัยสามารถสรุปได้ว่า การใช้ดินปกคลุมหลังคาอาคารสามารถลดอุณหภูมิผิวด้านล่างหลังคาอาคารลงได้ เนื่องจากอิทธิพลความเย็นจากดินและการแลกเปลี่ยนความร้อน

⁸ ศุภกิจ ยิ่งสวัสดิ์, “การใช้สวนหลังคาเพื่อลดการถ่ายเทความร้อน” (วิทยานิพนธ์ปริญญามหาบัณฑิต ภาควิชาสถาปัตยกรรมศาสตร์ คณะสถาปัตยกรรมศาสตร์ จุฬาลงกรณ์มหาวิทยาลัย, 2541).

ระหว่างหลังคาอาคารกับดิน ดินที่มีความชื้นมากทำให้อุณหภูมิผิดด้านล่างหลังคาอาคารลดต่ำลง การมีสิ่งปักคลุมผิดดินช่วยป้องกันความร้อนและรักษาความชื้นชี้นให้กับดิน การประยุกต์ใช้สวนบนหลังคาเพื่อลดการถ่ายเทความร้อน ควรทำให้ดินมีความชื้นตลอดเวลาและมีสิ่งปักคลุมผิดดินเพื่อรักษาความชื้นภายในดิน ควรใช้ต้นไม้ใหญ่ เพื่อปรับสภาพแวดล้อมและป้องกันความร้อนจากดวงอาทิตย์ ซึ่งจะช่วยลดการถ่ายเทความร้อนได้

6.2 การเปรียบเทียบศักยภาพของการป้องกันความร้อนระหว่างการใช้สวนหลังคา กับระบบหลังคาที่ใช้กันทั่วไป⁹

งานวิจัยนี้มีจุดมุ่งหมายหลักเพื่อศึกษาอิทธิพลในการป้องกันความร้อนเข้าสู่ภายในอาคารโดยการใช้สวนหลังคา ทั้งในอาคารที่ใช้ระบบปรับอากาศและไม่ปรับอากาศ และศึกษาอิทธิพลของมวลสารของหลังคา ในกรณีนั่งหนึ่งหนี่งความร้อนที่เข้ามาภายในอาคาร

ตัวแปรที่ศึกษา

ตัวแปรอิสระ - รูปแบบของหลังคา ได้แก่ สวนหลังคาหญ้า สวนหลังคาพืชคลุมดิน สวนหลังคาไม้พุ่ม และ หลังคาคอนกรีต

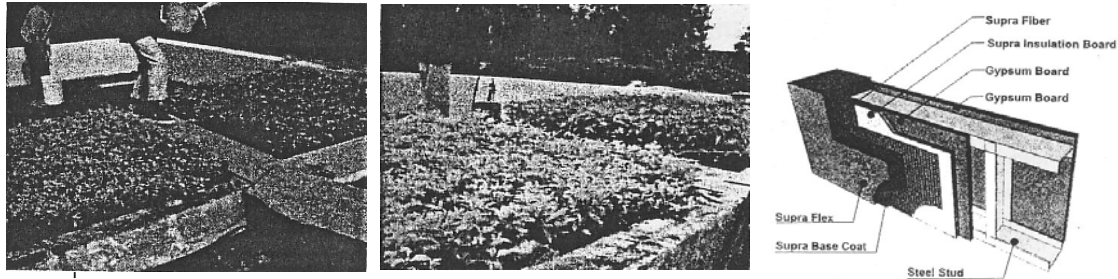
ตัวแปรตาม - อุณหภูมิผิวภายนอกของสวนหลังคาหญ้า สวนหลังคาพืชคลุมดิน สวนหลังคาไม้พุ่ม และ หลังคาคอนกรีต

ตัวแปรควบคุม - ทำการเก็บข้อมูลในสภาพแวดล้อมเดียวกัน ความเร็วลมเท่ากัน ส่วนประกอบของดินเท่ากัน และน้ำในปริมาณเท่ากัน

วิธีการ

ในกระบวนการวิจัยได้สร้างกล่องทดลองขนาดกว้าง 4.40 เมตร ยาว 7.90 เมตร สูง 3.00 เมตร และแบ่งเป็นหลังคาแบบต่างๆ 4 ชนิดในกล่องเดียวกัน ได้แก่ หลังคาคอนกรีต หลังคาที่ปักคลุมด้วยหญ้า หลังคาที่ปักคลุมด้วยพืชคลุมดินลำต้นเตี้ย และหลังคาที่ปักคลุมด้วยไม้พุ่ม (ภาพที่ 21) ทำการทดลองที่บริเวณหมู่บ้านเมืองเอก รังสิต ทำการเก็บข้อมูลอุณหภูมิผิวภายนอกด้วยเครื่องมือ Data Logger โดยเก็บข้อมูลตั้งแต่เดือนมีนาคมถึงเมษายนซึ่งเป็นช่วงที่ร้อนที่สุดของปี

⁹ ณัฐรุณี นวลสกุล, “การเปรียบเทียบศักยภาพของการป้องกันความร้อนระหว่างการใช้สวนหลังคา กับระบบหลังคาที่ใช้กันทั่วไป” (วิทยานิพนธ์ปริญญามหาบัณฑิต ภาควิชาสถาปัตยกรรมศาสตร์ คณะสถาปัตยกรรมศาสตร์ จุฬาลงกรณ์มหาวิทยาลัย, 2545).



ภาพที่ 21 แสดงกล่องทดลองในงานวิจัย

ที่มา : ณัฏฐ์สิรี นวลสกุล, “การเปรียบเทียบศักยภาพของการป้องกันความร้อนระหัสจากการใช้สวนหลังคา กับระบบหลังคาที่ใช้กันทั่วไป” (วิทยานิพนธ์ปริญญามหาบัณฑิต ภาควิชาสถาปัตยกรรมศาสตร์ คณะสถาปัตยกรรมศาสตร์ จุฬาลงกรณ์มหาวิทยาลัย, 2545), 98.

ผลการวิจัย

ผลการเก็บข้อมูลพบว่า ในกรณีปรับอากาศ อุณหภูมิผิวภายนอกสูงสุดของหลังคาค่อนกรีต มีอุณหภูมิ 40.13°C สวนหลังคาหน้ามีอุณหภูมิ 26.73°C สวนหลังคาพีซคลูมดินดำตันเตี้ยมีอุณหภูมิ 25.74°C และสวนหลังคาไม้พุ่มสูงมีอุณหภูมิ 25.17°C ในกรณีไม่ปรับอากาศ อุณหภูมิผิวภายนอกสูงสุดของหลังคาด่อนกรีต มีอุณหภูมิ 39.36°C สวนหลังคาหน้ามีอุณหภูมิ 30.12°C สวนหลังคาพีซคลูมดินดำตันเตี้ยมีอุณหภูมิ 29.11°C และสวนหลังคาไม้พุ่มสูงมีอุณหภูมิ 28.11°C

การวิจัยสรุปได้ว่า สวนหลังคาไม้พุ่มสูงสามารถทำให้อุณหภูมิผิวภายนอกอาคารมีค่าน้อยที่สุด ต่ำกว่าสวนหลังคาพีซคลูมดินดำตันเตี้ยและสวนหลังคาหน้า การใช้สวนหลังคาสามารถลดอุณหภูมิผิวได้หลังจากอาคารได้มากกว่า 15 องศาเซลเซียส เมื่อเปรียบเทียบกับหลังคาด่อนกรีต และลดภาระการทำงานทำความเย็นได้อย่างน้อย 89 %

6.3 Study of thermal performance of extensive rooftop greenery systems in the tropical climate¹⁰

เป็นงานวิจัยเพื่อศึกษาประสิทธิภาพของการใช้สวนหลังคา ในประเทศไทยโดยใช้คาดฟ้าของอาคารจอดรถ 4 ชั้น แห่งหนึ่ง ซึ่งไม่ระบุชื่ออาคารแน่นชัด (ภาพที่ 22) เป็นสถานที่ทำการทดลอง โดยเริ่มทำการวัดค่าอุณหภูมิผิวหลังคาคาดฟ้าและอุณหภูมิอากาศใต้หลังคา เป็นระยะเวลาประมาณ 22 วัน จากนั้นจึงทำการสร้างสวนหลังคาขึ้นบนคาดฟ้า โดยแบ่งพื้นที่ออกเป็น 4 ส่วน แยกตามชนิดของพืชพันธุ์ แล้วทำการวัดค่าอุณหภูมิผิวดินและอุณหภูมิอากาศใต้หลังคา ด้วยเครื่องมือ Data Logger จากนั้นนำค่าที่ได้มาเปรียบเทียบกัน

ตัวแปรที่ศึกษา

ตัวแปรอิสระ - รูปแบบของหลังคา ได้แก่ สวนหลังคาที่ปลูกพืชชนิดต่างๆ และหลังคาคอนกรีต

ตัวแปรตาม - อุณหภูมิผิวดินและอุณหภูมิอากาศใต้หลังคา

ตัวแปรควบคุม - ทำการเก็บข้อมูลในสภาพแวดล้อมเดียวกัน ความเร็วลมเท่ากัน ส่วนประกอบของดินเท่ากัน

¹⁰ Wong Nyuk Hien, Tan Puay Yokb, Chen Yu. Study of thermal performance of extensive

rooftop greenery systems in the tropical climate [online], Accessed 15 December 2006.

Available from www.sciencedirect.com



ภาพที่ 22 แสดงอาคารจอดรถที่ใช้เป็นสถานที่ในงานวิจัย

ที่มา : Wong Nyuk Hien, Tan Puay Yokb, Chen Yu. Study of thermal performance of extensive rooftop greenery systems in the tropical climate [online], Accessed 15 December 2006. Available from www.sciencedirect.com

ผลการวิจัย

ผลการวิจัยพบว่า การสร้างสวนหลังคาบนดาดฟ้าของอาคาร สามารถช่วยลดอุณหภูมิที่ผิวหลังคาของกาวิตลงได้มากที่สุดถึง 18 องศาเซลเซียส แต่มีจุดที่น่าสังเกตคือ เมื่อปล่อยให้สวนหลังคาแห้งโดยไม่ได้รดน้ำให้เกิดความชื้นซึ่งพบว่า อุณหภูมิที่ระดับ 30 ซม. เหนือพื้นผิว มีอุณหภูมิสูงถึง 40 องศาเซลเซียส ในขณะที่หากรดน้ำปกติจะมีอุณหภูมิเฉลี่ยอยู่ที่ 36 องศาเซลเซียส ดังนั้นความชื้นซึ่งจึงเป็นสิ่งที่สำคัญสำหรับการนำสวนหลังคามาใช้ประโยชน์ในการลดความร้อนเข้าสู่อาคาร

6.4 Ponds, Green Roofs, Pergolas and High Albedo Materials; Which Cooling Technique for Urban Spaces? (Eleftheria Alexandri and Phil Jones, 2006)¹¹

เป็นงานวิจัยเพื่อเปรียบเทียบความสามารถในการป้องกันความร้อนของวัสดุหลังคาชนิดต่างๆ โดยเลือกวัสดุมาทำการทดสอบมา 6 ชนิดคือ

1. หลังคาคอนกรีต
2. หลังคาคอนกรีตทาสีขาว
3. หลังคาคอนกรีตทาสีขาว with 25% smaller albedo
4. หลังคา green roof
5. หลังคา pond roof
6. หลังคาคลุมด้วยระแนงไม้เลือย

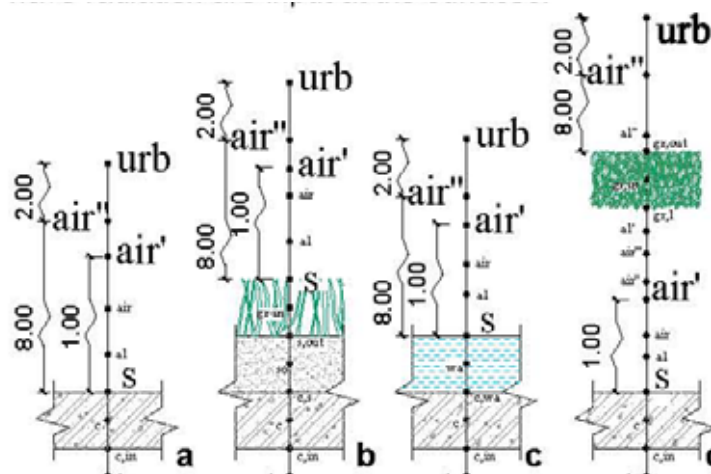


Figure 1: (a) Concrete roof model, (b) green roof model (c) pond roof model and (d) green sky model

ภาพที่ 23 แสดง Graphic ของหลังคาในการทดลอง

ที่มา : Eleftheria Alexandri and Phil Jones. Ponds, Green Roofs, Pergolas and High

Albedo Materials; Which Cooling Technique for Urban Spaces? [CD-ROM].2006.

Abstract from paper 501 :PLEA2006 - The 23rd Conference on Passive and Low Energy Architecture

¹¹ Eleftheria Alexandri and Phil Jones. Ponds, Green Roofs, Pergolas and High Albedo

Materials; Which Cooling Technique for Urban Spaces? [CD-ROM].2006. Abstract from paper 501

:PLEA2006 - The 23rd Conference on Passive and Low Energy Architecture,

สรุปผลการทดลอง

ผลการทดลองพบว่า จากการวัดอุณหภูมิเฉลี่ยที่ระดับ 1 เมตรเหนือผิวหลังคา ในเวลากลางวัน (7.00 - 10.00 น.) หลังคาระแนงไม้เลี้ยว มีค่าอุณหภูมิต่ำที่สุดอยู่ที่ 18 องศา เชลเซียส ส่วนในเวลากลางคืน (23.00 - 6.00 น.) หลังคากลาง Green roof จะมีอุณหภูมิต่ำที่สุดอยู่ที่ 18 องศา เชลเซียส ส่วนอุณหภูมิผิวหลังคานอกเวลากลางวัน อุณหภูมิเฉลี่ยของหลังคาระแนงไม้เลี้ยวและหลังคากลาง Pond roof มีค่าต่ำที่สุดอยู่ที่ 24 องศา เชลเซียส ในเวลา 12.00 น. ในเวลากลางคืนหลังคากลาง Green roof จะมีอุณหภูมิต่ำที่สุดอยู่ที่ 9 องศา เชลเซียส ในเวลา 1.00 – 5.00 น.

ผลการทดลองสรุปว่า สร่าน้ำ green roof และระแนงไม้เลี้ยว สามารถช่วยลดอุณหภูมิให้กับหลังค้าได้ดีกว่าหลังคากลาง เนื่องจากการเลือกว่าจะใช้รูปแบบใดขึ้นอยู่กับประเภทของอาคาร เช่น หลังคากลางที่มีสร่าน้ำ อาจเหมาะสมกับอาคารประเภทสำนักงานหรือโรงเรียน ที่มีการใช้งานในเวลากลางวัน ส่วนหลังคากลาง Green roof และระแนงไม้เลี้ยว มีอุณหภูมิผิวหลังคากต่ำที่สุดเหมาะสมกับอาคารที่มีการใช้งาน 24 ชั่วโมง เช่น บ้านพักอาศัยหรือป้อมยาม

จากตัวอย่างงานวิจัยที่เกี่ยวข้องจึงพอสรุปรูปแบบของหลังคากลาง Green roof เป็นตาราง เพื่อนำไปใช้เป็นข้อมูลในการทดลองต่อไป (ดูตารางที่ 2)

ตารางที่ 2 สรุปรายละเอียดในงานวิจัยต่างๆที่เกี่ยวข้อง

No.	งานวิจัย	ผู้วิจัย	รายละเอียด	ตัวแปรที่ศึกษา	ความลึกดินปลูก(ซม.)	วัสดุพืชพันธุ์
6.1	การใช้สวนหลังคาเพื่อลดภาระตัวเรือนร้อน	ศุภกิจ ยิ่ม ศรีวนิดา	เป็นงานวิจัยเพื่อศึกษาและวิเคราะห์ตัวแปรที่มีผลทำให้อุณหภูมิผิวต้านส่างหลังคาลดลงโดยเฉลี่อกองการกํารณ์ศึกษาคือในพยาบาลราษฎร์	อุทิศพลของดิน, สภาพความชื้นภายในดิน, สภาพผิวดิน, อิทธิพลจากการแพร่รังสีทางอาทิตย์และสภาพแวดล้อมเหนือดิน	60	หญ้า, ไม้พุ่ม และต้นไม้ใหญ่
6.2	การเบรี่ยบเที่ยบตักษิภพของก่อสร้างกับความร้อนระหว่างการใช้สวนหลังคาแบบระบบหลังคาที่ใช้กันทั่วไป	ณัฐรุณี นวล สกุล	เพื่อศึกษาอิทธิพลในการป้องกันความร้อนเข้าสู่ภายในอาคารโดยการใช้สวนหลังคาในอาคารที่ใช้ระบบปรับอากาศและไม่ปรับอากาศ โดยสร้างกล่องทดลองขึ้นขนาดกว้าง 4.40 เมตร ยาว 7.90 เมตร สูง 3.00 เมตร แบ่งการทดลอง成 4 ชุด หลังคา 4 ชนิด	รูปแบบของหลังคา 4 ชนิด ได้แก่ หลังคาคอนกรีต หลังคาที่ปูคลุมด้วยหลังคาที่ปูคลุมด้วยพืชคุณภาพดีตั้งเดียว และหลังคาที่ปูคลุมด้วยไม้พุ่ม อุณหภูมิผิวใต้หลังคา	30	หญ้า มาเลเซีย, นาคชุมพู
6.3	Study of thermal performance of extensive rooftop greenery systems in the tropical climate	Wong Nyuk Hien, Tan Puay Yokb, Chen Yu	เป็นงานวิจัยเพื่อศึกษาประสิทธิภพของการใช้สวนหลังคา ในประเทศไทย ลิงค์ปรับโดยใช้ตัวตัดฟ้าของอาคารจอดรถ 4 ชั้น แห่งหนึ่ง โดยแบ่งพื้นที่ออกเป็น 4 ส่วน แยกตามชนิดของพืชพันธุ์	สวนหลังคาที่ปูด้วยพืชชนิดต่างๆ และหลังคาคอนกรีต, อุณหภูมิผิวดินและอุณหภูมิอากาศใต้หลังคา	10	หญ้าหากากชนิด
6.4	Ponds, Green Roofs, Pergolas and High Albedo Materials; Which Cooling Technique for Urban Spaces?	Eleftheria Alexandri, Phil Jones	เป็นงานวิจัยเพื่อประยุบเที่ยบความสามารถในการป้องกันความร้อนของวัสดุหลังคาชนิดต่างๆ โดยเลือกวัสดุมาทำการทดสอบมา 6 ชนิด	วัสดุหลังคา 6 ชนิด, อุณหภูมิผิวเหนือหลังคา, อุณหภูมิผิวใต้หลังคา	20	หญ้าหากากชนิด

7. ตัวอย่างอาคารกรณีศึกษา (Case Study)

ในการศึกษาครั้งนี้จึงได้นำอาคารที่มีการใช้หลังคาเขียวที่นำเสนอมาทำการศึกษา รูปแบบและลักษณะการใช้งาน ดังนี้

7.1 Osaka Municipal Central Gymnasium

ตั้งอยู่ที่เมืองโอซาก้า ประเทศญี่ปุ่น สร้างเสร็จเมื่อปี ค.ศ.1996 มีพื้นที่ทั้งหมด 1,101,089 ตารางฟุต ความลึกดินปลูก 40 นิ้ว ปกลดุมด้วยหญ้า ไม้พุ่มเตี้ย และไม้ยืนต้น หลักชนิด

Osaka Municipal Central Gymnasium ถูกสร้างขึ้นที่บริเวณสวนสาธารณะ Yahataya เพื่อรองรับการแข่งขันกีฬาโอลิมปิก ในปี 2008 ด้วยความจุที่นั่งถึง 10,000 ที่นั่ง โดยตัวอาคารถูกออกแบบให้ผังลงไปได้ดินลึก 30 ฟุต โครงสร้างผนังอาคารสามารถรับน้ำหนักของหลังคา Green roof ได้ถึง 70,000 ตัน ในส่วนของหลังคา Green roof จะช่วยป้องกันความร้อนให้กับสนามกีฬาซึ่งอยู่ด้านล่าง และจะช่วยรักษาความร้อนภายในไว้ในฤดูหนาว นอกจากนี้สวนยอดแหลมของโดมนั้นสามารถเปิดรับแสงธรรมชาติและลมธรรมชาติได้อย่างดี (ภาพที่ 24)



ภาพที่ 24 อาคาร Osaka Municipal Central Gymnasium

ที่มา : Earth Pledge, [Green Roof Ecological Design and Construction](#) (U S A: A Shiffer Publishing Ltd & Design, 2005), 65.

Green roof ของอาคารหลังนี้ถือเป็นหัวใจสำคัญของโครงข่ายสวนสาธารณะของเมืองเลยที่เดียว ซึ่งอาคารแห่งนี้สามารถเป็นได้ทั้งสนามกีฬาและสวนสาธารณะ เนื่องจากตัว

อาคารถูกออกแบบให้ดูกลมกลืน เข้ากับสวนสาธารณะ Yahataya เป็นอย่างมาก ทำให้เมืองมีพื้นที่สีเขียวเพิ่มมากขึ้น

7.2 ACROS Fukuoka

ตั้งอยู่ที่เมืองฟูกุโอกะ ประเทศญี่ปุ่น สร้างเสร็จเมื่อปี ค.ศ.1995 มีพื้นที่ทั้งหมด 100,000 ตารางฟุต ความลึกดินปลูก 12-24 นิ้ว ปักคลุมด้วยไม้พุ่มเตี้ยพื้นเมืองของประเทศญี่ปุ่น

The Asian Crossroads over the Sea (ACROS) เป็นอาคารชั้งอยู่ในย่านธุรกิจของเมือง Fukuoka ตั้งอยู่ติดกับสวนสาธารณะ Tenjin โดย green roof ของอาคารถูกออกแบบให้เป็นขั้นบันไดขึ้นไปตามผนังอาคาร มีลักษณะคล้ายภูเขา (ภาพที่ 25) เป็นการผสมผสานระหว่าง Public space และ Private space ได้อย่างลงตัว ชั้นขนาดของ Green roof ที่สร้างขึ้นนั้นมีขนาดเป็น 2 เท่าของสวนสาธารณะ โดยส่วนภายนอกอาคารชั้นที่มีพื้นที่มากถึง 1,000,000 ตารางฟุต ประกอบไปด้วย พิพิธภัณฑ์ โรงภาพยนตร์ ร้านค้า และส่วนสำนักงาน



ภาพที่ 25 อาคาร ACROS Fukuoka

ที่มา : Earth Pledge, Green Roof Ecological Design and Construction (U.S.A.: A Shiffer Publishing Ltd & Design, 2005), 61.

ในอดีตพื้นที่แห่งนี้เคยเป็นพื้นที่ชั่วใหญ่ที่สุดแห่งสุดท้ายในใจกลางเมือง Fukuoka ซึ่งยังไม่ได้ถูกพัฒนา ภายหลังจึงได้ถูกสร้างให้เป็นสวนสาธารณะ โดยใช้แนวคิดในการสร้างพื้นที่สีเขียวขึ้นมาทดแทน ให้เท่ากับพื้นที่ที่เสียไปในการก่อสร้าง ทางเข้าของอาคารถูกออกแบบให้อ่าย

ทางทิศเหนือ ส่วนทางด้านทิศใต้ซึ่งอยู่ติดกับสวนสาธารณะ Tenjin ถูกออกแบบให้เป็นเหมือนระเบียงปลูกต้นไม้เป็นขั้นๆ ตามความสูงของอาคาร (ภาพที่ 26) ทำให้ทุกชั้นของอาคารมีพื้นที่สีเขียว ช่วยสร้างความรู้สึกผ่อนคลายและหลีกหนีจากความแออัดของเมืองซึ่งอยู่ด้านล่าง ส่วนยอดสุดของอาคารถูกใช้เป็นหอชมวิวซึ่งสามารถมองเห็นอ่าว Fukuoka และภูเขาซึ่งอยู่รอบๆ ได้



ภาพที่ 26 แสดงรูปตัด ACROS Fukuoka

ที่มา : Earth Pledge, Green Roof Ecological Design and Construction (U.S.A.: A Shiffer Publishing Ltd & Design, 2005), 61.



ภาพที่ 27 แสดงทัศนียภาพภายนอกอาคาร ACROS Fukuoka

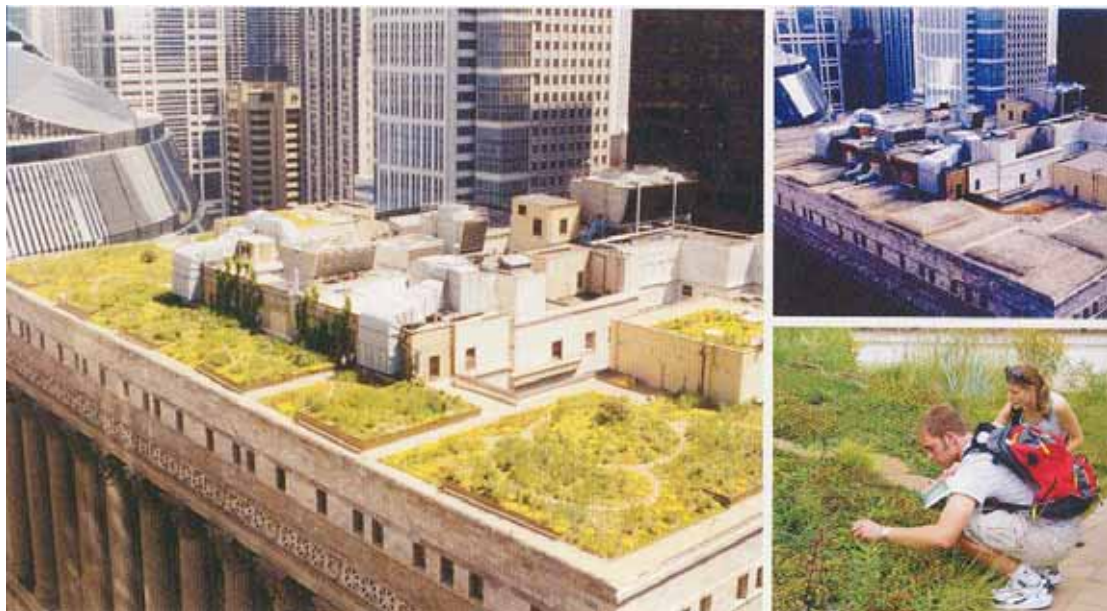
ที่มา : Earth Pledge, Green Roof Ecological Design and Construction (U.S.A.: A Shiffer Publishing Ltd & Design, 2005), 61.

7.3 Chicago City Hall

ตั้งอยู่ที่เมืองชิคาโก ประเทศสหรัฐอเมริกา สร้างเสร็จเมื่อปี ค.ศ.2001 มีพื้นที่ทั้งหมด 22,000 ตารางฟุต ความลึกดินปลูก 4, 8 และ 16 นิ้ว ปกคลุมด้วยพืชพันธุ์กว่า 150 ชนิด

ด้วยความพยายามที่จะทำให้เมือง Chicago เป็นเมืองที่มีพื้นที่สีเขียวมากที่สุดในสหรัฐอเมริกา ทำให้ Chicago มีอาคารที่ใช้หลังคา Green roof มากกว่าเมืองอื่นๆ ในประเทศ อาคาร City hall (ศาลากลางจังหวัด) ซึ่งมีอายุถึง 100 ปี ได้ถูกปรับปรุงให้มีหลังคา Green roof เป็นแห่งแรกของเมือง และเป็นสถานที่ซึ่งมีความน่าสนใจ หมายความว่าเมืองนี้ได้ดำเนินการศึกษาวิจัย ทดลอง เพื่อศึกษาผลของการใช้ Green roof เป็นอย่างมาก

พืชพันธุ์ที่ใช้กับ Green roof บนอาคารแห่งนี้มีมากถึง 150 ชนิด ซึ่งกำลังอยู่ในระหว่างการทดลอง โดยการจำแนกชนิดของพืชพันธุ์ออกเป็นกลุ่มๆ ตามกระบวนการปลูก นอกจากนี้ยังทำการทดลองเรื่องขนาดความลึกของดินปลูก ความลาดเอียง และระบบการระบายน้ำ เพื่อหาค่าที่ดีที่สุด (ภาพที่ 28)



ภาพที่ 28 อาคาร Chicago City Hall

ที่มา : Earth Pledge, [Green Roof Ecological Design and Construction](#) (U.S.A.: A Shiffer Publishing Ltd & Design, 2005), 58.

7.4 Vastra Hamnen

ตั้งอยู่ที่เมืองมัลโม ประเทศสวีเดน สร้างเสร็จเมื่อปี ค.ศ.2001 มีพื้นที่ทั้งหมด 48,000 ตารางฟุต ความลึกดินปลูก 1.4 นิ้ว ปกคลุมด้วยเซดัม (พันธุ์ไม้อวบน้ำชนิดหนึ่ง)

Vastra Hamnen เป็นโครงการพัฒนาเคหการที่อยู่ใกล้ส่วนพฤษศาสตร์ GISR โดยใช้รูปแบบ Extensive Green roof ที่ผนวก拦ชาร สร่าน้ำและที่รับน้ำแบบซึมทิ้ง (soakaways) ที่สร้างสรรค์อย่างสวยงามไว้ระหว่างอาคารเพื่อร่องรับน้ำฝนจากหลังคาอาคาร โครงการที่พักอาศัยในเมืองที่สร้างบนพื้นที่อุดหนากรุ่มเก่าซึ่งโครงการ Bo01 ในว่าสตราแสมเนน ถูกตั้งใจให้กับอาคารอพาร์ตเมนต์-สำนักงาน “Turning Torso” ในเมืองมัลโม นี้เป็นโครงการที่พักอาศัยที่ได้ใช้หลังคาเขียวเป็นจำนวนมากถึง 16 หลัง จึงทำให้มีลักษณะเป็น Eco-Village หรือ หมู่บ้านเชิงนิเวศ (ภาพที่ 29)



ภาพที่ 29 อาคาร Vastra Hamnen

ที่มา : Earth Pledge, Green Roof Ecological Design and Construction (U.S.A.: A Shiffer Publishing Ltd & Design, 2005), 70.

จากตัวอย่างอาคารกรณีศึกษาจึงพอสรุปแบบของหลังคา Green roof เป็นตารางดังนี้

ตารางที่ 3 แสดงความลึกของดินปลูกและวัสดุพืชพันธุ์ที่ใช้ในตัวอย่างอาคารกรณีศึกษา

No.	ชื่ออาคาร	ประเภทอาคาร	ประเภทหลังคา	ความลึกดินปลูก(นิ้ว)	วัสดุพืชพันธุ์
1	Osaka Municipal Central Gymnasium	Institutional	Intensive	40	Varieties
2	ACROS Fukuoka	Office	Intensive	12-24	Varieties
3	Chicago City Hall	Institutional	Intensive	4, 8, 16	Varieties
4	Vastra Hamnen	Residential	Extensive	1.4	Sedum

เมื่อศึกษาข้อมูลจากตัวอย่างอาคารกรณีศึกษาและตารางเปรียบเทียบจะพบว่า ส่วนใหญ่แล้วอาคารแต่ละแห่งจะสร้าง Green roof โดยการใช้พืชพันธุ์พื้นเมืองที่มีอยู่ในภูมิประเทศของตน โดยในส่วนของอาคารที่มีการปลูกพืชพันธุ์หลากหลายชนิดหลายขนาด ซึ่งเป็น Intensive Green roof เช่น Osaka Municipal Central Gymnasium, ACROS Fukuoka และ Chicago City Hall จะมีความลึกของดินปลูกมาก ส่วนแบบ Extensive Green roof คือ Vastra Hamnen ซึ่งปลูกเพียงแค่พืชคลุมดิน จะใช้ความลึกของดินปลูกน้อย จากข้อมูลเบื้องต้นดังกล่าวนี้จะนำไปใช้เป็นข้อมูลพื้นฐานในการศึกษาต่อไป

หลังคา Green roof ในประเทศไทย

สารานุกรมเสรีทางอินเตอร์เน็ต “Wikipedia” ได้กล่าวถึงหลังคา Green roof ในประเทศไทยว่า “ประเทศไทยมีสวนหลังคามากมายแล้ว โดยเฉพาะในย่านในเมืองหนาแน่น ด้วยการนำต้นไม้มาปลูกในภาชนะหรือกระถางบนดาดฟ้า แต่สวนหลังคาที่จะใจออกแบบให้เป็นสวนหลังคา มาตั้งแต่แรกและมีการจัดเพื่อการรับน้ำหนัก การกันชืืมและอื่นๆ ไว้ก่อน เพิ่งเกิดขึ้นประมาณ 25-30 ปีที่ผ่านมาแต่มีวัตถุประสงค์เพียงเพื่อความสวยงามและเพื่อการใช้ประโยชน์พื้นที่ดาดฟ้า การใช้ในเชิงของหลังคาเขียว หรือเชิงการช่วยลดค่าสาธารณูปโภครวมของหลังคาอาคาร (RTTV) โดยเฉพาะยังไม่ปรากฏขึ้นใน

สวนหลังคาที่อาจตรงกันมากที่สุด และจัดเป็นหลังคาเขียวได้แห่งหนึ่งได้แก่ หลังคาอาคารชุดพักผ่อนโครงการกรุงเทพมหานครเดนคลิฟ 2 ที่พัทยา ชลบุรี ซึ่งสร้างเมื่อ พ.ศ. 2524 (ภาพที่ 30) แม้

จะไม่ได้ออกแบบตั้งแต่แรกเพื่อบรรเทาป่วยภูมิอากาศโดยร้อนแต่เป็นการเปิดวิวทะเลและลดความไม่น่าดูของผืนหลังคาของเรือ เมื่อมองจากตัวอาคารหลักที่เป็นอาคารสูงในโครงการเดียวกันหลังคาเขียวแห่งนี้หากจัดประเภทตามเกณฑ์ อาจจัดให้อยู่ในหลังคาเขียวแบบ "กึ่งปล่อย" (Semi-intensive) ได้ เพราะการดูแลรักษาไม่เพียงแค่การตัดหญ้าและให้น้ำ



ภาพที่ 30 ภาพแสดงหลังคาเขียวบนอาคารชุดพักผ่อนกาว์เดนคลิฟ 2 พัทยา

ที่มา : [Green Roof \[online\]](#), Accessed 1 February 2008.

Available from th.wikipedia.org/wiki/หลังคาเขียว

8. การศึกษาการใช้พลังงานในอาคารที่ใช้ Green roof ด้วยโปรแกรม EnergyPlus

หลังคา Green roof เริ่มเป็นที่นิยมนำไปใช้กันมากขึ้น ทั้งการนำไปใช้กับอาคารที่สร้างใหม่และการปรับปรุงอาคารเดิม นอกจากนี้ยังมีการวิจัยเกี่ยวกับประสิทธิภาพของ Green roof เพื่อการประหยัดพลังงานอย่างแพร่หลาย อย่างไรก็ตามยังไม่มีเครื่องมือที่ช่วยให้นักลงทุนหรือสถาปนิกประเมินประสิทธิภาพในการออกแบบ Green roof ในด้านต่างๆ เช่น ชนิดของดินปลูก ความลึกของดิน ชนิดของพืชพันธุ์ ระบบระบายน้ำ เป็นต้น นั่นจึงเป็นเหตุผลที่สำคัญซึ่งควรจะมีเครื่องมือที่สามารถจำลองอาคารซึ่งสามารถแสดงผลลัพธ์ที่เกิดขึ้นจากการออกแบบ Green roof ได้

EnergyPlus คือโปรแกรมที่ใช้ในการวิเคราะห์พลังงานที่ใช้ของอาคาร โดยการจำลองอาคารเสมือนจริงขึ้นตามข้อมูลที่เรากำหนดในโปรแกรม จากนั้นโปรแกรมจะคำนวนหาค่าavarage

การทำความร้อน ความเย็น ของระบบอุปกรณ์อาคาร ค่าอุณหภูมิที่เกิดขึ้นภายในอาคาร เพื่อให้เราสามารถวิเคราะห์ประสิทธิผลในการประยัดพลังงานของอาคารที่เราออกแบบได้ในเบื้องต้น ก่อนที่จะลงมือก่อสร้าง โดยโปรแกรม EnergyPlus มีข้อดีดังนี้

1. เป็นโปรแกรมที่สามารถดาวน์โหลดมาใช้ได้โดยไม่เสียค่าใช้จ่าย
2. ใช้วิธีการคำนวนแบบ Heat Balance คือมีสมดุลพลังงานที่เข้าและออกจากระบบ ทำให้ได้ข้อมูลที่ค่อนข้างถูกต้อง
3. สามารถคำนวนทุกช่วงระยะเวลาที่ต่างกว่า 1 ชั่วโมง (Sub Hourly) ตามที่ผู้ใช้ระบุ ซึ่งช่วยให้ผลการคำนวนใกล้เคียงความเป็นจริง
4. สามารถคำนวนค่าพลังงานที่ใช้ภายในอาคาร อุณหภูมิภายในห้อง อุณหภูมิพิวเปลือกอาคาร ฯลฯ
5. เป็นโปรแกรมที่มีการพัฒนาอย่างต่อเนื่อง

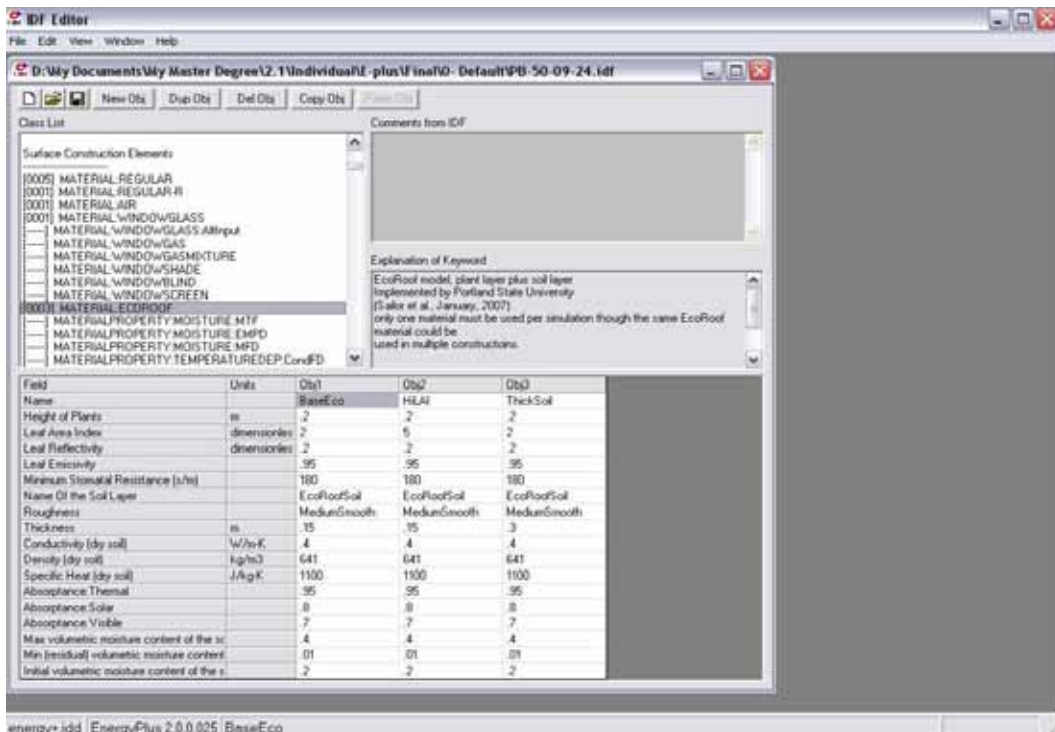
ในส่วนของการจำลอง Green roof เพื่อศึกษาประสิทธิภาพในการนำพืชมาใช้ในการป้องกันความร้อน ด้วยโปรแกรม EnergyPlus นั้น ในโปรแกรมนี้จะเรียก Green roof ว่า "Eco roof" โดยจะจำลองในส่วนชั้นโครงสร้างภายนอกของหลังคา โดยผู้ใช้โปรแกรมสามารถกำหนดค่าต่างๆ เช่น ความลึกดิน ความหนาแน่นของใบพืช ความสูงของพืช และความชื้นภายในดิน เป็นต้น

ในการวิจัยครั้งนี้ เนื่องด้วยข้อจำกัดในด้านเวลา ค่าใช้จ่าย ฯลฯ จึงได้นำโปรแกรม EnergyPlus มาเป็นเครื่องมือช่วยในการวิจัย โดยใช้ Version 2.20 ซึ่งเป็น Version ล่าสุด ณ ขณะที่ทำการวิจัย ออกเมื่อวันที่ 22 เมษายน 2551

สามารถดาวน์โหลดได้ที่ <http://apps1.eere.energy.gov/buildings/energyplus/>

ข้อมูลเบื้องต้นที่จำเป็นต้องใส่ในโปรแกรม EnergyPlus มีดังนี้

1. ที่ตั้งอาคารและข้อมูลสภาพอากาศ
 2. ขนาดของอาคาร (กว้าง x ยาว x สูง)
 3. วัสดุที่ใช้ในอาคาร และคุณสมบัติของวัสดุ
 4. ข้อมูลการใช้งานอาคาร เช่น จำนวนผู้ใช้ กิจกรรม
 5. ปริมาณการใช้งานเครื่องใช้ไฟฟ้า แสงสว่าง
 6. ข้อมูลปริมาณการรับซึมของอากาศ และการระบายอากาศ
 7. ข้อมูลการควบคุมอุณหภูมิของอาคาร
- ซึ่งรายละเอียดจะอธิบายในบทต่อไป



ภาพที่ 31 แสดงหน้าต่างในการ Input ข้อมูล ของโปรแกรม EnergyPlus

สิ่งที่โปรแกรม EnergyPlus คำนึงถึงในการคำนวณประสิทธิภาพของ Green roof

1. การเปลี่ยนแปลงจากรังสีคลื่นสั้นเป็นรังสีคลื่นยาวภายใน Green roof

2. ผลของการนำความร้อนผ่าน Green roof เข้าสู่อาคาร

3. การระเหยของน้ำจากผิวดินและใบพืช

4. ค่าการนำความร้อนและความจุความร้อนของดิน

ข้อมูลที่จำเป็นสำหรับการใส่ค่า Material ใน Eco Roof

1. Field: Name = ชื่อหลังคา

2. Field: Height of Plant = ความสูงของพืช

3. Field: Leaf Area Index = ดัชนีพื้นที่ใบ

4. Field: Leaf Reflectivity = ค่าการสะท้อนแสงของใบ

5. Field: Leaf Emissivity = ค่าการแผ่รังสีของใบ

6. Field: Minimum Stomatal Resistance = ค่าการทนต่อความแห้งแล้งของปากใบ

7. Field: Name of the Soil Layer = ชื่อดิน

8. Field: Roughness = ความหยาบของดิน

9. Field: Thickness = ความลึกของดิน

10. Field: Conductivity = ค่าการนำความร้อน
11. Field: Density = ค่าความหนาแน่นของดิน
12. Field: Specific Heat = ค่าความถ่วงความร้อนจำเพาะของดิน
13. Field: Absorptance:Thermal = ค่าการดูดซับความร้อน
14. Field: Absorptance:Solar = ค่าการดูดซับรังสีดูดอาทิตย์
15. Field: Absorptance:Visible = ค่าการดูดซับรังสีที่มองเห็นได้

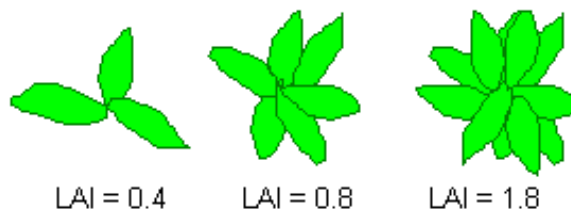
ดัชนีพื้นที่ใบ (Leaf Area Index)¹²

Leaf Area Index หมายถึงสัดส่วนของพื้นที่ใบต่อพื้นที่ชั้นนอก (LAI = Leaf area / Land area) โดยทั่วไปคำนวนได้จากสูตร

$$\text{LAI} = \frac{\text{ค่าของพื้นที่ใบ} \times \text{จำนวนใบ}}{\text{พื้นที่ปลูก}}$$

นอกจากนี้อาจใช้เครื่องมือหาดัชนีพื้นที่ใบ เช่นเครื่อง Licor LAI 2000 ซึ่งใช้หลักการ การสองผ่านของแสงจากยอดทรงพุ่มเข้าสู่ sensor ที่มีลักษณะคล้าย fisheyes สามารถปรับมุม ของการรับแสงได้หลาย ๆ มุม เพื่อคำนวนค่า LAI ได้อย่างถูกต้องและแม่นยำ

เนื่องจากในการวิจัยครั้งนี้มีงบประมาณจำกัด และไม่สามารถหาเครื่องมือวัดค่าดัชนี พื้นที่ใบได้ จึงจำเป็นต้องใช้วิธีการทำการวัดขนาดใบและนับจำนวนใบ จากนั้นนำไปคำนวณด้วย สูตรดังกล่าวข้างต้น เพื่อนำค่าไปใช้ในโปรแกรม EnergyPlus ต่อไป



ภาพที่ 32 แสดงตัวอย่างค่า Leaf Area Index

ที่มา: [Leaf area index \[online\]](#), Accessed 26 September 2007.

Available from <http://www.gardenwithinsight.com/help100/00000424.htm>

¹² อรพิน เกิดชูชื่น และ ผ่องพรพรรณ พุทธาโร, “อิทธิพลของปัจจัยเรียบและแอนโนเนียมเนียมชัลเฟต ต่อ growth rate, leaf area index และ net assimilation rate ของข้าวเจ้าหอมพันธุ์ปทุมธานี 1” วารสารวิจัยและพัฒนา มจร. 5, 3 (กรกฎาคม-กันยายน , 2545).

บทที่ 3

สมมติฐานและวิธีการวิจัย

การศึกษาครั้งนี้เป็นการศึกษาเกี่ยวกับรูปแบบของหลังคา Green roof ซึ่งหมายความว่า สถาปัตยกรรมทางสถาปัตยกรรมในประเทศไทย โดยศึกษาความหนาของดินปลูกและชนิดของพืชพันธุ์ที่อยู่บนหลังคา ที่มีผลต่ออุณหภูมิภายในห้อง อุณหภูมิผิวใต้เพดาน และการใช้พลังงานปรับอากาศภายในอาคาร เพื่อเสนอแนะแนวทางในการออกแบบหลังคา Green roof ให้มีความเหมาะสม

1. สมมติฐานการวิจัย

จากทฤษฎีและงานวิจัยที่ได้ศึกษาจึงได้นำมาตั้งเป็นสมมติฐานในการศึกษาครั้งนี้ ดังนี้

1. หลังคាណาดฟ้าอาคารที่มีการใช้พืชพันธุ์และดินปกคลุม จะมีค่าอุณหภูมิที่ผิววัสดุตั้งภาคภายนอกและภายใน ต่ำกว่าหลังคាណาดฟ้า ค.ส.ล.
2. หลังคាណาดฟ้าอาคารที่มีการใช้พืชพันธุ์และดินปกคลุม จะมีค่าอุณหภูมิอากาศภายในอาคารต่ำกว่า หลังคាណาดฟ้าอาคาร ค.ส.ล.
3. หลังคาน้ำตกพืชชนิดเดียวกัน แต่มีความลึกดินปลูกต่างกัน หลังคาน้ำตกพืชชนิดเดียวกันจะมีค่าอุณหภูมิผิวใต้หลังคาน้ำตกและอุณหภูมิอากาศภายในอาคารต่ำกว่าหลังคาน้ำตกพืชชนิดเดียวกัน
4. พืชที่ปลูกในดินที่มีความลึกเท่ากัน พืชที่มีความหนาแน่นของใบมากที่สุด จะสร้างร่มเงาให้กับผิวน้ำตกมากที่สุด มีผลทำให้อุณหภูมิผิวใต้หลังคาน้ำตกมากที่สุด

2. ตัวแปรในการวิจัย

ในขั้นตอนของการวิจัยจึงได้กำหนดตัวแปรในการวิจัย ดังนี้

2.1 ตัวแปรอิสระ

- 2.1.1 ชนิดของหลังคา ได้แก่ หลังคากอนกรีต หลังคาน้ำตกพืชคลุมดินชนิดต่างๆ ที่มีค่าดัชนีพื้นที่ใบ (Leaf Area Index) ต่างกัน
- 2.1.2 ความลึกของดินปลูก กำหนดให้มีความลึกดินปลูกที่เพียงพอสำหรับการปลูกหญ้า คือ 10 ซม. และ 20 ซม.
- 2.1.3 ชนิดของพืชพันธุ์ที่นำมาปลูก ซึ่งนอกจากต้องคำนึงถึงความลึกของดินที่

เหมาะสมกับการเจริญเติบโตของพืช และน้ำหนักของดินที่กระทำต่อโครงสร้างแล้ว ยังต้องคำนึงถึงปัจจัยอื่นๆ อีกด้วย เช่น ใบต้องมีความหนาแน่น ชอบแสงแดด และทนต่อสภาพอากาศร้อนชื้น

ซึ่งจากหัวข้อ พันธุ์หญ้าเขตร้อน ในบทที่ 2 จึงได้เลือกตัวอย่างพืชประเพณฑูตที่จะนำมาใช้ในการทดลอง มา 2 ชนิด คือ หญ้านวลดน้อยและหญ้ามาเลเซีย เนื่องจากทั้ง 2 ชนิด เป็นหญ้าที่นิยมปลูกในประเทศไทย ดูแลรักษาง่าย อีกทั้งมีขนาดของใบที่แตกต่างกันอย่างชัดเจน ซึ่งเหมาะสมที่จะนำมาใช้ในการทดสอบเปรียบเทียบ



ภาพที่ 33 หญ้านวลดน้อย และหญ้ามาเลเซีย

2.2 ตัวแปรตาม

- 2.2.1 อุณหภูมิผิวนอกหลังคา
- 2.2.2 อุณหภูมิผิวใต้หลังคา
- 2.2.3 อุณหภูมิอากาศภายในอาคาร
- 2.2.4 ค่าพลังงานไฟฟ้าจากเครื่องปรับอากาศภายในอาคาร

2.3 ตัวแปรควบคุม

- 2.3.1 สถานที่ทำการทดลอง
- 2.3.2 ระยะเวลาในการทดลอง
- 2.3.3 ชนิดของดินปลูก
- 2.3.4 ค่าความชื้นในดิน
- 2.3.2 สภาพอากาศและไม่อุปสรรคทางอากาศ

3. การแบ่งชุดการทดลอง

ในการทดลองครั้งนี้เป็นการศึกษาเกี่ยวกับประสิทธิผลของหลังคา Green roof รูปแบบต่างๆ ในการป้องกันความร้อนเข้าสู่อาคารผ่านทางหลังคา ทั้งในกรณีปรับอากาศและไม่ปรับอากาศ แต่ด้วยบประมาณที่จำกัด จึงนำโปรแกรม EnergyPlus มาใช้ในการวิจัย ซึ่งจำเป็นต้องมีการสร้างกล่องทดลองจริงขึ้นมาใช้ทดสอบก่อน เพื่อนำผลที่ได้จากการทดลองมาเปรียบเทียบกับผลที่ได้จากโปรแกรม ว่ามีความสอดคล้องกันหรือไม่

โดยในการวิจัยครั้งนี้ แบ่งเป็น 5 ชุดการทดลอง ได้แก่

ชุดการทดลองที่ 1

การศึกษาประสิทธิผลในการใช้ Green roof ใน การป้องกันความร้อนเข้าสู่อาคารผ่านทางหลังคา โดยการสร้างกล่องทดลองจริง

ชุดการทดลองที่ 2

การศึกษาประสิทธิผลจากการใช้โปรแกรม EnergyPlus ในการจำลอง Green roof เพื่อเปรียบเทียบกับการใช้กล่องทดลองจริง

ชุดการทดลองที่ 3

การศึกษาประสิทธิผลในการใช้ Green roof ใน การป้องกันความร้อนเข้าสู่อาคารผ่านทางหลังคา โดยการใช้โปรแกรม EnergyPlus

ชุดการทดลองที่ 4

การศึกษาประสิทธิผลในการนำ Green roof มาใช้ เพื่อลดการใช้พลังงานไฟฟ้าจากเครื่องปรับอากาศ โดยการใช้โปรแกรม EnergyPlus

ชุดการทดลองที่ 5

การศึกษาระยะเวลาในการคืนทุนในการใช้ Green roof เปรียบเทียบกับการใช้ชั้นวนหลังคาทั่วไป

ชุดการทดลองที่ 1 การศึกษาประสิทธิผลในการใช้ Green roof ในการป้องกันความร้อน เข้าสู่อาคารผ่านทางหลังคา กรณีไม่ปรับอากาศ ทดลองโดยการสร้างกล่องทดลองจริง

ในชุดการทดลองที่ 1 เป็นการทดลองสอบตัวยกกล่องทดลองจริง มีวัตถุประสงค์เพื่อนำผลที่ได้จากการทดลองมาเปรียบเทียบกับผลที่ได้จากโปรแกรม ว่ามีความสอดคล้องกันหรือไม่โดยแบ่งขั้นตอนการเตรียมการดังนี้

1. การเตรียมสถานที่
2. การเตรียมอุปกรณ์และเครื่องมือในการเก็บข้อมูล
3. การเตรียมกล่องทดลอง
4. การทดลองและเก็บข้อมูล

1. การเตรียมสถานที่

เนื่องจากในการวิจัยครั้งนี้มีทั้งการศึกษาจากการทดลองจากกล่องทดลอง และจากการใช้โปรแกรม EnergyPlus ดังนั้นเพื่อให้สามารถนำผลของการทดลองทั้ง 2 อย่างมาเปรียบเทียบกันได้ จึงจำเป็นที่จะต้องกำหนดตัวแปรควบคุมของการทดลองทั้ง 2 ให้ตรงกัน และเนื่องจากข้อมูล weather data ที่นำมาใส่ในโปรแกรม EnergyPlus ครั้งนี้ เป็นข้อมูลที่ทางเว็บไซต์ของผู้ผลิตโปรแกรมได้นำมาจากการสำรวจสภาพอากาศดอนเมือง ดังนั้นสถานที่ตั้งกล่องทดลองจึงควรตั้งอยู่ในบริเวณใกล้เคียงดอนเมือง เช่น กัน เพื่อให้ค่าข้อมูลสภาพอากาศของสถานที่ในการทดลองครั้งนี้มีค่าใกล้เคียงกัน เพื่อควบคุมตัวแปรเรื่องสถานที่และสภาพอากาศ

ดังนั้นจึงได้เลือกสถานที่ทำการทดลองเป็น达道พัฒนา 7 ชั้น (อยู่ในระหว่างการก่อสร้าง) ตั้งอยู่บริเวณหลักสี่ ถนนแจ้งวัฒนะ ชั้งอยู่ในบริเวณใกล้เคียงกับสนามบินดอนเมือง (ภาพที่ 34)



ภาพที่ 34 แสดงอาคารที่ตั้งกล่องทดลอง

สภาพบนดาดฟ้านั้น เป็นพื้นที่โล่ง ไม่มีขอบกันตก และไม่มีอาคารสูงในบริเวณใกล้เคียง จึงไม่ต้องกังวลเรื่องผลการทดลองคลาดเคลื่อนเนื่องจากเงาของอาคารข้างเคียงมาบัง



ภาพที่ 35 แสดงบริเวณพื้นดาดฟ้าของอาคารที่จะใช้ในการทดสอบ

2. การเตรียมอุปกรณ์และเครื่องมือในการเก็บข้อมูล

เครื่องมือที่ใช้ในการเก็บข้อมูลประกอบไปด้วย

2.1 เครื่องวัดและบันทึกค่าอุณหภูมิ ความชื้นสัมพัทธ์ (Data Logger) รุ่น Testo 177

(4 ช่องสัญญาณ) และ Testo 175

2.2 สายส่งสัญญาณ (Thermocouple)



ภาพที่ 36 แสดงเครื่องมือ Data Logger รุ่น Testo 177 (สีดำ) และ Testo 175 (สีขาว)

3. การเตรียมกล่องทดลอง

ทำการสร้างกล่องทดลอง จำนวน 4 กล่อง โดยแบ่งเป็นหลังคา 4 ประเภท (ภาพที่ 37)

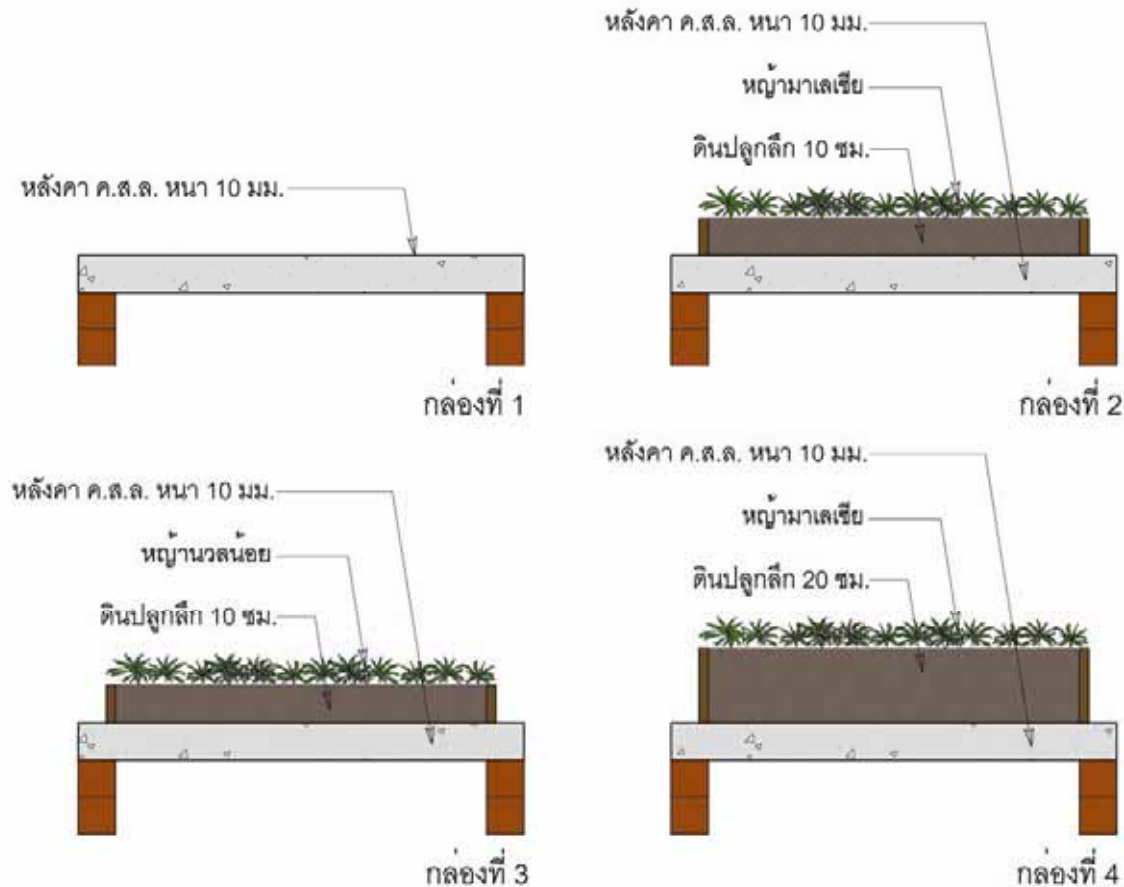
ดังนี้

กล่องที่ 1 หลังคา ค.ส.ล.

กล่องที่ 2 หลังคาญ้ำมาเลเซีย ความลึกดิน 10 ซม.

กล่องที่ 3 หลังคาญ้ำวนาน้อย ความลึกดิน 10 ซม.

กล่องที่ 4 หลังคาญ้ำมาเลเซีย ความลึกดิน 20 ซม.



ภาพที่ 37 แสดงรูปตัวขยายช่วงบันของกล่องทดลองแบบต่างๆ

ชิ้นในการทดสอบครั้งนี้ เนื่องด้วยงบประมาณที่จำกัดและเรื่องขนาดของวัสดุที่จะนำมาใช้ในการทดลอง จึงทำการกำหนดขนาดกล่องทดลองที่ขนาด $1.20 \times 1.20 \times 1.20$ ม. โดยที่ได้ทำการทดลองจำลองกล่องทั้ง 4 ด้วยโปรแกรม EnergyPlus เพื่อทดสอบเรื่องขนาดของกล่องทดลอง ว่ามีผลกับค่าอุณหภูมิที่เกิดขึ้นหรือไม่ ก่อนที่จะทำการสร้างกล่องทดลองจริง โดยทำการสร้างโมเดลเปรียบเทียบกล่อง 6 ขนาด คือ

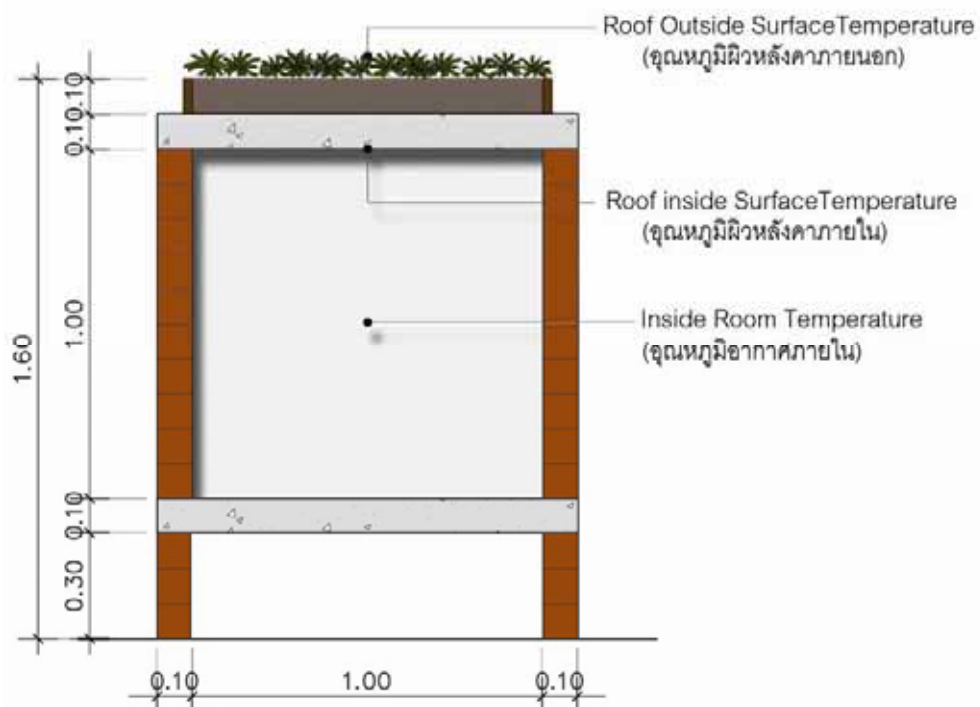
1. กล่องขนาด $0.8 \times 0.8 \times 0.8$ ม.
2. กล่องขนาด $1 \times 1 \times 1$ ม.
3. กล่องขนาด $1.5 \times 1.5 \times 1.5$ ม.
4. กล่องขนาด $2 \times 2 \times 2$ ม.
5. กล่องขนาด $2.5 \times 2.5 \times 2.5$ ม.
6. กล่องขนาด $3 \times 3 \times 3$ ม.

กำหนดวัสดุผนังทึ้งหมวดเป็น ค.ส.ล. จากการทดลองพบว่า ค่าอุณหภูมิผิวหลังคาภายในอก-ภายใน และค่าอุณหภูมิอากาศภายใน ของกล่องแต่ละขนาดมีค่าไม่ต่างกันมากนัก ซึ่งกล่องขนาดใหญ่จะมีค่าอุณหภูมิสูงกว่ากล่องขนาดเล็ก โดยมีช่วงต่างกันอยู่ที่ระหว่าง 0.01-0.1 องศาเซลเซียส ซึ่งถือว่าไม่ต่างกันมากนัก ดังนั้นจึงนำจะสามารถใช้กล่องขนาด $1.20 \times 1.20 \times 1.20$ ม. ใน การทดลองได้ (รายละเอียดผลการทดลองเรื่องขนาดของกล่องกับผลของอุณหภูมิ ดูในภาคผนวก)

4. การทดลองและเก็บข้อมูล

ทำการเก็บข้อมูล โดยการติดตั้งอุปกรณ์ Data Logger และสายสัญญาณ เข้ากับตำแหน่งที่จะทำการวัดที่กอล่องทดลอง คือ บริเวณผิวหลังคาภายใน ผิวหลังคาภายใน และบริเวณตรงกลางภายในกอล่องทดลอง (ภาพที่ 38) และทำการควบคุมความชื้นโดยการฉีดน้ำทุกเช้า - เย็น ให้กับหลังคาปลูกหญ้าในสัดส่วนที่เท่ากันทุกกล่อง โดยหญ้าที่ปลูกในдин 10 ซม. รด น้ำ 1 ลิตร และหญ้าที่ปลูกในдин 20 ซม. รด น้ำ 2 ลิตร

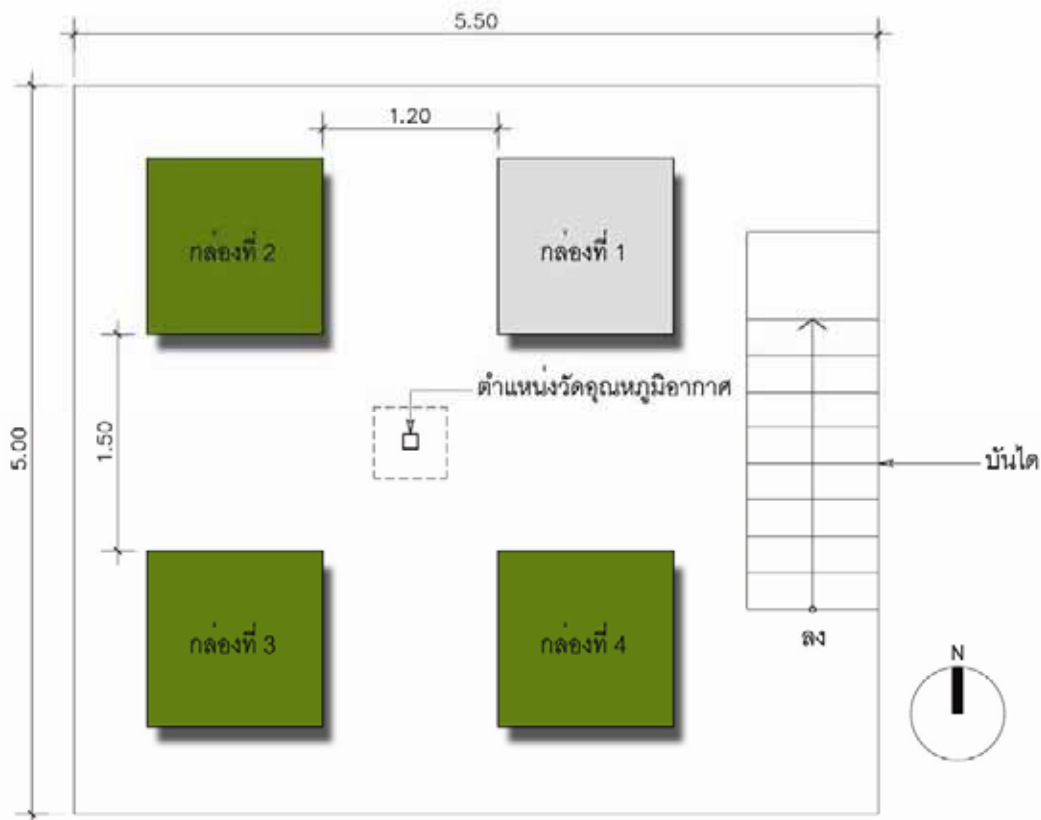
ทำการทดลองระหว่างวันที่ 15-17 มกราคม 2552 รวมระยะเวลาทำการทดลอง 3 วัน จากนั้นนำผลที่ได้มาทำการวิเคราะห์เปรียบเทียบ



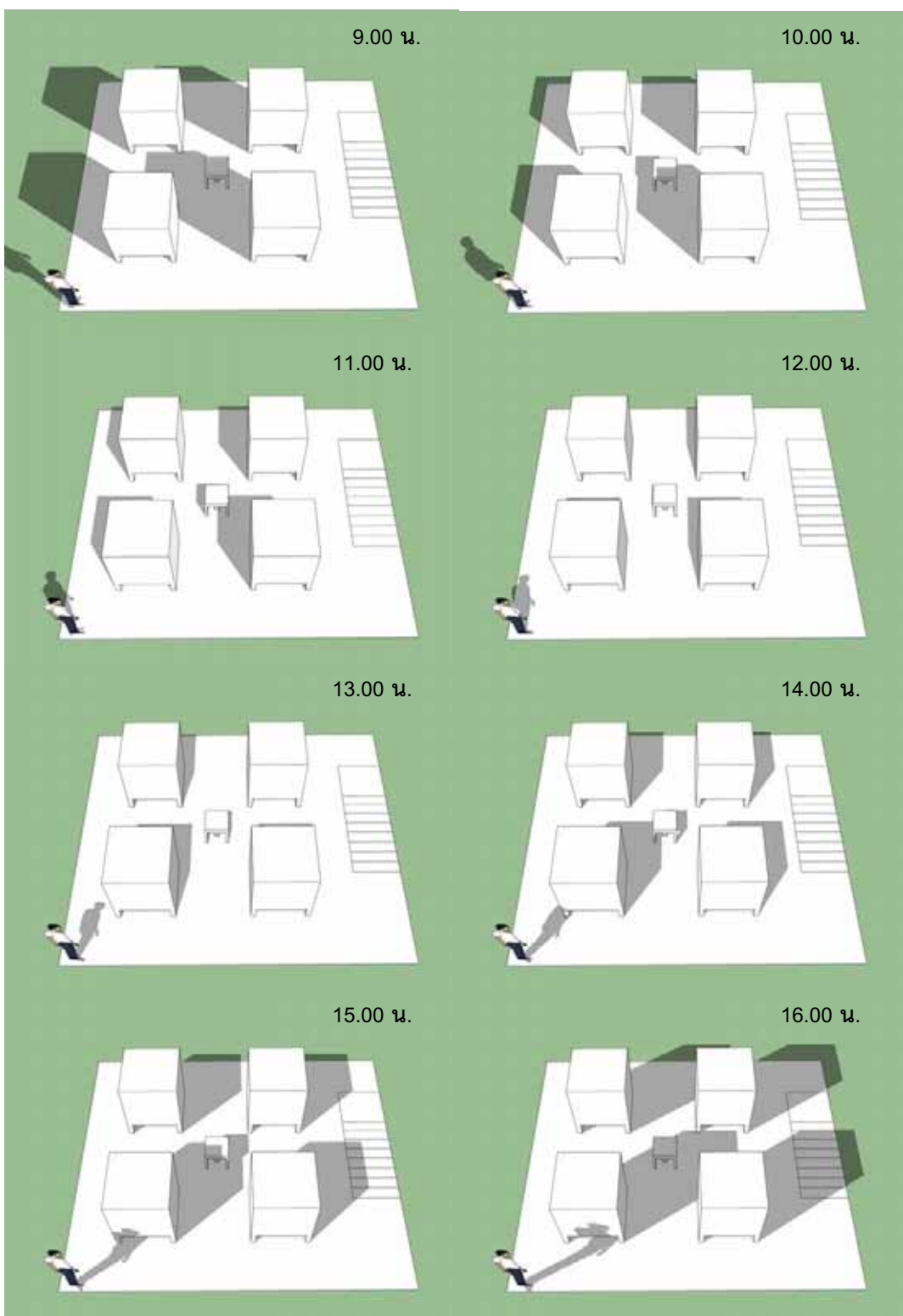
ภาพที่ 38 แสดงตำแหน่งที่วัดอุณหภูมิของกล่องทดลอง

ในส่วนด้านบนของกล่องซึ่งเป็นระบบต้นไม้นั้น เนื่องจากในการทดลองครั้งนี้ จำเป็นต้องนำไปจำลองในโปรแกรม EnergyPlus ต่อ ซึ่งในโปรแกรม จะคำนวณเฉพาะระยะภายในของกล่องเท่านั้น ดังนั้นเพื่อให้ขอบของระบบตรงกับระยะภายในของกล่อง เพื่อให้ผลการทดสอบเบรียบเทียบคลาดเคลื่อนน้อยที่สุด จึงใช้เพียงแค่มีข้อด หนา $\frac{1}{2}$ นิ้ว ก็เป็นขอบระบบแทน เพื่อกันไม่ให้dinล้มเท่านั้น โดยมีขนาดความสูงตามความลึกดินของแต่ละกล่อง และว่าจะเข้ามาจากการผนังกล่อง 10 ซม. ให้อยู่ในระยะเคลื่อนที่ของกล่อง เพื่อไม่ให้dinไปอยู่ด้านบนของแนวผนัง

โดยตำแหน่งในการวางกล่องทดลองบนดาดฟ้าอาคาร เรียงตามลำดับ วนวนเข็มนาฬิกา มีระยะห่างระหว่างกล่องประมาณ 1.20-1.50 ม.(ภาพที่ 39) เนื่องจากพื้นที่ดาดฟ้าของอาคารมีจำกัด ซึ่งอาจทำให้เกิดเงาของกล่องบังกันได้ จึงได้ลองทำการจำลองสภาพแสงและเงาที่จะเกิดขึ้น เพื่อดูว่าเงาที่เกิดขึ้นมากน้อยเพียงใด ซึ่งพบว่าเงาของกล่องที่ 1 และ 4 จะบังกล่องที่ 2 และ 3 เล็กน้อย บริเวณด้านล่างของกล่อง ซึ่งจะเกิดขึ้นในช่วงเวลาประมาณ 9.00 น. และ 16.00 น. (ภาพที่ 40)



ภาพที่ 39 แสดงตำแหน่งการวางกล่องทดลองบนดาดฟ้าอาคาร



ภาพที่ 40 แสดงตำแหน่งการวางกล้องทดลองและจำลองทิศทางแสงเดดที่เกิดขึ้น



ภาพที่ 41 แสดงกล่องทดลองที่สร้างจริง



ภาพที่ 42 แสดงกล่องทดลองที่ 1 (หลังคา ค.ส.ล.)



ภาพที่ 43 แสดงกล่องทดลองที่ 2 (หลังคาหูบ้ำมาแลเขียว ความลึกดิน 10 ซม.)



ภาพที่ 44 แสดงกล่องทดลองที่ 3 (หลังคาหูบ้ำกวนน้ำอย ความลึกดิน 10 ซม.)



ภาพที่ 45 แสดงกล่องทดลองที่ 4 (หลังคาหูม่ามาเลเซีย ความลึกดิน 20 ซม.)

ชุดการทดลองที่ 2 การศึกษาประสิทธิผลจากการใช้โปรแกรม EnergyPlus ในการจำลอง Green roof เพื่อเปรียบเทียบกับการใช้กล่องทดลองจริง

ในชุดการทดลองที่ 2 นี้ เป็นการทดลองเพื่อเปรียบเทียบผลลัพธ์ ระหว่างการทดลองด้วยกล่องทดลองจริง ในชุดการทดลองที่ 1 กับการจำลองด้วยโปรแกรม EnergyPlus เพื่อทดสอบ ความแม่นยำของโปรแกรม ในกรณีที่จะนำไปใช้ในการศึกษาต่อไป โดยมีขั้นตอนดังนี้

1. การเตรียมการทดลอง

ทำการจำลองกล่องทดลอง 4 กล่อง ขนาด $1.00 \times 1.00 \times 1.00$ ม. (เป็นขนาดระยะ Clear ภายในของกล่องทดลองจริง ขนาด $1.20 \times 1.20 \times 1.20$ ม.) ด้วยโปรแกรม EnergyPlus ประกอบด้วยหลังคา 4 ประเภท ดังนี้

กล่องที่ 1 หลังคา Slab

กล่องที่ 2 หลังคา Green roof ความลึกดิน 10 ซม. ค่า Leaf area index = 2.5

ตั้งชื่อกล่องว่า Base Eco

กล่องที่ 3 หลังคา Green roof ความลึกดิน 10 ซม. ค่า Leaf area index = 4.2

ตั้งชื่อกล่องว่า Hi LAI

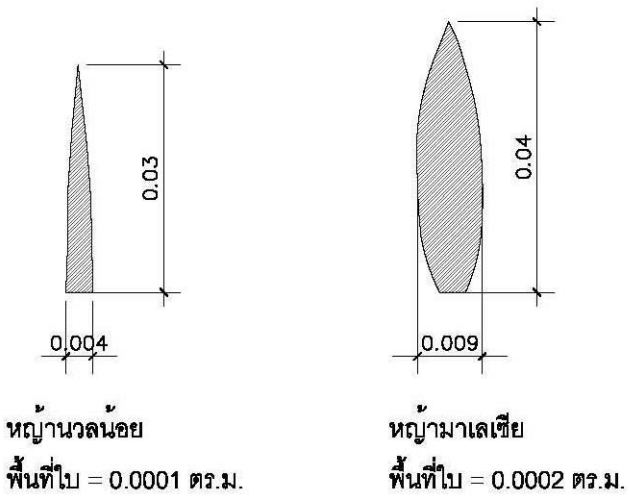
กล่องที่ 4 หลังคา Green roof ความลึกดิน 20 ซม. ค่า Leaf area index = 2.5

ตั้งชื่อกล่องว่า Thick Soil

ในส่วนของค่า Leaf area index หรือ ดัชนีพื้นที่ใบ ที่กำหนดให้กับแต่ละกล่องนั้น คำนวณจากค่าของพืชที่นำมาใช้ทดลองในชุดการทดลองที่ 1 เนื่องจากในโปรแกรมไม่สามารถระบุ ชนิดของพืชได้ สามารถระบุได้เพียงแค่ ความสูงของพืช และดัชนีพื้นที่ใบเท่านั้น โดยกล่องที่ 2 และ 4 เป็นค่า Leaf area index ของหญ้ามาเลเซีย ส่วนกล่องที่ 3 เป็นค่า Leaf area index ของ หญ้านวน้อย ซึ่งคำนวณจากสูตร

$$\text{Leaf area index} = \frac{\text{พื้นที่ใบ} \times \text{จำนวนใบ}}{\text{พื้นที่ปลูก}}$$

ซึ่งจากการเก็บตัวอย่างใบหน้าในชุดการทดลองที่ 1 นำมาเขียนเส้นรอบรูป เพื่อนำไปหาค่าพื้นที่โดยด้วยโปรแกรม Autocad ได้ผลดังนี้ (ภาพที่ 46)



ภาพที่ 46 แสดงเส้นรอบรูปของใบ และค่าพื้นที่ใบที่วัดได้จากโปรแกรม Autocad

และจากการเก็บตัวอย่างใบหญ้า เพื่อนำมานับจำนวนใบในพื้นที่ปลูก โดยการนำหญ้า 100 ตร.ซม. (0.01 ตร.ม.) มา核算ว่ามีหญ้ากี่ใบ จากนั้นจึงนำไปเทียบบัญญัติโดยรากศ. เพื่อหาจำนวนใบหญ้าในพื้นที่ 1 ตร.ม.

จากการนับจำนวนหญ้าในพื้นที่เก็บตัวอย่าง 100 ตร.ซม. (0.01 ตร.ม.) ได้ผลดังนี้

หญาามาเลเซีย 125 ใบ ดังนั้น ในพื้นที่ 1 ตร.ม. จะมีจำนวนใบประมาณ
 $125 \times 1/0.01 = 12,500$ ใบ

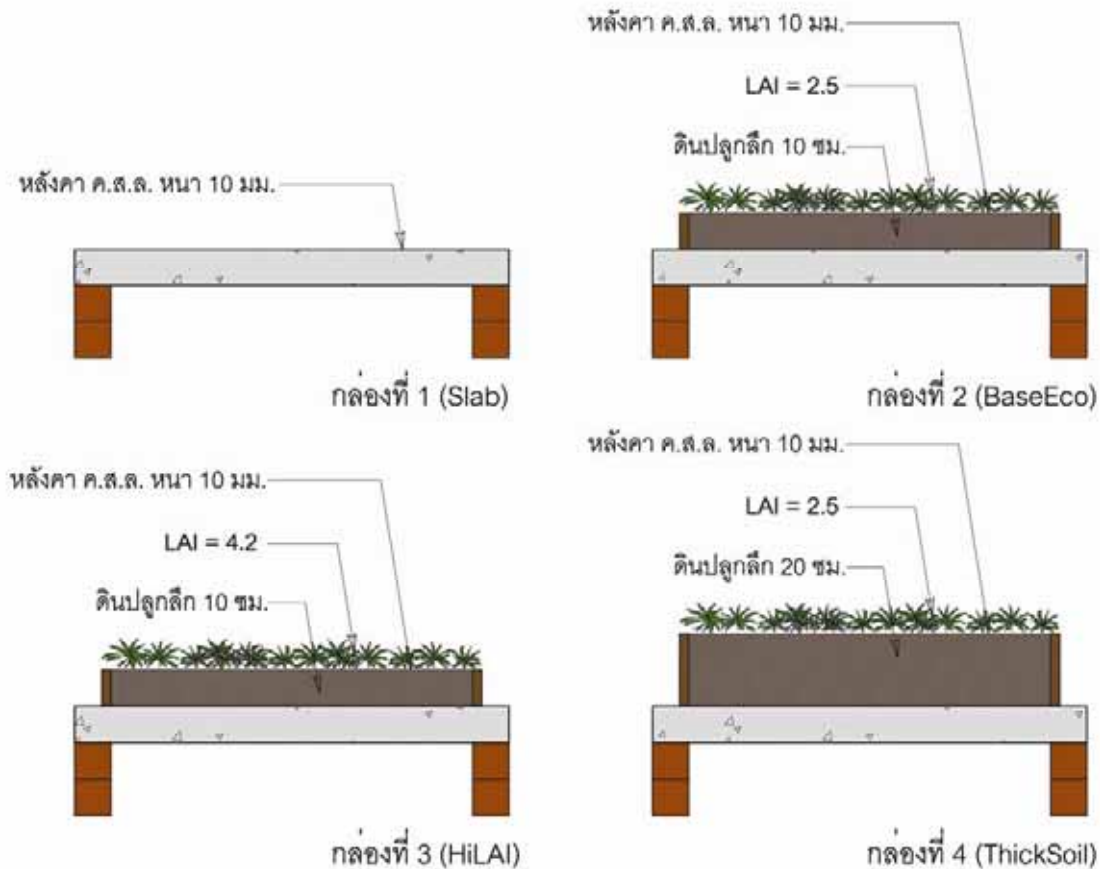
หลักทรัพย์ 420 ใบ ดังนั้น ในพื้นที่ 1 ตร.ม. จะมีจำนวนใบประมาณ
 $420 \times 1/0.01 = 42,000$ ใบ

ดังนั้น LAI ของหญ้ามาเลเซีย = 0.0002 ตร.ม. X12,500 ใบ = 2.5

1.00 ຕର୍ମ.

$$\text{LAI ของหญ้านวนน้อย} = \underline{0.0001 \text{ ตร.ม.} \times 42,000 \text{ ใบ}} = 4.2$$

1.0 ຕະນຸມ.



ภาพที่ 47 แสดงรูปตัดขวางของกล่องทดลองแบบต่างๆ ที่จำลองด้วยโปรแกรม EnergyPlus

2. การทดลองและเก็บข้อมูล

มีขั้นตอนในการทดลอง ดังนี้

- ทำการป้อนข้อมูลต่างๆ ที่จำเป็นในโปรแกรม EnergyPlus
- กำหนดให้ใช้ข้อมูลวัสดุทุกชนิดใหม่่อนกล่องทดลองจริง และข้อมูล Weather data ตรงกับวันที่ทดลองจริง เพื่อให้ข้อมูลเสมือนจริงมากที่สุด
- นำผลที่ได้จากโปรแกรมมาทำการวิเคราะห์เปรียบเทียบกับผลจากการทดลองของจริง ในชุดการทดลองที่ 1

3. การป้อนข้อมูลใน EnergyPlus สำหรับชุดการทดลองที่ 2

ในชุดการศึกษาที่ 2 กำหนดรายละเอียดข้อมูลที่ต้องใส่ในโปรแกรม EnergyPlus ดังนี้

3.1 ข้อมูลทั่วไป (Simulation Parameters)

Version - เป็นการบอกรถึงรุ่นของโปรแกรม ซึ่งในการประมวลผลนี้ใช้ Version

2.20

Building - เป็นการบอกรถึงลักษณะเบื้องต้นของอาคาร เช่น ที่ตั้งและสภาพแวดล้อม เป็นต้น โดยในการทดลองนี้ กำหนดชื่ออาคารว่า Cell Test (CT) กำหนดที่ตั้งให้อยู่ในเมือง (City)

3.2 ที่ตั้งอาคารและข้อมูลสภาพอากาศ (Location-Climate-Weather File Access)

Location - กำหนดให้ก่อตั้งทำมุมกับทิศเหนือที่ 0° ตั้งอยู่ในเขตกรุงเทพฯ จึงใช้ค่าพิกัดของกรุงเทพมหานครในการจำลอง Bangkok = Latitude 13.92 Longitude 100.6

ในชุดการทดลองที่ 2 นี้ เป็นการเปรียบเทียบระหว่างกล่องทดลองของจริงกับกล่องจำลองในโปรแกรม EnergyPlus ดังนั้นจึงจำเป็นจะต้องใช้ข้อมูล Weather data ที่ตรงกับวันที่ทำการทดลองจริง จึงต้องใช้เป็นข้อมูล Real time weather data (ข้อมูลเสมือนจริงณ ปัจจุบัน) ซึ่งผู้ใช้สามารถเลือกตำแหน่งสถานีวัดอากาศที่ต้องการได้ โดยในการทดลองนี้ใช้สถานีวัดอากาศ ดอนเมือง โดยสามารถดาวน์โหลดได้จาก website

http://apps1.eere.energy.gov/buildings/energyplus/cfm/weatherdata/weather_request.cfm

3.3 วัสดุที่ใช้ในอาคาร (Surface Construction Elements)

Material - วัสดุที่ต้องใส่ในชุดการทดลองที่ 2 มี 2 ประเภทคือ

1. MATERIAL REGULAR
2. MATERIAL ECO ROOF

ตารางที่ 4 แสดงรายการวัสดุที่ใช้ในชุดการทดลองที่ 2

รายการ	วัสดุจริง	ชื่อวัสดุในโปรแกรม
Material Regular	อิฐมอญ หนา 10 ซม.	TH05-A-Brick-dry-plaster-cement-tile
	พื้น ค.ส.ล. หนา 10 ซม.	TH06-Concrete
	หลังคา ค.ส.ล. หนา 10 ซม.	TH06-Concrete
Material Eco Roof	หลังคาหญ้า ความลึกดิน 10 ซม. Leaf area index = 2.5	Base Eco
	หลังคาหญ้า ความลึกดิน 10 ซม. Leaf area index = 4.2	Hi LAI
	หลังคาหญ้า ความลึกดิน 20 ซม. Leaf area index = 2.5	Thick Soil

โดยรายละเอียดค่าคุณสมบัติของวัสดุนำมาจากข้อมูล Material ของ ASHRAE ที่มาพร้อมกับโปรแกรม EnergyPlus และข้อมูลจาก พระราชบัญญัติการส่งเสริมการอนุรักษ์ พลังงาน พ.ศ. 2535 (แก้ไขเพิ่มเติม พ.ศ. 2550) มาประกอบกัน

Construction - เป็นการประกอบวัสดุข้างต้น ขึ้นเป็นโครงสร้างส่วนต่างๆ โดยเรียงลำดับขั้นวัสดุจากภายนอกเข้าสู่ภายใน ซึ่งมีรายละเอียดดังนี้

1. Name: Floor 01

Layer #1: TH06-Concrete

2. Name: Wall 01

Layer #1: TH05-A-Brick-dry-plaster-cement-tile

3. Name: Roof 01

Layer #1: TH06-Concrete

4. Name: Roof 02

Layer #1: BaseEco

Layer #2: TH06-Concrete

5. Name: Roof 03

Layer #1: Hi LAI

Layer #2: TH06-Concrete

6. Name: Roof 04

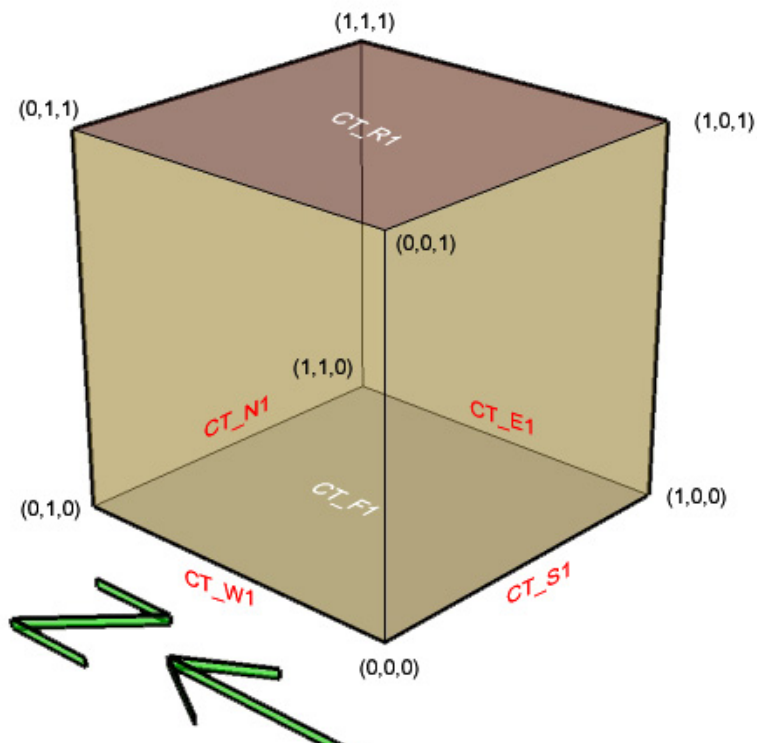
Layer #1: Thick Soil

Layer #2: TH06-Concrete

3.4 การแบ่งพื้นที่ส่วนต่างๆของอาคาร (Thermal Zone Description/Geometry)

Zone - กำหนดชื่อ Zone ไว้เพียง Zone เดียว คือ CT (Cell Test)

Surface - แบ่ง Surface ของแต่ละ Zone ดังนี้



ภาพที่ 48 แสดงการแบ่ง surface ของกล่องทดลอง แสดงผลเป็น 3D ด้วยโปรแกรม Sketch up

3.5 ตารางการใช้งานอาคาร (Schedules)

เนื่องจากเป็นการจำลองกล่องเสมือนการทดลองที่ 1 จึงไม่มีการกำหนดตารางผู้ใช้อาคาร กิจกรรม และ เครื่องใช้ไฟฟ้า ดังนั้นจึงมีเพียง Infiltration Schedules (ตารางการรับซึมของอากาศ) เท่านั้น เนื่องจากกล่องทดลองที่สร้างนั้นไม่ได้จำบุนปิดรอยต่อระหว่างแผ่นหลังคา กับผนัง แต่ใช้เพียงเทปกาวปิดเท่านั้น จึงอาจมีอากาศรั่วซึมได้บ้าง รายละเอียดดังนี้

Schedule

Any Number, Fraction (Range 0:1)

Dayschedule

CT_INF_WDAY_SCH, CT_INF_SDAY_SCH, CT_INF_HDAY_SCH

Weekschedule

CT_INF_WEEK_SCH, CT_INF_HDAY_SCH, CT_INF_SDAY_SCH

Schedule

CT_INF_YEAR_SCH

กำหนดให้ Schedule เริ่มต้นวันที่ 1 มกราคม สิ้นสุดวันที่ 31 มกราคม

3.6 การรับซึมของอากาศ (Infiltration)

Infiltration - ระบุตารางการรับซึมของอากาศในแต่ละ Zone และปริมาณสูงสุดของอากาศที่รับซึมเข้ามา สามารถคำนวณได้จากสูตร

$$\frac{\text{ปริมาณการรับซึมของอากาศ}}{3,600} = ACH \times \text{Zone Volume}$$

กำหนดให้มีค่า ACH = 0.5 ปริมาตรกล่องทดลอง = 1.00 m^3

เมื่อนำมาคำนวนหาค่า Design Volume Flow Rate ได้ = $0.000138 \text{ m}^3/\text{s}$

3.7 การป้อนข้อมูลเพื่อการรายงานผล (Input for Reports)

Report - กำหนดให้ไปร่วมรายงานผลในหัวข้อต่างๆ ดังนี้

1. Outdoor dry bulb temperature
2. Zone mean air temperature
3. Surface inside temperature
4. Surface outside temperature

ชุดการทดลองที่ 3 การศึกษาประสิทธิผลในการใช้ Green roof ในการป้องกันความร้อน เข้าสู่อาคารผ่านทางหลังคา โดยการใช้โปรแกรม EnergyPlus

ในชุดการทดลองที่ 3 นี้เป็นการทดลองด้วยโปรแกรม EnergyPlus เช่นเดียวกับการทดลองที่ 2 แต่จะเป็นการจำลองโดยการนำแบบห้องทำงานของอาคารสำนักงานสูง 5 ชั้นแห่งหนึ่ง (ภาพที่ 49) มาใช้ทดสอบแทนกล่องขนาดเล็ก เพื่อให้มีความแม่นยำมากยิ่งขึ้น โดยจะเป็นการศึกษาในกรณีอาคารไม่ปรับอากาศ มีขั้นตอนดังนี้

1. การเตรียมการทดลอง

ทำการจำลองห้องทำงาน ขนาด $4.00 \times 6.00 \times 3.20$ ของอาคารสำนักงานสูง 5 ชั้นแห่งหนึ่ง ประกอบด้วยหลังคา 5 ประเภท ดังนี้

ห้องที่ 1 หลังคา Slab

ห้องที่ 2 หลังคา Green roof ความลึกดิน 10 ซม. ค่า Leaf area index = 2.5

ตั้งชื่อว่า Base Eco

ห้องที่ 3 หลังคา Green roof ความลึกดิน 10 ซม. ค่า Leaf area index = 4.2

ตั้งชื่อ Hi LAI

ห้องที่ 4 หลังคา Green roof ความลึกดิน 20 ซม. ค่า Leaf area index = 2.5

ตั้งชื่อว่า Thick Soil

ห้องที่ 5 หลังคา Green roof ความลึกดิน 20 ซม. ค่า Leaf area index = 4.2

ตั้งชื่อว่า HL+TS

ในส่วนของค่า Leaf area index นั้น ให้ใช้ค่าเดียวกับในชุดการทดลองที่ 2
(รายละเอียดฐานตัดข่ายดูภาพที่ 3.8)

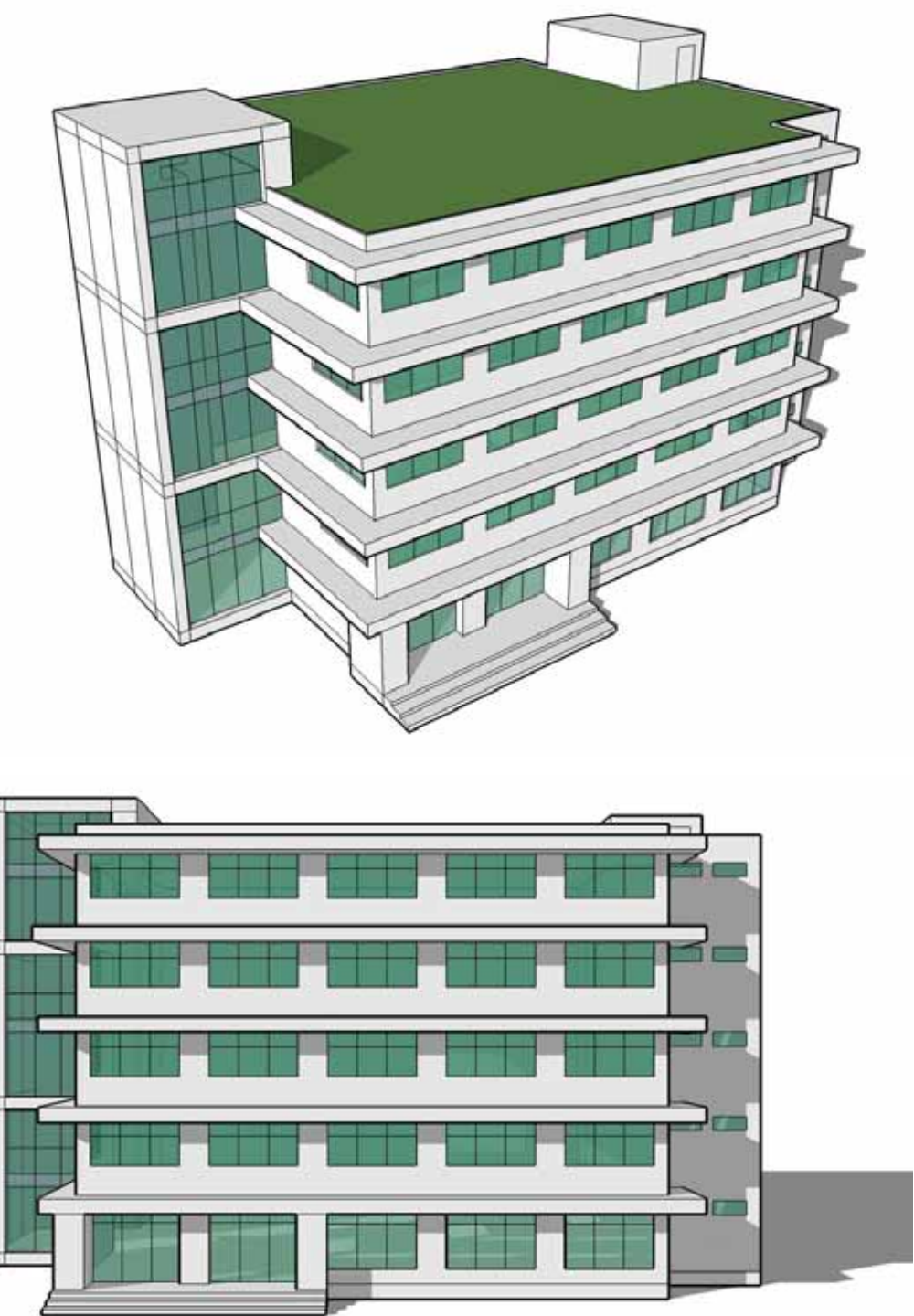
2. การทดลองและเก็บข้อมูล

ขั้นตอนในการทดลอง มีดังนี้

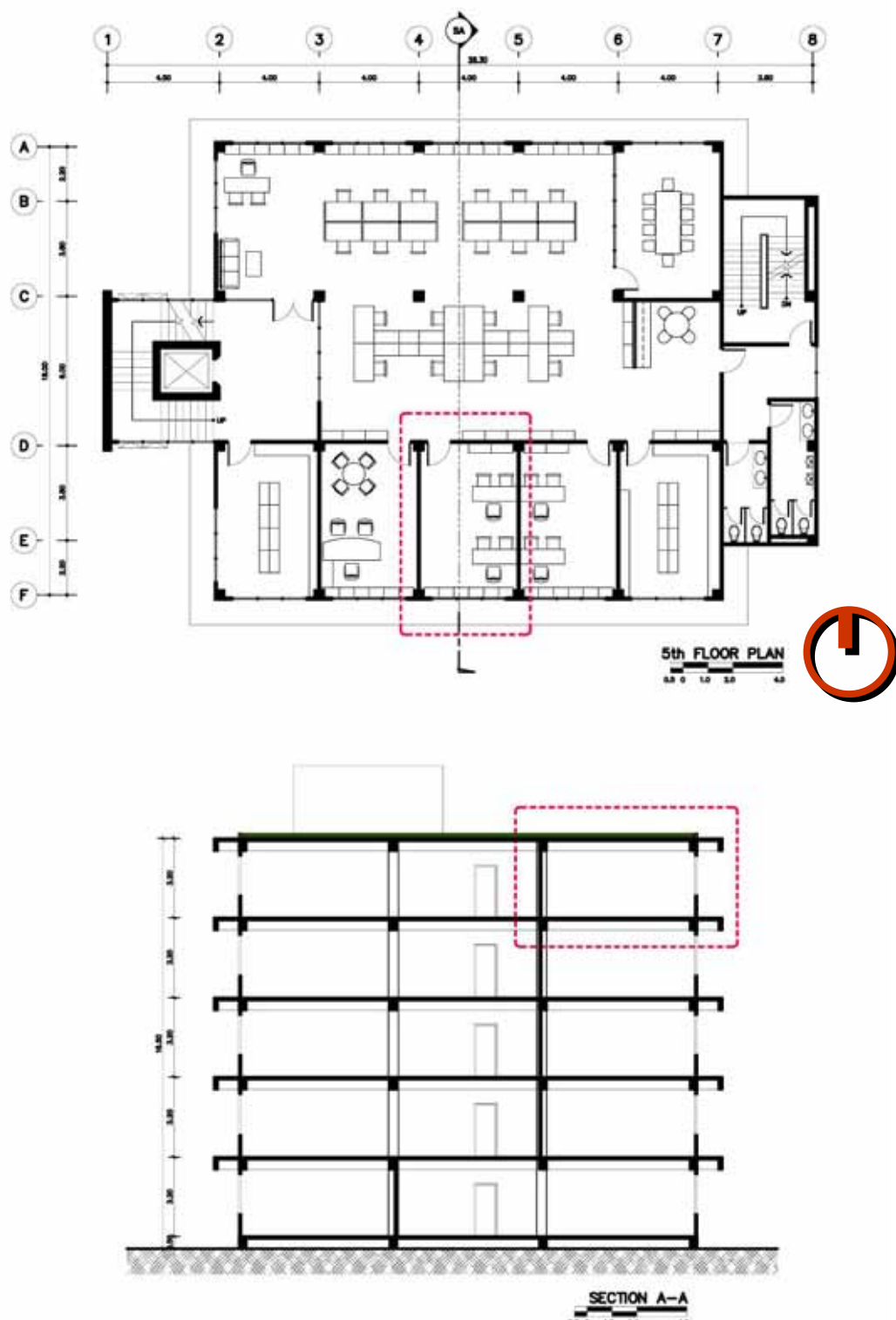
1. ทำการป้อนข้อมูลต่างๆที่จำเป็นในโปรแกรม EnergyPlus

2. กำหนดให้ใช้ข้อมูลวัสดุทุกชนิดเหมือนอาคารจริง

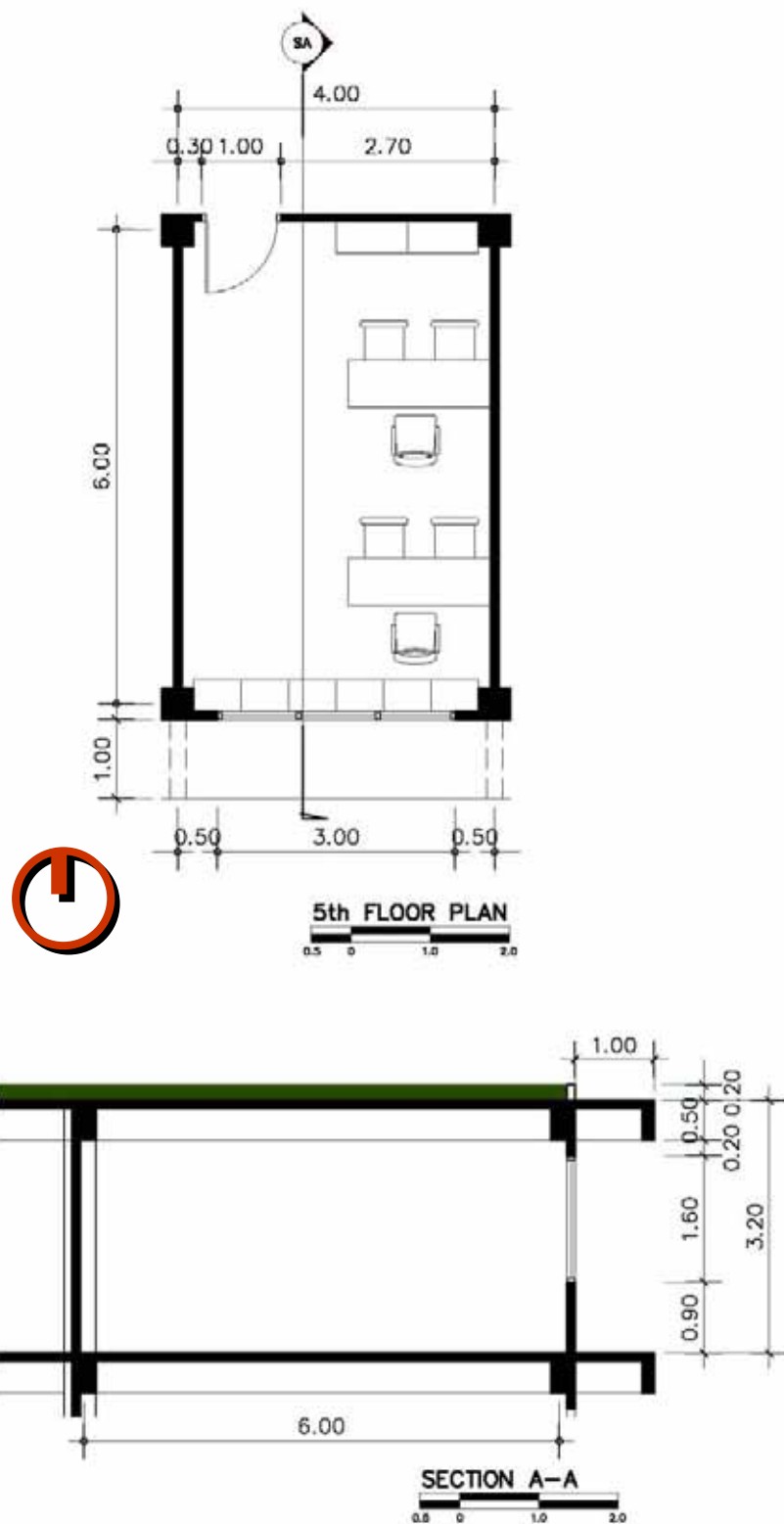
3. จากนั้นนำผลที่ได้จากโปรแกรมมาทำการวิเคราะห์เปรียบเทียบ



ภาพที่ 49 แสดงภาพจำลองอาคารสำนักงานสูง 5 ชั้น ที่จะนำมาใช้ทดสอบใน EnergyPlus



ภาพที่ 50 แสดงแบบแปลนห้องทำงานของอาคารสำนักงานสูง 5 ชั้น ที่จะนำมาใช้ทดสอบด้วยโปรแกรม EnergyPlus



ภาพที่ 51 แสดงแบบขยายห้องทำงานที่จะนำมาใช้ทดสอบด้วยโปรแกรม EnergyPlus

3. การป้อนข้อมูลใน EnergyPlus สำหรับชุดการทดลองที่ 3

ในชุดการทดลองที่ 3 กำหนดรายละเอียดข้อมูลที่ต้องใส่ในโปรแกรม EnergyPlus ดังนี้

3.1 ข้อมูลทั่วไป (Simulation Parameters)

Version - ใช้ Version 2.20

Building - กำหนดชื่ออาคารว่า Office (OF) กำหนดที่ตั้งให้อยู่ในเมือง (City)

3.2 ที่ตั้งอาคารและข้อมูลสภาพอากาศ (Location-Climate-Weather File Access)

Location - กำหนดให้กล่องทำมุมกับทิศเหนือที่ 0° ตั้งอยู่ในเขตกรุงเทพฯ จึงใช้ค่าพิกัดของกรุงเทพมหานครในการจำลอง Bangkok = Latitude 13.92 Longitude 100.6

ในส่วนข้อมูล Weather data ในชุดการทดลองที่ 3 จะไม่ใช้แบบ Real time แต่จะใช้ข้อมูล Bangkok weather data เดิมที่มีมากับโปรแกรม ซึ่งเป็นค่าเฉลี่ย 10 ปี เนื่องจาก การดูค่าพลังงานไฟฟ้าที่ใช้จำเป็นต้องใช้ข้อมูลของทั้งปี สามารถดาวน์โหลดได้จาก Website http://www.eere.energy.gov/buildings/energyplus/cfm/weather_data.cfm

3.3 วัสดุที่ใช้ในอาคาร (Surface Construction Elements)

Material - วัสดุที่ต้องใส่ในชุดการทดลองที่ 3 มี 4 ประเภทคือ

1. MATERIAL REGULAR

2. MATERIAL REGULAR-R

3. MATERIAL WINDOW GLASS

4. MATERIAL ECO ROOF

ตารางที่ 5 แสดงรายการวัสดุที่ใช้ในชุดการทดลองที่ 3

รายการ	วัสดุจริง	ชื่อวัสดุในโปรแกรม
Material Regular	อิฐมอญ หนา 10 ซม.	TH05-A-Brick-dry-plaster-cement-tile
	พื้น ค.ส.ล. หนา 10 ซม.	TH06-Concrete
	หลังคา ค.ส.ล. หนา 10 ซม.	TH06-Concrete
	บานประตูไม้เนื้อแข็ง หนา 50 มม.	TH24-B-Hardwood
Material Regular-R	กระเบื้องยาง	Tile: asphalt - linoleum - vinyl - rubber
Material Window Glass	กระจกใส หนา 6 มม.	CLEAR 6 MM
Material Eco Roof	หลังคาหญ้า ความลึกดิน 10 ซม. Leaf area index = 2.5	Base Eco
	หลังคาหญ้า ความลึกดิน 10 ซม. Leaf area index = 4.2	Hi LAI
	หลังคาหญ้า ความลึกดิน 20 ซม. Leaf area index = 2.5	Thick Soil
	หลังคาหญ้า ความลึกดิน 20 ซม. Leaf area index = 4.2	HL+TS

Construction - เป็นการประกอบวัสดุข้างต้น ขึ้นเป็นโครงสร้างส่วนต่างๆ โดยเรียงลำดับขั้นวัสดุจากภายนอกเข้าสู่ภายใน ซึ่งมีดังนี้

1. Name: Floor 02

Layer #1: TH06-Concrete

Layer #2: Tile: asphalt - linoleum - vinyl – rubber

2. Name: Wall 01

Layer #1: TH05-A-Brick-dry-plaster-cement-tile

3. Name: Roof 01

Layer #1: TH06-Concrete

4. Name: Roof 02

Layer #1: BaseEco

Layer #2: TH06-Concrete

5. Name: Roof 03

Layer #1: Hi LAI

Layer #2: TH06-Concrete

6. Name: Roof 04

Layer #1: Thick Soil

Layer #2: TH06-Concrete

7. Name: Roof 05

Layer #1: HL+TS

Layer #2: TH06-Concrete

8. Name: Window 01

Layer #1: CLEAR 6MM

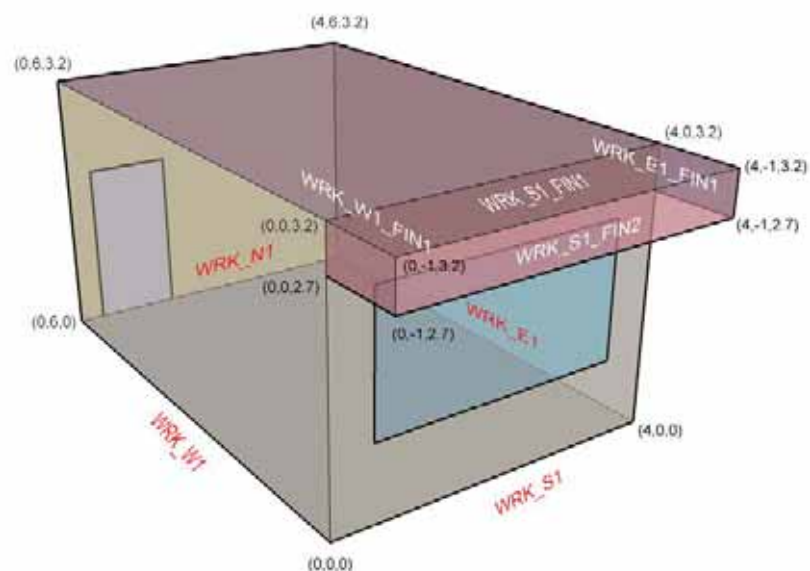
9. Name: Door 01

Layer #1: G06 50mm wood

3.4 การแบ่งพื้นที่ส่วนต่างๆของอาคาร (Thermal Zone Description/Geometry)

Zone - ในชุดการทดลองที่ 3 เป็นการจำลองห้องทำงาน 1 ห้อง ดังนั้นจึงกำหนดชื่อ Zone ไว้เพียง Zone เดียว คือ WRK (Working Room)

Surface - แบ่ง Surface ของแต่ละ Zone ดังนี้



ภาพที่ 52 แสดงการแบ่ง Surface ของห้องทำงาน แสดงผลเป็น 3D ด้วยโปรแกรม Sketch up

เนื่องจากในการจำลองห้องทำงานนี้ เป็นการจำลองห้องเพียงห้องเดียว จากอาคารทั้งหลัง ซึ่งผนังห้องด้านที่ไม่มีหน้าต่าง (WRK_W1, WRK_N1, WRK_E1) เป็นผนังภายนอกอาคาร ดังนั้นในภาระบุค่า Outside face environment ของผนังทั้ง 3 ด้านที่อยู่ภายนอกอาคาร จึงต้องระบุเป็น Other zone surface โดยใส่ค่า Outside face environment เป็นชื่อ Surface ของตัวเอง ส่วนผนังที่มีหน้าต่าง (WRK_S1) ให้ระบุเป็น Exterior environment ตามปกติ

3.5 ตารางการใช้งานอาคาร (Schedules)

ในชุดการทดลองที่ 3 นี้ เป็นการจำลองห้องทำงานของสำนักงาน จึงต้องกำหนดผู้ใช้อาคาร กิจกรรม และ เครื่องใช้ไฟฟ้า ด้วย ดังนี้

- ผู้เข้างาน 2 คน
- กิจกรรมคือ นั่งทำงาน
- เครื่องคอมพิวเตอร์ 2 เครื่อง
- คอมไฟฟลูออเรสเซนต์ 2 ดวง

3.6 การรั่วซึมของอากาศ (Infiltration)

สามารถหาได้จากสูตร

$$\frac{\text{ปริมาณการรั่วซึมของอากาศ}}{3,600} = \text{ACH} \times \text{Zone Volume} \times \text{m}^3/\text{s}$$

* ACH (Air Change per Hour) คือปริมาณการแลกเปลี่ยนหรือแทนที่ของอากาศภายในออกและภายใน อาคาร ใน 1 ชั่วโมง

กำหนดให้มีค่า ACH = 0.5 ปริมาตรห้องทำงาน = 76.80 m^3

เมื่อนำมาคำนวนหาค่า Design Volume Flow Rate ได้ = $0.01 \text{ m}^3/\text{s}$

3.7 การป้อนข้อมูลเพื่อการรายงานผล (Input for Reports)

ในชุดการทดลองที่ 3 กำหนดให้โปรแกรมรายงานผลในหัวข้อต่างๆ ดังนี้

1. Outdoor dry bulb temperature
2. Zone mean air temperature
3. Surface inside temperature
4. Surface outside temperature

ชุดการทดลองที่ 4 การศึกษาแนวทางการนำ Green roof มาใช้ในการลดการใช้พลังงานไฟฟ้าจากเครื่องปรับอากาศ โดยการจำลองด้วยโปรแกรม EnergyPlus

ในชุดการทดลองที่ 4 นี้เป็นการทดลองด้วยโปรแกรม EnergyPlus เช่นเดียวกับการทดลองที่ 2 และ 3 แต่จะเป็นการศึกษาในกรณีอาคารมีการใช้เครื่องปรับอากาศ เพื่อถูประดิษฐ์ภาพของหลังคาแต่ละชนิดในการลดภาระการทำความเย็นของเครื่องปรับอากาศ โดยมีรายละเอียดดังนี้

1. การเตรียมการทดลอง

ทำการจำลองห้องทำงาน ขนาด $4.00 \times 6.00 \times 3.20$ ประกอบด้วยหลังคา 5 ประเภท เหมือนชุดการทดลองที่ 3 ดังนี้

ห้องที่ 1 หลังคา Slab

ห้องที่ 2 หลังคา Green roof ความลึกดิน 10 ซม. ค่า Leaf area index = 2.5

ตั้งชื่อว่า Base Eco

ห้องที่ 3 หลังคา Green roof ความลึกดิน 10 ซม. ค่า Leaf area index = 4.2

ตั้งชื่อ Hi LAI

ห้องที่ 4 หลังคา Green roof ความลึกดิน 20 ซม. ค่า Leaf area index = 2.5

ตั้งชื่อว่า Thick Soil

ห้องที่ 5 หลังคา Green roof ความลึกดิน 20 ซม. ค่า Leaf area index = 4.2

ตั้งชื่อว่า HL+TS

ในส่วนของค่า Leaf area index นั้น ให้ใช้ค่าเดียวกับในชุดการทดลองที่ 2 และ 3 (รายละเอียดรูปดัดขยายดูภาพที่ 3.8)

2. การทดลองและเก็บข้อมูล

ขั้นตอนในการทดลอง มีดังนี้

- ทำการป้อนข้อมูลต่างๆที่จำเป็นในโปรแกรม EnergyPlus

- กำหนดให้ใช้ข้อมูลวัสดุทุกชนิดเหมือนอาคารจริง

- จากนั้นนำผลที่ได้จากโปรแกรมมาทำการวิเคราะห์เปรียบเทียบ

3. การป้อนข้อมูลใน EnergyPlus สำหรับชุดการทดลองที่ 4

ในชุดการทดลองที่ 4 นี้ มีรายละเอียดข้อมูลที่ต้องใส่ในโปรแกรม EnergyPlus เหมือนกับในชุดการทดลองที่ 3 แต่จะมีส่วนที่เพิ่มเติมมา โดยมีรายละเอียดดังนี้

3.1 ตารางการใช้งานอาคาร (Schedules)

กำหนดเวลาในการใช้เครื่องปรับอากาศ อุ่นในช่วงเวลา 09.00 น.-18.00 น.
กำหนดค่าอุณหภูมิในการปรับอากาศอยู่ที่ 25 องศาเซลเซียส

3.2 การปรับอากาศของพื้นที่ (Zone Forced Air Units)

Purchased Air - เป็นการบอกถึงข้อมูลของตัวคุปกรณ์ที่ใช้ในการจำลองเครื่องปรับอากาศ ใช้สำหรับหาค่าพลังงานที่ใช้ในการปรับอากาศเบื้องต้น โดยการจำลองลักษณะนี้จะเป็นการควบคุมอุณหภูมิภายในกล่องให้ได้ตามระดับที่ต้องการ แต่ไม่มีการควบคุมระดับความชื้น

3.3 อุปกรณ์ภายในพื้นที่ควบคุม (Zone Equipment)

Controlled Zone Equip Configuration - เป็นการกำหนดวิธีควบคุมอุปกรณ์ต่างๆที่จะใช้ในพื้นที่ควบคุม ต้องระบุอุปกรณ์ที่ใช้ (Zone Equipment)

Zone Equipment List - เป็นการบอกถึงรายการของอุปกรณ์ที่ใช้ในการควบคุม อุณหภูมิ ในการศึกษาครั้งนี้อุปกรณ์ที่ใช้การควบคุมมีเพียงอย่างเดียวคือ Purchase Air

3.4 การควบคุมอุณหภูมิ (Zone Controls and Thermostats)

Zone Control : Thermostatic - เป็นการบอกถึงการควบคุมอุณหภูมิใน Zone โดยทั้งระบบ Zone ที่ต้องการควบคุมอุณหภูมิ ตารางการควบคุม และรูปแบบการควบคุม ในที่นี้กำหนดให้ควบคุมโซนตามที่ตั้งไว้คือ WRK

Thermostats Control Type - กำหนดให้รูปแบบ 2 คือ Single Cooling Setpoint เนื่องจากเป็นการควบคุมความเย็นเท่านั้น

3.5 การป้อนข้อมูลเพื่อการรายงานผล (Input for Reports)

ในชุดการทดลองที่ 4 กำหนดให้โปรแกรมรายงานผลในหัวข้อต่างๆ ดังนี้

1. Outdoor dry bulb temperature
2. Zone mean air temperature
3. Surface inside temperature
4. Surface outside temperature
5. Purchased air total cooling energy

ชุดการทดลองที่ 5 การศึกษาระยะเวลาในการคืนทุนในการใช้ Green roof เปรียบเทียบกับการใช้ชั้นหังค่าทั่วไป

ในชุดการทดลองที่ 5 นี้เป็นการทดลองด้วยโปรแกรม EnergyPlus เช่นเดียวกับการทดลองที่ผ่านมา แบ่งเป็น 2 ขั้นตอน คือ

1. เปรียบเทียบประสิทธิผลของ Green roof กับ ชั้นหังความร้อน

เป็นการศึกษาประสิทธิผลของการใช้ Green roof เปรียบเทียบกับการใช้ชั้นหังความร้อน ในกรณีอาคารมีการใช้เครื่องปรับอากาศ เพื่อเปรียบเทียบประสิทธิผลในการลดการใช้พลังงานไฟฟ้าจากเครื่องปรับอากาศของ Green roof ว่าเทียบได้ใกล้เคียงกับชั้นหังชนิดใด

โดยในการทดลองนี้ได้เลือกใช้ชั้นหุ้มรอบด้านด้วยอลูมิเนียมฟอยล์ ในการจำลองโดยเลือกรุ่นความหนา 1" และ 2" มา 4 รุ่น มีรายละเอียดดังตาราง

ตารางที่ 6 รายละเอียดชั้นหุ้มรอบด้านด้วยอลูมิเนียมฟอยล์ ที่นำมาใช้จำลอง

รุ่น	ราคา/ ตร.ม.	Density (Kg/m ³)	Thickness (mm.)	K-Value		R-Value	
				w/m.K	Btu-in/ Hr.ft ² .F	m ² .K/w	Hr.ft ² .F/Btu
1625	140	16	25	0.038	0.264	0.658	3.735
1650	175	16	50	0.038	0.264	1.316	7.470
2425	210	24	25	0.035	0.243	0.714	4.055
2450	309	24	50	0.035	0.243	1.429	8.110

ที่มา : Supercool [online], Accessed 19 November 2009.

Available from www.siamfiberglass.com



ภาพที่ 53 ฉนวนหุ้มรอบด้านด้วยแผ่นอลูมิเนียมฟอยล์

ที่มา : Supercool [online], Accessed 19 November 2009.

Available from www.siamfiberglass.com

2. ศึกษาระยะเวลาคืนทุน

เมื่อได้ผลสรุปจาก ข้อ 5.1 แล้ว จึงนำต้นทุนราคาของหลังคาแต่ละชนิดมาคำนวณเวลาคืนทุน โดยจะต้องแบ่งค่าพลังงานไฟฟ้าที่ได้จากการจำลองด้วย EnergyPlus ให้อยู่ในรูปของค่าไฟฟ้าจริงก่อน จึงจะนำไปหาระยะเวลาคืนทุนได้

ค่าพลังงานไฟฟ้าที่ใช้ สามารถหาได้จากสูตร

$$\text{ค่าพลังงานไฟฟ้าที่ใช้ (kWh)} = \text{En/COP}$$

En = Purchased Cooling ที่ได้จากโปรแกรม EnergyPlus (kWh)

COP = ค่าสัมประสิทธิ์สมรรถนะของเครื่องปรับอากาศ

$$\text{COP} = \text{EER} / 3.412$$

โดยกำหนดให้อาคารที่จำลองใช้เครื่องปรับอากาศเบอร์ 5 ซึ่งมีค่า EER = 10.6¹²
ดังนั้น COP = 10.6 / 3.412 = 3.106

¹² พระราชบัญญัติส่งเสริมการอนุรักษ์พลังงานในอาคาร, 2535

การคิดระยะเวลาคืนทุน

การคิดระยะเวลาคืนทุนของ Green roof สามารถคิดได้จากสูตร

$$\text{ระยะเวลาคืนทุน (ปี)} = \frac{\text{Ca}}{\text{Cb} - \text{Cc}}$$

เมื่อ Ca = ต้นทุนของหลังคา Green roof (บาท)

Cb = ค่าไฟฟ้าของอาคารหลังคา ค.ส.ล. ใน 1 ปี (บาท)

Cc = ค่าไฟฟ้าของอาคารที่ใช้ Green roof ใน 1 ปี (บาท)

การคิดระยะเวลาคืนทุนของอาคารที่ใช้จำนวนหลังคา สามารถคิดได้จากสูตร

$$\text{ระยะเวลาคืนทุน (ปี)} = \frac{\text{Ca}}{\text{Cb} - \text{Cc}}$$

เมื่อ Ca = ต้นทุนของจำนวนหลังคา (บาท)

Cb = ค่าไฟฟ้าของอาคารหลังคา ค.ส.ล. ใน 1 ปี (บาท)

Cc = ค่าไฟฟ้าของอาคารที่ใช้จำนวนหลังคาใน 1 ปี (บาท)

บทที่ 4

ผลการวิจัยและการวิเคราะห์ข้อมูล

จากวัตถุประสงค์ของการวิจัย

1. เพื่อศึกษาประสิทธิผลของการใช้ Green roof ใน การป้องกันความร้อนเข้าสู่อาคาร ที่ตั้งอยู่ในสภาพภูมิอากาศร้อนชื้น
 2. เพื่อศึกษาตัวแปรที่เกี่ยวข้องกับ Green roof ซึ่งมีผลต่อการป้องกันความร้อนเข้าสู่ อาคารผ่านทางหลังคา เช่น ความหนาของดินปลูก ชนิดของพืชพันธุ์ เป็นต้น
 3. เพื่อศึกษาประสิทธิผลของการใช้ Green roof ใน การลดการใช้พลังงานจาก เครื่องปรับอากาศ
- จากวัตถุประสงค์ดังกล่าว นำมาจำแนกเป็นชุดการทดลอง ได้ดังนี้

ชุดการทดลองที่ 1

การศึกษาประสิทธิผลในการใช้ Green roof ใน การป้องกันความร้อนเข้าสู่อาคารผ่าน ทางหลังคา โดยการสร้างกล่องทดลองจริง

ชุดการทดลองที่ 2

การศึกษาประสิทธิผลจากการใช้โปรแกรม EnergyPlus ใน การจำลอง Green roof เพื่อเปรียบเทียบกับการใช้กล่องทดลองจริง

ชุดการทดลองที่ 3

การศึกษาประสิทธิผลในการใช้ Green roof ใน การป้องกันความร้อนเข้าสู่อาคารผ่าน ทางหลังคา โดยการใช้โปรแกรม EnergyPlus

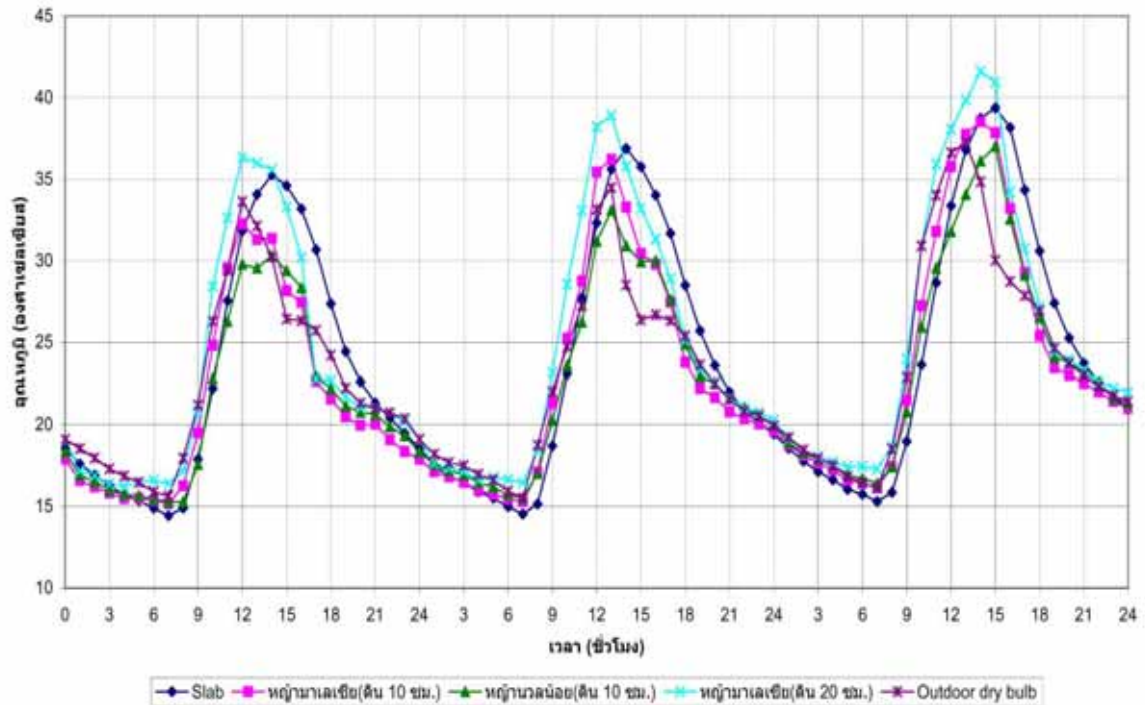
ชุดการทดลองที่ 4

การศึกษาประสิทธิผลในการนำ Green roof มาใช้ เพื่อลดการใช้พลังงานไฟฟ้าจาก เครื่องปรับอากาศ โดยการใช้โปรแกรม EnergyPlus

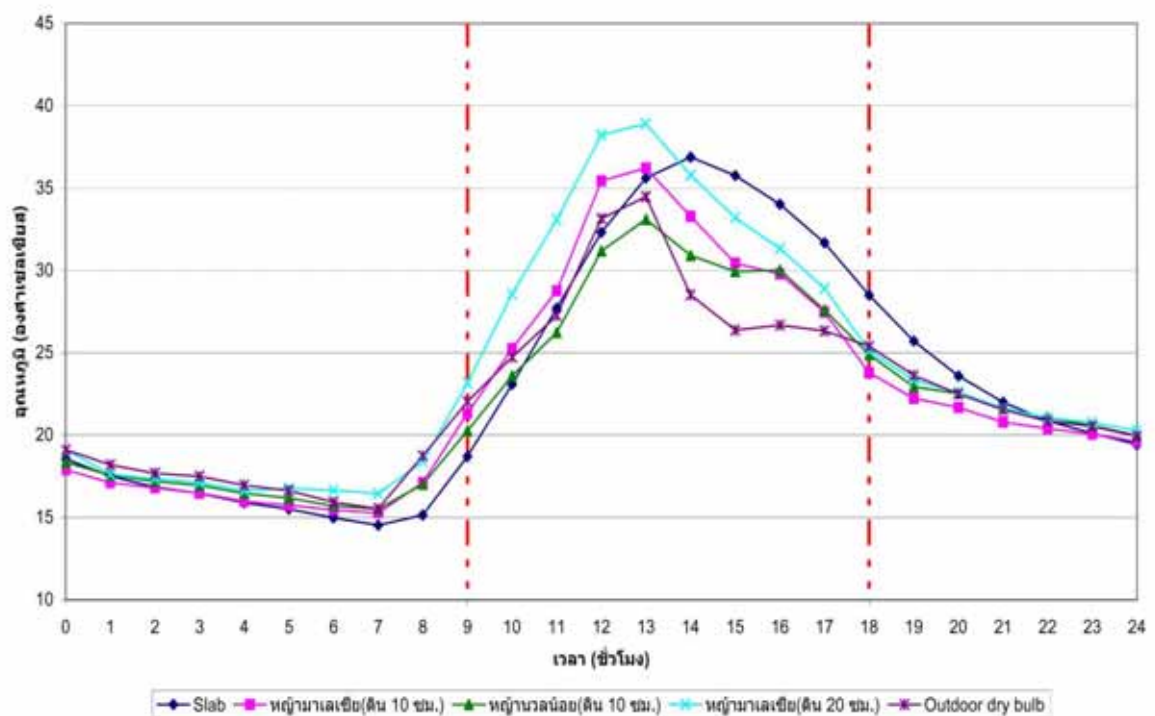
ชุดการทดลองที่ 5

การศึกษาระยะเวลาในการคืนทุนในการใช้ Green roof เปรียบเทียบกับการใช้ชั่วโมง หลังคาทั่วไป

1. ผลการทดลองที่ 1 การศึกษาประสิทธิผลในการใช้ Green roof ในการป้องกันความร้อนเข้าสู่อาคารผ่านทางหลังคา โดยการสร้างกล่องทดลองจริง



แผนภูมิที่ 1 เปรียบเทียบอุณหภูมิผิวหลังคาภายในอก ระหว่างวันที่ 15-17 มกราคม 2552



แผนภูมิที่ 2 เปรียบเทียบอุณหภูมิผิวหลังคาภายในอก วันที่ 16 มกราคม 2552

ตารางที่ 7 เปรียบเทียบอุณหภูมิผิวหลังคากายนอก วันที่ 15-17 มกราคม 2552

ค่า	อุณหภูมิสูงสุด (°C)				อุณหภูมิต่ำสุด (°C)				อุณหภูมิเฉลี่ย 9.00-18.00 น.			
	วันที่ หลังคາ	15	16	17	เฉลี่ย 3 วัน	15	16	17	เฉลี่ย 3 วัน	15	16	17
ค.ส.ล.	35.2	36.8	39.3	37.1	14.4	14.5	15.3	14.7	29.4	30.4	32.2	30.7
มาเลเซีย 10	32.2	36.2	38.5	35.6	15.1	15.2	16.1	15.5	26.8	29.1	31.8	29.2
ผลต่าง	3	0.6	0.8	1.5	-0.7	-0.7	-0.8	-0.8	2.6	1.3	0.4	1.5
ผลต่างเป็น %	8.5	1.6	2.0	4.0	-4.8	-4.8	-5.2	-5.4	8.8	4.2	1.2	4.8
นวลดน้อย 10	30.3	33.1	37.0	33.4	15.2	15.5	16.4	15.7	25.9	27.7	30.3	28.0
ผลต่าง	4.9	3.7	2.3	3.7	-0.8	-1	-1.1	-1	3.5	2.7	1.9	2.7
ผลต่างเป็น %	13.9	10.0	5.8	9.9	-5.5	-6.8	-7.1	-6.8	11.9	8.8	5.9	8.7
มาเลเซีย 20	36.3	38.9	41.6	38.9	16.2	16.4	17.2	16.6	29.8	31.6	34.3	31.9
ผลต่าง	-1.1	-2.1	-2.3	-1.8	-1.8	-1.9	-1.9	-1.9	-0.4	-1.2	-2.1	-1.2
ผลต่างเป็น %	-3.1	-5.7	-5.8	-4.8	-12.5	-13.1	-12.4	-12.9	-1.3	-3.9	-6.5	-3.9

*** หมายเหตุ**

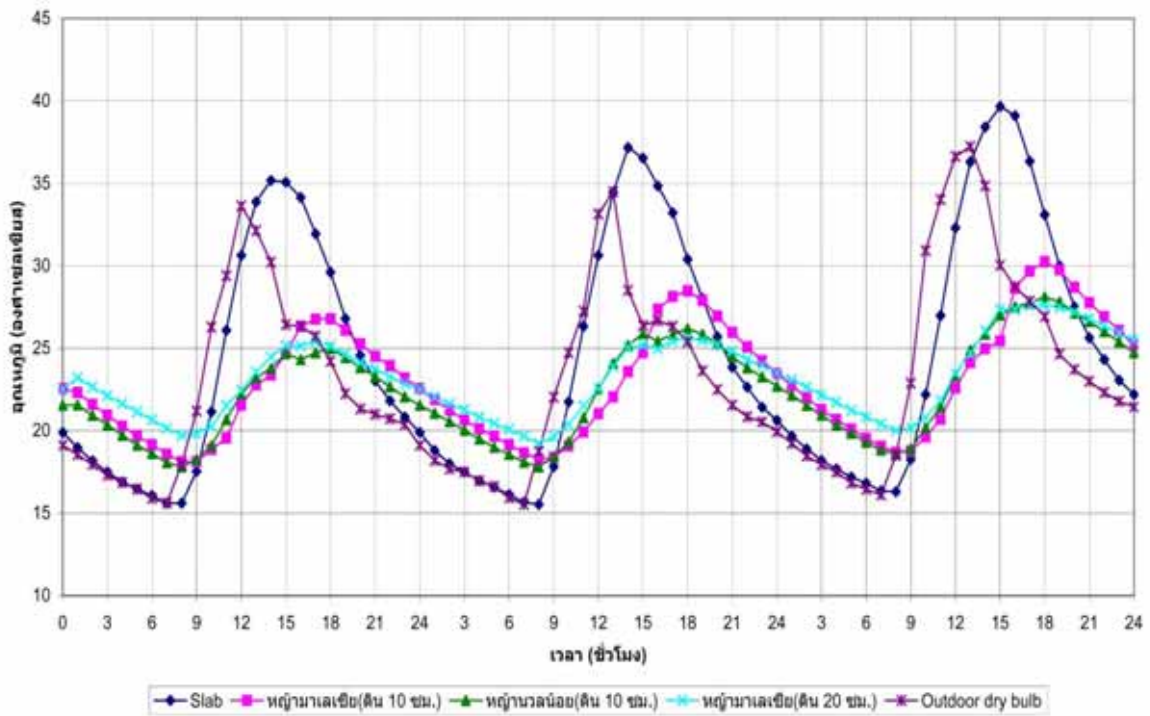
- ค่าอุณหภูมิสูงสุดและต่ำสุด คิดจากช่วงเวลาตลอด 24 ชม.
- ค่าผลต่าง คิดจากค่าที่ได้จากการหลังคาก.ส.ล. ลบด้วยค่าจากหลังคานินิเดื่นฯ เพื่อดูว่าอุณหภูมิลดลงจากหลังคาก.ส.ล. เท่าไร ในกรณีที่ค่าติดลบแสดงว่า ค่าที่ได้จากการหลังคานินิเดื่นสูงกว่าหลังคาก.ส.ล.
- ผลต่างเป็น % คิดจากสูตร ค่าผลต่าง $\times 100$ หารด้วยค่าต้นจากการหลังคาก.ส.ล.

จากการทดลองพบว่า

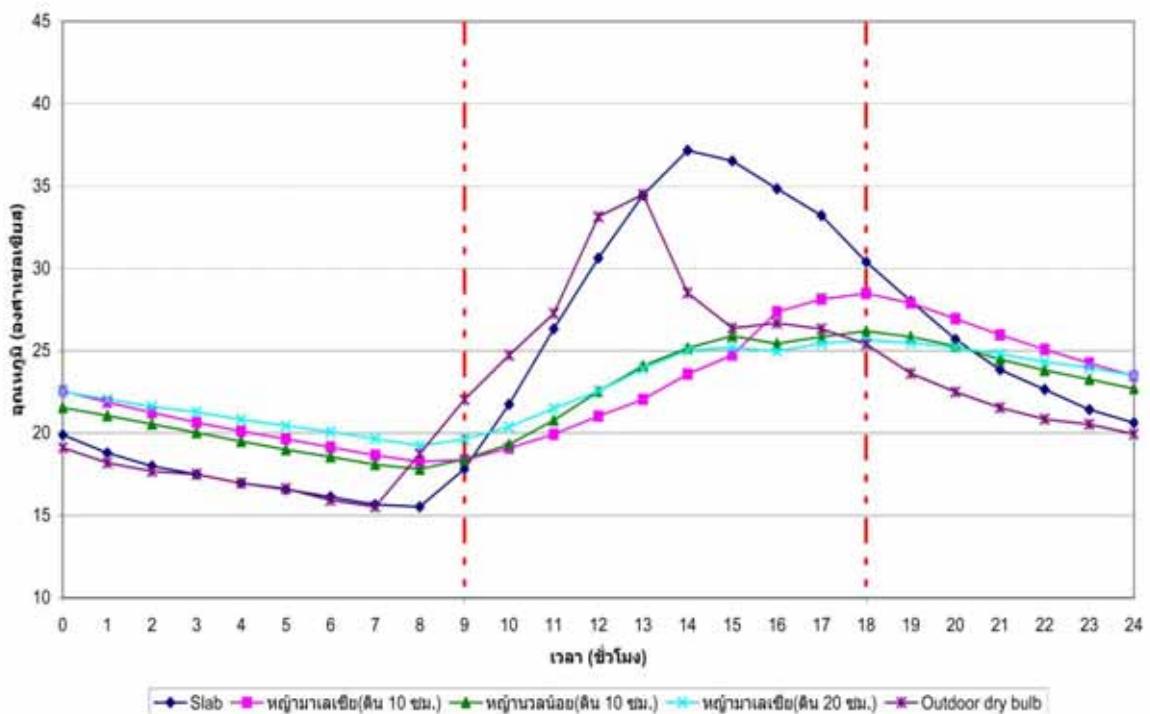
เมื่อดูค่าอุณหภูมิสูงสุดเฉลี่ย 3 วัน พบว่า หลังคาน้ำมาเลเซีย ดินปุลูก 20 ซม. จะมีค่าอุณหภูมิผิวภายนอกสูงสุดเฉลี่ยมากที่สุด คือ 38.9°C รองลงมาคือหลังคาก.ส.ล.อยู่ที่ 37.1°C โดยหลังคาน้ำวนน้อย ดินปุลูก 10 ซม. จะมีค่าอุณหภูมิผิวภายนอกสูงสุดเฉลี่ยน้อยที่สุด คือ 33.4°C น้อยกว่าหลังคาก.ส.ล. ประมาณ 3.7°C หรือลดลงประมาณ 9.9%

เมื่อดูค่าอุณหภูมิผิวภายนอกต่ำสุดเฉลี่ย 3 วัน พบว่า หลังคาก.ส.ล. จะมีค่าอุณหภูมิผิวภายนอกต่ำสุดเฉลี่ยน้อยที่สุด คือ 14.7°C โดยน้อยกว่าหลังคานินิเดื่นฯ ประมาณ $0.8-1.9^{\circ}\text{C}$

เมื่อดูค่าอุณหภูมิผิวภายนอกเฉลี่ยเวลากลางวัน (9.00-18.00 น.) พบว่า หลังคาน้ำมาเลเซีย ดินปุลูก 20 ซม. จะมีค่าอุณหภูมิผิวภายนอกเฉลี่ยเวลากลางวันมากที่สุด คือ 31.9°C รองลงมาคือหลังคาก.ส.ล. อยู่ที่ 30.7°C โดยหลังคาน้ำวนน้อย ดินปุลูก 10 ซม. จะมีค่าอุณหภูมิผิวภายนอกเฉลี่ยเวลากลางวันน้อยที่สุด คือ 28.0°C น้อยกว่าหลังคาก.ส.ล. ประมาณ 2.7°C หรือลดลงประมาณ 8.7%



แผนภูมิที่ 3 เปรียบเทียบอุณหภูมิผิวหลังคาภายใน ระหว่างวันที่ 15-17 มกราคม 2552



แผนภูมิที่ 4 เปรียบเทียบอุณหภูมิผิวหลังคาภายใน วันที่ 16 มกราคม 2552

ตารางที่ 8 เปรียบเทียบอุณหภูมิผิวหลังคากายใน วันที่ 15-17 มกราคม 2552

ค่า	อุณหภูมิสูงสุด (°C)				อุณหภูมิต่ำสุด (°C)				อุณหภูมิเฉลี่ย 9.00-18.00			
	วันที่ หลังคາ	15	16	17	เฉลี่ย 3 วัน	15	16	17	เฉลี่ย 3 วัน	15	16	17
ค.ส.ล.	35.1	37.1	39.6	37.3	15.6	15.5	16.3	15.8	29.5	30.3	32.2	30.7
มาเลเซีย 10	26.7	28.4	30.2	28.5	18.1	18.2	18.6	18.3	22.8	23.2	24.4	23.5
ผลต่าง	8.4	8.7	9.4	8.8	-2.5	-2.7	-2.3	-2.5	6.7	7.1	7.8	7.2
ผลต่างเป็น %	23.9	23.4	23.7	23.5	-16.0	-17.4	-14.1	-15.8	22.7	23.4	24.2	23.4
นวลดั้งน้อย 10	24.9	26.2	28.1	26.4	17.8	17.8	18.6	18.0	22.6	23.3	24.5	23.4
ผลต่าง	10.2	10.9	11.5	10.9	-2.2	-2.3	-2.3	-2.2	6.9	7	7.7	7.3
ผลต่างเป็น %	29.0	29.3	29.0	29.2	-14.1	-14.8	-14.1	-13.9	23.3	23.1	23.9	23.7
มาเลเซีย 20	25.4	25.6	27.6	26.2	19.7	19.2	20.0	19.6	23.2	23.4	24.7	23.8
ผลต่าง	9.7	11.5	12	11.1	-4.1	-3.7	-3.7	-3.8	6.3	6.9	7.5	6.9
ผลต่างเป็น %	27.6	30.9	30.3	29.7	-26.2	-23.8	-22.6	-24.0	21.3	22.7	23.2	22.4

* หมายเหตุ

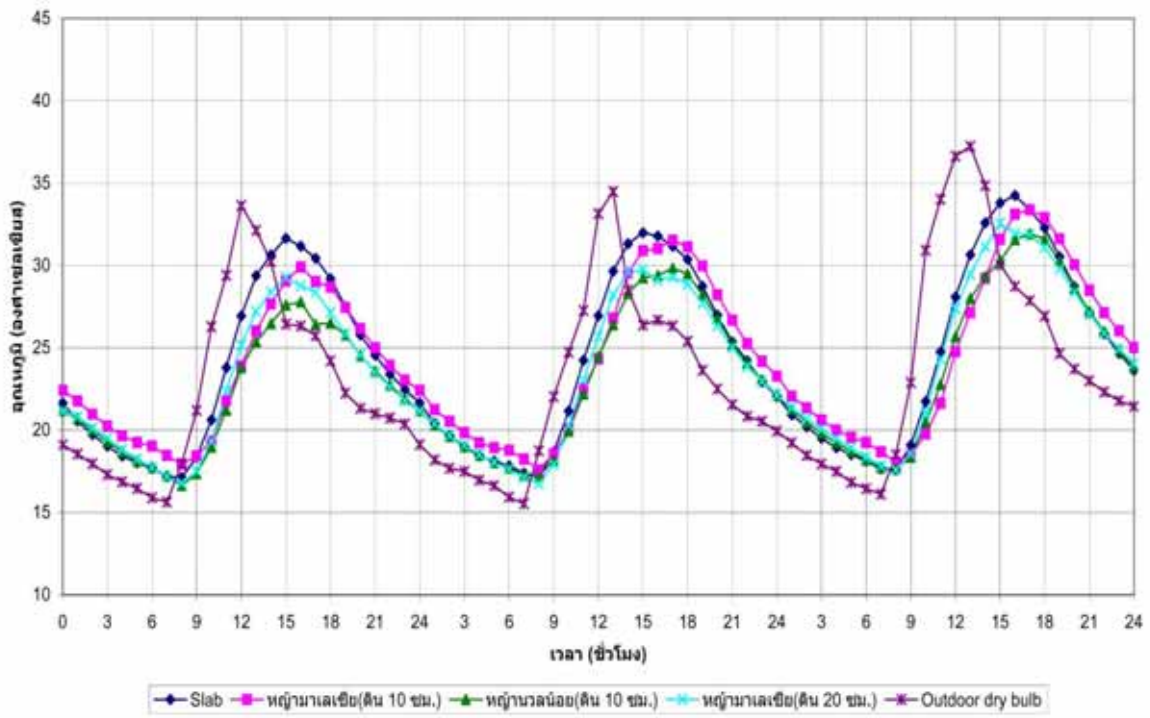
- ค่าอุณหภูมิสูงสุดและต่ำสุด คิดจากช่วงเวลาตลอด 24 ชม.
- ค่าผลต่าง คิดจากค่าที่ได้จากการหลังคาก.ส.ล. ลบด้วยค่าจากหลังคานินิเดื่นฯ เพื่อดูว่าอุณหภูมิลดลงจากหลังคาก.ส.ล. เท่าไร ในกรณีที่ค่าติดลบแสดงว่า ค่าที่ได้จากการหลังคานินิเดื่นสูงกว่าหลังคาก.ส.ล.
- ผลต่างเป็น % คิดจากสูตร ค่าผลต่าง $\times 100$ หารด้วยค่าต้นจากหลังคาก.ส.ล.

จากการทดลองพบว่า

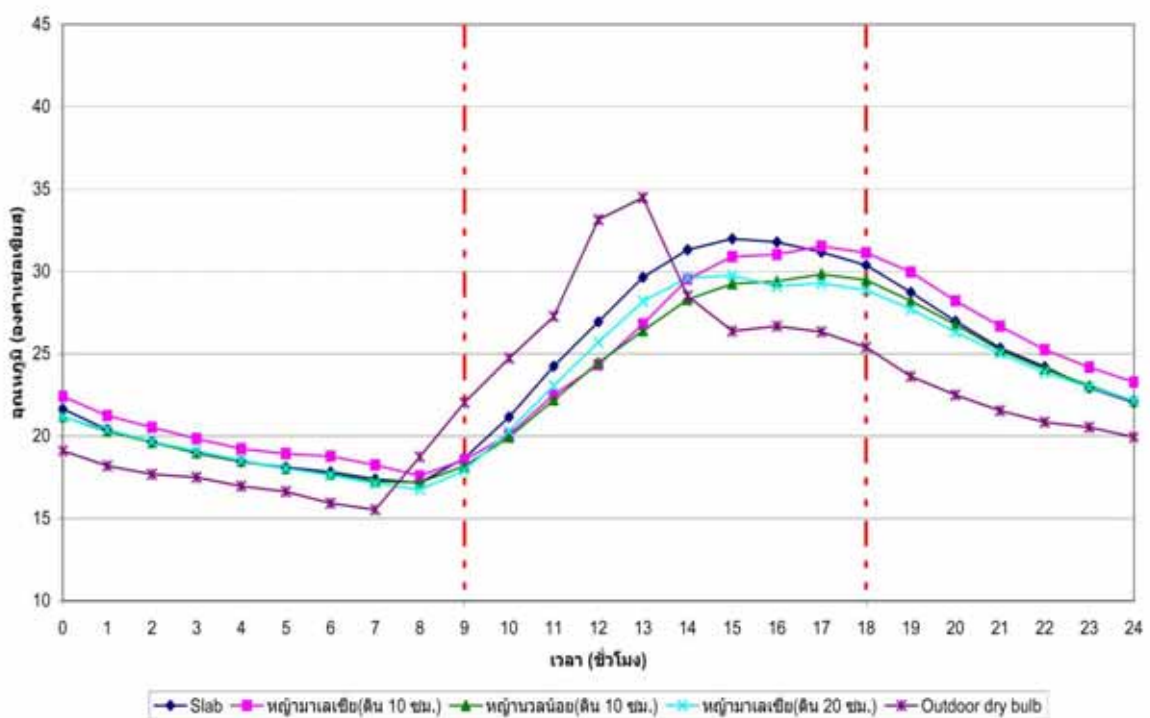
เมื่อค่าอุณหภูมิผิวภายในสูงสุดเฉลี่ย 3 วัน พบว่า หลังคาก.ส.ล. จะมีค่าอุณหภูมิผิวภายในสูงสุดเฉลี่ยมากที่สุด คือ 37.3°C โดยหลังคากญ้ามาเลเซีย ดินปูกู 20 ชม. จะมีค่าอุณหภูมิผิวภายในสูงสุดเฉลี่ยน้อยที่สุด คือ 26.2°C น้อยกว่าหลังคาก.ส.ล. ประมาณ 11.1°C หรือลดลงประมาณ 29.7%

เมื่อค่าอุณหภูมิผิวภายในต่ำสุดเฉลี่ย 3 วัน พบว่า หลังคาก.ส.ล. จะมีค่าอุณหภูมิผิวภายในต่ำสุดเฉลี่ยน้อยที่สุด คือ 15.8°C โดยน้อยกว่าหลังคานินิเดื่นฯ ประมาณ $2.2\text{-}3.8^{\circ}\text{C}$

เมื่อค่าอุณหภูมิผิวภายในเฉลี่ยเวลากลางวัน (9.00-18.00 น.) พบว่า หลังคาก.ส.ล. จะมีค่าอุณหภูมิผิวภายในเฉลี่ยกลางวันมากที่สุด คือ 30.7°C โดยหลังคากญ้านวนน้อย ดินปูกู 10 ชม. จะมีค่าอุณหภูมิผิวภายในเฉลี่ยกลางวันน้อยที่สุด คือ 23.4°C โดยน้อยกว่าหลังคาก.ส.ล. ประมาณ 7.3°C หรือลดลงประมาณ 23.7%



แผนภูมิที่ 5 เปรียบเทียบอุณหภูมิอากาศภายในกล่อง ระหว่างวันที่ 15-17 มกราคม 2552



แผนภูมิที่ 6 เปรียบเทียบอุณหภูมิอากาศภายในกล่อง วันที่ 16 มกราคม 2552

ตารางที่ 9 เปรียบเทียบอุณหภูมิอากาศภายในกล่อง วันที่ 15-17 มกราคม 2552

ค่า	อุณหภูมิสูงสุด (°C)				อุณหภูมิต่ำสุด (°C)				อุณหภูมิเฉลี่ย 9.00-18.00 น.			
	วันที่ 15 หลังค่า	16	17	เฉลี่ย 3 วัน	15	16	17	เฉลี่ย 3 วัน	15	16	17	เฉลี่ย 3 วัน
ค.ส.ล.	31.6	31.9	34.2	32.6	17.1	17.1	17.6	17.2	27.2	27.7	29.0	28.0
มาเลเซีย 10	29.9	31.5	33.3	31.6	17.9	17.6	18.0	17.8	25.3	26.6	27.1	26.4
ผลต่าง	1.7	0.4	0.9	1.0	-0.8	-0.5	-0.4	-0.6	1.9	1.1	1.9	1.6
ผลต่างเป็น %	5.3	1.2	2.6	3.0	-4.6	-2.9	-2.2	-3.4	6.9	3.9	6.5	5.7
นวลดัชนี้ 10	27.7	29.8	31.9	29.8	16.6	17.2	17.6	17.1	24.1	25.7	27.0	25.6
ผลต่าง	3.9	2.1	2.3	2.8	0.5	-0.1	0	0.1	3.1	2	2	2.4
ผลต่างเป็น %	12.3	6.5	6.7	8.5	2.9	-0.5	0	0.5	11.3	7.2	6.8	8.5
มาเลเซีย 20	29.2	29.7	32.5	27.9	16.7	16.7	17.5	17.0	25.3	26.1	27.9	26.4
ผลต่าง	2.4	2.2	1.7	4.7	0.4	0.4	0.1	0.2	1.9	1.6	1.1	1.6
ผลต่างเป็น %	7.5	6.8	4.9	14.4	2.3	2.3	0.5	1.1	6.9	5.7	3.7	5.7

* หมายเหตุ

- ค่าอุณหภูมิสูงสุดและต่ำสุด คิดจากช่วงเวลาตลอด 24 ชม.
- ค่าผลต่าง คิดจากค่าที่ได้จากหลังค่า ค.ส.ล. ลบด้วยค่าจากหลังคานินิเดื่นฯ เพื่อดูว่าอุณหภูมิลดลงจากหลังค่า ค.ส.ล. เท่าไร ในกรณีที่ค่าติดลบแสดงงว่า ค่าที่ได้จากหลังคานินิเดื่นสูงกว่าหลังค่า ค.ส.ล.
- ผลต่างเป็น % คิดจากสูตร ค่าผลต่าง $\times 100$ หารด้วยค่าต้นจากหลังค่า ค.ส.ล.

จากการทดลองพบว่า

เมื่อดูค่าอุณหภูมิอากาศภายในสูงสุดเฉลี่ย 3 วัน พบร่ว่า หลังค่า ค.ส.ล. จะมีค่าอุณหภูมิสูงสุดเฉลี่ยมากที่สุด คือ 32.6°C โดยหลังคาน้ำมันมาเลเซีย ดินปุลูก 20 ซม. จะมีค่าอุณหภูมิสูงสุดเฉลี่ยน้อยที่สุด คือ 27.9°C น้อยกว่าหลังค่า ค.ส.ล. ประมาณ 4.7°C หรือลดลงประมาณ 14.4%

เมื่อดูค่าอุณหภูมิอากาศภายในต่ำสุดเฉลี่ย 3 วัน พบร่ว่า หลังคาน้ำมันมาเลเซีย ดินปุลูก 20 ซม. จะมีค่าอุณหภูมิต่ำสุดเฉลี่ยน้อยที่สุด คือ 17.0°C โดยน้อยกว่าหลังคานินิเดื่นฯ ประมาณ $0.1\text{--}0.8^{\circ}\text{C}$

เมื่อดูค่าอุณหภูมิอากาศภายในเฉลี่ยเวลากลางวัน (9.00-18.00 น.) พบร่ว่า หลังค่า ค.ส.ล. จะมีค่าอุณหภูมิเฉลี่ยกลางวันมากที่สุด คือ 28.0°C โดยหลังคาน้ำมันววนน้อย ดินปุลูก 10 ซม. จะมีค่าอุณหภูมิเฉลี่ยกลางวันน้อยที่สุด คือ 25.6°C โดยน้อยกว่าหลังค่า ค.ส.ล. ประมาณ 2.4°C หรือลดลงประมาณ 8.5%

สรุปผลการทดลองที่ 1

จากการทดลองเปรียบเทียบค่าอุณหภูมิที่เกิดขึ้นของหลังคาทั้ง 4 ชนิด สามารถสรุปผลได้ดังนี้

1. อุณหภูมิผิวหลังคาภายนอก

จากตารางที่ 7 สรุปได้ว่าในช่วงเวลากลางวันตั้งแต่ 9.00-18.00 น. หลังคาญ้ามาเลเชีย ดินปูลูก 20 ซม. จะมีอุณหภูมิผิวหลังคาภายนอกเฉลี่ยสูงที่สุด คือ 31.9°C รองลงมาคือหลังคา ค.ส.ล. อุณหภูมิ 30.7°C โดยหลังคาหูบ้านวนน้อย ดินปูลูก 10 ซม. จะมีค่าอุณหภูมิเฉลี่ยกลางวันน้อยที่สุด คือ 28.0°C น้อยกว่าหลังคา ค.ส.ล. ประมาณ 2.7°C หรือลดลงประมาณ 8.7%

ในช่วงเวลากลางคืน (ตั้งแต่ 19.00-08.00 น. ของวันรุ่งขึ้น) หลังคา ค.ส.ล. จะมีอุณหภูมิผิวหลังคาภายนอกเฉลี่ยต่ำที่สุด ซึ่งน่าจะเกิดจากการรายความร้อนคืนสู่อากาศภายนอกได้เร็วกว่าหลังคาชนิดอื่น เนื่องจากมีมวลสารน้อยกว่า

2. อุณหภูมิผิวใต้หลังคา

จากตารางที่ 8 สรุปได้ว่าในช่วงเวลากลางวันตั้งแต่ 9.00-18.00 น. หลังคา ค.ส.ล. จะมีค่าอุณหภูมิเฉลี่ยกลางวันมากที่สุด คือ 30.7°C โดยหลังคาหูบ้านวนน้อย ดินปูลูก 10 ซม. จะมีค่าอุณหภูมิเฉลี่ยกลางวันน้อยที่สุด คือ 23.4°C โดยน้อยกว่าหลังคา ค.ส.ล. ประมาณ 7.3°C หรือลดลงมากถึง 23.7%

ในช่วงเวลากลางคืน (ตั้งแต่ 19.00-08.00 น. ของวันรุ่งขึ้น) หลังคา ค.ส.ล. จะมีอุณหภูมิผิวหลังคาภายนอกเฉลี่ยต่ำที่สุด เช่นเดียวกับค่าอุณหภูมิผิวเหนือหลังคา ซึ่งน่าจะเกิดจากการรายความร้อนคืนสู่อากาศภายนอกได้เร็วกว่าหลังคาชนิดอื่น เนื่องจากมีมวลสารน้อยกว่า

3. อุณหภูมิอากาศภายนอก

จากตารางที่ 9 สรุปได้ว่าในช่วงเวลากลางวันตั้งแต่ 9.00-18.00 น. หลังคาค.ส.ล. จะมีค่าอุณหภูมิอากาศภายนอกเฉลี่ยกลางวันมากที่สุด คือ 28.0°C โดยหลังคาหูบ้านวนน้อย ดินปูลูก 10 ซม. จะมีค่าอุณหภูมิอากาศภายนอกเฉลี่ยกลางวันน้อยที่สุด คือ 25.6°C โดยน้อยกว่าหลังคา ค.ส.ล. ประมาณ 2.4°C หรือลดลงประมาณ 8.5%

ในช่วงเวลากลางคืน (ตั้งแต่ 19.00-08.00 น. ของวันรุ่งขึ้น) หลังคาทั้ง 4 ชนิดมีค่าอุณหภูมิอากาศภายนอกต่ำสุดเฉลี่ยใกล้เคียงกัน โดยมีค่าต่างกันแค่ประมาณ $0.1-0.8^{\circ}\text{C}$ เท่านั้น

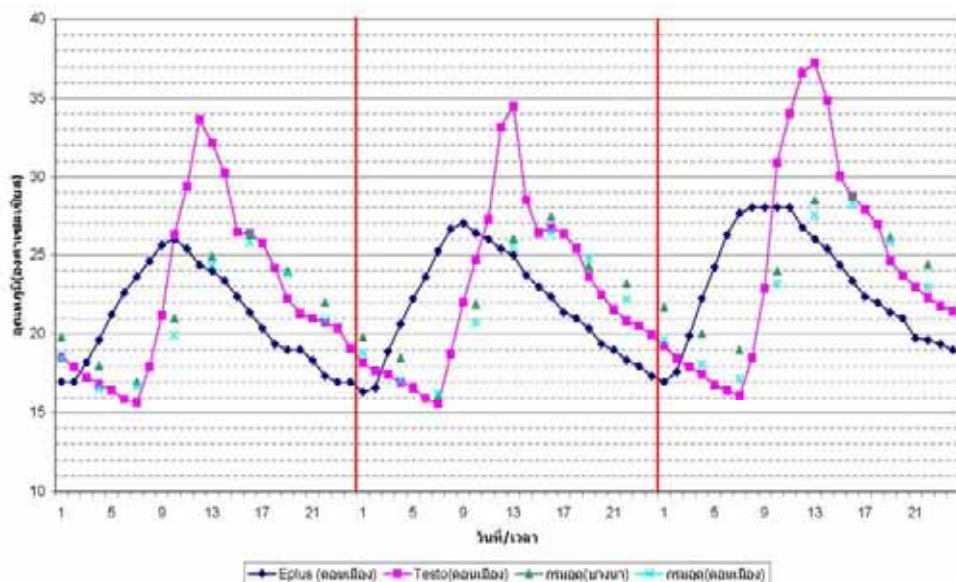
ดังนั้นจึงพอสรุปได้ว่า การปูลูกพีชบนหลังคานั้นสามารถช่วยลดอุณหภูมิที่ผิวด้านนอกและด้านในของหลังคาได้ดี โดยพบว่าหูบ้านวนน้อยซึ่งมีค่าดัชนีพื้นที่ Ike กว่าหูบ้านเลเชีย

สามารถลดอุณหภูมิผิวได้หลังคาและอุณหภูมิอากาศภายในเวลากลางวันได้ดีกว่า ซึ่งน่าจะเป็นเพราะความหนาแน่นของใบที่มากกว่าทำให้เกิดร่วมเงาปกคลุมบนผิวหลังคามากกว่า

ส่วนกล่องหลังคาหยูมามาเลเซียที่ความลึกดินปลูก 20 ซม. จะมีอุณหภูมิผิวได้หลังคานุ่งก่อนน้ำที่ตั้งในช่วงเวลากลางคืน ซึ่งน่าจะเป็นผลมาจากการความหนาของดินทำให้เกิดการหน่วงเหนี่ยวในการขยายความร้อนออกสู่ภายนอกได้ช้ากว่ากล่องหลังคาน้ำที่มีดินหนานน้อยกว่า

ซึ่งเมื่อดูจากประสิทธิผลในการป้องกันความร้อนที่ได้จากการทดลอง จึงสรุปได้ว่า การปลูกพืชบนหลังคาอาจไม่เหมาะสมกับอาคารบางประเภทที่มีการใช้งานในเวลากลางคืนมากกว่า เวลากลางวัน เช่น ห้องนอนของบ้านพักอาศัย สถานบันเทิง เป็นต้น แต่น่าจะเหมาะสมกับอาคารที่มีการใช้งานในเวลากลางวันมากกว่า เช่น สำนักงาน โรงเรียน

จากการทดลองที่ 1 นี้ จะนำไปทำการศึกษาเปรียบเทียบ โดยการจำลองด้วยโปรแกรม EnergyPlus เพื่อทดสอบความแม่นยำของผลการทดลอง ในชุดการทดลองที่ 2 ได้นำข้อมูลอุณหภูมิอากาศจาก Website ผู้ผลิตโปรแกรม (ข้อมูลตรงกับวันที่ทำการทดลองจริง คือวันที่ 15-17 มกราคม 2552) มาเปรียบเทียบกับข้อมูลที่วัดได้จากเครื่องมือ Data Logger ณ สถานที่ทดลอง และข้อมูลจากการอุตุนิยมวิทยาสถานีดอนเมืองและบางนา ก่อนที่จะทำการจำลอง ซึ่งได้ผลดังนี้



แผนภูมิที่ 7 เปรียบเทียบอุณหภูมิอากาศจากแหล่งข้อมูลต่างๆ

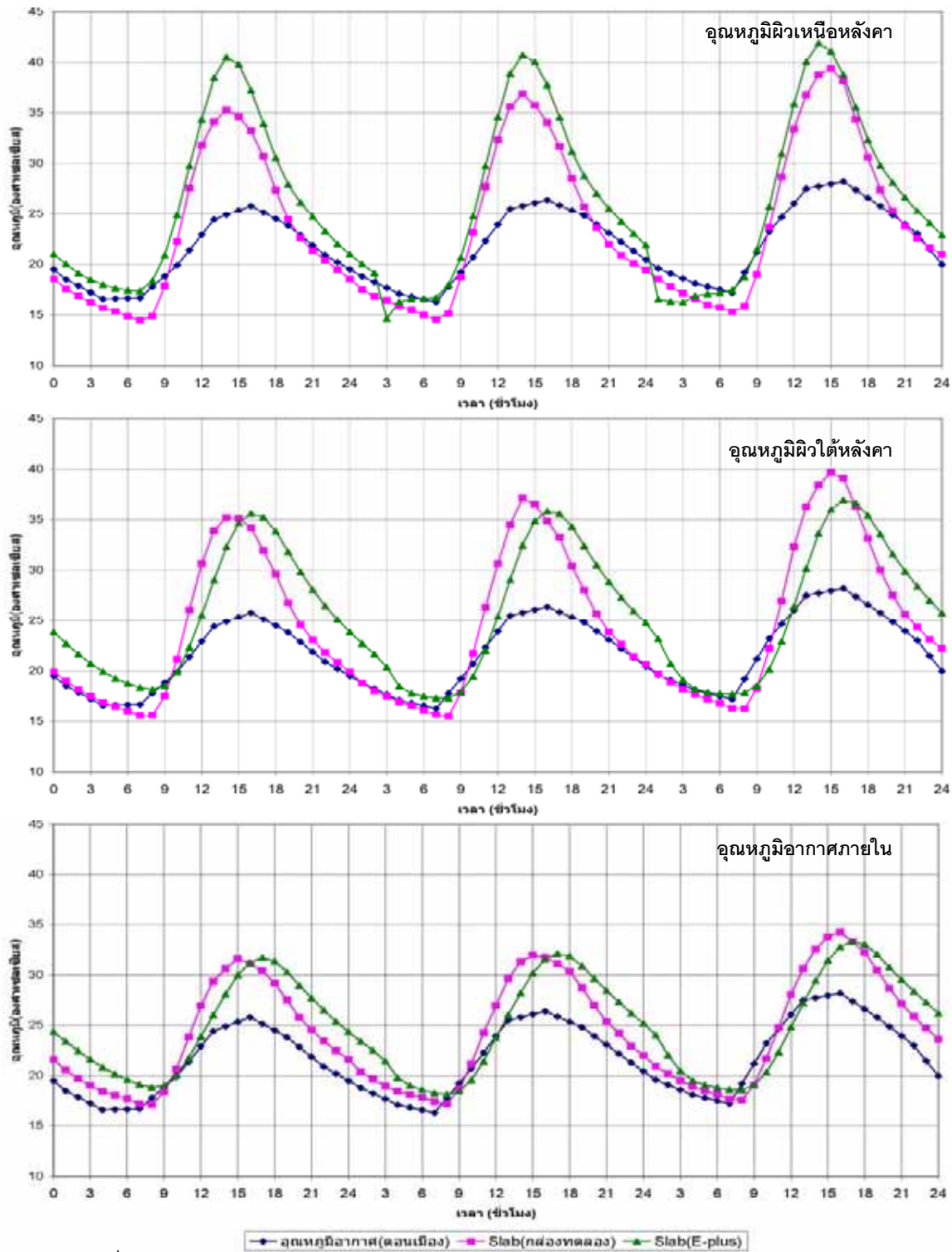
จากแผนภูมิที่ 7 พบว่ากราฟอุณหภูมิที่ได้ข้อมูลจากกรรมอุตุนิยมวิทยา และจาก website ของผู้ผลิตโปรแกรม EnergyPlus มีลักษณะใกล้เคียงกัน โดยกราฟข้อมูลจาก Website จะมีช่วงระยะเวลาหน่วงซักก่าว่ากราฟอุณหภูมิ 3 ชั่วโมง ส่วนกราฟข้อมูลจากกรรมอุตุฯ และกราฟข้อมูลที่วัดจากเครื่องมือ Data Logger ที่สถานที่ทดลองจริง มีช่วงของกราฟใกล้เคียงกัน แต่กราฟอุณหภูมิอากาศที่วัดจากเครื่อง Data Logger มีค่าอุณหภูมิสูงโดยชั้นกว่าค่าอุณหภูมิที่ได้มาจากแหล่งอื่นๆ

ดังนั้นจึงได้พยายามหาสาเหตุที่เกิดขึ้น จึงได้ยอนกลับไปดู ภาพที่ 40 ในบทที่ 3 ซึ่งแสดงตำแหน่งที่วางเครื่องมือ Data Logger เพื่อวัดค่าอุณหภูมิอากาศนั้น ตั้งอยู่ตรงกลางระหว่างกล่องทดลองทั้ง 4 กล่อง โดยมีเก้าอี้ไม้ครอบไว้เพื่อบังแดด และเมื่อถูกอาทิตย์ทางแสงเดดที่เกิดขึ้นพบว่า ตำแหน่งที่วางเครื่องมือ Data Logger นั้น จะได้รับแสงเดดโดยตรงในช่วงเวลาตั้งแต่ 11.00-14.00 น. ซึ่งเมื่อนำไปเปรียบเทียบกับกราฟใน แผนภูมิที่ 7 พบว่าช่วงเวลาที่กราฟอุณหภูมิอากาศที่วัดจากเครื่องมือ Data Logger สูงโดยชั้นมากนั้น ตรงกับช่วงเวลาดังกล่าวที่เครื่องมือได้รับแสงเดดพอดี จึงสันนิษฐานว่า ข้อมูลอุณหภูมิอากาศที่วัดจากเครื่องมือ Data Logger อาจเกิดความคลาดเคลื่อนเนื่องจากสาเหตุดังกล่าว

ในส่วนของข้อมูลอุณหภูมิอากาศที่ได้จาก Website ผู้ผลิตโปรแกรมนั้น ก็มีระยะเวลาที่หน่วงไม่เท่ากันกับข้อมูลที่ได้จากแหล่งอื่นๆ หากนำไปใช้จำลองในโปรแกรมก็อาจคลาดเคลื่อนได้

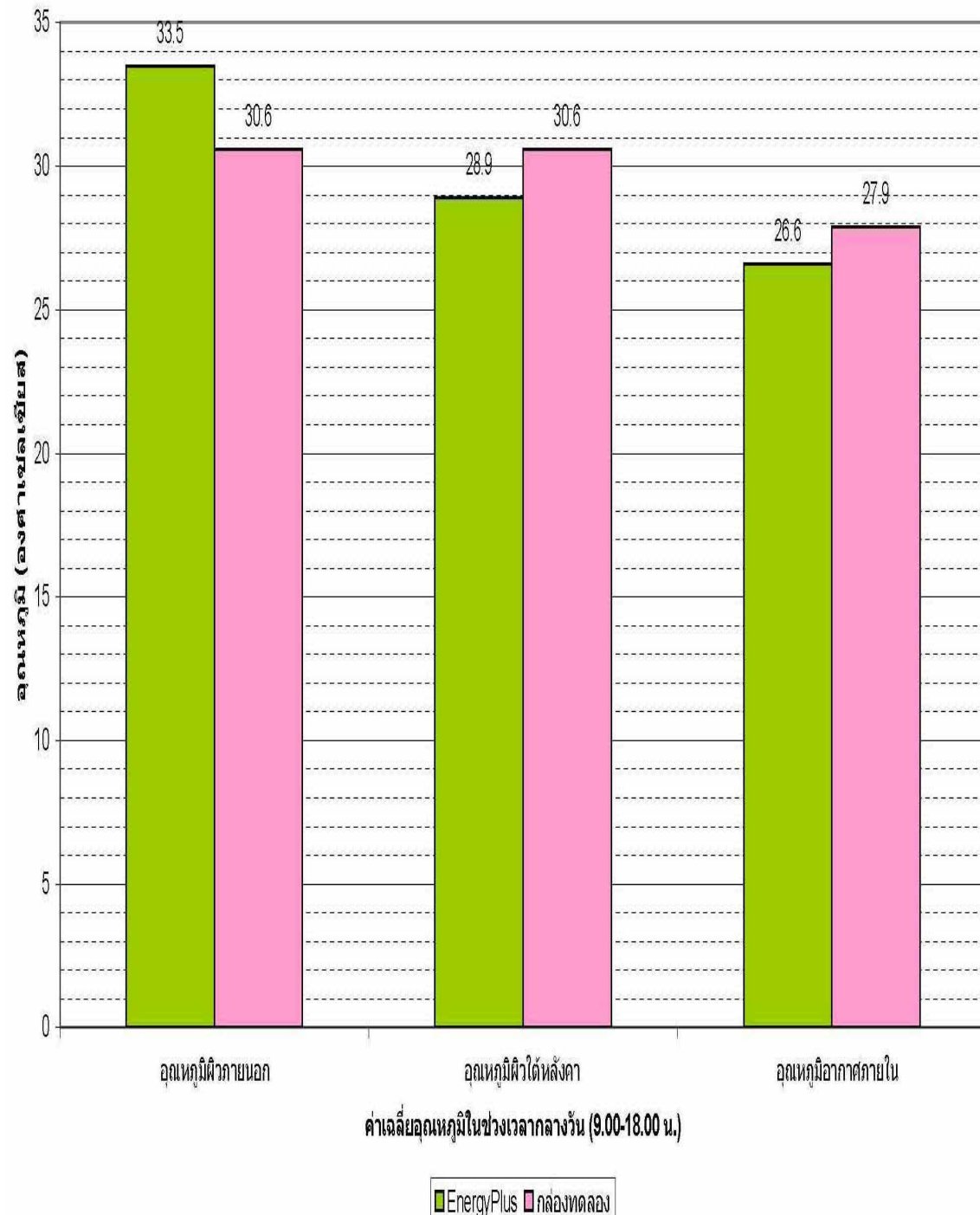
ดังนั้นมีovicarath เปรียบเทียบข้อมูลอุณหภูมิอากาศทั้ง 4 แหล่งข้อมูลแล้ว เห็นว่า ข้อมูลที่ได้จากการทดลองที่ 2 ต่อไป EnergyPlus ในชุดการทดลองที่ 2 ต่อไป

2. ผลการทดลองที่ 2 การศึกษาประสิทธิผลจากการใช้โปรแกรม EnergyPlus ในการจำลอง Green roof เพื่อเปรียบเทียบกับการใช้กล่องทดลองจริง



แผนภูมิที่ 8 เปรียบเทียบผลการทดลองของหลังคา ค.ส.ล. ระหว่างกล่องทดลองจริงกับโปรแกรม

EnergyPlus วันที่ 15-17 มกราคม 2552



แผนภูมิที่ 9 เปรียบเทียบค่าอุณหภูมิเฉลี่ยเวลากลางวัน (9.00-18.00 น.) ของหลังคา ค.ส.ล.

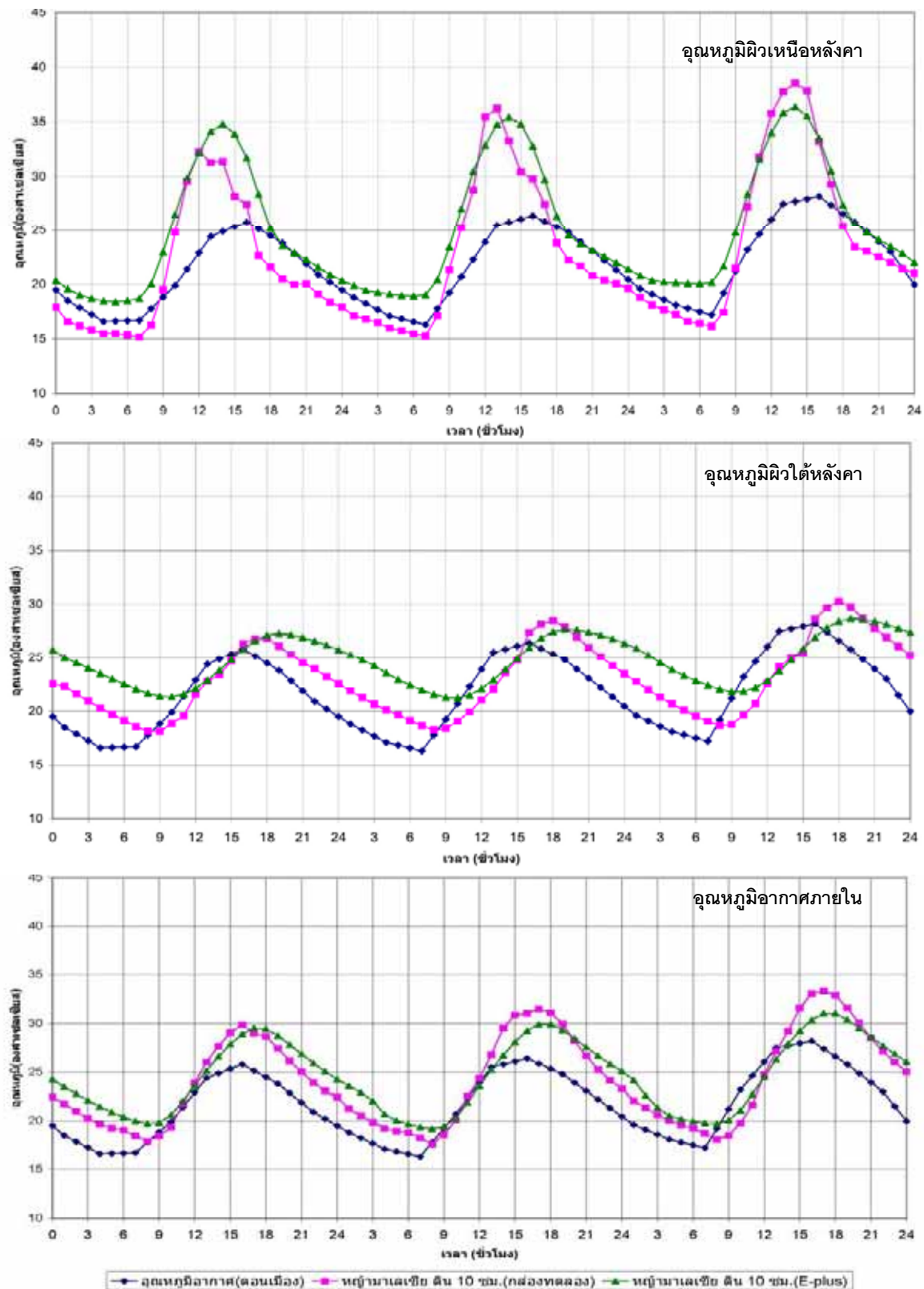
ระหว่างกลองทอลองจริงกับโปรแกรม EnergyPlus วันที่ 15-17 มกราคม 2552

ตารางที่ 10 เปรียบเทียบผลการทดลอง หลังคา ค.ส.ล. ระหว่างกล่องทดลองจริงกับโปรแกรม
EnergyPlus วันที่ 15-17 มกราคม 2552

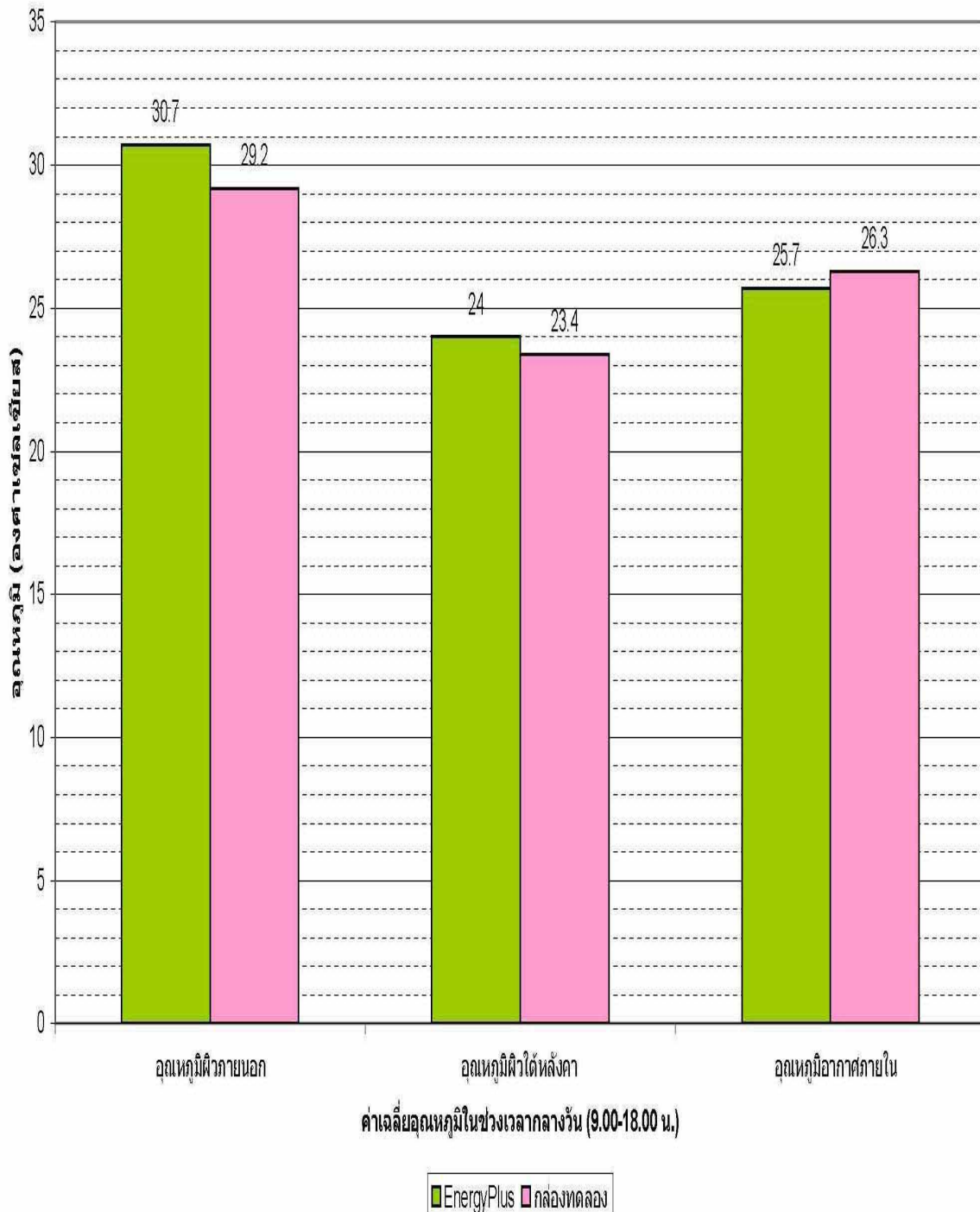
ผลจาก	ค่า	อุณหภูมิผิวนอกหลังคา (°C)			อุณหภูมิผิวใต้หลังคา (°C)			อุณหภูมิอากาศภายใน (°C)		
		วันที่	สูงสุด	ต่ำสุด	เฉลี่ย กลางวัน	สูงสุด	ต่ำสุด	เฉลี่ย กลางวัน	สูงสุด	ต่ำสุด
EnergyPlus	15	40.5	17.3	33.0	35.6	18.1	28.6	31.7	18.8	26.3
	16	40.7	14.6	33.2	35.8	17.3	28.6	32.1	18.1	26.3
	17	41.9	16.2	34.3	36.9	17.7	29.6	33.3	19.0	27.3
	เฉลี่ย 3 วัน	41.0	16.0	33.5	36.1	17.7	28.9	32.3	18.6	26.6
กรณฑ์ทดลองจริง	15	35.2	14.4	29.4	35.1	15.6	29.5	31.1	17.1	27.2
	16	36.8	14.5	30.4	37.1	15.5	30.3	31.9	17.1	27.7
	17	39.3	15.3	32.2	39.6	16.3	32.2	34.2	17.6	29.0
	เฉลี่ย 3 วัน	37.1	14.7	30.6	37.2	15.8	30.6	32.4	17.2	27.9
ผผลต่าง	15	5.3	2.9	3.6	0.5	2.5	-0.9	0.6	1.7	-0.9
	16	3.9	0.1	2.8	-1.3	1.8	-1.7	0.3	1.0	-1.4
	17	2.6	0.9	1.3	-2.7	1.4	-2.6	-0.9	1.4	-1.7
	เฉลี่ย 3 วัน	3.9	1.3	2.5	-1.1	1.9	-1.7	0.0	1.3	-1.3
ผผลต่างเป็น %	15	15.0%	20.1%	12.2%	1.4%	16.0%	-3.0%	1.9%	9.9%	-3.3%
	16	10.5%	0.6%	9.2%	-3.5%	11.6%	-5.6%	0.9%	5.8%	-5.0%
	17	6.6%	5.8%	4.0%	-6.8%	8.5%	-8.0%	-2.7%	7.9%	-5.8%
	เฉลี่ย 3 วัน	10.7%	8.8%	8.4%	-2.9%	12.0%	-5.5%	0.03%	7.8%	-4.7%

* หมายเหตุ

- ค่าอุณหภูมิสูงสุดและต่ำสุด คิดจากช่วงเวลาตลอด 24 ชม.
- ค่าอุณหภูมิเฉลี่ยกลางวันคิดจากช่วงเวลา 9.00-18.00 น.
- ค่าผลต่าง คิดจากค่าที่ได้จาก EnergyPlus ลบด้วยค่าจากกล่องทดลองจริง เพื่อดูว่าผลจาก EnergyPlus มากกว่าเท่าไหร่ ในกรณีที่ค่าติดลบแสดงว่า ค่าที่ได้จาก EnergyPlus น้อยกว่ากล่องทดลองจริง
- ผลต่างเป็น % คิดจากสูตร ค่าผลต่าง $\times 100$ หารด้วยค่าที่ได้จากกล่องทดลองจริง



แผนภูมิที่ 10 เปรียบเทียบผลการทดสอบของหลังคาห้องน้ำในเชียง (ดิน 10 ชั่วโมง.) ระหว่างกล่อง
ทดลองจริงกับโปรแกรม EnergyPlus วันที่ 15-17 มกราคม 2552



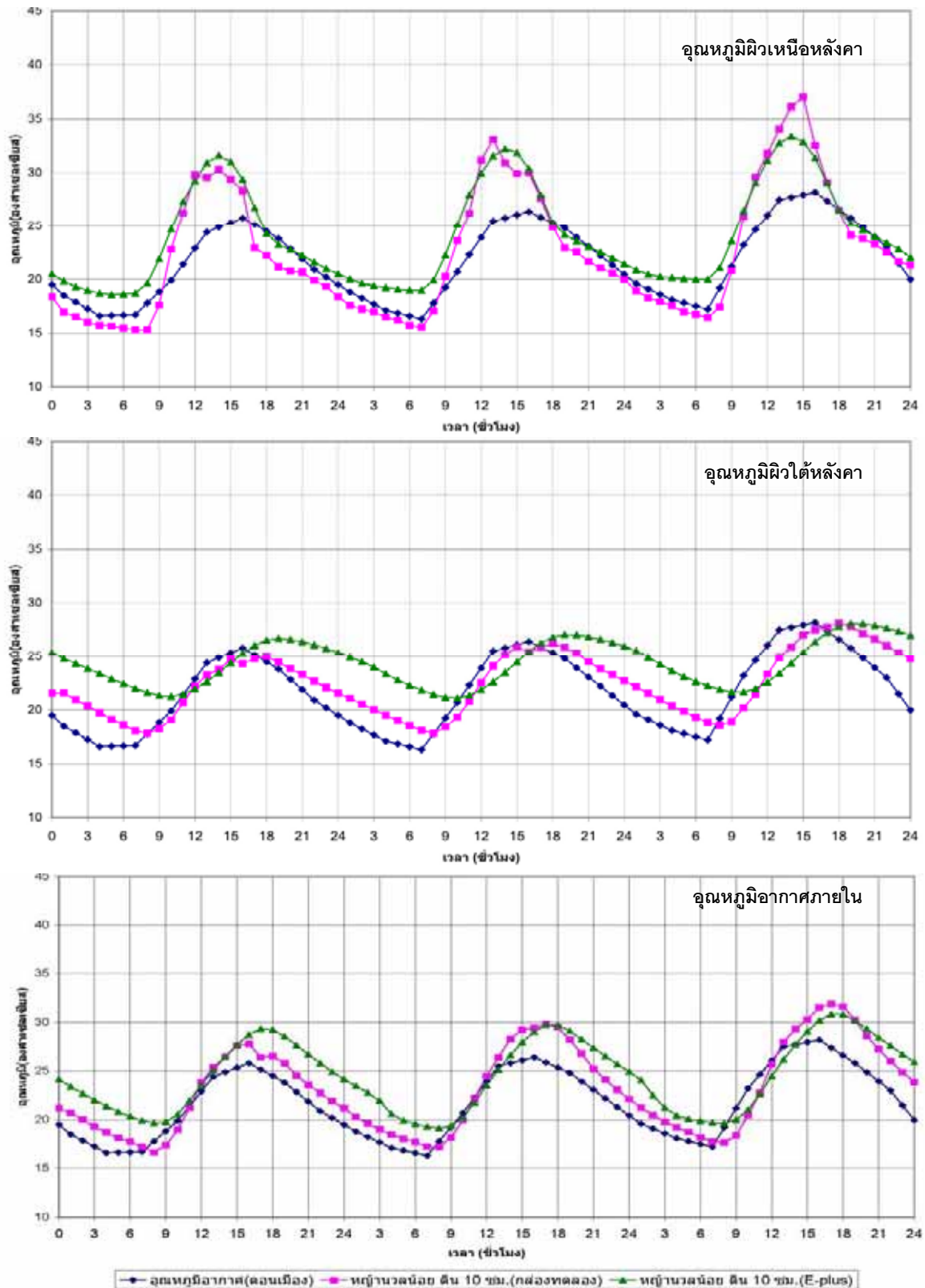
แผนภูมิที่ 11 เปรียบเทียบค่าอุดหนูน้ำเฉลี่ยเวลากลางวัน (9.00-18.00 น.) ของหลังคาหลัง
มาเลเซีย (дин 10 ชม.) ระหว่างกล่องทดลองจริงกับโปรแกรม EnergyPlus
วันที่ 15-17 มกราคม 2552

ตารางที่ 11 เปรียบเทียบผลการทดลอง หลังคาญี่ปุ่นมาเลเซีย (ดิน 10 ซม.) ระหว่างกล่องทดลอง จริงกับโปรแกรม EnergyPlus วันที่ 15-17 มกราคม 2552

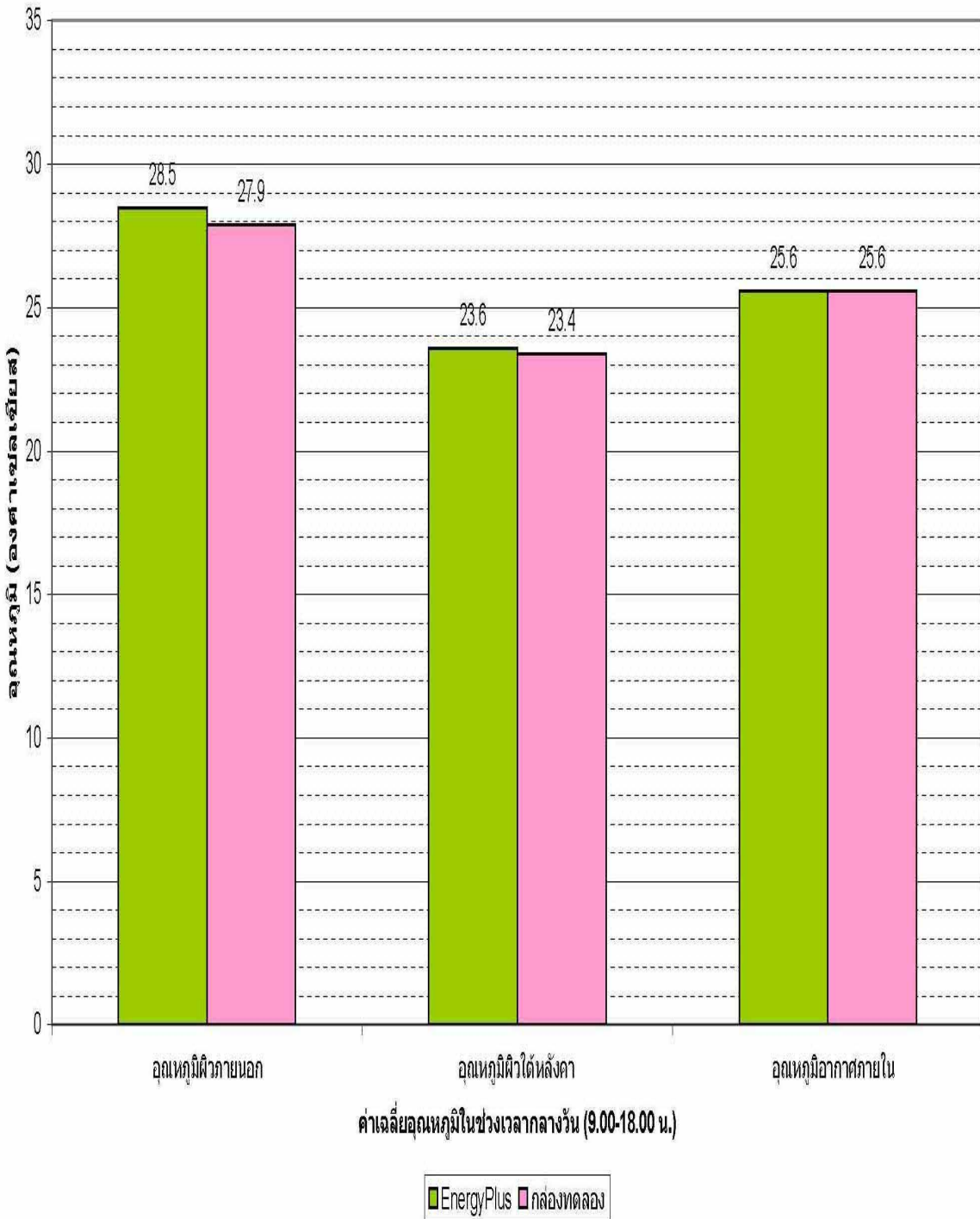
ผลจาก	ค่า	อุณหภูมิผิวนอกหลังคา (°C)			อุณหภูมิผิวใต้หลังคา (°C)			อุณหภูมิอากาศภายใน (°C)		
		วันที่	สูงสุด	ต่ำสุด	เฉลี่ย กลางวัน	สูงสุด	ต่ำสุด	เฉลี่ย กลางวัน	สูงสุด	ต่ำสุด
EnergyPlus	15	34.8	18.3	29.9	27.2	21.3	23.7	29.5	19.6	25.3
	16	35.4	18.9	30.7	27.6	21.2	23.8	29.9	19.1	25.4
	17	36.3	20.0	31.7	28.6	21.8	24.6	31.0	20.0	26.4
	เฉลี่ย 3 วัน	35.5	19.0	30.7	27.8	21.4	24.0	30.1	19.5	25.7
กรณฑ์ทดลองจริง	15	32.2	15.1	26.8	26.7	18.1	22.8	29.9	17.9	25.3
	16	36.2	15.2	29.1	28.4	18.2	23.2	31.5	17.6	26.6
	17	38.5	16.1	31.8	30.2	18.6	24.4	33.3	18.0	27.1
	เฉลี่ย 3 วัน	35.6	15.4	29.2	28.4	18.3	23.4	31.5	17.8	26.3
ผิดต่าง	15	2.6	3.2	3.1	0.5	3.2	0.9	-0.4	1.7	0.0
	16	-0.8	3.7	1.6	-0.8	3.0	0.6	-1.6	1.5	-1.2
	17	-2.2	3.9	-0.1	-1.6	3.2	0.2	-2.3	2.0	-0.7
	เฉลี่ย 3 วัน	-0.4	3.6	1.5	-0.6	3.1	0.5	-1.4	1.7	-0.6
ผิดต่างเป็น %	15	8.0%	21.1%	11.5%	1.8%	17.6%	3.9%	-1.3%	9.4%	0.0%
	16	-2.2%	24.3%	5.4%	-2.8%	16.4%	2.5%	-5.0%	8.5%	-4.5%
	17	-5.7%	24.2%	-0.3%	-5.2%	17.2%	0.8%	-7.0%	11.1%	-2.5%
	เฉลี่ย 3 วัน	0.03%	23.2%	5.5%	-2.0%	17.0%	2.4%	-4.4%	9.6%	-2.3%

* หมายเหตุ

- ค่าอุณหภูมิสูงสุดและต่ำสุด คิดจากช่วงเวลาตลอด 24 ชม.
- ค่าอุณหภูมิเฉลี่ยกลางวันคิดจากช่วงเวลา 9.00-18.00 น.
- ค่าผลต่าง คิดจากค่าที่ได้จาก EnergyPlus ลบด้วยค่าจากกล่องทดลองจริง เพื่อดูว่าผลจาก EnergyPlus มากกว่าเท่าไหร่ ในกรณีที่ค่าติดลบแสดงว่า ค่าที่ได้จาก EnergyPlus น้อยกว่า กล่องทดลองจริง
- ผลต่างเป็น % คิดจากสูตร ค่าผลต่าง $\times 100$ หากด้วยค่าที่ได้จากกล่องทดลองจริง



แผนภูมิที่ 12 เปรียบเทียบผลการทดลองของหลังคาห้้านวัสดุ (ดิน 10 ชั่ว.)ระหว่างกล่อง
ทดลองจริงกับโปรแกรม EnergyPlus วันที่ 15-17 มกราคม 2552



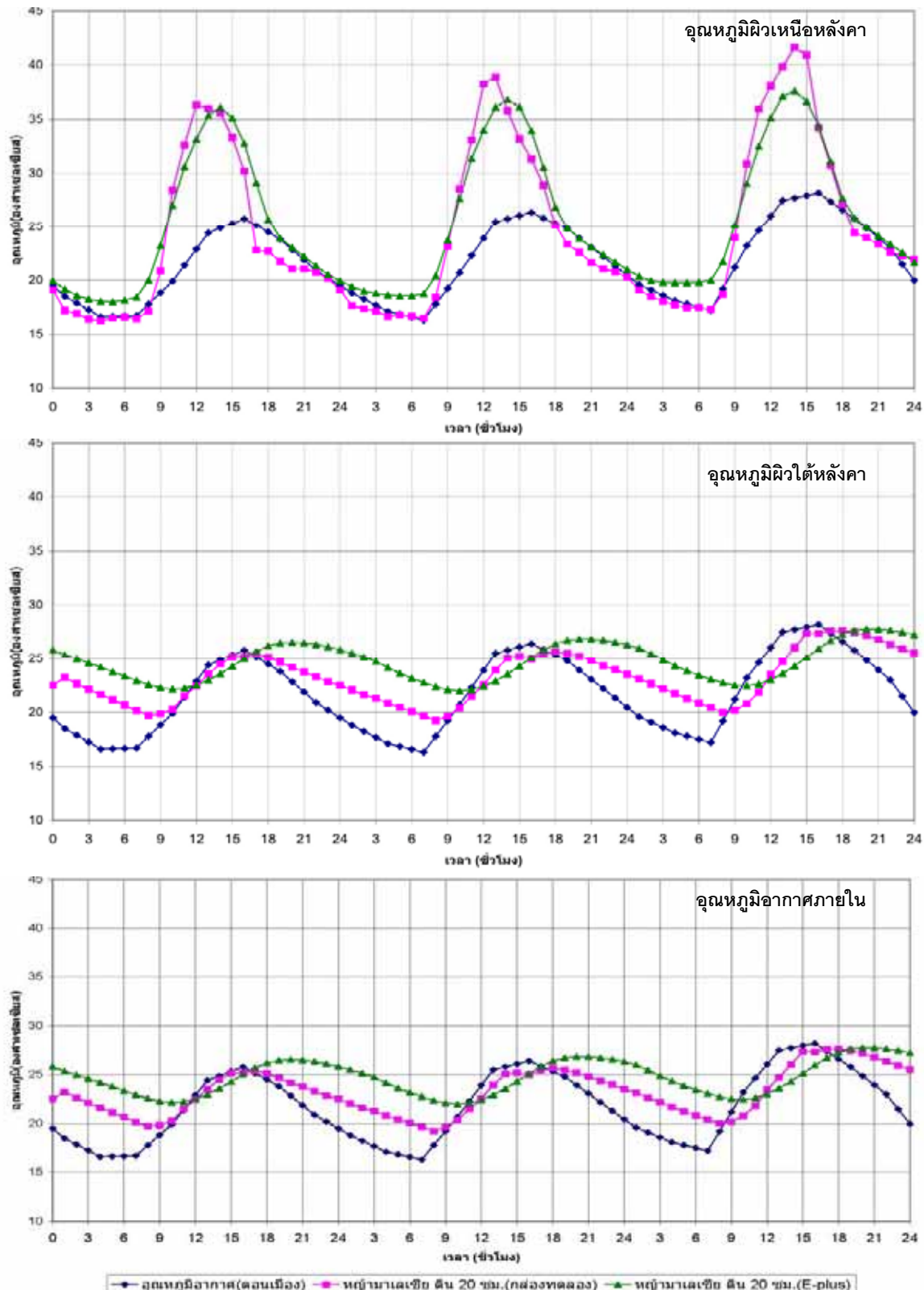
แผนภูมิที่ 13 เปรียบเทียบค่าอุณหภูมิเฉลี่ยเวลากลางวัน (9.00-18.00 น.) ของหลังคาหน้า
นวลดน้อย (ดิน 10 ซม.) ระหว่างกล่องทดลองจริงกับโปรแกรม EnergyPlus
วันที่ 15-17 มกราคม 2552

ตารางที่ 12 เปรียบเทียบผลการทดลอง หลังคาญี่ปุ่น暖น้อย (din 10 ซม.) ระหว่างกล่องทดลอง
จริงกับโปรแกรม EnergyPlus วันที่ 15-17 มกราคม

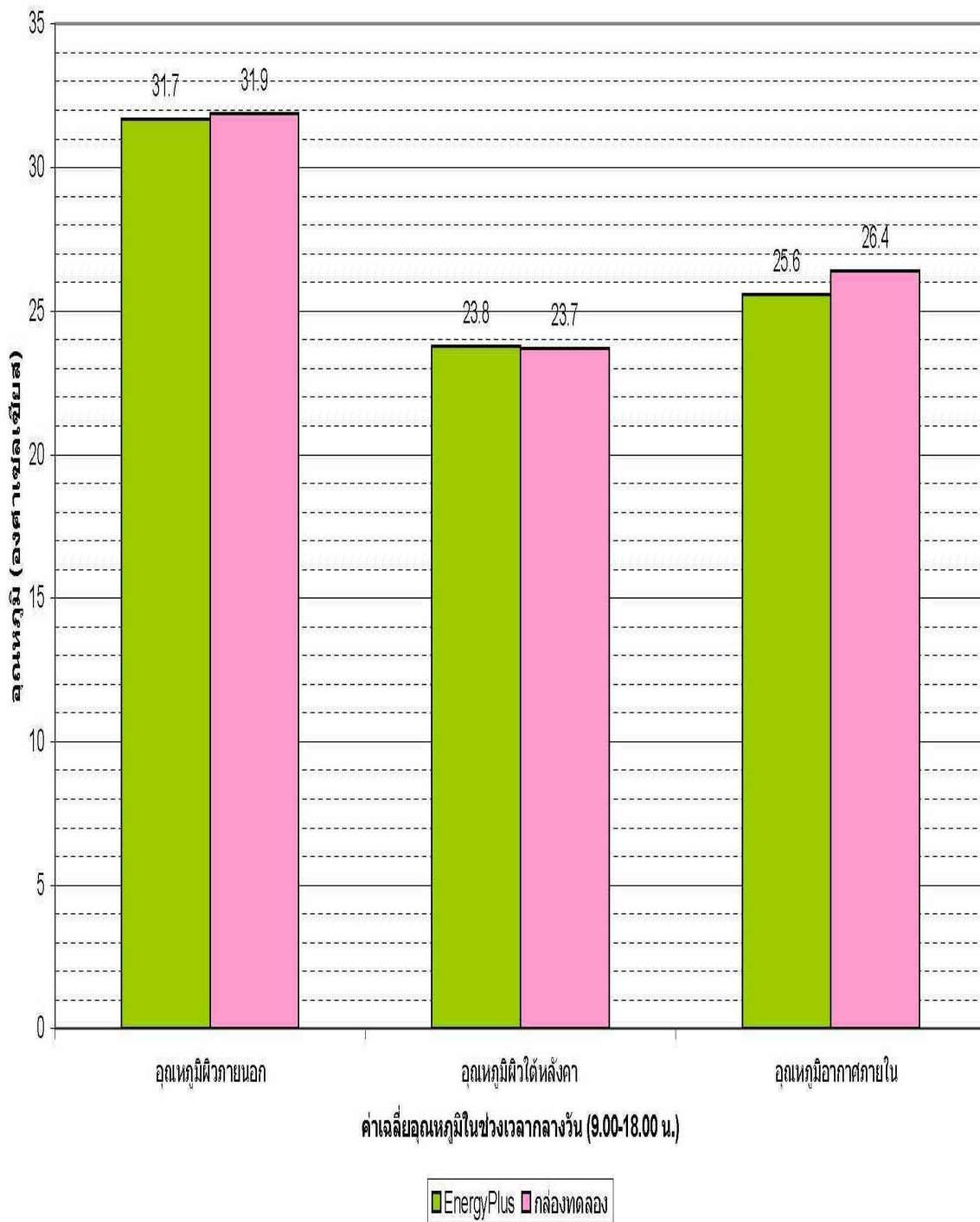
ผลจาก	ค่า	อุณหภูมิผิวนอกหลังคา (°C)			อุณหภูมิผิวใต้หลังคา (°C)			อุณหภูมิอากาศภายใน (°C)		
		วันที่	สูงสุด	ต่ำสุด	เฉลี่ย กลางวัน	สูงสุด	ต่ำสุด	เฉลี่ย กลางวัน	สูงสุด	ต่ำสุด
EnergyPlus	15	31.6	18.5	27.7	26.6	21.2	23.4	29.3	19.6	25.2
	16	32.2	18.9	28.4	27.0	21.1	23.4	29.7	19.1	25.3
	17	33.3	19.9	29.6	28.0	21.6	24.2	30.8	19.9	26.3
	เฉลี่ย 3 วัน	32.3	19.1	28.5	27.2	21.3	23.6	29.9	19.5	25.6
กรณฑ์ทดลองจริง	15	30.3	15.2	25.9	24.9	17.8	22.6	27.7	16.6	24.1
	16	33.1	15.5	27.7	26.2	17.8	23.3	29.8	17.2	25.7
	17	37.0	16.4	30.3	28.1	18.6	24.5	31.9	17.6	27.0
	เฉลี่ย 3 วัน	33.4	15.7	27.9	26.4	18.0	23.4	29.8	17.1	25.6
ผผลต่าง	15	1.3	3.3	1.8	1.7	3.4	0.8	1.6	3.0	1.1
	16	-0.9	3.4	0.7	0.8	3.3	0.1	-0.1	1.9	-0.4
	17	-3.7	3.5	-0.7	-0.1	3.0	-0.3	0.1	2.3	-0.7
	เฉลี่ย 3 วัน	-1.1	3.4	0.6	0.8	3.3	0.2	0.5	2.4	0.0
ผผลต่างเป็น %	15	4.2%	21.7%	6.9%	6.8%	19.1%	3.5%	5.7%	18.0%	4.5%
	16	-2.7%	21.9%	2.5%	3.0%	18.5%	0.4%	-0.3%	11.0%	-1.5%
	17	-10%	21.3%	-2.3%	-0.3%	16.1%	-1.2%	0.3%	13.0%	-2.5%
	เฉลี่ย 3 วัน	-2.8%	21.6%	2.3%	3.1%	17.9%	0.9%	1.9%	14.0%	0.1%

* หมายเหตุ

- ค่าอุณหภูมิสูงสุดและต่ำสุด คิดจากช่วงเวลาทดลอง 24 ชม.
- ค่าอุณหภูมิเฉลี่ยกลางวันคิดจากช่วงเวลา 9.00-18.00 น.
- ค่าผลต่าง คิดจากค่าที่ได้จาก EnergyPlus ลบด้วยค่าจากกล่องทดลองจริง เพื่อดูว่าผลจาก EnergyPlus มากกว่าเท่าไหร่ ในกรณีที่ค่าติดลบแสดงว่า ค่าที่ได้จาก EnergyPlus น้อยกว่า กล่องทดลองจริง
- ผลต่างเป็น % คิดจากสูตร ค่าผลต่าง $\times 100$ หากด้วยค่าที่ได้จากกล่องทดลองจริง



แผนภูมิที่ 14 เปรียบเทียบผลการทดลองของหลังคาห้องน้ำ ale เซีย (ตัน 20 ชม.). ระหว่างกล่อง
ทดลองจริงกับโปรแกรม EnergyPlus วันที่ 15-17 มกราคม 2552



แผนภูมิที่ 15 เปรียบเทียบค่าอุณหภูมิเฉลี่ยเวลากลางวัน (9.00-18.00 น.) ของหลังคาหน้า
มาเลเซีย (ดิน 20 ซม). ระหว่างกล่องทดลองจริงกับโปรแกรม EnergyPlus
วันที่ 15-17 มกราคม 2552

ตารางที่ 13 เปรียบเทียบผลการทดลอง หลังคาญี่ปุ่นาเลเซีย (din 20 ซม.) ระหว่างกล่องทดลอง
จริงกับโปรแกรม EnergyPlus วันที่ 15-17 มกราคม 2552

ผลจาก	ค่า	อุณหภูมิผิวนอกหลังคา (°C)			อุณหภูมิผิวใต้หลังคา (°C)			อุณหภูมิอากาศภายใน (°C)		
		วันที่	สูงสุด	ต่ำสุด	เฉลี่ย กลางวัน	สูงสุด	ต่ำสุด	เฉลี่ย กลางวัน	สูงสุด	ต่ำสุด
EnergyPlus	15	36.0	17.9	30.8	26.5	22.1	23.6	29.2	19.9	25.3
	16	36.8	18.5	31.7	26.8	21.9	23.6	29.6	19.3	25.4
	17	37.6	19.7	32.6	27.7	22.4	24.3	30.7	20.2	26.3
	เฉลี่ย 3 วัน	36.8	18.7	31.7	27.0	22.1	23.8	29.8	19.8	25.6
กรณฑ์ทดลองจริง	15	35.9	16.4	29.8	25.4	19.7	23.2	28.7	16.7	25.3
	16	38.9	16.4	31.6	25.6	19.2	23.4	29.7	16.7	26.1
	17	41.6	17.2	34.3	27.6	20.0	24.7	32.5	17.5	27.9
	เฉลี่ย 3 วัน	38.8	16.6	31.9	26.2	19.6	23.7	30.3	16.9	26.4
ผิดต่าง	15	0.1	1.5	1.0	1.1	2.4	0.4	0.5	2.2	0.0
	16	-2.1	2.1	0.1	1.2	2.7	0.2	-0.1	2.6	-0.7
	17	-4.0	2.5	-1.7	0.1	2.4	-0.4	-1.8	2.7	-1.6
	เฉลี่ย 3 วัน	-2.0	2.0	-0.2	0.8	2.5	0.06	-0.4	2.5	-0.7
ผิดต่างเป็น %	15	0.2%	9.1%	3.3%	4.3%	12.1%	1.7%	1.7%	13.1%	0.0%
	16	-5.3%	12.8%	0.3%	4.6%	14.0%	0.8%	-0.3%	15.5%	-2.6%
	17	-9.6%	14.5%	-4.9%	0.3%	12.0%	-1.6%	-5.5%	15.4%	-5.7%
	เฉลี่ย 3 วัน	-4.9%	12.1%	-0.4%	3.0%	12.7%	0.3%	-1.3%	14.6%	-2.7%

* หมายเหตุ

- ค่าอุณหภูมิสูงสุดและต่ำสุด คิดจากช่วงเวลาทดลอง 24 ชม.
- ค่าอุณหภูมิเฉลี่ยกลางวันคิดจากช่วงเวลา 9.00-18.00 น.
- ค่าผลต่าง คิดจากค่าที่ได้จาก EnergyPlus ลบด้วยค่าจากกล่องทดลองจริง เพื่อดูว่าผลจาก EnergyPlus มากกว่าเท่าไหร่ ในกรณีที่ค่าติดลบแสดงว่า ค่าที่ได้จาก EnergyPlus น้อยกว่า กล่องทดลองจริง
- ผลต่างเป็น % คิดจากสูตร ค่าผลต่าง $\times 100$ หารด้วยค่าที่ได้จากกล่องทดลองจริง

สรุปผลการทดลองที่ 2

จากการทดลองเปรียบเทียบหลังคาทั้ง 4 ชนิด ที่จำลองด้วยโปรแกรม EnergyPlus เมื่อนำมาเปรียบเทียบกับผลการทดลองจากกล่องทดลองจริง ในชุดการทดลองที่ 1 สามารถสรุปผลได้ดังนี้

1. กล่องหลังคา ค.ส.ล.

จากแผนภูมิที่ 8 และตารางที่ 10 สรุปได้ว่า

ค่าเฉลี่ย 3 วัน ของอุณหภูมิผิวนอกหลังคา ค.ส.ล. ในช่วงเวลากลางวัน ที่ได้จากโปรแกรม EnergyPlus จะสูงกว่ากล่องทดลองจริงประมาณ 2.5°C หรือสูงกว่า 8.4 %

ค่าเฉลี่ย 3 วัน ของอุณหภูมิผิวนอกหลังคา ค.ส.ล. ในช่วงเวลากลางวัน ที่ได้จากโปรแกรม EnergyPlus จะต่ำกว่ากล่องทดลองจริงประมาณ 1.7°C หรือต่ำกว่า 5.5 %

ค่าเฉลี่ย 3 วัน ของอุณหภูมิอากาศภายในกล่องหลังคา ค.ส.ล. ในช่วงเวลากลางวัน ที่ได้จากโปรแกรม EnergyPlus จะต่ำกว่ากล่องทดลองจริงประมาณ 1.3°C หรือต่ำกว่า 4.7 %

โดยค่าอุณหภูมิภายนอกนั้น มีช่วงเวลาที่อุณหภูมิขึ้นสูงสุดเท่ากัน คือประมาณ 15.00 น. ส่วนค่าอุณหภูมิผิวนอกหลังคาและอุณหภูมิอากาศภายใน จะมีช่วงหน่วงเวลาซักก่อน กล่องทดลองจริงประมาณ 1 ชม.

2. กล่องหลังคาหูม่าเลเซีย (ดิน 10 ซม.)

จากแผนภูมิที่ 10 และตารางที่ 11 สรุปได้ว่า

ค่าเฉลี่ย 3 วัน ของอุณหภูมิผิวนอกหลังคาหูม่าเลเซีย (ดิน 10 ซม.) ในช่วงเวลากลางวัน ที่ได้จากโปรแกรม EnergyPlus จะสูงกว่ากล่องทดลองจริงประมาณ 1.5°C หรือสูงกว่า 5.5 %

ค่าเฉลี่ย 3 วัน ของอุณหภูมิผิวนอกหลังคาหูม่าเลเซีย (ดิน 10 ซม.) ในช่วงเวลากลางวัน ที่ได้จากโปรแกรม EnergyPlus จะสูงกว่ากล่องทดลองจริงประมาณ 0.5°C หรือสูงกว่า 2.4 %

ค่าเฉลี่ย 3 วัน ของอุณหภูมิอากาศภายในกล่องหลังคาหูม่าเลเซีย (ดิน 10 ซม.) ในช่วงเวลากลางวัน ที่ได้จากโปรแกรม EnergyPlus จะต่ำกว่ากล่องทดลองจริงประมาณ 0.6°C หรือต่ำกว่า 2.3 %

โดยค่าอุณหภูมิผิวภายนอกและอุณหภูมิอากาศภายในนั้น มีช่วงเวลาที่อุณหภูมิขึ้นสูงสุดเท่ากันกับกล่องทดลองจริง ส่วนค่าอุณหภูมิผิวใต้หลังคานั้น จะมีช่วงหน่วงเวลาซักว่ากล่องทดลองจริงประมาณ 1 ชม.

3. กล่องหลังคาน้ำฝน (ดิน 10 ซม.)

จากแผนภูมิที่ 12 และตารางที่ 12 สรุปได้ว่า

ค่าเฉลี่ย 3 วัน ของอุณหภูมิผิวนอกหลังคาน้ำฝน (ดิน 10 ซม.) ในช่วงเวลากลางวัน ที่ได้จากการโปรแกรม EnergyPlus จะสูงกว่ากล่องทดลองจริงประมาณ 0.6°C หรือสูงกว่า 2.3 %

ค่าเฉลี่ย 3 วัน ของอุณหภูมิผิวใต้หลังคาน้ำฝน (ดิน 10 ซม.) ในช่วงเวลากลางวัน ที่ได้จากการโปรแกรม EnergyPlus จะสูงกว่ากล่องทดลองจริงประมาณ 0.2°C หรือสูงกว่า 0.9 %

ค่าเฉลี่ย 3 วัน ของอุณหภูมิอากาศภายในกล่องหลังคาน้ำฝน (ดิน 10 ซม.) ในช่วงเวลากลางวัน ที่ได้จากการโปรแกรม EnergyPlus จะมีค่าเฉลี่ยเท่ากับค่าที่ได้จากการกล่องทดลองจริง

โดยค่าอุณหภูมิผิวภายนอกและอุณหภูมิอากาศภายในนั้น มีช่วงเวลาที่อุณหภูมิขึ้นสูงสุดเท่ากันกับกล่องทดลองจริง ส่วนค่าอุณหภูมิผิวใต้หลังคานั้น จะมีช่วงหน่วงเวลาซักว่ากล่องทดลองจริงประมาณ 1 ชม. เช่นเดียวกับกล่องหลังคาน้ำมาเลเซีย (ดิน 10 ซม.)

4. กล่องหลังคาน้ำมาเลเซีย (ดิน 20 ซม.)

จากแผนภูมิที่ 14 และตารางที่ 13 สรุปได้ว่า

ค่าเฉลี่ย 3 วัน ของอุณหภูมิผิวนอกหลังคาน้ำมาเลเซีย (ดิน 20 ซม.) ในช่วงเวลากลางวัน ที่ได้จากการโปรแกรม EnergyPlus จะต่ำกว่ากล่องทดลองจริงประมาณ 0.2°C หรือต่ำกว่า 0.4 %

ค่าเฉลี่ย 3 วัน ของอุณหภูมิผิวใต้หลังคาน้ำมาเลเซีย (ดิน 20 ซม.) ในช่วงเวลากลางวัน ที่ได้จากการโปรแกรม EnergyPlus จะสูงกว่ากล่องทดลองจริงประมาณ 0.06°C หรือสูงกว่า 0.3 %

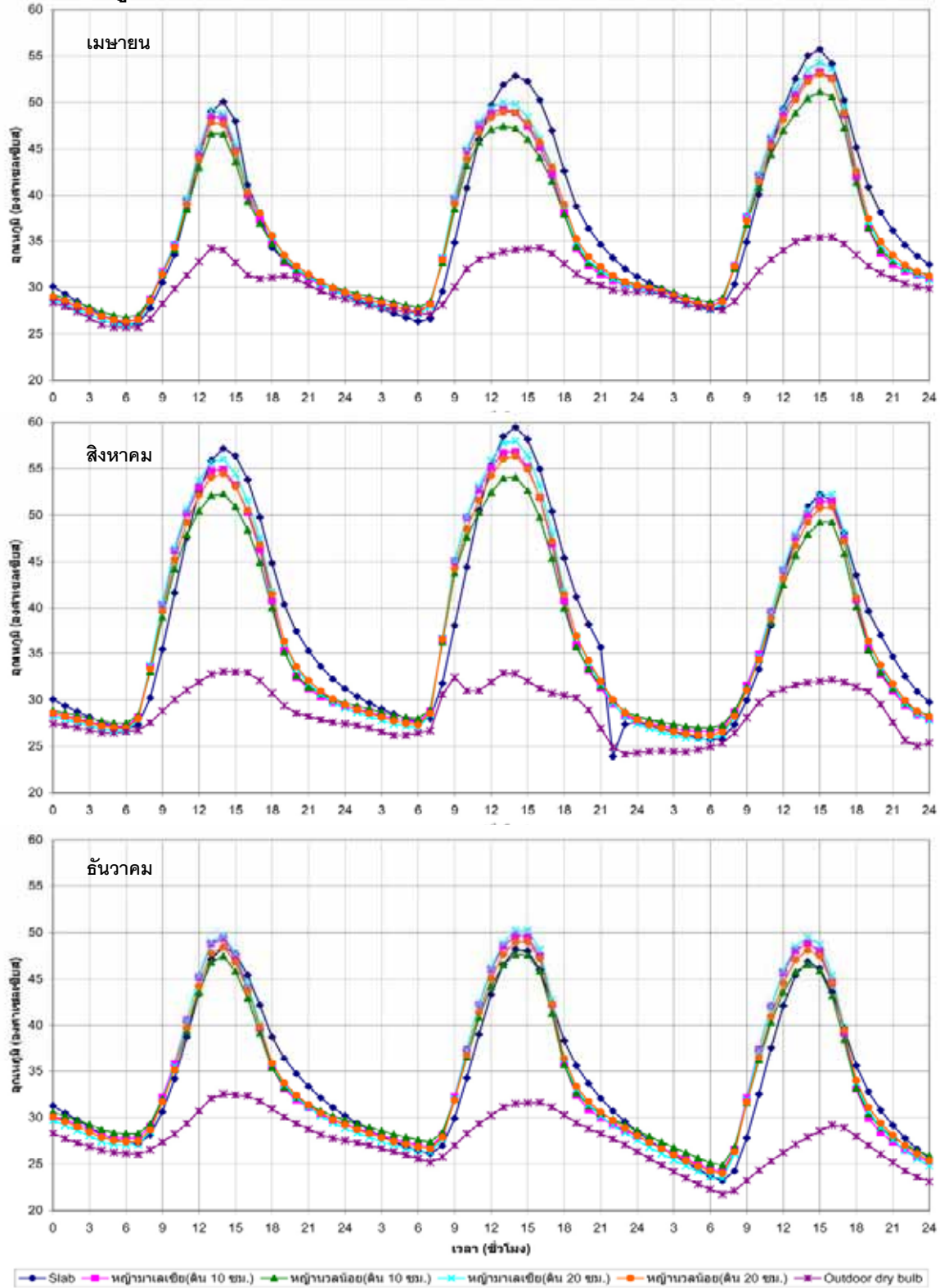
ค่าเฉลี่ย 3 วัน ของอุณหภูมิอากาศภายในกล่องหลังคาญี่มามาเลเซีย (ดิน 20 ซม.) ในช่วงเวลากลางวัน ที่ได้จากโปรแกรม EnergyPlus จะต่ำกว่ากล่องทดลองจริงประมาณ 0.7°C หรือต่ำกว่า 2.7%

โดยค่าอุณหภูมิผิวภายนอกนั้น มีช่วงเวลาที่อุณหภูมิขึ้นสูงสุดเท่ากับกล่องทดลองจริง ส่วนค่าอุณหภูมิอากาศภายในและอุณหภูมิผิวใต้หลังคาบ้านนั้น จะมีช่วงหน่วงเวลาซ้ำๆ กว่ากล่องทดลองจริงประมาณ 1-2 ชม.

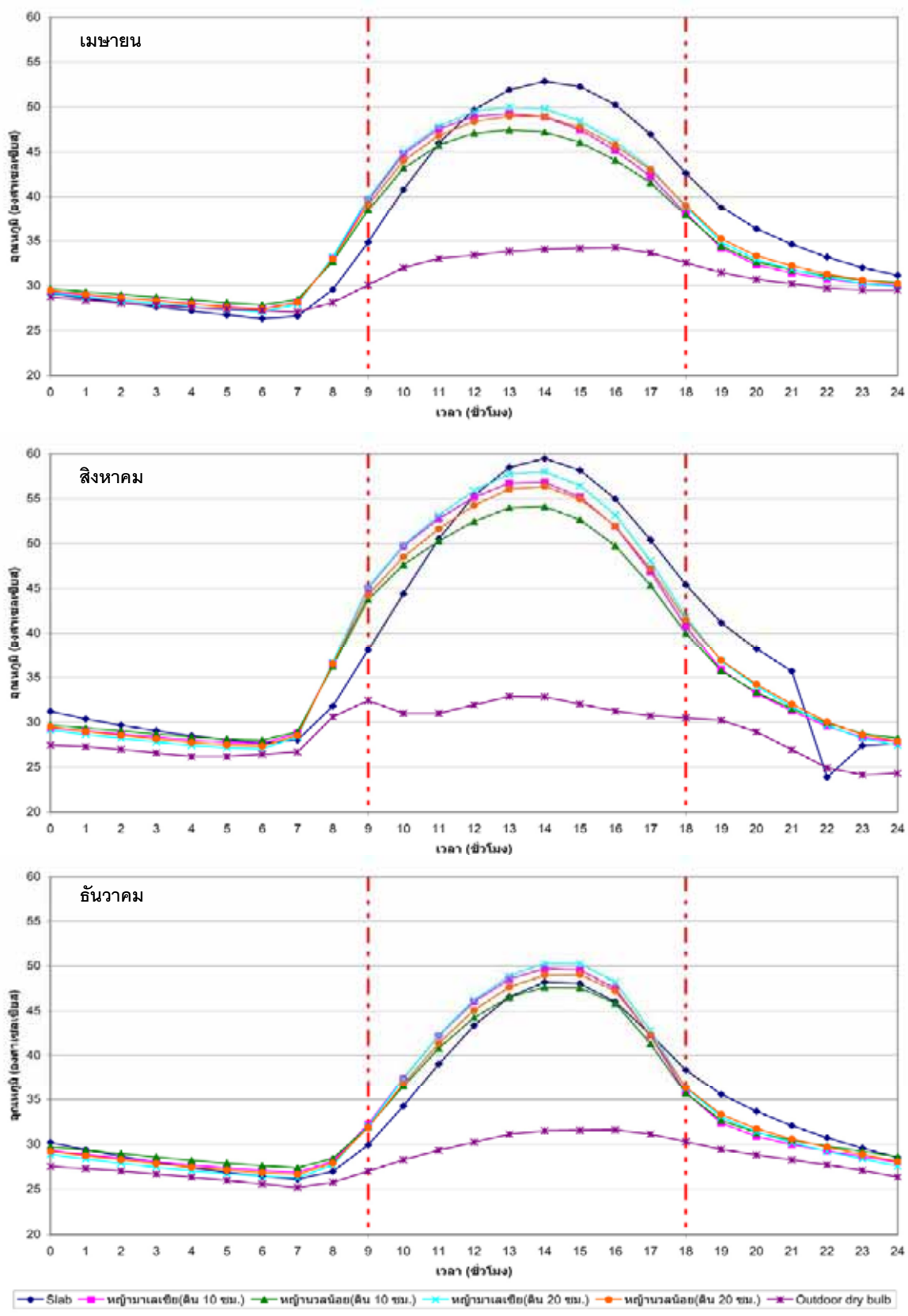
ดังนั้นจึงพอสรุปได้ว่า การใช้โปรแกรม EnergyPlus ในการจำลอง ได้ผลใกล้เคียงกับการใช้กล่องทดลองจริงพอสมควร โดยเฉพาะค่าอุณหภูมิในช่วงเวลากลางวัน (9.00-18.00 น.) แต่ในส่วนของค่าอุณหภูมิผิวภายนอกของกล่องหลังคาทั้ง 4 ชนิด ที่มีค่าอุณหภูมิต่างกันมากกว่าค่าอุณหภูมิผิวใต้หลังคาและค่าอุณหภูมิอากาศภายในกล่องนั้น อาจเป็นสาเหตุมาจากการ ในการกล่องทดลองจริงนั้นได้ทำการวัดอุณหภูมิผิวภายนอกที่บริเวณผิวน้ำ ซึ่งปลายสายที่วัดอาจได้รับร่มเงาจากใบหญ้า ซึ่งไม่สามารถระบุได้ว่าโปรแกรม EnergyPlus นั้นได้มีการคำนวณในส่วนนี้หรือไม่ และเนื่องจากในการศึกษาครั้นี้ เป็นการศึกษาประสิทธิผลของการใช้ Green roof เพื่อลดความร้อนและการใช้พลังงานภายในอาคาร ดังนั้นจึงนำจะมุ่งเน้นไปที่ค่าอุณหภูมิที่เกิดขึ้นภายในเป็นหลัก ซึ่งเมื่อเปรียบเทียบค่าอุณหภูมิผิวใต้หลังคา กับอากาศภายใน ระหว่างกล่องทดลองจริงกับการจำลองด้วยโปรแกรม EnergyPlus แล้ว มีค่าใกล้เคียงกันมาก คือ มีค่าความแตกต่างกันไม่เกิน 5.5% ดังนั้นจึงนำจะสามารถนำไปใช้ในการศึกษาต่อได้

ซึ่งจากการทดลองที่ 1 และ 2 นี้ จะนำไปทำ การศึกษาโดยการจำลองด้วยโปรแกรม Energyplus โดยเปลี่ยนรูปแบบการจำลองจากกล่องปิดทึบเป็นห้องสมุดจริง ในชุดการทดลองที่ 3 ต่อไป

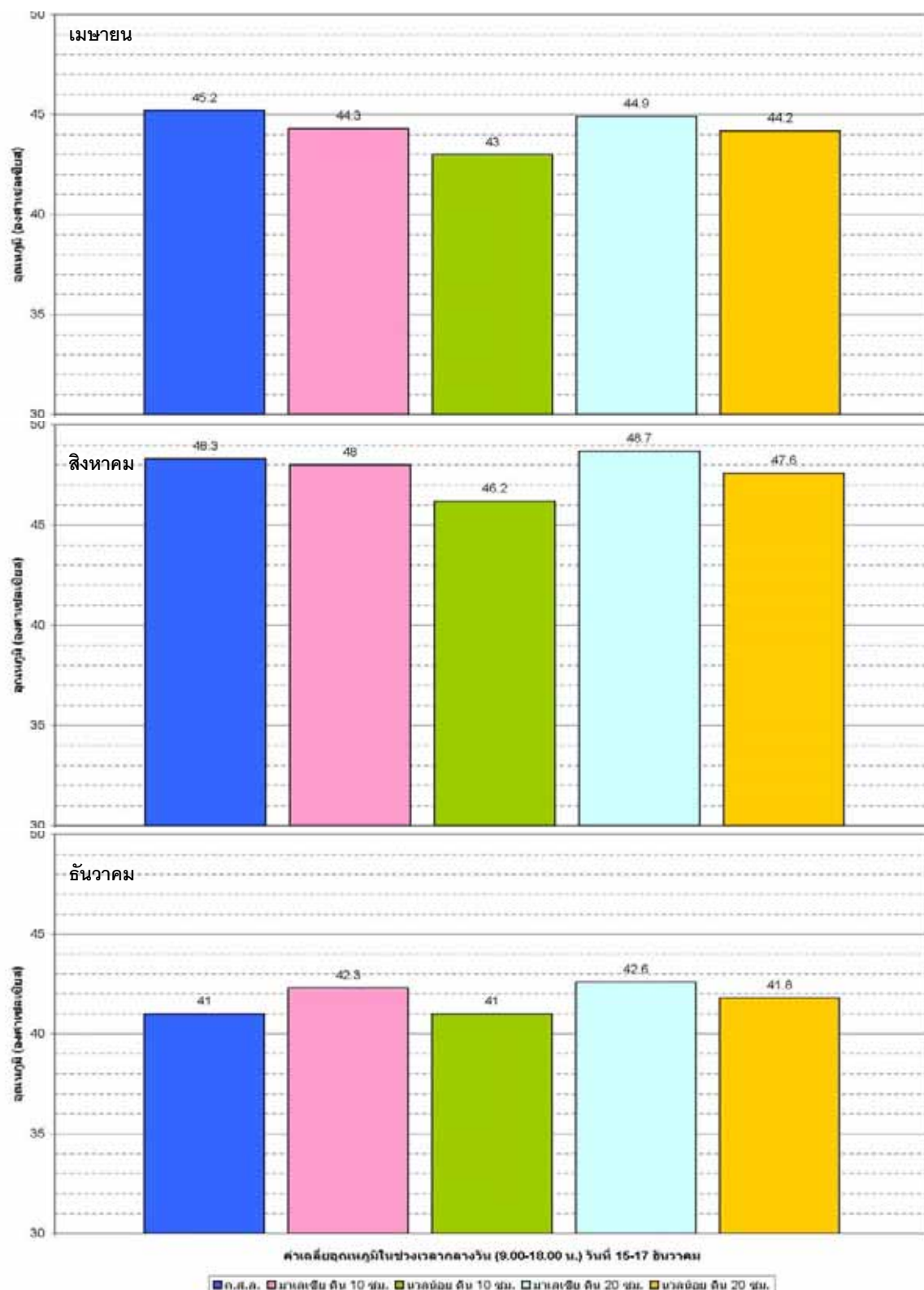
3. ผลการทดลองที่ 3 การศึกษาประสิทธิผลในการใช้ Green roof ในการป้องกันความร้อนเข้าสู่อาคารผ่านทางหลังคา โดยการใช้โปรแกรม EnergyPlus กรณีอาคารสำนักงาน



แผนภูมิที่ 16 เปรียบเทียบคุณภาพมีพิวห้องหลังคากายณอก ระหว่างวันที่ 15-17



แผนภูมิที่ 17 เปรียบเทียบอุณหภูมิผิวหลังคาภายในอก วันที่ 16



ແຜນກຸມທີ່ 18 ເບຣີຍບເຖິຍບອຸນກູມືວິພາຫລັງຄາກາຍນອກ ເຂົ້າຢ່າງລາກລາງວັນ (9.00-18.00 ນ.)
ວະໜ່ວງວັນທີ 15-17

ตารางที่ 14 เปรียบเทียบอุณหภูมิผิวหลังคากายนอก วันที่ 15-17 เมษาายน

ค่า	อุณหภูมิสูงสุด (°C)				อุณหภูมิต่ำสุด (°C)				อุณหภูมิเฉลี่ย 9.00-18.00 น.			
	วันที่ หลังค่า	15	16	17	เฉลี่ย 3 วัน	15	16	17	เฉลี่ย 3 วัน	15	16	17
ค.ส.ล.	50.0	52.8	55.7	52.8	26.0	26.3	27.6	26.6	40.7	46.8	48.2	45.2
มาเลเซีย 10	48.5	49.2	53.2	50.3	26.3	27.4	27.9	27.2	40.4	45.1	47.4	44.3
ผลต่าง	1.5	3.6	2.5	2.5	-0.3	-1.1	-0.3	-0.6	0.3	1.7	0.8	0.9
ผลต่างเป็น %	3	6.8	4.5	4.7	-1.2	-4.2	-1.1	-2.3	0.7	3.6	1.7	2.0
นวัฒน์อย 10	46.6	47.4	51.1	45.8	26.7	27.8	28.4	27.6	39.4	43.8	45.8	43.0
ผลต่าง	3.4	5.4	4.6	7	-0.7	-1.5	-0.8	-1	1.3	3	2.4	2.2
ผลต่างเป็น %	6.8	10.2	8.3	13.3	-2.7	-5.7	-2.9	-3.8	3.2	6.4	5.0	4.9
มาเลเซีย 20	49.0	49.9	54.3	48.0	25.9	27.0	27.5	26.8	40.8	45.8	48.0	44.9
ผลต่าง	1	2.9	1.4	1.7	0.1	-0.7	0.1	-0.2	-0.1	1	0.2	0.3
ผลต่างเป็น %	2	5.5	2.5	3.2	0.4	-2.7	0.4	-0.8	-0.2	2.1	0.4	0.7
นวัฒน์อย 20	47.8	49.0	53.1	50.0	26.3	27.4	27.9	27.2	40.3	45.2	47.2	44.2
ผลต่าง	2.2	3.8	2.6	2.8	-0.3	-1.1	-0.3	-0.6	0.4	1.6	1	1
ผลต่างเป็น %	4.4	7.2	4.7	5.3	-1.2	-4.2	-1.1	-2.3	1.0	3.4	2.1	2.2

ตารางที่ 15 เปรียบเทียบอุณหภูมิผิวหลังคากายนอก วันที่ 15-17 สิงหาคม

ค่า	อุณหภูมิสูงสุด (°C)				อุณหภูมิต่ำสุด (°C)				อุณหภูมิเฉลี่ย 9.00-18.00 น.			
	วันที่ หลังค่า	15	16	17	เฉลี่ย 3 วัน	15	16	17	เฉลี่ย 3 วัน	15	16	17
ค.ส.ล.	57.2	59.5	52.3	56.3	26.9	23.9	25.7	25.5	49.5	51.5	43.8	48.3
มาเลเซีย 10	54.9	56.8	51.5	54.4	27.1	27.6	26.6	27.1	49.0	51.1	43.9	48.0
ผลต่าง	2.3	2.7	0.8	1.9	-0.2	-3.7	-0.9	-1.6	0.5	0.4	-0.1	0.3
ผลต่างเป็น %	4.0	4.5	1.5	3.4	-0.7	-15.5	-3.5	-6.3	1.0	0.8	-0.2	0.6
นวัฒน์อย 10	52.3	54.1	49.2	51.9	27.5	28.0	27.0	27.5	47.0	49.0	42.5	46.2
ผลต่าง	4.9	5.4	3.1	4.4	-0.6	-4.1	-1.3	-2	2.5	2.5	1.3	2.1
ผลต่างเป็น %	8.6	9.1	5.9	7.8	-2.2	-17.2	-5.1	-7.8	5.1	4.9	3.0	4.3
มาเลเซีย 20	56.0	58.0	52.2	55.4	26.7	27.0	25.8	26.5	49.8	51.9	44.2	48.7
ผลต่าง	1.2	1.5	0.1	0.9	0.2	-3.1	-0.1	-1	-0.3	-0.4	-0.4	-0.4
ผลต่างเป็น %	2.1	2.5	0.2	1.6	0.7	-13.0	-0.4	-3.9	-0.6	-0.8	-0.9	-0.8
นวัฒน์อย 20	54.5	56.4	50.9	53.9	27.0	27.3	26.2	26.8	48.7	50.7	43.3	47.6
ผลต่าง	2.7	3.1	1.4	2.4	-0.1	-3.4	-0.5	-1.3	0.8	0.8	0.5	0.7
ผลต่างเป็น %	4.7	5.2	2.7	4.3	-0.4	-14.2	-1.9	-5.1	1.6	1.6	1.1	1.4

ตารางที่ 16 เปรียบเทียบอุณหภูมิผิวหลังคากายนอก วันที่ 15-17 มีนาคม

ค่า	อุณหภูมิสูงสุด (°C)				อุณหภูมิต่ำสุด (°C)				อุณหภูมิเฉลี่ย 9.00-18.00 น.			
	วันที่ 15	16	17	เฉลี่ย 3 วัน	15	16	17	เฉลี่ย 3 วัน	15	16	17	เฉลี่ย 3 วัน
ค.ส.ล.	48.5	48.2	46.9	47.9	27.2	26.1	23.2	25.5	41.7	41.6	39.7	41.0
มาเลเซีย 10	49.4	49.7	48.9	49.3	27.8	26.9	24.2	26.3	41.9	43.1	41.9	42.3
ผลต่าง	-0.9	-1.5	-2	-1.4	-0.6	-0.8	-1	-0.8	-0.2	-1.5	-2.2	-1.3
ผลต่างเป็น %	-1.9	-3.1	-4.3	-2.9	-2.2	-3.1	-4.3	-3.1	-0.5	-3.6	-5.5	-3.2
นวลดน้อย 10	47.5	47.7	46.6	47.3	28.3	27.4	24.9	26.8	40.8	41.8	40.5	41.0
ผลต่าง	1	0.5	0.3	0.6	-1.1	-1.3	-1.7	-1.3	0.9	-0.2	-0.8	0
ผลต่างเป็น %	2.1	1.0	0.6	1.3	-4.0	-5.0	-7.3	-5.1	2.2	-0.5	-2.0	0.0
มาเลเซีย 20	49.6	50.2	49.5	49.8	27.0	26.3	23.5	25.6	42.0	43.5	42.3	42.6
ผลต่าง	-1.1	-2	-2.6	-1.9	0.2	-0.2	-0.3	-0.1	-0.3	-1.9	-2.6	-1.6
ผลต่างเป็น %	-2.3	-4.1	-5.5	-4.0	0.7	-0.8	-1.3	-0.4	-0.7	-4.6	-6.5	-3.9
นวลดน้อย 20	48.5	49.0	48.1	48.5	27.4	26.6	24.0	26.0	41.3	42.7	41.4	41.8
ผลต่าง	0	-0.8	-1.2	-0.6	-0.2	-0.5	-0.8	-0.5	0.4	-1.1	-1.7	-0.8
ผลต่างเป็น %	0.0	-1.7	-2.6	-1.3	-0.7	-1.9	-3.4	-2.0	1.0	-2.6	-4.3	-2.0

* หมายเหตุ

- ค่าอุณหภูมิสูงสุดและต่ำสุด คิดจากช่วงเวลาตลอด 24 ชม.
- ค่าผลต่าง คิดจากค่าที่ได้จากการหลังคาก.ส.ล. ลบด้วยค่าจากการหลังคากานิดอื่นๆ เพื่อคูณว่าอุณหภูมิลดลงจากหลังคาก.ส.ล. เท่าไร ในกรณีที่ค่าติดลบแสดงว่า ค่าที่ได้จากการหลังคากานิดนั้นสูงกว่าหลังคาก.ส.ล.
- ผลต่างเป็น % คิดจากสูตร ค่าผลต่าง $\times 100$ หารด้วยค่าต้นจากการหลังคาก.ส.ล.

ผลการทดลองเปรียบเทียบค่าอุณหภูมิผิวหลังคากาญจน์อก

เดือนเมษายน

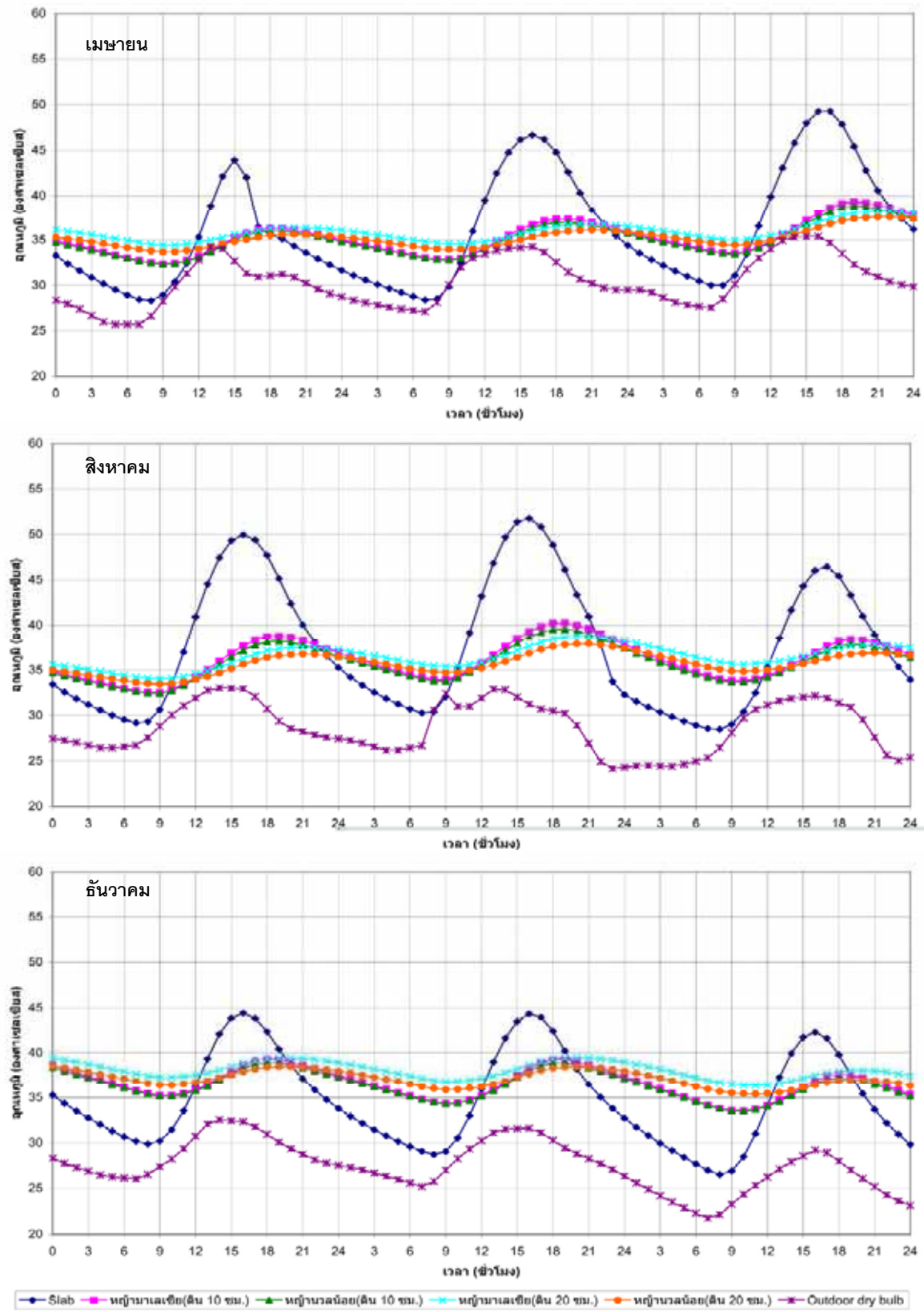
เมื่อเปรียบเทียบค่าอุณหภูมิผิวหลังคากาญจน์อกในเดือนเมษายนพบว่า ค่าอุณหภูมิเฉลี่ยในช่วงเวลากลางวัน (9.00-18.00 น.) ของหลังคากาญจน์อกน้อยกว่าหลังคาก.ส.ล. ประมาณ 2.2°C หรือลดลง 4.9% รองลงมาคือ หลังคากาญจน์อกน้อยกว่าหลังคาก.ส.ล. ประมาณ 1°C หรือลดลง 2.2%

เดือนสิงหาคม

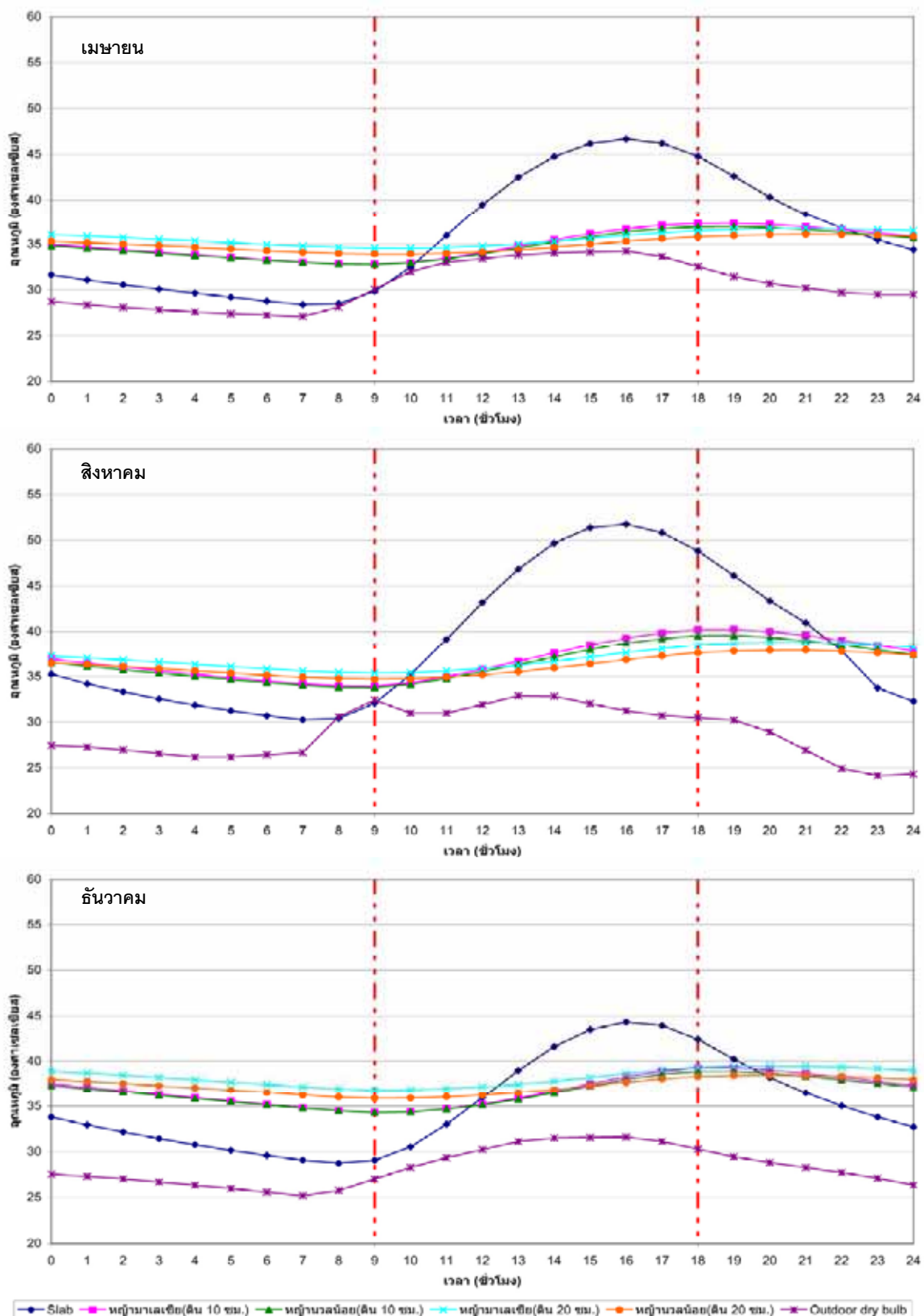
เมื่อเปรียบเทียบค่าอุณหภูมิผิวหลังคากาญจน์อกในเดือนสิงหาคมพบว่า ค่าอุณหภูมิเฉลี่ยในช่วงเวลากลางวัน (9.00-18.00 น.) ของหลังคากาญจน์อกน้อยกว่าหลังคาก.ส.ล. ประมาณ 2.1°C หรือลดลง 4.3% รองลงมาคือ หลังคากาญจน์อกน้อยกว่าหลังคาก.ส.ล. ประมาณ 0.7°C หรือลดลง 1.4%

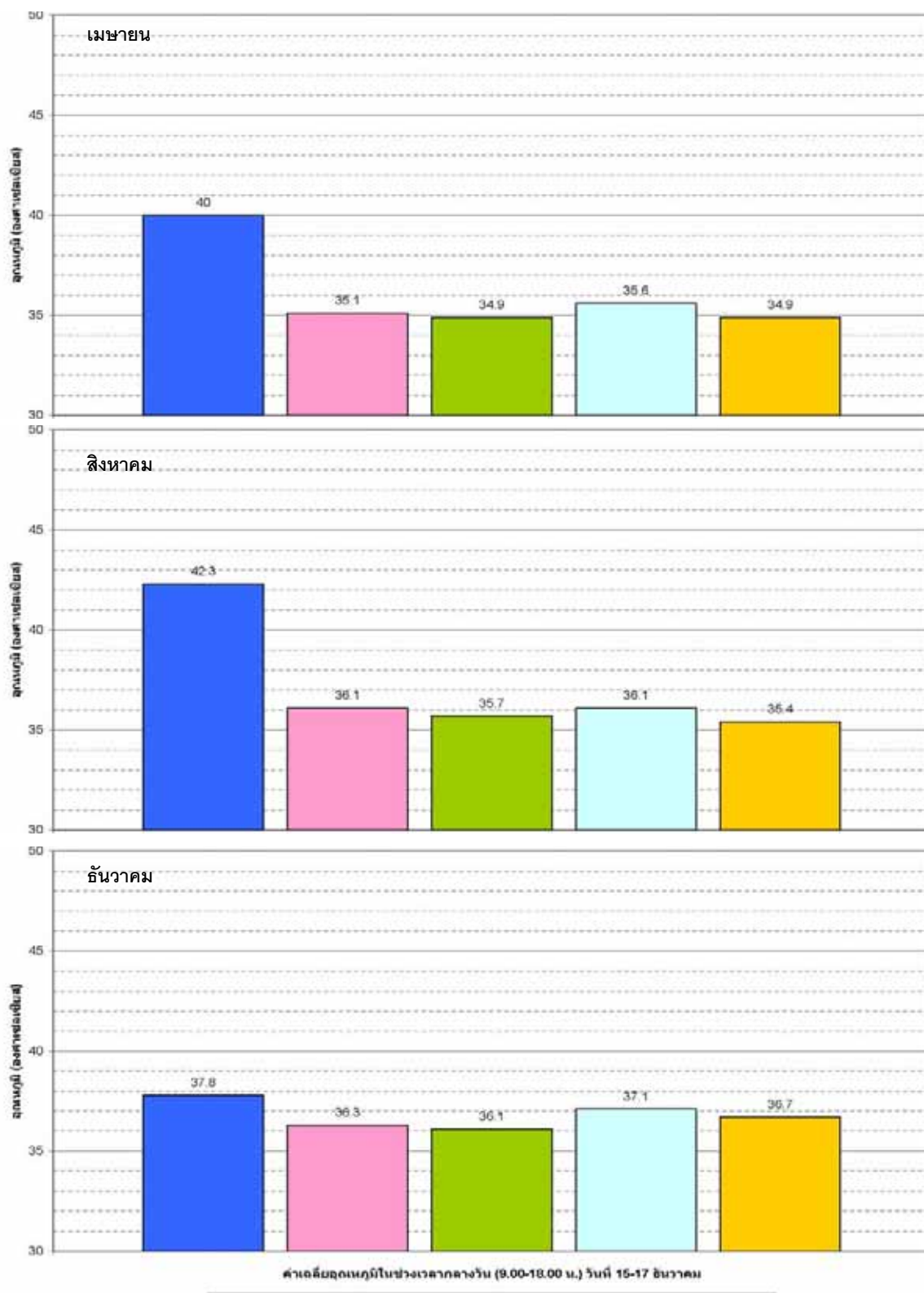
เดือนธันวาคม

เมื่อเปรียบเทียบค่าอุณหภูมิผิวหลังคากาญจน์อกในเดือนธันวาคมพบว่า ค่าอุณหภูมิเฉลี่ยในช่วงเวลากลางวัน (9.00-18.00 น.) ของหลังคากาญจน์อกน้อยกว่าหลังคาก.ส.ล. ประมาณ 0.8°C หรือเพิ่มขึ้น 2.0%



แผนภูมิที่ 19 เปรียบเทียบอุณหภูมิผิวใต้หลังคา ระหว่างวันที่ 15-17





แผนภูมิที่ 21 เปรียบเทียบอุบัติภัยพิเศษทั้งสังคม เฉลี่ยเวลากลางวัน (9.00-18.00 น.) ระหว่าง
วันที่ 15-17

ตารางที่ 17 เปรียบเทียบอุณหภูมิผิวใต้หลังคา วันที่ 15-17 เมษายน

ค่า	อุณหภูมิสูงสุด (°C)				อุณหภูมิต่ำสุด (°C)				อุณหภูมิเฉลี่ย 9.00-18.00 น.				
	วันที่ หลังคา	15	16	17	เฉลี่ย 3 วัน	15	16	17	เฉลี่ย 3 วัน	15	16	17	เฉลี่ย 3 วัน
ค.ส.ล.		43.9	46.6	49.2	46.6	28.3	28.4	30.0	28.9	36.6	40.9	42.4	40.0
มาเลเซีย 10		36.3	37.3	39.3	37.7	32.3	32.8	33.5	32.9	34.2	35.1	36.1	35.1
ผลต่าง		7.6	9.3	9.9	8.9	-4	-4.4	-3.5	-4	2.4	5.8	6.3	4.9
ผลต่างเป็น %		17.3	20.0	20.1	19.1	-14.1	-15.5	-11.7	-13.8	6.6	14.2	14.9	12.3
นวัฒน์อย 10		36.0	37.0	38.8	37.3	32.3	32.8	33.5	32.9	34.1	34.9	35.9	34.9
ผลต่าง		7.9	9.6	10.4	9.3	-4	-4.4	-3.5	-4	2.5	6	6.5	5.1
ผลต่างเป็น %		18.0	20.6	21.1	20.0	-14.1	-15.5	-11.7	-13.8	6.8	14.7	15.3	12.8
มาเลเซีย 20		36.4	36.8	38.2	37.1	34.4	34.6	35.0	34.7	35.2	35.3	36.2	35.6
ผลต่าง		7.5	9.8	11	9.5	-6.1	-6.2	-5	-5.8	1.4	5.6	6.2	4.4
ผลต่างเป็น %		17.1	21.0	22.4	20.4	-21.6	-21.8	-16.7	-20.1	3.8	13.7	14.6	11.0
นวัฒน์อย 20		35.6	36.1	37.6	36.4	33.7	33.9	34.4	34.0	34.5	34.7	35.6	34.9
ผลต่าง		8.3	10.5	11.6	10.2	-5.4	-5.5	-4.4	-5.1	2.1	6.2	6.8	5.1
ผลต่างเป็น %		18.9	22.5	23.6	21.9	-19.1	-19.4	-14.7	-17.6	5.7	15.2	16.0	12.8

ตารางที่ 18 เปรียบเทียบอุณหภูมิผิวใต้หลังคา วันที่ 15-17 สิงหาคม

ค่า	อุณหภูมิสูงสุด (°C)				อุณหภูมิต่ำสุด (°C)				อุณหภูมิเฉลี่ย 9.00-18.00 น.				
	วันที่ หลังคา	15	16	17	เฉลี่ย 3 วัน	15	16	17	เฉลี่ย 3 วัน	15	16	17	เฉลี่ย 3 วัน
ค.ส.ล.		50.0	51.8	46.4	49.4	29.2	30.3	28.5	29.3	43.0	44.9	39.0	42.3
มาเลเซีย 10		38.8	40.2	38.4	39.1	32.5	33.9	33.8	33.4	35.5	37.1	35.6	36.1
ผลต่าง		11.2	11.6	8	10.3	-3.3	-3.6	-5.3	-4.1	7.5	7.8	3.4	6.2
ผลต่างเป็น %		22.4	22.4	17.2	20.9	-11.3	-11.9	-18.6	-14.0	17.4	17.4	8.7	14.7
นวัฒน์อย 10		38.2	39.6	37.9	38.6	32.4	33.8	33.7	33.3	35.2	36.7	35.3	35.7
ผลต่าง		11.8	12.2	8.5	10.8	-3.2	-3.5	-5.2	-4	7.8	8.2	3.7	6.6
ผลต่างเป็น %		23.6	23.6	18.3	21.9	-11.0	-11.6	-18.2	-13.7	18.1	18.3	9.5	15.6
มาเลเซีย 20		37.5	38.8	38.0	38.1	34.0	35.4	35.6	35.0	35.3	36.6	36.3	36.1
ผลต่าง		12.5	13	8.4	11.3	-4.8	-5.1	-7.1	-5.7	7.7	8.3	2.7	6.2
ผลต่างเป็น %		25.0	25.1	18.1	22.9	-16.4	-16.8	-24.9	-19.5	17.9	18.5	6.9	14.7
นวัฒน์อย 20		36.8	37.9	37.1	37.3	33.4	34.7	34.8	34.3	34.7	35.9	35.5	35.4
ผลต่าง		13.2	13.9	9.3	12.1	-4.2	-4.4	-6.3	-5	8.3	9	3.5	6.9
ผลต่างเป็น %		26.4	26.8	20.0	24.5	-14.4	-14.5	-22.1	-17.1	19.3	20.0	9.0	16.3

ตารางที่ 19 เปรียบเทียบอุณหภูมิผิวใต้หลังคา วันที่ 15-17 ธันวาคม

ค่า	อุณหภูมิสูงสุด (°C)				อุณหภูมิต่ำสุด (°C)				อุณหภูมิเฉลี่ย 9.00-18.00 น.			
	วันที่ หลังคา	15	16	17	เฉลี่ย 3 วัน	15	16	17	เฉลี่ย 3 วัน	15	16	17
ค.ส.ล.	44.4	44.3	42.3	43.7	29.9	28.7	26.5	28.4	38.7	38.3	36.3	37.8
มาเลเซีย 10	39.3	39.3	37.6	38.7	35.2	34.3	33.5	34.3	37.0	36.5	35.3	36.3
ผลต่าง	5.1	5	4.7	5	-5.3	-5.6	-7	-5.9	1.7	1.8	1	1.5
ผลต่างเป็น %	11.5	11.3	11.1	11.4	-17.7	-19.5	-26.4	-20.8	4.4	4.7	2.8	4.0
นวลดน้ำย้อย 10	39.0	38.9	37.2	38.3	35.2	34.3	33.5	34.3	36.9	36.3	35.1	36.1
ผลต่าง	5.4	5.4	5.1	5.4	-5.3	-5.6	-7	-5.9	1.8	2	1.2	1.7
ผลต่างเป็น %	12.2	12.2	12.1	12.4	-17.7	-19.5	-26.4	-20.8	4.7	5.2	3.3	4.5
มาเลเซีย 20	39.4	39.5	38.7	39.2	37.2	36.8	36.4	36.8	38.1	37.8	36.9	37.1
ผลต่าง	5	4.8	3.6	4.5	-7.3	-8.1	-9.9	-8.4	0.6	0.5	-0.6	0.7
ผลต่างเป็น %	11.3	10.8	8.5	10.3	-24.4	-28.2	-37.4	-29.6	1.6	1.3	-1.7	1.9
นวลดน้ำย้อย 20	38.5	38.4	37.7	38.2	36.4	35.9	35.4	35.9	37.2	36.9	35.9	36.7
ผลต่าง	5.9	5.9	4.6	5.5	-6.5	-7.2	-8.9	-7.5	1.5	1.4	0.4	1.1
ผลต่างเป็น %	13.3	13.3	10.9	12.6	-21.7	-25.1	-33.6	-26.4	3.9	3.7	1.1	2.9

* หมายเหตุ

- ค่าอุณหภูมิสูงสุดและต่ำสุด คิดจากช่วงเวลาตลอด 24 ชม.
- ค่าผลต่าง คิดจากค่าที่ได้จากหลังคา ค.ส.ล. ลบด้วยค่าจากหลังคาชนิดอื่นๆ เพื่อคูณว่าอุณหภูมิลดลงจากหลังคา ค.ส.ล. เท่าไร ในกรณีที่ค่าติดลบแสดงว่า ค่าที่ได้จากหลังคาชนิดนั้นสูงกว่าหลังคา ค.ส.ล.
- ผลต่างเป็น % คิดจากสูตร ค่าผลต่าง $\times 100$ หารด้วยค่าต้นจากหลังคา ค.ส.ล.

ผลการทดลองเปรียบเทียบค่าอุณหภูมิผิวใต้หลังคา

เดือนเมษายน

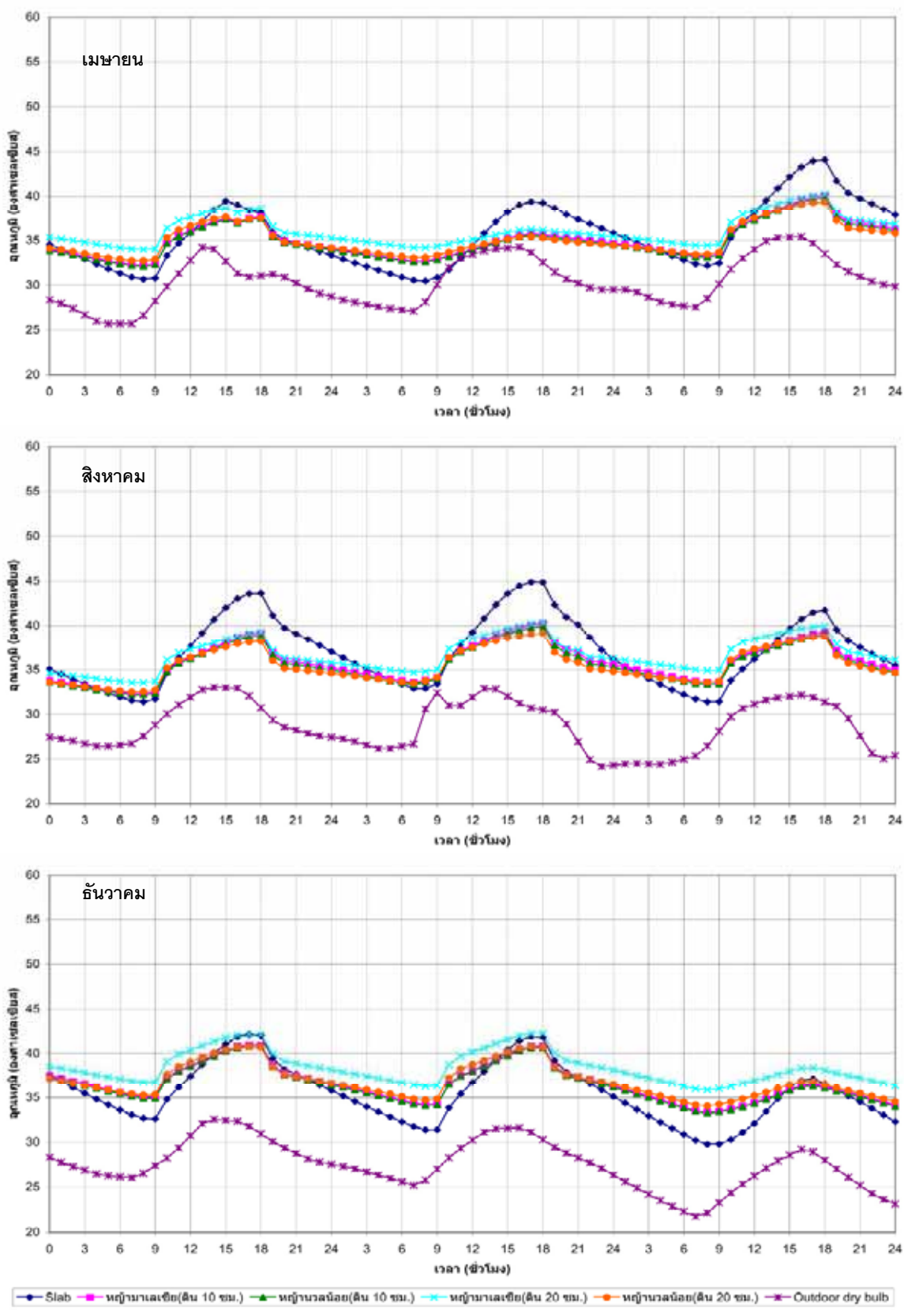
เมื่อเปรียบเทียบค่าอุณหภูมิผิวใต้หลังคาในเดือนเมษายนพบว่า ค่าอุณหภูมิเฉลี่ยในช่วงเวลากลางวัน (9.00-18.00 น.) ของหลังคาหูด้านวนน้อยกว่า 10 ซม. และหลังคาหูด้านวนน้อยกว่า 20 ซม. จะมีค่าผลต่างเฉลี่ย 3 วัน มากที่สุดเท่ากัน คือต่ำกว่าหลังคา ค.ส.ล. ประมาณ 5.1°C หรือลดลง 12.8 %

เดือนสิงหาคม

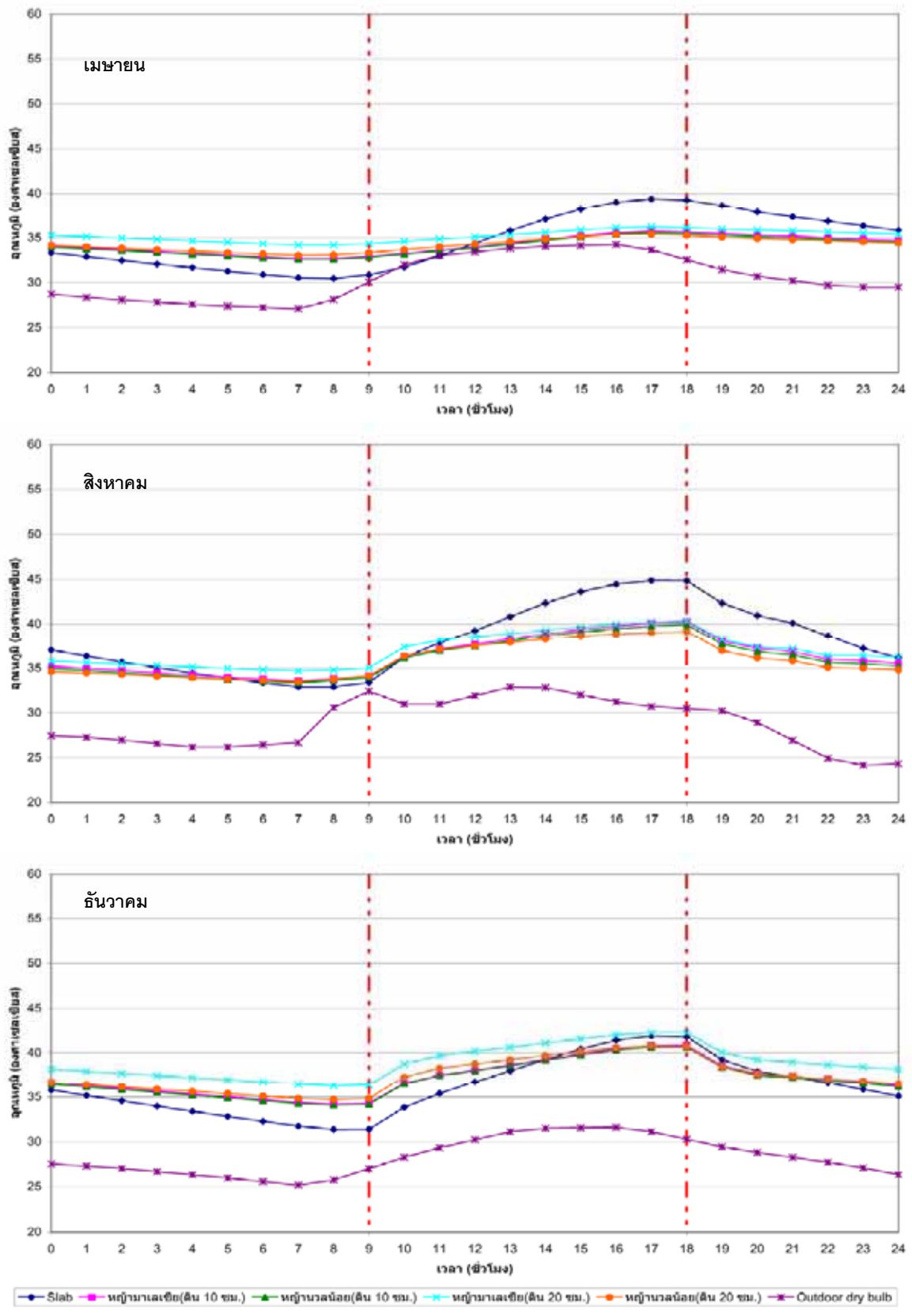
เมื่อเปรียบเทียบค่าอุณหภูมิผิวใต้หลังคาในเดือนสิงหาคมพบว่า ค่าอุณหภูมิเฉลี่ยในช่วงเวลากลางวัน (9.00-18.00 น.) ของหลังคาหูด้านวนน้อยกว่า 20 ซม. จะมีค่าผลต่างเฉลี่ย 3 วัน มากที่สุด คือต่ำกว่าหลังคา ค.ส.ล. ประมาณ 6.9°C หรือลดลง 16.3 % รองลงมาคือ หลังคาหูด้านวนน้อยกว่า 10 ซม. มีค่าต่ำกว่าหลังคา ค.ส.ล. ประมาณ 6.6°C หรือลดลง 15.6 %

เดือนธันวาคม

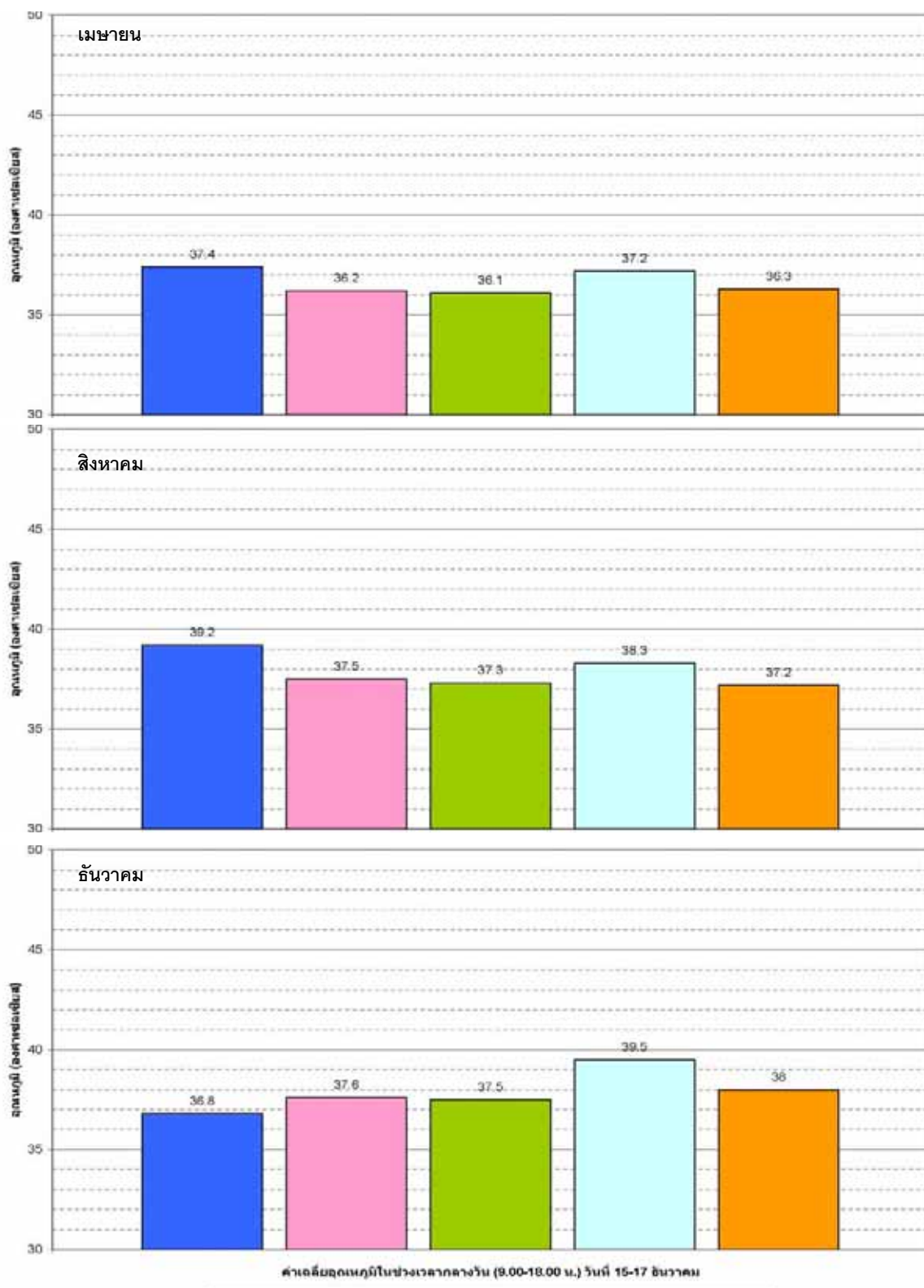
เมื่อเปรียบเทียบค่าอุณหภูมิผิวใต้หลังคาในเดือนธันวาคมพบว่า ค่าอุณหภูมิเฉลี่ยในช่วงเวลากลางวัน (9.00-18.00 น.) ของหลังคาหูด้านวนน้อยกว่า 10 ซม. จะมีค่าผลต่างเฉลี่ย 3 วัน มากที่สุด คือต่ำกว่าหลังคา ค.ส.ล. ประมาณ 1.7°C หรือลดลง 4.5 % รองลงมาคือ หลังคาหูด้านวนน้อยกว่า 20 ซม. มีค่าต่ำกว่าหลังคา ค.ส.ล. 1.1°C หรือลดลง 2.9 %



แผนภูมิที่ 22 เปรียบเทียบอุณหภูมิอากาศภายใน ระหว่างวันที่ 15-17



แผนภูมิที่ 23 เปรียบเทียบอุณหภูมิอากาศภายใน วันที่ 16



แผนภูมิที่ 24 เปรียบเทียบอุณหภูมิอากาศภายในเฉลี่ยวกลางวัน (9.00-18.00 น.) ระหว่าง
วันที่ 15-17

ตารางที่ 20 เปรียบเทียบอุณหภูมิอากาศภายใน วันที่ 15-17 เมษายน

ค่า	อุณหภูมิสูงสุด (°C)				อุณหภูมิต่ำสุด (°C)				อุณหภูมิเฉลี่ย 9.00-18.00 น.			
	วันที่ หลังค่า	15	16	17	เฉลี่ย 3 วัน	15	16	17	เฉลี่ย 3 วัน	15	16	17
ค.ส.ล.	39.5	39.4	44.1	41.0	30.7	30.5	32.2	31.1	36.5	35.9	39.7	37.4
มาเลเซีย 10	37.6	35.8	40.1	37.8	32.2	32.7	33.3	32.7	36.2	34.5	37.8	36.2
ผลต่าง	1.9	3.6	4	3.2	-1.5	-2.2	-1.1	-1.6	0.3	1.4	1.9	1.2
ผลต่างเป็น %	4.8	9.1	9.1	7.8	-4.9	-7.2	-3.4	-5.1	0.8	3.9	4.8	3.2
นวัตน้อย 10	37.5	35.6	39.8	37.6	32.2	32.6	33.2	32.6	36.1	34.4	37.7	36.1
ผลต่าง	2	3.8	4.3	3.4	-1.5	-2.1	-1	-1.5	0.4	1.5	2	1.3
ผลต่างเป็น %	5.1	9.6	9.8	8.3	-4.9	-6.9	-3.1	-4.8	1.1	4.2	5.0	3.5
มาเลเซีย 20	38.6	36.2	40.2	38.4	34.0	34.2	34.4	34.2	37.6	35.4	38.5	37.2
ผลต่าง	0.9	3.2	3.9	2.6	-3.3	-3.7	-2.2	-3.1	-1.1	0.5	1.2	0.2
ผลต่างเป็น %	2.3	8.1	8.8	6.3	-10.7	-12.1	-6.8	-10.0	-3.0	1.4	3.0	0.5
นวัตน้อย 20	37.6	35.4	39.3	37.5	32.7	33.1	33.4	33.1	36.5	34.6	37.7	36.3
ผลต่าง	1.9	4	4.8	3.5	-2	-2.6	-1.2	-2	0	1.3	2	1.1
ผลต่างเป็น %	4.8	10.2	10.9	8.5	-6.5	-8.5	-3.7	-6.4	0.0	3.6	5.0	2.9

ตารางที่ 21 เปรียบเทียบอุณหภูมิอากาศภายใน วันที่ 15-17 สิงหาคม

ค่า	อุณหภูมิสูงสุด (°C)				อุณหภูมิต่ำสุด (°C)				อุณหภูมิเฉลี่ย 9.00-18.00 น.			
	วันที่ หลังค่า	15	16	17	เฉลี่ย 3 วัน	15	16	17	เฉลี่ย 3 วัน	15	16	17
ค.ส.ล.	43.6	44.9	41.7	43.4	31.4	32.9	31.4	31.9	39.2	40.8	37.6	39.2
มาเลเซีย 10	39.1	40.2	39.3	39.6	32.3	33.6	33.6	33.2	36.9	38.2	37.4	37.5
ผลต่าง	4.5	4.7	2.4	3.8	-0.9	-0.7	-2.2	-1.3	2.3	2.6	0.2	1.7
ผลต่างเป็น %	10.3	10.5	5.8	8.8	-2.9	-2.1	-7.0	-4.1	5.9	6.4	0.5	4.3
นวัตน้อย 10	38.9	39.9	39.0	39.3	32.2	33.4	33.4	33.0	36.7	37.9	37.2	37.3
ผลต่าง	4.7	5	2.7	4.1	-0.8	-0.5	-2	-1.1	2.5	2.9	0.4	1.9
ผลต่างเป็น %	10.8	11.1	6.5	9.4	-2.5	-1.5	-6.4	-3.4	6.4	7.1	1.1	4.8
มาเลเซีย 20	39.3	40.4	40.0	39.9	33.6	34.7	34.9	34.4	37.6	38.7	38.6	38.3
ผลต่าง	4.3	4.5	1.7	3.5	-2.2	-1.8	-3.5	-2.5	1.6	2.1	-1	0.9
ผลต่างเป็น %	9.9	10.0	4.1	8.1	-7.0	-5.5	-11.1	-7.8	4.1	5.1	-2.7	2.3
นวัตน้อย 20	38.2	39.1	38.7	38.7	32.5	33.5	33.6	33.2	36.6	37.7	37.4	37.2
ผลต่าง	5.4	5.8	3	4.7	-1.1	-0.6	-2.2	-1.3	2.6	3.1	0.2	2
ผลต่างเป็น %	12.4	12.9	7.2	10.8	-3.5	-1.8	-7.0	-4.1	6.6	7.6	0.5	5.1

ตารางที่ 22 เปรียบเทียบอุณหภูมิอากาศภายใน วันที่ 15-17 มีนาคม

ค่า	อุณหภูมิสูงสุด (°C)				อุณหภูมิต่ำสุด (°C)				อุณหภูมิเฉลี่ย 9.00-18.00 น.			
	วันที่ หลังค่า	15	16	17	เฉลี่ย 3 วัน	15	16	17	เฉลี่ย 3 วัน	15	16	17
ค.ส.ล.	42.1	41.9	37.1	40.4	32.6	31.4	29.8	31.2	38.7	38.0	33.8	36.8
มาเลเซีย 10	41.0	40.9	36.5	39.4	35.1	34.2	33.3	34.2	39.1	38.6	35.1	37.6
ผลต่าง	1.1	1	0.6	1	-2.5	-2.8	-3.5	-3	-0.4	-0.6	-1.3	-0.8
ผลต่างเป็น %	2.6	2.4	1.6	2.5	-7.7	-8.9	-11.7	-9.6	-1.0	-1.6	-3.8	-2.2
นวลดน้ำย 10	40.8	40.7	36.3	39.3	34.9	34.1	33.3	34.1	39.0	38.5	35.0	37.5
ผลต่าง	1.3	1.2	0.8	1.1	-2.3	-2.7	-3.5	-2.9	-0.3	-0.5	-1.2	-0.7
ผลต่างเป็น %	3.1	2.9	2.2	2.7	-7.1	-8.6	-11.7	-9.3	-0.8	-1.3	-3.6	-1.9
มาเลเซีย 20	42.2	42.3	38.4	40.9	36.7	36.3	35.9	36.3	40.7	40.5	37.4	39.5
ผลต่าง	-0.1	-0.4	-1.3	-0.5	-4.1	-4.9	-6.1	-5.1	-2	-2.5	-3.6	-2.7
ผลต่างเป็น %	-0.2	-1.0	-3.5	-1.2	-12.6	-15.6	-20.5	-16.3	-5.2	-6.6	-10.7	-7.3
นวลดน้ำย 20	40.8	40.8	36.8	39.5	35.3	34.7	34.1	34.7	39.3	39.0	35.7	38.0
ผลต่าง	1.3	1.1	0.3	0.9	-2.7	-3.3	-4.3	-3.5	-0.6	-1	-1.9	-1.2
ผลต่างเป็น %	3.1	2.6	0.8	2.2	-8.3	-10.5	-14.4	-11.2	-1.6	-2.6	-5.6	-3.3

* หมายเหตุ

- ค่าอุณหภูมิสูงสุดและต่ำสุด คิดจากช่วงเวลาตลอด 24 ชม.
- ค่าผลต่าง คิดจากค่าที่ได้จากหลังค่า ค.ส.ล. ลบด้วยค่าจากหลังคานินิดื่นๆ เพื่อคูณว่าอุณหภูมิลดลงจากหลังค่า ค.ส.ล. เท่าไร ในกรณีที่ค่าติดลบแสดงว่า ค่าที่ได้จากหลังคานินิดื่นๆ สูงกว่า หลังค่า ค.ส.ล.
- ผลต่างเป็น % คิดจากสูตร ค่าผลต่าง $\times 100$ หารด้วยค่าต้นจากหลังค่า ค.ส.ล.

ผลการทดลองเปรียบเทียบค่าอุณหภูมิอุณหภูมิอากาศภายใน

เดือนเมษายน

เมื่อเปรียบเทียบค่าอุณหภูมิอากาศภายในของเดือนเมษายนพบว่า ค่าอุณหภูมิเฉลี่ยในช่วงเวลากลางวัน (9.00-18.00 น.) ของหลังคาห้วยน้ำล้นอยู่ที่ 10 ซม. จะมีค่าผลต่างเฉลี่ย 3 วัน มากที่สุด คือต่ำกว่าหลังคา ค.ส.ล. ประมาณ 1.3°C หรือลดลง 3.5 % รองลงมาคือ หลังคาห้วยน้ำล้นอยู่ที่ 10 ซม. มีค่าต่ำกว่าหลังคา ค.ส.ล. ประมาณ 1.2°C หรือลดลง 3.2 %

เดือนสิงหาคม

เมื่อเปรียบเทียบค่าอุณหภูมิอากาศภายในของเดือนสิงหาคมพบว่า ค่าอุณหภูมิเฉลี่ยในช่วงเวลากลางวัน (9.00-18.00 น.) ของหลังคาห้วยน้ำล้นอยู่ที่ 20 ซม. จะมีค่าผลต่างเฉลี่ย 3 วัน มากที่สุด คือต่ำกว่าหลังคา ค.ส.ล. ประมาณ 2.0°C หรือลดลง 5.1 % รองลงมาคือ หลังคาห้วยน้ำล้นอยู่ที่ 10 ซม. มีค่าต่ำกว่าหลังคา ค.ส.ล. ประมาณ 1.9°C หรือลดลง 4.8 %

เดือนธันวาคม

เมื่อเปรียบเทียบค่าอุณหภูมิอากาศภายในของเดือนธันวาคมพบว่า ค่าอุณหภูมิเฉลี่ยในช่วงเวลากลางวัน (9.00-18.00 น.) ของหลังคาห้วยน้ำล้นอยู่ที่ 10 ซม. จะมีค่าผลต่างเฉลี่ย 3 วัน มากที่สุด คือสูงกว่าหลังคา ค.ส.ล. 0.7°C หรือเพิ่มขึ้น 1.9 % รองลงมาคือ หลังคาห้วยน้ำล้นอยู่ที่ 10 ซม. มีค่าสูงกว่าหลังคา ค.ส.ล. 0.8°C หรือเพิ่มขึ้น 2.2 %

สรุปผลการทดลองที่ 3

จากการทดลองเบรียบเทียบหลังคาทั้ง 5 ชนิด ที่จำลองด้วยโปรแกรม EnergyPlus ในกรณีไม่ปรับอากาศ สามารถสรุปผลได้ดังนี้

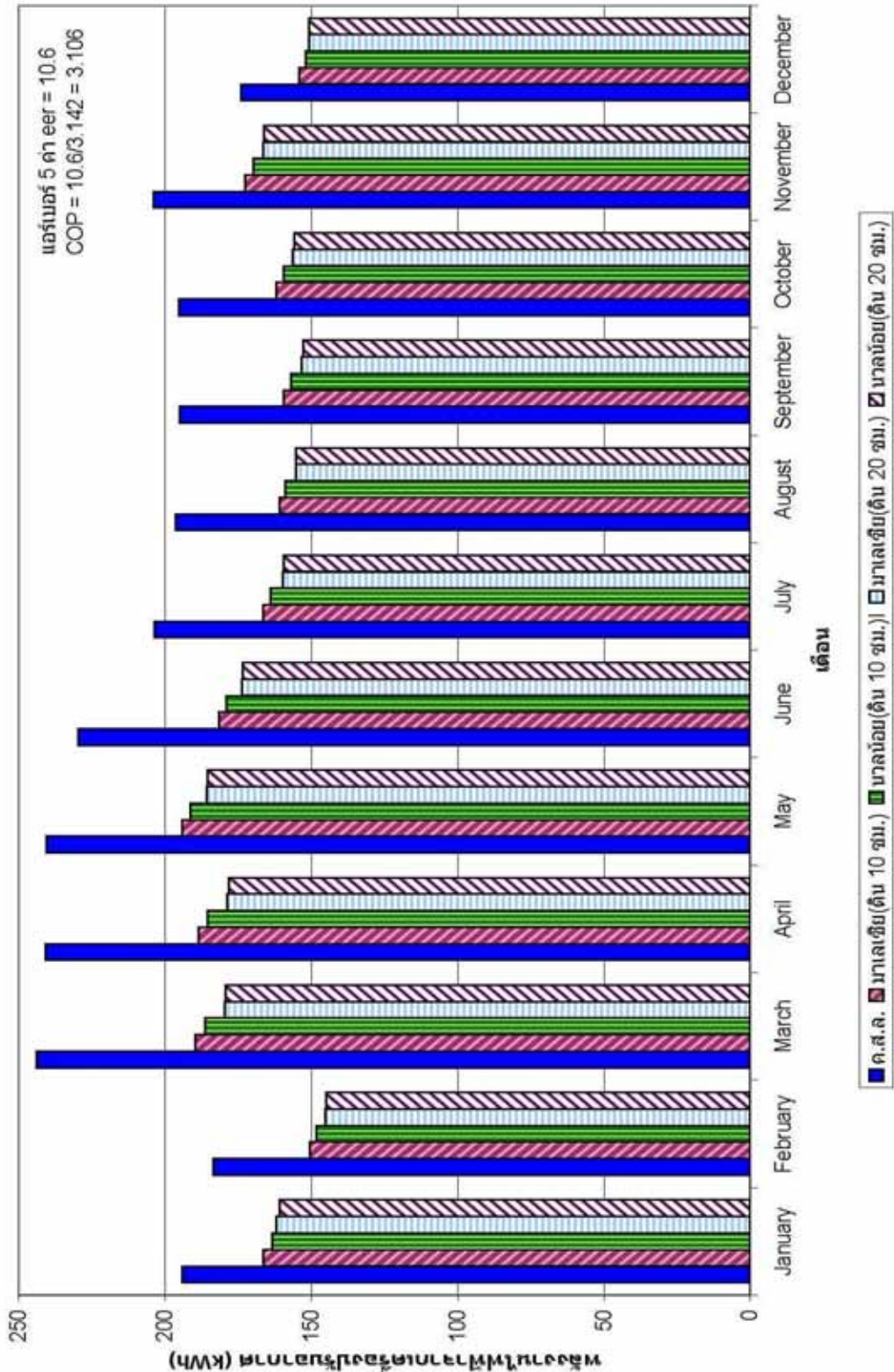
หลังคาหลังน้อยชิ้น มีค่าดัชนีพื้นที่ใบมากกว่าหลังคาหลังมาเลเชีย สามารถลดอุณหภูมิที่ผิวหลังคาภายในออกได้ดีที่สุด ในช่วงเวลากลางวัน (9.00-18.00 น.) ของทั้ง 3 เดือน ซึ่งอาจเป็นเพราะกการมีร่มเงาของใบมากกว่า ทำให้สามารถสร้างร่มเงาให้กับผิวหลังคาด้านนอก ทำให้มีค่าอุณหภูมิผิวด้านนอกต่ำกว่าหลังคาชนิดอื่นๆ ดังนั้นปริมาณและขนาดของใบจึงเป็นตัวแปรที่สำคัญสำหรับการลดอุณหภูมิผิวภายนอกของหลังคา

ส่วนของค่าอุณหภูมิผิวใต้หลังคานั้นพบว่า หลังคาหลังน้อยชิ้น มีค่าดัชนีพื้นที่ใบมากกว่าหลังคาหลังมาเลเชีย สามารถลดอุณหภูมิที่ผิวใต้หลังคาได้ดีที่สุด ในช่วงเวลากลางวัน (9.00-18.00 น.) ของทั้ง 3 เดือน แต่จะมีตัวแปรในเรื่องความลึกของดินปลูกเข้ามามากเกี่ยวข้อง คือในเดือนเมษายน ซึ่งเป็นฤดูร้อน และเดือนสิงหาคม ซึ่งเป็นฤดูฝน หลังคาหลังน้อยที่มีความลึกดินปลูก 20 ซม. จะมีค่าอุณหภูมิเฉลี่ย 3 วัน ต่ำกว่าความลึกดินปลูก 10 ซม. ส่วนในเดือนธันวาคมซึ่งเป็นฤดูหนาว หลังคาหลังน้อยที่มีความลึกดินปลูก 10 ซม. จะมีค่าอุณหภูมิเฉลี่ย 3 วัน ต่ำกว่าความลึกดินปลูก 20 ซม. ซึ่งหมายความว่าดินปลูกที่หนากว่า สามารถหน่วงความร้อนเข้าสู่ภายในอาคารได้ดีในฤดูร้อน

ในส่วนค่าอุณหภูมิอากาศภายในนั้นก็เช่นกัน หลังคาหลังน้อยชิ้น มีค่าดัชนีพื้นที่ใบมากกว่าหลังคาหลังมาเลเชีย สามารถลดอุณหภูมิอากาศภายในห้องได้ดีที่สุด เช่นเดียวกัน

ดังนั้นจึงพอสรุปได้ว่าในกรณีอาคารไม่ปรับอากาศนั้น หลังหลังน้อยชิ้น มีค่าดัชนีพื้นที่ใบ (Leaf area index) มากกว่าหลังมาเลเชีย สามารถลดอุณหภูมิภายในอาคารในช่วงเวลากลางวัน (9.00-18.00 น.) ได้ดีกว่า

4. ผลการทดลองที่ 4 การศึกษาประสิทธิผลในการนำ Green roof มาใช้ เพื่อลดการใช้พลังงานไฟฟ้าจากเครื่องปรับอากาศ โดยการใช้โปรแกรม Energyplus



เผยแพร่เมื่อวันที่ 25 เพรียบเทียบค่าผลิตงานไม้ทำจากเครื่องกลรากของรัฐฯ ขณะนี้ค่าไม้ต่างๆ

จากแผนภูมิที่ 25 จะเห็นได้ว่าค่าพลังงานไฟฟ้าจากเครื่องปรับอากาศของห้องที่ใช้หลังคาหลังคาไม้เลเซีย และหลังนวนน้อย ดินปููก 20 ซม. จะมีค่าการใช้พลังงานไฟฟ้าต่ำกว่าหลังคาที่ใช้ดินปููก 10 ซม. ซึ่งจากแผนภูมิที่ 25 นี้ จึงได้นำไปคำนวณหาค่าไฟฟ้าต่อปี ซึ่งการหาอัตราค่าไฟฟ้าต่อหน่วยของอาคารประเภทสำนักงาน ได้นำข้อมูลมาจากค่าไฟฟ้าที่ใช้จริงจากสำนักงานแห่งหนึ่งในกรุงเทพมหานคร (ขออนุญาตสงวนนาม) ในระยะเวลา 3 เดือน โดยนำข้อมูลจำนวนหน่วยที่ใช้ต่อเดือน และจำนวนเงินต่อเดือน มาหาเป็นค่าไฟต่อหน่วย มีรายละเอียดดังนี้

ตารางที่ 23 แสดงค่าไฟฟ้าต่อเดือนของอาคารสำนักงานแห่งหนึ่งใน กทม. (ไม่ประสงค์ออกนาม)

เดือน	หน่วย (Units)	ค่าไฟฟ้า (บาท)	ค่าไฟฟ้าเฉลี่ย/หน่วย (บาท)
มิถุนายน 2552	38,000	136,887.21	3.60
กรกฎาคม 2552	49,000	174,354.65	3.55
สิงหาคม 2552	57,000	193,514.92	3.39
เฉลี่ย 3 เดือน	48,000	168,252.26	3.51

ดังนั้นจากตารางที่ 23 ค่าไฟฟ้าเฉลี่ยต่อหน่วยของอาคารสำนักงาน = 3.51 บาท/หน่วย โดยประมาณ

และเมื่อนำไปคำนวณหาค่าไฟต่อปี ได้ผลดังนี้ (ดูตารางที่ 24)

ตารางที่ 24 ปริมาณเชื้อเพลิงสำหรับการเผาไหม้ฟางจากเครื่องปั้นบ่อากาศ ของแหล่งกำเนิดต่างๆ

แหล่งกำเนิด	ค.ส.ส.	น้ำเสียดินเผา 10 ซม.			น้ำเสียดินเผา 10 ซม.			มาตราฐานดินเผา 20 ซม.			น้ำเสียดินเผา 20 ซม.		
		หน่วย	ผลิตา่ง (%)	หน่วย	ผลิตา่ง (%)	หน่วย	ผลิตา่ง (%)	หน่วย	ผลิตา่ง (%)	หน่วย	ผลิตา่ง (%)	หน่วย	ผลิตา่ง (%)
มกราคม	194.3	166.6	27.7	14.3	163.3	31.0	16.0	162.1	32.2	16.6	160.8	33.5	17.2
กุมภาพันธ์	183.5	150.6	32.9	17.9	148.2	35.3	19.2	145.2	38.3	20.9	145.1	38.5	21.0
มีนาคม	243.9	189.7	54.2	22.2	186.2	57.7	23.7	179.8	64.2	26.3	179.3	64.6	26.5
เมษายน	240.8	188.5	52.3	21.7	185.5	55.3	23.0	178.8	62.0	25.7	178.4	62.4	25.9
พฤษภาคม	240.7	194.3	46.4	19.3	191.4	49.4	20.5	185.9	54.9	22.8	185.5	55.3	23.0
มิถุนายน	229.7	181.6	48.1	20.9	179.1	50.7	22.1	173.7	56.0	24.4	173.4	56.3	24.5
กรกฎาคม	203.6	166.4	37.2	18.3	163.9	39.7	19.5	159.8	43.8	21.5	159.5	44.2	21.7
สิงหาคม	196.4	161.0	35.4	18.0	159.0	37.4	19.1	155.4	41.0	20.9	155.2	41.2	21.0
กันยายน	194.9	159.4	35.5	18.2	157.0	38.0	19.5	153.2	41.7	21.4	152.9	42.1	21.6
ตุลาคม	195.5	162.1	33.4	17.1	159.5	35.9	18.4	156.4	39.1	20.0	156.0	39.5	20.2
พฤศจิกายน	204.1	172.5	31.5	15.5	169.8	34.3	16.8	166.6	37.4	18.3	166.4	37.7	18.5
ธันวาคม	174.2	154.2	19.9	11.4	152.0	22.2	12.7	150.7	23.4	13.5	150.8	23.4	13.4
รวม	2501.7	2047.0	454.7	18.2	2014.8	486.9	19.5	1967.7	534.1	21.3	1963.0	538.7	21.5
เฉลี่ย/เดือน (kWh)	208.5	170.6	37.9	1.5	167.9	40.6	1.6	164.0	44.5	1.8	163.6	44.9	1.8
ค่าไฟ/kWh	8,780.9	7,184.9	1596.0	18.2	7,071.9	1709.0	19.5	6,906.6	1874.3	21.3	6,890.1	1890.8	21.5

ผลการทดลอง

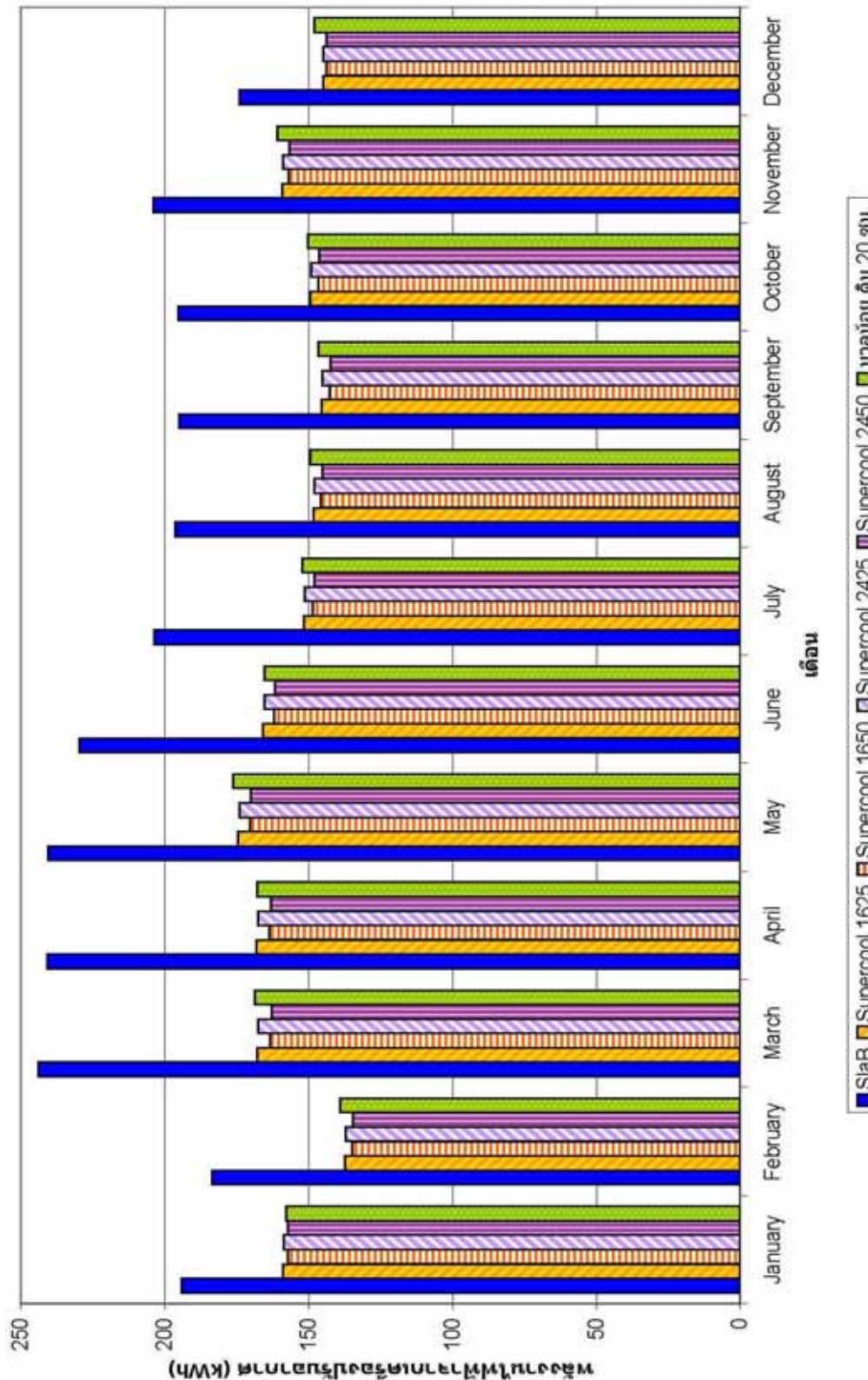
จากแผนภูมิที่ 25 พบว่า ค่าพลังงานไฟฟ้าจากเครื่องปรับอากาศของห้องที่ใช้หลังคาหลักน้ำยอย ดินปููก 20 ซม. จะมีค่าการใช้พลังงานไฟฟ้าน้อยที่สุด รองลงมาคือหลังคาหลักน้ำมาเลเซียดิน 20 ซม. หลังคาหลักน้ำหลักน้อยดิน 10 ซม. และหลังคาหลักน้ำมาเลเซียดิน 10 ซม. ตามลำดับ จากนั้นจึงนำค่าที่ได้ไปคำนวนหาค่าไฟต่อปีต่อ ดังแสดงในตารางที่ 24 (รายละเอียดวิธีคิดค่าไฟ แสดงรายละเอียดในบทที่ 3)

ซึ่งจากการคิดค่าไฟในตารางที่ 24 พบว่า ค่าพลังงานไฟฟ้าจากเครื่องปรับอากาศของห้องที่ใช้หลังคาหลักน้ำหลักน้อย ดินปููก 20 ซม. จะมีค่าการใช้พลังงานไฟฟ้าน้อยที่สุด คือลดลงจากหลังคา ค.ส.ล. 21.5 % ต่อปี รองลงมาคือหลังคาหลักน้ำมาเลเซียดิน 20 ซม. ลดลงจากหลังคา ค.ส.ล. 21.3 % หลังคาหลักน้ำหลักน้อยดิน 10 ซม. ลดลงจากหลังคา ค.ส.ล. 19.5 % และหลังคาหลักน้ำมาเลเซียดิน 10 ซม. ลดลงจากหลังคา ค.ส.ล. 18.2 % ตามลำดับ

สรุปผลการทดลองที่ 4

จากการทดลองแสดงให้เห็นว่า ความลึกของดินปููกเป็นตัวแปรที่สำคัญ เมื่อทำการมีการใช้เครื่องปรับอากาศ โดยสังเกตได้ว่า หลังคาที่มีความลึกดินปููกมากกว่า จะมีค่าการใช้พลังงานไฟฟ้าต่ำกว่า ในขณะที่ การทดลองที่ 3 (กรณีไม่ปรับอากาศ) ค่าดัชนีพื้นที่ใบจะเป็นตัวแปรที่ส่งผลต่อค่าอุณหภูมิในอาคารมากกว่า

5. ผลการทดลองที่ 5 การศึกษาระยะเวลาในการคืนทุนในการใช้ Green roof
เปรียบเทียบกับการใช้จำนวนหลังคาทั่วไป



แผนภูมิที่ 26 เปรียบเทียบค่าไฟฟังงานไฟจากเครื่องปรับอากาศ ของหลังคาที่ใช้ฉนวนคู่ต่างๆ กับหลังคาหูน้ำดูดต่างๆ กับหลังคาหูน้ำดูดต่างๆ ที่
แผนภูมิที่ 26 เปรียบเทียบค่าไฟฟังงานไฟจากเครื่องปรับอากาศ ของหลังคาที่ใช้ฉนวนคู่ต่างๆ กับหลังคาหูน้ำดูดต่างๆ กับหลังคาหูน้ำดูดต่างๆ

จากแผนภูมิที่ 26 จะเห็นได้ว่าค่าพลังงานไฟฟ้าจากเครื่องปรับอากาศของห้องที่ใช้หลังคาหน้าบันน้อย ดินปููก 20 ซม. จะมีค่าไกล์เดียว กับ ห้องที่ใช้ฉนวนที่มีความหนา 1" ดังนั้นเพื่อศึกษาความเหมาะสมในการนำมาใช้ จึงต้องทำการศึกษาเปรียบเทียบความคุ้มทุนต่อไป โดยใช้ข้อมูล ราคา/ตร.ม. จากตารางที่ 25

ตารางที่ 25 เปรียบเทียบราคาค่าวัสดุและค่าแรงติดตั้งต่อตร.ม. ระหว่างการใช้ฉนวนกับการใช้หลังคาปููกหน้า (ดิน 20 ซม.)

ประเภท	ราคา (บาท)/ตร.ม.	รายละเอียด
ฉนวนหนา 1" Density 16 (Kg/m³)	390	ราคารวมงานฝ้าเพดาน
ฉนวนหนา 1" Density 24 (Kg/m³)	425	ราคารวมงานฝ้าเพดาน
ฉนวนหนา 2" Density 16 (Kg/m³)	460	ราคารวมงานฝ้าเพดาน
ฉนวนหนา 2" Density 24 (Kg/m³)	559	ราคารวมงานฝ้าเพดาน
Green roof	5,000	ราคาย่อมากการทั้งระบบ

* หมายเหตุ

1. ราคานะส่วน Green roof เป็น rate มาตรฐานของประเทศสหรัฐอเมริกา
2. ราคานะส่วน คิดรวมงานฝ้าเพดานด้วย
3. ราคาวัสดุทุกประเภท เป็นราคา ณ วันที่ 28 กันยายน 2552

จากตารางที่ 25 จึงได้นำค่าวัสดุและค่าแรงต่อตร.ม. ของหลังคาแต่ละชนิดมาคำนวณหาความคุ้มทุน ดังนี้

การคิดระยะเวลาคืนทุนของ Green roof สามารถคิดได้จากสูตร

$$\text{ระยะเวลาคืนทุน (ปี)} = \frac{\text{Ca}}{\text{Cb} - \text{Cc}}$$

เมื่อ Ca = ต้นทุนของหลังคา Green roof (บาท)

Cb = ค่าไฟฟ้าของอาคารหลังคา ค.ส.ล. ใน 1 ปี (บาท)

Cc = ค่าไฟฟ้าของอาคารที่ใช้ Green roof ใน 1 ปี (บาท)

การคิดระยะเวลาคืนทุนของอาคารที่ใช้จำนวนหลังคา สามารถคิดได้จากสูตร

$$\text{ระยะเวลาคืนทุน (ปี)} = \frac{\text{Ca}}{\text{Cb} - \text{Cc}}$$

เมื่อ Ca = ต้นทุนของจำนวนหลังคา (บาท)

Cb = ค่าไฟฟ้าของอาคารหลังคา ค.ส.ล. ใน 1 ปี (บาท)

Cc = ค่าไฟฟ้าของอาคารที่ใช้จำนวนหลังคาใน 1 ปี (บาท)

โดยต้นทุนของหลังคา คิดจากพื้นที่ของห้องทำงานที่ทำการจำลองด้วย EnergyPlus
คือ $4.00 \times 6.00 \text{ ม.}^2 = 24 \text{ ตร.ม.}$ คูณด้วยราคาต่อ ตร.ม. ของหลังคา และผลตั้งตารางที่ 25

สถาบันฯ ได้จัดทำรายงานที่ 26 เปรียบเทียบค่าพลังงานไฟฟ้าจากเครื่องปฏิรูปอากาศ ของแหล่งพลังงานน้ำธรรมชาติ กับหลังคา Green roof

สรุปผลการทดลองที่ 5

จากตารางที่ 26 จะเห็นว่า หลังคาที่ใช้ชั้นวนหนา 1" Density 16 kg/m³ จะมีระยะเวลาในการคืนทุนสั้นที่สุด คือ 4.2 ปี ส่วนหลังคา Green roof แบบเต็มระบบนั้น มีระยะเวลาคืนทุนถึง 55.2 ปี ซึ่งถือว่านานมาก ซึ่งหากทำ Green roof แบบไม่เต็มระบบมากนัก โดยตัดชั้นที่มีราคาสูงออกบางส่วน และใช้แผ่นหลังคา Solar slab บุเพื่อ遮蔽อย่างน้ำก่อน ตามด้วยระบบกันซึม และชั้นวัสดุปลูก ก็อาจช่วยลดต้นทุนหลังคาลงและทำให้ระยะเวลาคืนทุนสั้นลงได้บ้าง แต่ก็ยังไม่น่าจะคุ้มค่า หากพิจารณาถึงประสิทธิผลในแง่ของการลดการใช้พลังงานไฟฟ้าซึ่งได้ผลใกล้เคียงกับการใช้ชั้นวน แต่ก่อสร้างยากกว่า และมีค่าใช้จ่ายสูงกว่ามาก

แต่สิ่งที่ได้รับกลับมาจากการใช้ Green roof นั้น มีค่ามากกว่าเพียงแค่การดูที่ความคุ้มทุนเท่านั้น หากแต่ยังเป็นการเพิ่มพื้นที่สีเขียวให้กับเมืองและสิ่งแวดล้อม อีกทั้งยังเป็นการเริ่มต้นสร้างจิตสำนึกและเสนอทางเลือกสำหรับการออกแบบที่ช่วยประหยัดพลังงานและลดผลกระทบต่อสิ่งแวดล้อม ซึ่งเป็นสิ่งที่สำคัญที่ต้องคำนึงถึงสำหรับนักออกแบบ สถาปนิก ภูมิสถาปนิก และทุกฝ่ายที่เกี่ยวข้อง นอกจากนี้ค่าใช้จ่ายในการออกแบบเพื่อความงามและประโยชน์ใช้สอยเท่านั้น

บทที่ 5

สรุปผลการวิจัยและข้อเสนอแนะ

1. สรุปผลการวิจัย

จากวัตถุประสงค์ในการศึกษา เกี่ยวกับรูปแบบของหลังคา Green roof ซึ่งหมายความ กับสภาพภูมิอากาศในประเทศไทย โดยศึกษาความหนาของดินปลูกและชนิดของพืชพันธุ์ที่อยู่บน หลังคา ที่มีผลต่ออุณหภูมิภายในห้อง อุณหภูมิผิวใต้เพดาน และการใช้พลังงานปรับอากาศ ภายในอาคาร เพื่อเสนอแนะแนวทางในการออกแบบหลังคา Green roof ให้มีความเหมาะสม

วิธีการวิจัยเริ่มจาก การเก็บรวบรวมข้อมูลจากเอกสารที่เกี่ยวข้อง เพื่อใช้เป็นข้อมูล เป้าหมาย เช่น ทฤษฎีของงานวิจัย ที่เกี่ยวข้องกับ Green roof ทั้งในประเทศไทยและต่างประเทศ และ ศึกษาข้อมูลตัวอย่าง จากอาคารกรณีศึกษา จากนั้นจึงกำหนดตัวแปรที่ใช้ในการวิจัย และกำหนด วิธีการทดลอง คือ ทำการสร้างห้องจำลอง Green roof เพื่อทำการเก็บข้อมูลจริง และทำการจำลอง Green Roof ด้วยโปรแกรม EnergyPlus

ซึ่งจากการทดลองในบทที่ 4 สามารถสรุปผลได้ดังนี้

การทดลองที่ 1 การศึกษาประสิทธิภาพในการใช้หลังคาปลูกต้นไม้ในการป้องกันความร้อน เข้าสู่อาคารผ่านทางหลังคา กรณีไม่ปรับอากาศ ทดลองโดยการสร้างกล่องทดลองจริง

จากการศึกษาพบว่า การใช้หลังคาปลูกต้นไม้กับอาคารที่ไม่มีการใช้เครื่องปรับอากาศ สามารถช่วยลดอุณหภูมิผิวใต้หลังคาและอุณหภูมิอากาศภายในอาคารในช่วงเวลากลางวันได้ ดีกว่าหลังคา ค.ส.ล. ซึ่งหลังคาที่มีค่าอุณหภูมิต่ำที่สุดคือ หลังคาหญ้านานาชนิด ดินปลูก 10 ซม. มี ค่าอุณหภูมิผิวใต้หลังคาเฉลี่ยในช่วงเวลากลางวัน ลดลงไปถึง 7.3°C หรือประมาณ 23.7% ส่วน ค่าอุณหภูมิอากาศภายในเฉลี่ยลดลงไป 2.4°C หรือประมาณ 8.5%

ส่วนในเวลากลางวันคืนนั้นหลังคา ค.ส.ล. จะมีอุณหภูมิผิวใต้หลังคา และอุณหภูมิ อากาศภายในอาคารต่ำกว่าหลังคาปลูกต้นไม้ทุกชนิด

และเมื่อนำหลังคาปลูกหญ้าทั้ง 3 ชนิด คือ หลังคาหญ้ามาเลเซีย ดินปลูก 10 ซม. หลังคาหญ้านานาชนิด ดินปลูก 10 ซม. และหลังคาหญ้ามาเลเซีย ดินปลูก 20 ซม. มาเปรียบเทียบ

กัน พบว่า หลังคาหอยานวน้อย ดินปลูก 10 ซม. มีค่าเฉลี่ยอุณหภูมิพิวต์หลังคาและอุณหภูมิอากาศภายใน ต่ำที่สุด

ดังนั้นจากการทดลอง สรุปได้ว่า การใช้สิ่งปลูกหลัง ชั้น หอย จะช่วยป้องกันความร้อนให้กับผู้ดินได้ดี หอยหรือพืชคลุมดินจะเป็นเสมือนฉนวนป้องกันความร้อนให้กับผู้ดิน และส่งผลให้อุณหภูมิพิวต์หลังคาอาคาร และอุณหภูมิอากาศภายในอาคารลดต่ำลง

นอกจากนี้เมื่อดูจากการทดลอง พบว่า ค่าดัชนีพื้นที่ใบพืช (Leaf Area Index) เป็นตัวแปรที่มีความสำคัญต่อการลดความร้อนที่จะเข้าสู่อาคาร เนื่องจากใบพืชที่มีความหนาแน่นมากกว่า สามารถให้ร่มเงา กับอาคารได้ดีกว่า เป็นการช่วยลดความร้อนจากแสงอาทิตย์ ส่วนค่าความลึกของดินปลูกมีส่วนในการป้องกันความร้อนที่จะเข้าสู่อาคารได้ดีเช่นกัน แต่เมื่อดูจากการทดลองแล้ว พบว่า ประสิทธิผลของหลังคาหอยที่มีค่า LAI มากกว่า สามารถลดอุณหภูมิพิวภัยในได้มากกว่าหลังคาหอยที่มีค่า LAI เท่ากัน แต่มีดินปลูกหนากว่า

การทดลองที่ 2 การศึกษาประสิทธิผลจากการใช้โปรแกรม EnergyPlus ในการจำลองหลังคาปลูกต้นไม้ เพื่อเปรียบเทียบกับการใช้กล่องทดลองจริง

จากการทดลองที่ 1 เมื่อนำมาศึกษาต่อโดยทำการจำลองด้วยโปรแกรม EnergyPlus เพื่อเปรียบเทียบผลการทดลอง พบว่า

จากการใช้โปรแกรม EnergyPlus ในการจำลอง ได้ผลใกล้เคียงกับการใช้กล่องทดลองจริงพอสมควร โดยเฉพาะค่าอุณหภูมิพิวต์หลังคาและค่าอุณหภูมิอากาศภายใน ในช่วงเวลากลางวัน (9.00-18.00 น.) จะมีค่าใกล้เคียงกับกล่องทดลองจริงมาก โดย หลังคา ค.ส.ล. จะมีค่าความแตกต่างกันมากที่สุดเฉลี่ยในช่วงเวลากลางวัน ไม่เกิน 1.7°C หรือ 5.5% เท่านั้น

ในส่วนของค่าอุณหภูมิพิวภัยนอกเฉลี่ย ของกล่องหลังคาทั้ง 4 ชนิด จะมีค่าอุณหภูมิที่ได้จากการกล่องทดลองจริงและ EnergyPlus ต่างกันมากกว่าค่าอุณหภูมิพิวต์หลังคาและค่าอุณหภูมิอากาศภายในกล่อง โดยจะมีความแตกต่างกันมากที่สุด เฉลี่ยในช่วงเวลากลางวัน ไม่เกิน 2.5°C หรือ 8.4%

ซึ่งสาเหตุที่ค่าอุณหภูมิพิวภัยนอกของหลังคา เมื่อเปรียบเทียบระหว่างกล่องทดลองจริงกับ EnergyPlus มีความแตกต่างกันมากกว่าค่าอุณหภูมิพิวต์หลังคาและค่าอุณหภูมิอากาศภายนอก เพราะในกล่องทดลองจริงนั้นได้ทำการวัดอุณหภูมิพิวภัยนอกที่บริเวณผิวหลัง

ชิ่งปลายสายที่วัดอาจได้รับร่วมมาจากใบหญ้า ซึ่งไม่สามารถระบุได้ว่าโปรแกรม EnergyPlus นั้นได้มีการคำนวณในส่วนนี้หรือไม่

แต่เนื่องจากในการศึกษาครั้งนี้เป็นการศึกษาประสิทธิผลของการใช้ Green roof เพื่อลดความร้อนและการใช้พลังงานภายในอาคาร ดังนั้นจึงนำจะมุ่งเน้นไปที่ค่าอุณหภูมิที่เกิดขึ้นภายในห้องเป็นหลัก ซึ่งเมื่อเปรียบเทียบค่าอุณหภูมิผิวใต้หลังคา กับอุณหภูมิอากาศภายในระหว่างกล่องทดลองจริงกับการจำลองด้วยโปรแกรม EnergyPlus แล้ว มีค่าใกล้เคียงกันมาก คือ มีค่าความแตกต่างกันไม่เกิน 5.5% เท่านั้น

ดังนั้นจึงสรุปได้ว่า การใช้โปรแกรม EnergyPlus 在การจำลอง Green roof ได้ผลใกล้เคียงกับการใช้กล่องทดลองจริงมากพอสมควร จึงน่าจะสามารถนำโปรแกรม EnergyPlus ไปใช้ในการศึกษาประสิทธิผลของ Green roof ต่อไปได้

การทดลองที่ 3 การศึกษาประสิทธิผลในการใช้หลังคาปลูกต้นไม้ในการป้องกันความร้อนเข้าสู่อาคารผ่านทางหลังคา โดยการใช้โปรแกรม EnergyPlus

จากการจำลองห้องทำงานในอาคารสำนักงาน ด้วยโปรแกรม EnergyPlus เพื่อศึกษาอิทธิพลของตัวแปรในการป้องกันความร้อนเข้าสู่อาคารผ่านทางหลังคา ในกรณีอาคารไม่ปูรับอากาศ พบร่วม

หลังคาหน้าบานวนน้อยซึ่งมีค่าดัชนีพื้นที่ใบมากกว่าหลังคาหน้าบานมาเลเซีย สามารถลดอุณหภูมิที่ผิวหลังคาภายในออกได้ดีที่สุด ในช่วงเวลากลางวัน (9.00-18.00 น.) ของทั้ง 3 เดือน ซึ่งอาจเป็นเพรากการมีร่มเงาของใบมากกว่า ทำให้สามารถสร้างร่มเงาให้กับผิวหลังคาด้านนอก ทำให้มีค่าอุณหภูมิผิวด้านนอกต่ำกว่าหลังคาชนิดอื่นๆ ดังนั้นปริมาณและขนาดของใบจึงเป็นตัวแปรที่สำคัญสำหรับการลดอุณหภูมิผิวภายนอกของหลังคา

ส่วนของค่าอุณหภูมิผิวใต้หลังคานั้นพบว่า หลังคาหน้าบานวนน้อยซึ่งมีค่าดัชนีพื้นที่ใบมากกว่าหลังคาหน้าบานมาเลเซีย สามารถลดอุณหภูมิที่ผิวใต้หลังคากลับได้ดีที่สุด ในช่วงเวลากลางวัน (9.00-18.00 น.) ของทั้ง 3 เดือน แต่จะมีตัวแปรในเรื่องความลึกของดินปลูกเข้ามาเกี่ยวข้อง คือ ในเดือนเมษายน ซึ่งเป็นฤดูร้อน และเดือนสิงหาคม ซึ่งเป็นฤดูฝน หลังคาหน้าบานวนน้อยที่มีความลึกดินปลูก 20 ซม. จะมีค่าอุณหภูมิเฉลี่ย 3 วัน ต่ำกว่าความลึกดินปลูก 10 ซม. ส่วนในเดือนธันวาคม ซึ่งเป็นฤดูหนาว หลังคาหน้าบานวนน้อยที่มีความลึกดินปลูก 10 ซม. จะมีค่าอุณหภูมิเฉลี่ย 3 วัน ต่ำกว่าหลังคาหน้าบานวนน้อยที่มีความลึกดินปลูก 20 ซม.

ในส่วนค่าอุณหภูมิอากาศภายในน้ำแข็ง เช่น กัน หลังจากน้ำแข็งละลายชั่วคราว มีค่าตัดชนีพื้นที่ ใบมากกว่าหลังจากน้ำแข็งมาเลเซีย สามารถลดอุณหภูมิอากาศภายในห้องได้ดีที่สุด เช่นเดียวกัน

ดังนั้นจึงพอสรุปได้ว่า สำหรับอาคารที่ไม่ปรับอากาศ ในกรณีที่ดินปลูกลึกเท่ากัน หลังคาหก้านวน้อย ซึ่งมีค่าดัชนีพื้นที่ใบ (Leaf area index) มากกว่าหก้ามalleziey ในกรณีที่ดินปลูกลึกเท่ากัน สามารถลดอุณหภูมิภายในอาคารได้ดีกว่า ส่วนความลึกของดินปลูกที่เพิ่มขึ้นในกรณีหก้านนิดเดียวกัน เป็นตัวแปรที่ช่วยเสริมการลดอุณหภูมิภายในอาคารให้ดีขึ้น

การทดลองที่ 4 การศึกษาประสิทธิผลในการนำหลังคาปูลูกตันไม้มาใช้ในการลดการใช้พลังงานไฟฟ้าจากเครื่องปรับอากาศ โดยการจำลองด้วยโปรแกรม Energyplus

จากการจำลองห้องทำงานในอาคารสำนักงาน ด้วยโปรแกรม EnergyPlus เพื่อศึกษา
อิทธิพลของตัวแปรในการป้องกันความร้อนเข้าสู่อาคารผ่านทางหลังคา ในกรณีอาคารปรับอากาศ
พบว่า

ซึ่งจากการคิดค่าไฟ พบว่าค่าพลังงานไฟฟ้าจากเครื่องปรับอากาศของห้องที่ใช้หลังคาหน้าบันน้อย ดินปูลูก 20 ซม. จะมีค่าการใช้พลังงานไฟฟ้าน้อยที่สุด คือลดลงจากหลังคา ค.ส.ล. 21.5 % ต่อปี รองลงมาคือหลังคาหน้าบันมาเลเชียดิน 20 ซม. ลดลงจากหลังคา ค.ส.ล. 21.3 % หลังคาหน้าบันน้อยดิน 10 ซม. ลดลงจากหลังคา ค.ส.ล. 19.5 % และหลังคาหน้าบันมาเลเชียดิน 10 ซม. ลดลงจากหลังคา ค.ส.ล. 18.2 % ตามลำดับ

ดังนั้นจึงสรุปได้ว่า ความลึกของдинปลูกเป็นตัวแปรที่สำคัญ เมื่ออาคารมีการใช้เครื่องปรับอากาศ โดยสังเกตได้ว่า กรณีที่ปลูกพีชนิดเดียว กัน หลังคาที่มีความลึกдинปลูกมากกว่า จะมีค่าการใช้พลังงานไฟฟ้าต่ำกว่า ในขณะที่หากเป็นอาคารที่ไม่มีการปรับอากาศ ค่าดัชนีพื้นที่ใบจะเป็นตัวแปรที่ส่งผลต่อค่าอุณหภูมิในอาคารมากกว่า (ดังผลการทดลองที่ 3)

การทดลองที่ 5 การศึกษาระยะเวลาในการคืนทุนในการใช้หลังคาปูกลังตันไม้เบรียบเทียบกับการใช้ชั้นวนหลังคาทั่วไป

จากผลการศึกษาเบรียบเทียบหลังคาหูยานวนน้อย ดินปูกลุง 20 ซม. กับการใช้ชั้นวนหุ้มอลูมิเนียมฟอยล์ หนา 1" ค่า Density 16 Kg/m³ และ 24 Kg/m³ และ ชนวนหนา 2" ค่า Density 16 Kg/m³ และ 24 Kg/m³ พบร่วมหลังคาที่ใช้ชั้นวนหนา 1" ค่า Density 16 Kg/m³ จะมีระยะเวลาในการคืนทุนสั้นที่สุด คือ 4.2 ปี ส่วนหลังคา Green roof นั้น มีระยะเวลาคืนทุนถึง 55.2 ปี ซึ่งถือว่านานมาก และไม่น่าจะคุ้มค่า หากพิจารณาถึงประสิทธิผลในแง่ของการลดการใช้พลังงานไฟฟ้าซึ่งได้ผลใกล้เคียงกับการใช้ชั้นวน หนา 1" แต่มีค่าใช้จ่ายสูงกว่ามาก

แต่จากที่ได้กล่าวไปแล้วว่า สิ่งที่ได้รับกลับมาจากการใช้ Green roof นั้น มีค่ามากกว่าเพียงแค่การดูที่ความคุ้มทุนเท่านั้น แต่ยังเป็นการเพิ่มพื้นที่สีเขียวให้กับเมืองและสิ่งแวดล้อม อีกทั้งยังเป็นการเริ่มต้นสร้างจิตสำนึกรักษาสิ่งแวดล้อม ซึ่งเป็นสิ่งที่สำคัญที่ต้องคำนึงถึงสำหรับนักออกแบบ สถาปนิก ภูมิสถาปนิก และทุกฝ่ายที่เกี่ยวข้อง

สรุป

จากสมมุติฐานในการวิจัย ที่ตั้งไว้ว่า หลังคาดادฟ้าอาคารที่มีการใช้พื้นที่และดินปูคลุม จะมีค่าอุณหภูมิที่ผิวสัมผัสต่ำกว่าภายนอกและภายใน และค่าอุณหภูมิอากาศภายในอาคารต่ำกว่าหลังคาดادฟ้า ค.ส.ล. นั้น พบร่วมได้ผลการวิจัยสอดคล้องกับสมมุติฐานข้างต้น

โดยในกล่องทดลองที่ปูกลุงหูยานิดเดียวัน หลังคาที่มีความลึกดินปูกลุงมากกว่า จะมีค่าอุณหภูมิผิวใต้หลังคาและอุณหภูมิอากาศภายในอาคารต่ำกว่าหลังคาที่มีชั้นความลึกดินปูกลุงน้อยกว่า แต่หากเป็นการปูกลุงหูยานิดเดียวัน แต่ปูกลุงในดินที่มีความลึกเท่ากัน หูยานที่มีความหนาแน่นของใบมากกว่า จะมีผลทำให้อุณหภูมิผิวใต้หลังคาต่ำกว่า

ซึ่งจากการทดลองพบว่า ความหนาแน่นใบพืช และความลึกของดินปูกลุง นอกจากจะมีส่วนสำคัญต่อการลดความร้อนที่จะเข้าสู่อาคารแล้ว ยังมีผลต่อการลดการใช้พลังงานไฟฟ้าในการปรับอากาศอีกด้วย

ดังนั้น การมีวัสดุปูคลุมหลังคาอาคาร ซึ่งเบรียบเสมือนเป็นการเพิ่มมวลสารและเป็นชนวนป้องกันความร้อนให้แก่หลังคา ยังผลให้อุณหภูมิผิวด้านใต้หลังคาต่ำกว่าอาคารที่ปราศจากสิ่งปูคลุม ซึ่งการใช้สิ่งปูคลุมดิน เช่น หูยาน จะช่วยป้องกันความร้อนให้กับผิวดิน เมื่อผิวดินมี

ความเย็นจะมีการเหนี่ยวความเย็นลงสู่ดิน หลังจากนั้นจะเป็นเสื่อมจนวนป้องกันความร้อนให้กับผู้คน และส่งผลให้อุณหภูมิผิวต้านล่างหลังคากาลดต่ำลง

จึงสรุปได้ว่า หลังคางูที่มีค่าดัชนีพื้นที่ใบมาก สามารถลดอุณหภูมิภายในอาคารได้ดีกว่าในช่วงเวลากลางวัน ดังนั้น Green roof ที่เหมาะสมกับอาคารที่มีการใช้งานในช่วงเวลานี้ และตั้งอยู่ในภูมิอากาศแบบร้อนชื้น เช่น ประเทศไทย น่าจะปลูกพืชคลุมดินที่มีใบหนาแน่น และประเภทอาคารที่เหมาะสมที่จะใช้งาน Green roof น่าจะเป็นอาคารที่มีการใช้เครื่องปรับอากาศ ที่มีการใช้งานในช่วงเวลากลางวันมากกว่ากลางคืน เช่น อาคารสำนักงาน อาคารเรียนในมหาวิทยาลัย เป็นต้น

2. การนำผลการวิจัยไปประยุกต์ใช้ในงานออกแบบ

1. การใช้พืชที่มีค่าดัชนีพื้นที่ใบ (Leaf Area Index) สูงสามารถช่วยป้องกันความร้อนเข้าสู่อาคารได้ดีกว่าพืชที่มีค่าดัชนีพื้นที่ใบต่ำ ดังนั้นในการออกแบบ Green roof จึงควรเลือกใช้พืชคลุมดินที่มีพื้นที่ใบหนาแน่น

2. การออกแบบ Green roof ให้มีความลึกดินปลูกสูง สามารถช่วยลดอุณหภูมิอากาศภายในอาคารได้ดี เนื่องจากเป็นการหน่วงเหนี่ยวความร้อนให้เข้าสู่อาคารได้ช้าลง แต่ในทางกลับกันดินปลูกที่หนา ทำให้ความร้อนภายในออกสู่ภายนอกอาคารได้ช้าในเวลากลางคืน ดังนั้นการนำไปใช้กับอาคารประเภทที่มีการใช้งานในช่วงเวลากลางคืนจึงอาจไม่เหมาะสม

3. อาคารที่มีการใช้งานเครื่องปรับอากาศในเวลากลางวัน เหมาะสมที่จะใช้ หลังคางreen roof ที่มีความลึกดินปลูกสูง เพื่อช่วงหน่วงความร้อนที่จะเข้ามาในอาคารผ่านทางหลังคา เป็นการช่วยลดภาระการทำงานทำความเย็นของเครื่องปรับอากาศได้อีกทางหนึ่ง

3. ข้อจำกัดในการวิจัย

1. การทดลองกับกล่องทดลองจริง มีข้อจำกัดในเรื่องสถานที่ตั้งกล่องทดลอง ซึ่งมีพื้นที่จำกัด ทำให้ไม่สามารถตั้งกล่องให้ห่างกันในระยะที่ไม่เกิดการบังเงากันได้ 100%

2. อุปกรณ์ Data Logger และสายสัญญาณ มีจำนวนจำกัด ทำให้ไม่สามารถเพิ่มจำนวนกล่องเพื่อเปรียบเทียบตัวแปรอื่นๆ ให้มากขึ้น

3. ระยะเวลาที่ทำการทดลองกล่องทดลองจริง อยู่ในช่วงเดือน มกราคม พ.ศ. 2552 ดังนั้นผลที่ได้จึงเป็นข้อมูลในช่วงเวลาดังกล่าว

4. ข้อเสนอแนะ

1. ใน การศึกษาครั้งนี้ เป็นการจำลองอาคารด้วยกล่องทดลองขนาด $1.20 \times 1.20 \times 1.20$ ม. และห้องขนาด $4.00 \times 6.00 \times 3.00$ ม. ด้วยโปรแกรม EnergyPlus เท่านั้น ซึ่งในการศึกษาครั้งต่อไปอาจทำการทดสอบกับอาคารจริง หรือจำลองอาคารทั้งหลัง เพื่อเปรียบเทียบผลที่ได้ว่ามีความแตกต่างกันมากน้อยเพียงใด
2. ใน การวิจัยครั้งนี้ กำหนดค่าความลึกดินปลูก ที่ 0.10 ม. และ 0.20 ม. เท่านั้น ใน การศึกษาต่อไป อาจทำการทดลองกับความลึกดินปลูกที่แตกต่างกันมากขึ้น เพื่อศึกษาอิทธิพลของความลึกดินปลูกกับการป้องกันความร้อนเข้าสู่อาคาร
3. ใน การศึกษาต่อไป อาจทำการศึกษาเรื่อง ด้านพื้นที่ใบ ที่แตกต่างกันมากขึ้น
4. ใน การศึกษาครั้งต่อไปอาจทดสอบเรื่อง อิทธิพลของความชื้นจากดิน
5. ควรทำการทดสอบกับอาคารที่อยู่ในสภาพแวดล้อมที่แตกต่างกัน
6. ควรทำการทดลองในช่วงระยะเวลาที่เป็นฤดูอื่นๆ

บรรณานุกรม

ภาษาไทย

- กนกวนิช สุธีธร. หลังคาเขียว ทางเลือกเพื่อการกำจัดน้ำฝน, คณะสถาปัตยกรรมศาสตร์ จุฬาลงกรณ์มหาวิทยาลัย, 2548.
- กัตติกา กิตติประสาร. การจัดวางและออกแบบองค์ประกอบในภูมิทัศน์เพื่อการประดับพลังงานในอาคาร. กรุงเทพมหานคร: กองอนุรักษ์พลังงานทดแทน สำนักงานคณะกรรมการนโยบายพลังงานแห่งชาติ, 2545.
- พชร เลิศปิติวัฒนา. “การออกแบบสวนหลังคาในกรุงเทพมหานคร.” วิทยานิพนธ์ ปริญญา มหาบัณฑิต จุฬาลงกรณ์มหาวิทยาลัย, 2547.
- ณัฏฐ์จิณี นวลสกุล. “การเปรียบเทียบศักยภาพของการป้องกันความร้อนระหว่างการใช้สวนหลังคากับระบบหลังคาที่ใช้กันทั่วไป.” วิทยานิพนธ์ ปริญญา มหาบัณฑิต จุฬาลงกรณ์มหาวิทยาลัย, 2545.
- ศุภกิจ ยิ่งศรีวัล. “การใช้สวนหลังคาเพื่อลดการถ่ายเทความร้อน.” วิทยานิพนธ์ ปริญญา มหาบัณฑิต จุฬาลงกรณ์มหาวิทยาลัย, 2541.
- สิน พนัญพินิจ. การจัดการสนับสนุนหลังคากลางแจ้ง. กรุงเทพมหานคร: รวมสาสน์, 2535.
- สุดสวัสดิ์ ศรีสถาปัตย์. การออกแบบวัสดุพืชพันธุ์และการประดับพลังงาน. กรุงเทพมหานคร: ภาควิชาภูมิสถาปัตยกรรม จุฬาลงกรณ์มหาวิทยาลัย, 2530.
- อรพิน เกิดชูชื่น และ ผ่องพรรณ พุทธาโร, “อิทธิพลของปัจจัยเรียบและแอมโมเนียมซัลเฟต ต่อ growth rate, leaf area index และ net assimilation rate ของข้าวเจ้าหอมพันธุ์ปทุมธานี 1” วารสารวิจัยและพัฒนา มจธ. 5, 3 (กรกฎาคม-กันยายน, 2545).

ភាសាអង់គ្លេស

- American Society of Heating. ASHRAE Applications Handbook. Atlanta Georgia: I-P ed. (n.p.), 1995.
- Earth Pledge. Green Roof Ecological Design and Construction, USA : A Shiffer Publishing Ltd & Design, 2005.
- O. Robinette, Gary. Landscape planning for Energy Conservation, New York: Van Nostrand Reinhold Company, 1983.
- Johnston, Jacklyn, and Newton, John. Building Green a guide to using plants on roofs walls and pavements, London: Ecology Unit, 1993.
- Theodore Osmundson. The Changing Technique of Roof Garden Design. New York: W.W. Norton & Company, 1999.

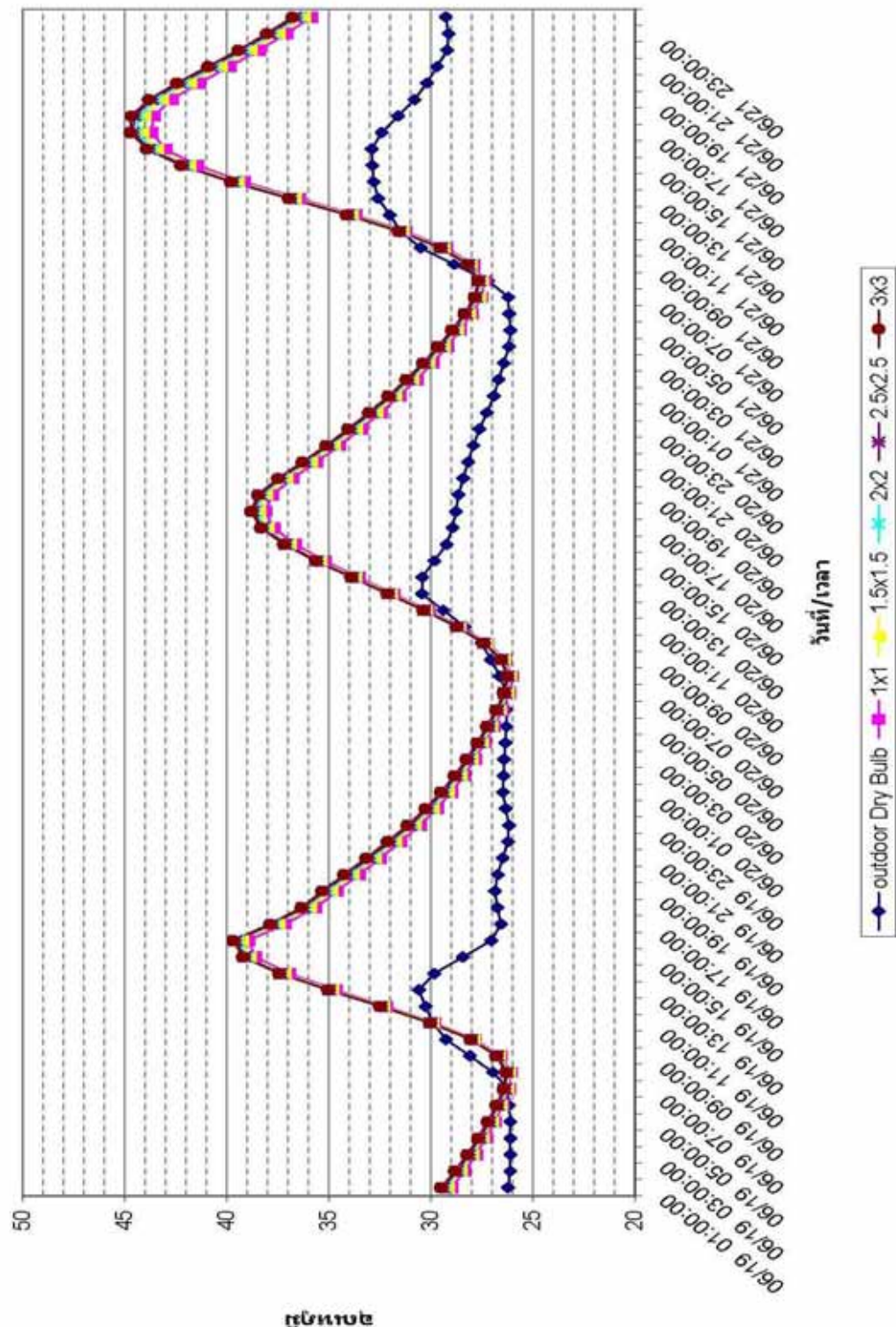
Website

- Green Roof [online], Accessed 16 November 2007.
 Available from www.greenroof.com
- Green Roof [online], Accessed 1 February 2008.
 Available from th.wikipedia.org/wiki/អត់កាត់ខីយា
- Leaf area index [online], Accessed 26 September 2007.
 Available from <http://www.gardenwithinsight.com/help100/00000424.htm>

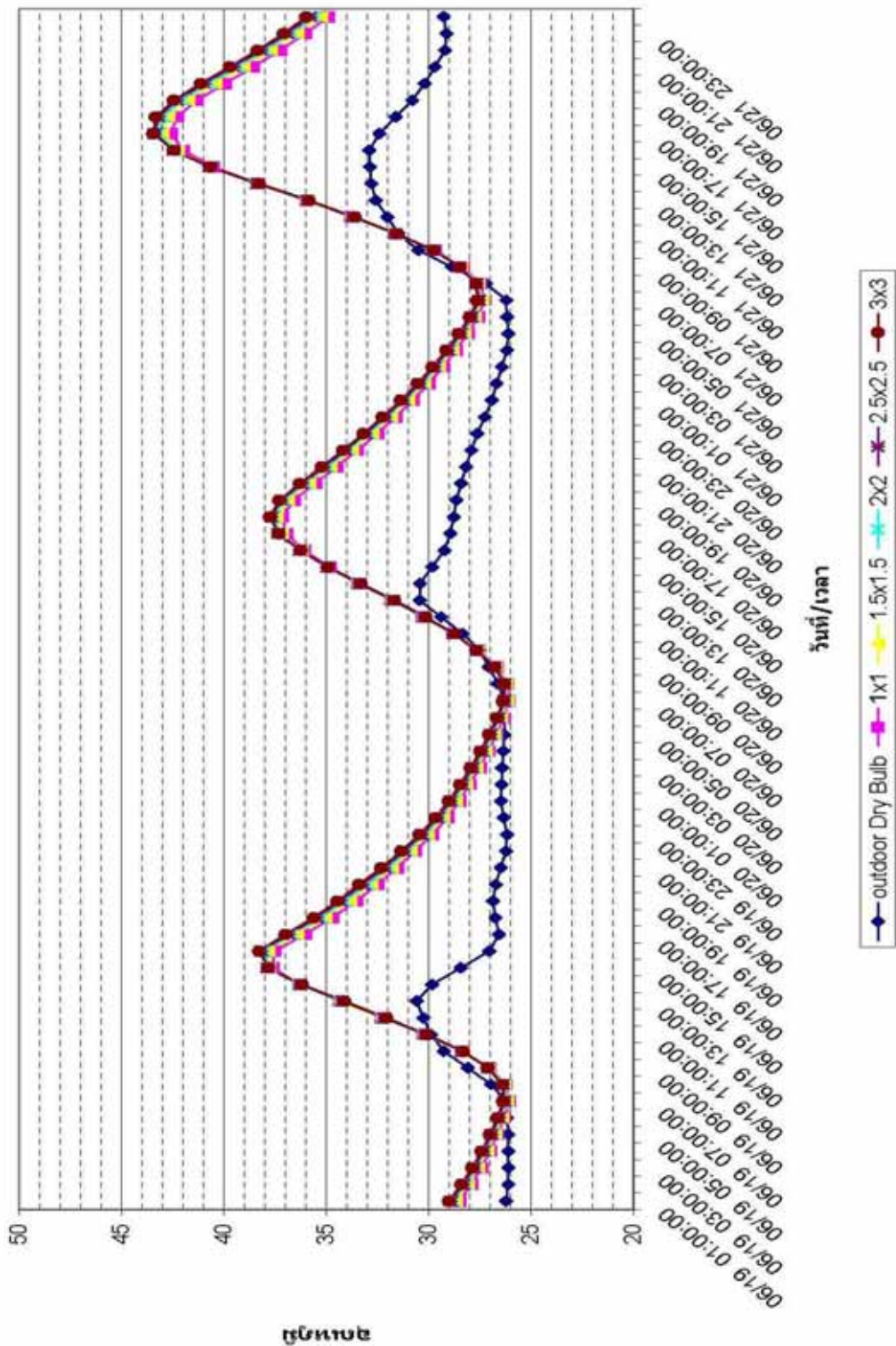
ภาคผนวก

ผลการทดสอบเรื่องขนาดของกล่องทดลองมีผลต่ออุณหภูมิภายในกล่องหรือไม่
 (ทดสอบด้วยโปรแกรม EnergyPlus)

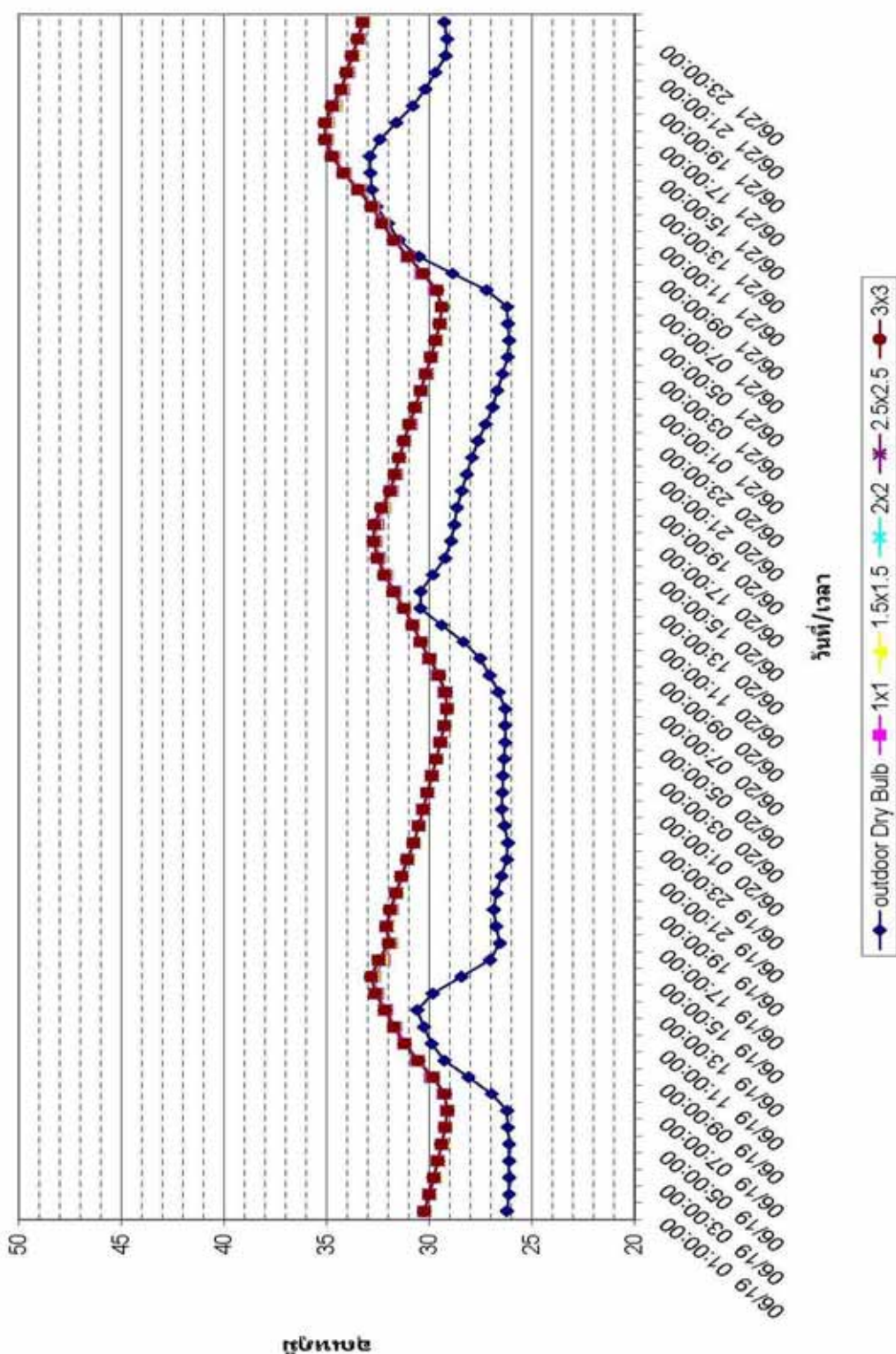
แผนภูมิเปรียบเทียบอุณหภูมิผิวได้หลังค่า ค.ส.ล. ของกล่องทดลองขนาดต่างๆ



แผนภูมิเปรียบเทียบอุณหภูมิอากาศภายในกล่องหลังคา ค.ส.ล. ของกล่องทดลองขนาดต่างๆ



แผนภูมิเปรียบเทียบอุณหภูมิอากาศภายในกล่องหลังคาหน้าต่าง 10 ซม. (LAI = 2) ของกล่องที่ทดลองขนาดต่างๆ



ตัวอย่างรายละเอียดการป้อนข้อมูลในโปรแกรม EnergyPlus (ชุดการทดลองที่ 3)

!- ===== ALL OBJECTS IN CLASS: VERSION =====

VERSION,

2.2; !- Version Identifier

!- ===== ALL OBJECTS IN CLASS: BUILDING =====

BUILDING,

Cell Test, !- Building Name

0, !- North Axis {deg}

City, !- Terrain

0.04, !- Loads Convergence Tolerance Value

0.4, !- Temperature Convergence Tolerance Value {deltaC}

FullExterior, !- Solar Distribution

25; !- Maximum Number of Warmup Days

!- ===== ALL OBJECTS IN CLASS: TIMESTEP IN HOUR =====

TIMESTEP IN HOUR,

6; !- Time Step in Hour

!- ===== ALL OBJECTS IN CLASS: INSIDE CONVECTION ALGORITHM =====

INSIDE CONVECTION ALGORITHM,

Detailed; !- Algorithm

!- ===== ALL OBJECTS IN CLASS: OUTSIDE CONVECTION ALGORITHM
 =====

OUTSIDE CONVECTION ALGORITHM,

Detailed; !- Algorithm

!- ===== ALL OBJECTS IN CLASS: SOLUTION ALGORITHM =====

SOLUTION ALGORITHM,

CTF; !- SolutionAlgo

!- ===== ALL OBJECTS IN CLASS: RUN CONTROL =====

RUN CONTROL,

No, !- Do the zone sizing calculation

No, !- Do the system sizing calculation

No, !- Do the plant sizing calculation

No, !- Do the design day simulations

Yes; !- Do the weather file simulation

!- ===== ALL OBJECTS IN CLASS: RUNPERIOD =====

RunPeriod,

1, !- Begin Month

1, !- Begin Day Of Month

12, !- End Month

31, !- End Day Of Month

UseWeatherFile, !- Day Of Week For Start Day

Yes, !- Use WeatherFile Holidays/Special Days

Yes, !- Use WeatherFile DaylightSavingPeriod

No, !- Apply Weekend Holiday Rule

Yes, !- Use WeatherFile Rain Indicators

Yes, !- Use WeatherFile Snow Indicators

1; !- Number of times runperiod to be done

!- ===== ALL OBJECTS IN CLASS: LOCATION =====

Location,

Bangkok,	!- LocationName
13.92,	!- Latitude {deg}
100.6,	!- Longitude {deg}
7,	!- TimeZone {hr}
12;	!- Elevation {m}

!- ===== ALL OBJECTS IN CLASS: MATERIAL:REGULAR =====

MATERIAL:REGULAR,

F07 25mm stucco,	!- Name
Smooth ,	!- Roughness
0.0254,	!- Thickness {m}
0.72,	!- Conductivity {W/m-K}
1856,	!- Density {kg/m3}
840,	!- Specific Heat {J/kg-K}
0.9,	!- Absorptance:Thermal
0.8,	!- Absorptance:Solar
0.7;	!- Absorptance:Visible

MATERIAL:REGULAR,

M14a 100mm heavyweight concrete,	!- Name
MediumRough,	!- Roughness
0.1016,	!- Thickness {m}
1.95,	!- Conductivity {W/m-K}
2240,	!- Density {kg/m3}
900,	!- Specific Heat {J/kg-K}

0.9,	!- Absorptance:Thermal
0.7,	!- Absorptance:Solar
0.7;	!- Absorptance:Visible

MATERIAL:REGULAR,

TH05-A-Brick-dry-plaster-cement-tile,	!- Name
Smooth,	!- Roughness
0.1,	!- Thickness {m}
0.807,	!- Conductivity {W/m-K}
1760,	!- Density {kg/m3}
837,	!- Specific Heat {J/kg-K}
0.9,	!- Absorptance:Thermal
0.7,	!- Absorptance:Solar
0.5;	!- Absorptance:Visible

MATERIAL:REGULAR,

TH06-Concrete,	!- Name
Smooth,	!- Roughness
0.1,	!- Thickness {m}
1.442,	!- Conductivity {W/m-K}
2400,	!- Density {kg/m3}
920,	!- Specific Heat {J/kg-K}
0.9,	!- Absorptance:Thermal
0.7,	!- Absorptance:Solar
0.5;	!- Absorptance:Visible

MATERIAL:REGULAR,

G06 50mm wood,	!- Name
MediumSmooth,	!- Roughness

0.0508, !- Thickness {m}
 0.15, !- Conductivity {W/m-K}
 608, !- Density {kg/m3}
 1630; !- Specific Heat {J/kg-K}

!- ===== ALL OBJECTS IN CLASS: MATERIAL:REGULAR-R =====

MATERIAL:REGULAR-R,

Tile: asphalt - linoleum - vinyl - rubber, !- Name
 MediumSmooth, !- Roughness
 0.009; !- Thermal Resistance {m2-K/W}

!- ===== ALL OBJECTS IN CLASS: MATERIAL:WINDOWGLASS

=====

MATERIAL:WINDOWGLASS,

CLEAR 6MM, !- Name
 SpectralAverage, !- Optical Data Type
 , !- Name of Window Glass Spectral Data Set
 0.006, !- Thickness {m}
 0.775, !- Solar Transmittance at Normal Incidence
 0.071, !- Solar Reflectance at Normal Incidence: Front Side
 0.071, !- Solar Reflectance at Normal Incidence: Back Side
 0.881, !- Visible Transmittance at Normal Incidence
 0.080, !- Visible Reflectance at Normal Incidence: Front Side
 0.080, !- Visible Reflectance at Normal Incidence: Back Side
 0.0, !- IR Transmittance at Normal Incidence
 0.84, !- IR Hemispherical Emissivity: Front Side
 0.84, !- IR Hemispherical Emissivity: Back Side
 0.9; !- Conductivity {W/m-K}

!- ===== ALL OBJECTS IN CLASS: MATERIAL:ECOROOF =====

MATERIAL:ECOROOF,

BaseEco,	!- Name
0.1,	!- Height of Plants {m}
2.5,	!- Leaf Area Index {dimensionless}
0.2,	!- Leaf Reflectivity {dimensionless}
0.95,	!- Leaf Emissivity
180,	!- Minimum Stomatal Resistance (s/m)
EcoRoofSoil,	!- Name Of the Soil Layer
MediumSmooth,	!- Roughness
0.1,	!- Thickness {m}
0.4,	!- Conductivity (dry soil) {W/m-K}
641,	!- Density (dry soil) {kg/m3}
1100,	!- Specific Heat (dry soil) {J/kg-K}
0.95,	!- Absorptance:Thermal
0.6,	!- Absorptance:Solar
0.7,	!- Absorptance:Visible
0.4,	!- Max volumetric moisture content of the soil layer (saturation)
0.01,	!- Min (residual) volumetric moisture content of the soil layer
0.2;	!- Initial volumetric moisture content of the soil layer

MATERIAL:ECOROOF,

HiLAI,	!- Name
0.1,	!- Height of Plants {m}
4.2,	!- Leaf Area Index {dimensionless}
0.2,	!- Leaf Reflectivity {dimensionless}
0.95,	!- Leaf Emissivity
180,	!- Minimum Stomatal Resistance (s/m)
EcoRoofSoil,	!- Name Of the Soil Layer

MediumSmooth,	!- Roughness
0.1,	!- Thickness {m}
0.4,	!- Conductivity (dry soil) {W/m-K}
641,	!- Density (dry soil) {kg/m3}
1100,	!- Specific Heat (dry soil) {J/kg-K}
0.95,	!- Absorptance:Thermal
0.6,	!- Absorptance:Solar
0.7,	!- Absorptance:Visible
0.4,	!- Max volumetric moisture content of the soil layer (saturation)
0.01,	!- Min (residual) volumetric moisture content of the soil layer
0.2;	!- Initial volumetric moisture content of the soil layer

MATERIAL:ECOROOF,

ThickSoil,	!- Name
0.1,	!- Height of Plants {m}
2.5,	!- Leaf Area Index {dimensionless}
0.2,	!- Leaf Reflectivity {dimensionless}
0.95,	!- Leaf Emissivity
180,	!- Minimum Stomatal Resistance (s/m)

EcoRoofSoil, !- Name Of the Soil Layer

MediumSmooth,	!- Roughness
0.2,	!- Thickness {m}
0.4,	!- Conductivity (dry soil) {W/m-K}
641,	!- Density (dry soil) {kg/m3}
1100,	!- Specific Heat (dry soil) {J/kg-K}
0.95,	!- Absorptance:Thermal
0.6,	!- Absorptance:Solar
0.7,	!- Absorptance:Visible
0.4,	!- Max volumetric moisture content of the soil layer (saturation)

0.01, !- Min (residual) volumetric moisture content of the soil layer
 0.2; !- Initial volumetric moisture content of the soil layer

MATERIAL:ECOROOF,

HL+TS,	!- Name
0.1,	!- Height of Plants {m}
4.2,	!- Leaf Area Index {dimensionless}
0.2,	!- Leaf Reflectivity {dimensionless}
0.95,	!- Leaf Emissivity
180,	!- Minimum Stomatal Resistance (s/m)
Ecoroof Soil,	!- Name Of the Soil Layer
MediumRough,	!- Roughness
0.2,	!- Thickness {m}
0.4,	!- Conductivity (dry soil) {W/m-K}
641,	!- Density (dry soil) {kg/m3}
1100,	!- Specific Heat (dry soil) {J/kg-K}
0.95,	!- Absorptance:Thermal
0.7,	!- Absorptance:Solar
0.7,	!- Absorptance:Visible
0.4,	!- Max volumetric moisture content of the soil layer (saturation)
0.01,	!- Min (residual) volumetric moisture content of the soil layer
0.2;	!- Initial volumetric moisture content of the soil layer

!- ===== ALL OBJECTS IN CLASS: CONSTRUCTION =====

CONSTRUCTION,

Wall01,	!- Name
TH05-A-Brick-dry-plaster-cement-tile;	!- Outside Layer

CONSTRUCTION,

Roof01_Slab, !- Name
TH06-Concrete; !- Outside Layer

CONSTRUCTION,

Roof02_Base Eco, !- Name
BaseEco, !- Outside Layer
TH06-Concrete; !- Layer #2

CONSTRUCTION,

Roof03_HiLAI, !- Name
HiLAI, !- Outside Layer
TH06-Concrete; !- Layer #2

CONSTRUCTION,

Roof04_ThickSoil, !- Name
ThickSoil, !- Outside Layer
TH06-Concrete; !- Layer #2

CONSTRUCTION,

Window01, !- Name
CLEAR 6MM; !- Outside Layer

CONSTRUCTION,

Door01, !- Name
G06 50mm wood; !- Outside Layer

CONSTRUCTION,

Floor01, !- Name

TH06-Concrete, !- Outside Layer

Tile: asphalt - linoleum - vinyl - rubber; !- Layer #2

!- ===== ALL OBJECTS IN CLASS: ZONE =====

ZONE,

WRK, !- Zone Name

0, !- Relative North (to building) {deg}

0, !- X Origin {m}

0, !- Y Origin {m}

14, !- Z Origin {m}

1, !- Type

1, !- Multiplier

-100, !- Ceiling Height {m}

-100, !- Volume {m3}

Detailed, !- Zone Inside Convection Algorithm

, !- Zone Outside Convection Algorithm

Yes; !- Part of Total Floor Area

!- ===== ALL OBJECTS IN CLASS: SURFACEGEOMETRY =====

SurfaceGeometry,

LowerLeftCorner, !- SurfaceStartingPosition

CounterClockWise, !- VertexEntry

relative; !- CoordinateSystem

!- ===== ALL OBJECTS IN CLASS: SURFACE:HEATTRANSFER

=====

Surface:HeatTransfer,

WRK_S1, !- User Supplied Surface Name

WALL, !- Surface Type

Wall01, !- Construction Name of the Surface
 WRK, !- Zone Name
 ExteriorEnvironment, !- OutsideFaceEnvironment
 , !- OutsideFaceEnvironment Object
 SunExposed, !- Sun Exposure
 WindExposed, !- Wind Exposure
 autocalculate, !- View Factor to Ground
 autocalculate, !- Number of Surface Vertex Groups -- Number of (X,Y,Z) groups
 in this surface

0, !- Vertex 1 X-coordinate {m}
 0, !- Vertex 1 Y-coordinate {m}
 0, !- Vertex 1 Z-coordinate {m}
 4, !- Vertex 2 X-coordinate {m}
 0, !- Vertex 2 Y-coordinate {m}
 0, !- Vertex 2 Z-coordinate {m}
 4, !- Vertex 3 X-coordinate {m}
 0, !- Vertex 3 Y-coordinate {m}
 3.2, !- Vertex 3 Z-coordinate {m}
 0, !- Vertex 4 X-coordinate {m}
 0, !- Vertex 4 Y-coordinate {m}
 3.2; !- Vertex 4 Z-coordinate {m}

Surface:HeatTransfer,
 WRK_E1, !- User Supplied Surface Name
 WALL, !- Surface Type
 Wall01, !- Construction Name of the Surface
 WRK, !- Zone Name
 OtherZoneSurface, !- OutsideFaceEnvironment
 WRK_E1, !- OutsideFaceEnvironment Object
 NoSun, !- Sun Exposure

NoWind, !- Wind Exposure
 autocalculate, !- View Factor to Ground
 autocalculate, !- Number of Surface Vertex Groups -- Number of (X,Y,Z) groups
 in this surface

```

  4,                !- Vertex 1 X-coordinate {m}
  0,                !- Vertex 1 Y-coordinate {m}
  0,                !- Vertex 1 Z-coordinate {m}
  4,                !- Vertex 2 X-coordinate {m}
  6,                !- Vertex 2 Y-coordinate {m}
  0,                !- Vertex 2 Z-coordinate {m}
  4,                !- Vertex 3 X-coordinate {m}
  6,                !- Vertex 3 Y-coordinate {m}
  3.2,             !- Vertex 3 Z-coordinate {m}
  4,                !- Vertex 4 X-coordinate {m}
  0,                !- Vertex 4 Y-coordinate {m}
  3.2;             !- Vertex 4 Z-coordinate {m}
```

Surface:HeatTransfer,
 WRK_N1, !- User Supplied Surface Name
 WALL, !- Surface Type
 Wall01, !- Construction Name of the Surface
 WRK, !- Zone Name
 OtherZoneSurface, !- OutsideFaceEnvironment
 WRK_N1, !- OutsideFaceEnvironment Object
 NoSun, !- Sun Exposure
 NoWind, !- Wind Exposure
 autocalculate, !- View Factor to Ground
 autocalculate, !- Number of Surface Vertex Groups -- Number of (X,Y,Z) groups
 in this surface

```

4,           !- Vertex 1 X-coordinate {m}
6,           !- Vertex 1 Y-coordinate {m}
0,           !- Vertex 1 Z-coordinate {m}
0,           !- Vertex 2 X-coordinate {m}
6,           !- Vertex 2 Y-coordinate {m}
0,           !- Vertex 2 Z-coordinate {m}
0,           !- Vertex 3 X-coordinate {m}
6,           !- Vertex 3 Y-coordinate {m}
3.2,         !- Vertex 3 Z-coordinate {m}
4,           !- Vertex 4 X-coordinate {m}
6,           !- Vertex 4 Y-coordinate {m}
3.2;         !- Vertex 4 Z-coordinate {m}

```

Surface:HeatTransfer,

```

WRK_W1,      !- User Supplied Surface Name
WALL,        !- Surface Type
Wall01,       !- Construction Name of the Surface
WRK,          !- Zone Name
OtherZoneSurface,   !- OutsideFaceEnvironment
WRK_W1,      !- OutsideFaceEnvironment Object
NoSun,        !- Sun Exposure
NoWind,       !- Wind Exposure
autocalculate, !- View Factor to Ground
autocalculate, !- Number of Surface Vertex Groups -- Number of (X,Y,Z) groups
in this surface

```

```

0,           !- Vertex 1 X-coordinate {m}
6,           !- Vertex 1 Y-coordinate {m}
0,           !- Vertex 1 Z-coordinate {m}
0,           !- Vertex 2 X-coordinate {m}

```

```

0,           !- Vertex 2 Y-coordinate {m}
0,           !- Vertex 2 Z-coordinate {m}
0,           !- Vertex 3 X-coordinate {m}
0,           !- Vertex 3 Y-coordinate {m}
3.2,         !- Vertex 3 Z-coordinate {m}
0,           !- Vertex 4 X-coordinate {m}
6,           !- Vertex 4 Y-coordinate {m}
3.2;         !- Vertex 4 Z-coordinate {m}

```

Surface:HeatTransfer,

```

WRK_F1,       !- User Supplied Surface Name
FLOOR,        !- Surface Type
Floor01,      !- Construction Name of the Surface
WRK,          !- Zone Name
OtherZoneSurface,   !- OutsideFaceEnvironment
WRK_F1,       !- OutsideFaceEnvironment Object
NoSun,         !- Sun Exposure
NoWind,        !- Wind Exposure
autocalculate, !- View Factor to Ground
autocalculate, !- Number of Surface Vertex Groups -- Number of (X,Y,Z) groups

```

in this surface

```

0,           !- Vertex 1 X-coordinate {m}
6,           !- Vertex 1 Y-coordinate {m}
0,           !- Vertex 1 Z-coordinate {m}
4,           !- Vertex 2 X-coordinate {m}
6,           !- Vertex 2 Y-coordinate {m}
0,           !- Vertex 2 Z-coordinate {m}
4,           !- Vertex 3 X-coordinate {m}
0,           !- Vertex 3 Y-coordinate {m}

```

```

0,           !- Vertex 3 Z-coordinate {m}
0,           !- Vertex 4 X-coordinate {m}
0,           !- Vertex 4 Y-coordinate {m}
0;           !- Vertex 4 Z-coordinate {m}

```

Surface:HeatTransfer,

```

WRK_R1,          !- User Supplied Surface Name
ROOF,            !- Surface Type
Roof01_Slab,     !- Construction Name of the Surface
WRK,              !- Zone Name
ExteriorEnvironment, !- OutsideFaceEnvironment
,                  !- OutsideFaceEnvironment Object
SunExposed,       !- Sun Exposure
WindExposed,      !- Wind Exposure
autocalculate,    !- View Factor to Ground
autocalculate,    !- Number of Surface Vertex Groups -- Number of (X,Y,Z) groups

```

in this surface

```

0,           !- Vertex 1 X-coordinate {m}
0,           !- Vertex 1 Y-coordinate {m}
3.2,         !- Vertex 1 Z-coordinate {m}
4,           !- Vertex 2 X-coordinate {m}
0,           !- Vertex 2 Y-coordinate {m}
3.2,         !- Vertex 2 Z-coordinate {m}
4,           !- Vertex 3 X-coordinate {m}
6,           !- Vertex 3 Y-coordinate {m}
3.2,         !- Vertex 3 Z-coordinate {m}
0,           !- Vertex 4 X-coordinate {m}
6,           !- Vertex 4 Y-coordinate {m}
3.2;         !- Vertex 4 Z-coordinate {m}

```

!- ===== ALL OBJECTS IN CLASS: SURFACE:HEATTRANSFER:SUB
 =====

Surface:HeatTransfer:Sub,

WRK_S1_W1, !- User Supplied Surface Name
 WINDOW, !- Surface Type
 Window01, !- Construction Name of the Surface
 WRK_S1, !- Base Surface Name
 , !- OutsideFaceEnvironment Object
 autocalculate, !- View Factor to Ground
 , !- Name of shading control
 , !- WindowFrameAndDivider Name
 1, !- Multiplier
 4, !- Number of Surface Vertex Groups -- Number of (X,Y,Z) groups in
 this surface
 0.5, !- Vertex 1 X-coordinate {m}
 0, !- Vertex 1 Y-coordinate {m}
 0.9, !- Vertex 1 Z-coordinate {m}
 3.5, !- Vertex 2 X-coordinate {m}
 0, !- Vertex 2 Y-coordinate {m}
 0.9, !- Vertex 2 Z-coordinate {m}
 3.5, !- Vertex 3 X-coordinate {m}
 0, !- Vertex 3 Y-coordinate {m}
 2.5, !- Vertex 3 Z-coordinate {m}
 0.5, !- Vertex 4 X-coordinate {m}
 0, !- Vertex 4 Y-coordinate {m}
 2.5; !- Vertex 4 Z-coordinate {m}

Surface:HeatTransfer:Sub,

WRK_N1_D1, !- User Supplied Surface Name

DOOR, !- Surface Type
 Door01, !- Construction Name of the Surface
 WRK_N1, !- Base Surface Name
 WRK_N1_D1, !- OutsideFaceEnvironment Object
 autocalculate, !- View Factor to Ground
 , !- Name of shading control
 , !- WindowFrameAndDivider Name
 1, !- Multiplier
 4, !- Number of Surface Vertex Groups -- Number of (X,Y,Z) groups in
 this surface
 1.3, !- Vertex 1 X-coordinate {m}
 6, !- Vertex 1 Y-coordinate {m}
 0, !- Vertex 1 Z-coordinate {m}
 0.3, !- Vertex 2 X-coordinate {m}
 6, !- Vertex 2 Y-coordinate {m}
 0, !- Vertex 2 Z-coordinate {m}
 0.3, !- Vertex 3 X-coordinate {m}
 6, !- Vertex 3 Y-coordinate {m}
 2, !- Vertex 3 Z-coordinate {m}
 1.3, !- Vertex 4 X-coordinate {m}
 6, !- Vertex 4 Y-coordinate {m}
 2; !- Vertex 4 Z-coordinate {m}

!- ===== ALL OBJECTS IN CLASS: SURFACE:SHADING:ATTACHED
 =====
 Surface:Shading:Attached,
 WRK_S1_FIN1, !- User Supplied Surface Name
 WRK_S1, !- Base Surface Name
 , !- TransSchedShadowSurf

4, !- Number of Surface Vertex Groups -- Number of (X,Y,Z) groups in
this surface

```
0,                   !- Vertex 1 X-coordinate {m}
0,                   !- Vertex 1 Y-coordinate {m}
3.2,                !- Vertex 1 Z-coordinate {m}
4,                   !- Vertex 2 X-coordinate {m}
0,                   !- Vertex 2 Y-coordinate {m}
3.2,                !- Vertex 2 Z-coordinate {m}
4,                   !- Vertex 3 X-coordinate {m}
-1,                 !- Vertex 3 Y-coordinate {m}
3.2,                !- Vertex 3 Z-coordinate {m}
0,                   !- Vertex 4 X-coordinate {m}
-1,                 !- Vertex 4 Y-coordinate {m}
3.2;                !- Vertex 4 Z-coordinate {m}
```

Surface:Shading:Attached,

WRK_S1_FIN2, !- User Supplied Surface Name
WRK_S1, !- Base Surface Name
, !- TransSchedShadowSurf
4, !- Number of Surface Vertex Groups -- Number of (X,Y,Z) groups in
this surface

```
0,                   !- Vertex 1 X-coordinate {m}
-1,                 !- Vertex 1 Y-coordinate {m}
3.2,                !- Vertex 1 Z-coordinate {m}
4,                   !- Vertex 2 X-coordinate {m}
-1,                 !- Vertex 2 Y-coordinate {m}
3.2,                !- Vertex 2 Z-coordinate {m}
4,                   !- Vertex 3 X-coordinate {m}
-1,                 !- Vertex 3 Y-coordinate {m}
```

```

2.7,           !- Vertex 3 Z-coordinate {m}
0,             !- Vertex 4 X-coordinate {m}
-1,            !- Vertex 4 Y-coordinate {m}
2.7;           !- Vertex 4 Z-coordinate {m}

```

Surface:Shading:Attached,

```

WRK_W1_FIN3,      !- User Supplied Surface Name
WRK_W1,           !- Base Surface Name
,                !- TransSchedShadowSurf
4,               !- Number of Surface Vertex Groups -- Number of (X,Y,Z) groups in
this surface
0,               !- Vertex 1 X-coordinate {m}
0,               !- Vertex 1 Y-coordinate {m}
3.2,             !- Vertex 1 Z-coordinate {m}
0,               !- Vertex 2 X-coordinate {m}
-1,              !- Vertex 2 Y-coordinate {m}
3.2,             !- Vertex 2 Z-coordinate {m}
0,               !- Vertex 3 X-coordinate {m}
-1,              !- Vertex 3 Y-coordinate {m}
2.7,             !- Vertex 3 Z-coordinate {m}
0,               !- Vertex 4 X-coordinate {m}
0,               !- Vertex 4 Y-coordinate {m}
2.7;             !- Vertex 4 Z-coordinate {m}

```

Surface:Shading:Attached,

```

WRK_E1_FIN4,      !- User Supplied Surface Name
WRK_E1,           !- Base Surface Name
,                !- TransSchedShadowSurf

```

4, !- Number of Surface Vertex Groups -- Number of (X,Y,Z) groups in
this surface

```

4,                   !- Vertex 1 X-coordinate {m}
-1,                !- Vertex 1 Y-coordinate {m}
3.2,               !- Vertex 1 Z-coordinate {m}
4,                   !- Vertex 2 X-coordinate {m}
0,                   !- Vertex 2 Y-coordinate {m}
3.2,               !- Vertex 2 Z-coordinate {m}
4,                   !- Vertex 3 X-coordinate {m}
0,                   !- Vertex 3 Y-coordinate {m}
2.7,               !- Vertex 3 Z-coordinate {m}
4,                   !- Vertex 4 X-coordinate {m}
-1,                !- Vertex 4 Y-coordinate {m}
2.7;               !- Vertex 4 Z-coordinate {m}
```

!- ===== ALL OBJECTS IN CLASS: SCHEDULETYPE =====

ScheduleType,
AnyNumber; !- ScheduleType Name

ScheduleType,
Fraction, !- ScheduleType Name
0:1, !- range
CONTINUOUS; !- Numeric Type

ScheduleType,
Temperature, !- ScheduleType Name
0:50, !- range
CONTINUOUS; !- Numeric Type

ScheduleType,
 TempControl, !- ScheduleType Name
 0:4, !- range
 DISCRETE; !- Numeric Type

ScheduleType,
 OnOff, !- ScheduleType Name
 0:1, !- range
 DISCRETE; !- Numeric Type

ScheduleType,
 Activity, !- ScheduleType Name
 0:250, !- range
 CONTINUOUS; !- Numeric Type

!- ===== ALL OBJECTS IN CLASS: DAYSCHEDULE =====

DAYSCHEDULE,
 WRK_INF_WDAY_SCH, !- Name
 Fraction, !- ScheduleType
 1, !- Hour 1
 1, !- Hour 2
 1, !- Hour 3
 1, !- Hour 4
 1, !- Hour 5
 1, !- Hour 6
 1, !- Hour 7
 1, !- Hour 8
 1, !- Hour 9

```

1,          !- Hour 10
1,          !- Hour 11
1,          !- Hour 12
1,          !- Hour 13
1,          !- Hour 14
1,          !- Hour 15
1,          !- Hour 16
1,          !- Hour 17
1,          !- Hour 18
1,          !- Hour 19
1,          !- Hour 20
1,          !- Hour 21
1,          !- Hour 22
1,          !- Hour 23
1;         !- Hour 24

```

DAYSCHEDE,

```

WRK_INF_SDAY_SCH,      !- Name
Fraction,           !- ScheduleType
1,          !- Hour 1
1,          !- Hour 2
1,          !- Hour 3
1,          !- Hour 4
1,          !- Hour 5
1,          !- Hour 6
1,          !- Hour 7
1,          !- Hour 8
1,          !- Hour 9
1,          !- Hour 10

```

```

1,           !- Hour 11
1,           !- Hour 12
1,           !- Hour 13
1,           !- Hour 14
1,           !- Hour 15
1,           !- Hour 16
1,           !- Hour 17
1,           !- Hour 18
1,           !- Hour 19
1,           !- Hour 20
1,           !- Hour 21
1,           !- Hour 22
1,           !- Hour 23
1;          !- Hour 24

```

DAYSCHEDEULE,

```

WRK_INF_HDAY_SCH,      !- Name
Fraction,              !- ScheduleType
1,           !- Hour 1
1,           !- Hour 2
1,           !- Hour 3
1,           !- Hour 4
1,           !- Hour 5
1,           !- Hour 6
1,           !- Hour 7
1,           !- Hour 8
1,           !- Hour 9
1,           !- Hour 10
1,           !- Hour 11

```

```

1,           !- Hour 12
1,           !- Hour 13
1,           !- Hour 14
1,           !- Hour 15
1,           !- Hour 16
1,           !- Hour 17
1,           !- Hour 18
1,           !- Hour 19
1,           !- Hour 20
1,           !- Hour 21
1,           !- Hour 22
1,           !- Hour 23
1;          !- Hour 24

```

DAYSCHEDEULE,

```

WRK_PPL_WDAY_SCH,      !- Name
Fraction,              !- ScheduleType
0,           !- Hour 1
0,           !- Hour 2
0,           !- Hour 3
0,           !- Hour 4
0,           !- Hour 5
0,           !- Hour 6
0,           !- Hour 7
0,           !- Hour 8
0,           !- Hour 9
1,           !- Hour 10
1,           !- Hour 11
1,           !- Hour 12

```

```

1,          !- Hour 13
1,          !- Hour 14
1,          !- Hour 15
1,          !- Hour 16
1,          !- Hour 17
1,          !- Hour 18
0,          !- Hour 19
0,          !- Hour 20
0,          !- Hour 21
0,          !- Hour 22
0,          !- Hour 23
0;         !- Hour 24

```

DAYSCHEDE,

```

WRK_PPL_SDAY_SCH,      !- Name
Fraction,              !- ScheduleType
0,          !- Hour 1
0,          !- Hour 2
0,          !- Hour 3
0,          !- Hour 4
0,          !- Hour 5
0,          !- Hour 6
0,          !- Hour 7
0,          !- Hour 8
0,          !- Hour 9
1,          !- Hour 10
1,          !- Hour 11
1,          !- Hour 12
1,          !- Hour 13

```

```

1,          !- Hour 14
1,          !- Hour 15
1,          !- Hour 16
1,          !- Hour 17
1,          !- Hour 18
0,          !- Hour 19
0,          !- Hour 20
0,          !- Hour 21
0,          !- Hour 22
0,          !- Hour 23
0;         !- Hour 24

```

DAYSCHEDEULE,

```

WRK_PPL_HDAY_SCH,      !- Name
Fraction,           !- ScheduleType
0,          !- Hour 1
0,          !- Hour 2
0,          !- Hour 3
0,          !- Hour 4
0,          !- Hour 5
0,          !- Hour 6
0,          !- Hour 7
0,          !- Hour 8
0,          !- Hour 9
0,          !- Hour 10
0,          !- Hour 11
0,          !- Hour 12
0,          !- Hour 13
0,          !- Hour 14

```

```

0,           !- Hour 15
0,           !- Hour 16
0,           !- Hour 17
0,           !- Hour 18
0,           !- Hour 19
0,           !- Hour 20
0,           !- Hour 21
0,           !- Hour 22
0,           !- Hour 23
0;          !- Hour 24

```

DAYSCHEDEULE,

```

WRK_ATV_WDAY_SCH,      !- Name
Activity,              !- ScheduleType
0,           !- Hour 1
0,           !- Hour 2
0,           !- Hour 3
0,           !- Hour 4
0,           !- Hour 5
0,           !- Hour 6
0,           !- Hour 7
0,           !- Hour 8
0,           !- Hour 9
108,        !- Hour 10
108,        !- Hour 11
108,        !- Hour 12
108,        !- Hour 13
108,        !- Hour 14
108,        !- Hour 15

```

```

108,           !- Hour 16
108,           !- Hour 17
108,           !- Hour 18
0,             !- Hour 19
0,             !- Hour 20
0,             !- Hour 21
0,             !- Hour 22
0,             !- Hour 23
0;            !- Hour 24

```

DAYSCHEDEULE,

```

WRK_ATV_SDAY_SCH,      !- Name
Activity,              !- ScheduleType
0,                     !- Hour 1
0,                     !- Hour 2
0,                     !- Hour 3
0,                     !- Hour 4
0,                     !- Hour 5
0,                     !- Hour 6
0,                     !- Hour 7
0,                     !- Hour 8
0,                     !- Hour 9
108,                  !- Hour 10
108,                  !- Hour 11
108,                  !- Hour 12
108,                  !- Hour 13
108,                  !- Hour 14
108,                  !- Hour 15
108,                  !- Hour 16

```

108, !- Hour 17
108, !- Hour 18
0, !- Hour 19
0, !- Hour 20
0, !- Hour 21
0, !- Hour 22
0, !- Hour 23
0; !- Hour 24

DAYSCHEDEULE,

WRK_ATV_HDAY_SCH, !- Name
Activity, !- ScheduleType
0, !- Hour 1
0, !- Hour 2
0, !- Hour 3
0, !- Hour 4
0, !- Hour 5
0, !- Hour 6
0, !- Hour 7
0, !- Hour 8
0, !- Hour 9
0, !- Hour 10
0, !- Hour 11
0, !- Hour 12
0, !- Hour 13
0, !- Hour 14
0, !- Hour 15
0, !- Hour 16
0, !- Hour 17

```
0,           !- Hour 18
0,           !- Hour 19
0,           !- Hour 20
0,           !- Hour 21
0,           !- Hour 22
0,           !- Hour 23
0;          !- Hour 24
```

DAYSCHEDE,

```
WRK_LTG_WDAY_SCH,      !- Name
Fraction,            !- ScheduleType
0,           !- Hour 1
0,           !- Hour 2
0,           !- Hour 3
0,           !- Hour 4
0,           !- Hour 5
0,           !- Hour 6
0,           !- Hour 7
0,           !- Hour 8
0,           !- Hour 9
1,           !- Hour 10
1,           !- Hour 11
1,           !- Hour 12
1,           !- Hour 13
1,           !- Hour 14
1,           !- Hour 15
1,           !- Hour 16
1,           !- Hour 17
1,           !- Hour 18
```

```

0,           !- Hour 19
0,           !- Hour 20
0,           !- Hour 21
0,           !- Hour 22
0,           !- Hour 23
0;          !- Hour 24

```

DAYSCHEDE,

```

WRK_LTG_SDAY_SCH,      !- Name
Fraction,              !- ScheduleType
0,           !- Hour 1
0,           !- Hour 2
0,           !- Hour 3
0,           !- Hour 4
0,           !- Hour 5
0,           !- Hour 6
0,           !- Hour 7
0,           !- Hour 8
0,           !- Hour 9
1,           !- Hour 10
1,           !- Hour 11
1,           !- Hour 12
1,           !- Hour 13
1,           !- Hour 14
1,           !- Hour 15
1,           !- Hour 16
1,           !- Hour 17
1,           !- Hour 18
0,           !- Hour 19

```

```
0,           !- Hour 20
0,           !- Hour 21
0,           !- Hour 22
0,           !- Hour 23
0;          !- Hour 24
```

DAYSCHEDEULE,

```
WRK_LTG_HDAY_SCH,      !- Name
Fraction,            !- ScheduleType
0,           !- Hour 1
0,           !- Hour 2
0,           !- Hour 3
0,           !- Hour 4
0,           !- Hour 5
0,           !- Hour 6
0,           !- Hour 7
0,           !- Hour 8
0,           !- Hour 9
0,           !- Hour 10
0,          !- Hour 11
0,          !- Hour 12
0,          !- Hour 13
0,          !- Hour 14
0,          !- Hour 15
0,          !- Hour 16
0,          !- Hour 17
0,          !- Hour 18
0,          !- Hour 19
0,          !- Hour 20
```

```
0,           !- Hour 21
0,           !- Hour 22
0,           !- Hour 23
0;          !- Hour 24
```

DAYSCHEDE,

```
WRK_ETC_WDAY_SCH,      !- Name
Fraction,            !- ScheduleType
0,                  !- Hour 1
0,                  !- Hour 2
0,                  !- Hour 3
0,                  !- Hour 4
0,                  !- Hour 5
0,                  !- Hour 6
0,                  !- Hour 7
0,                  !- Hour 8
0,                  !- Hour 9
1,                  !- Hour 10
1,                  !- Hour 11
1,                  !- Hour 12
1,                  !- Hour 13
1,                  !- Hour 14
1,                  !- Hour 15
1,                  !- Hour 16
1,                  !- Hour 17
1,                  !- Hour 18
0,                  !- Hour 19
0,                  !- Hour 20
0,                  !- Hour 21
```

0, !- Hour 22
0, !- Hour 23
0; !- Hour 24

DAYSCHEDEULE,

WRK_ETC_SDAY_SCH, !- Name
Fraction, !- ScheduleType
0, !- Hour 1
0, !- Hour 2
0, !- Hour 3
0, !- Hour 4
0, !- Hour 5
0, !- Hour 6
0, !- Hour 7
0, !- Hour 8
0, !- Hour 9
1, !- Hour 10
1, !- Hour 11
1, !- Hour 12
1, !- Hour 13
1, !- Hour 14
1, !- Hour 15
1, !- Hour 16
1, !- Hour 17
1, !- Hour 18
0, !- Hour 19
0, !- Hour 20
0, !- Hour 21
0, !- Hour 22

0, !- Hour 23
0; !- Hour 24

DAYSCHEDE,

WRK_ETC_HDAY_SCH, !- Name
Fraction, !- ScheduleType
0, !- Hour 1
0, !- Hour 2
0, !- Hour 3
0, !- Hour 4
0, !- Hour 5
0, !- Hour 6
0, !- Hour 7
0, !- Hour 8
0, !- Hour 9
0, !- Hour 10
0, !- Hour 11
0, !- Hour 12
0, !- Hour 13
0, !- Hour 14
0, !- Hour 15
0, !- Hour 16
0, !- Hour 17
0, !- Hour 18
0, !- Hour 19
0, !- Hour 20
0, !- Hour 21
0, !- Hour 22
0, !- Hour 23

0; !- Hour 24

DAYSCHEDEULE,

WRK_CTMP_WDAY_SCH, !- Name

Temperature, !- ScheduleType

50, !- Hour 1

50, !- Hour 2

50, !- Hour 3

50, !- Hour 4

50, !- Hour 5

50, !- Hour 6

50, !- Hour 7

50, !- Hour 8

50, !- Hour 9

25, !- Hour 10

25, !- Hour 11

25, !- Hour 12

25, !- Hour 13

25, !- Hour 14

25, !- Hour 15

25, !- Hour 16

25, !- Hour 17

25, !- Hour 18

50, !- Hour 19

50, !- Hour 20

50, !- Hour 21

50, !- Hour 22

50, !- Hour 23

50; !- Hour 24

DAYSCHEDULE,
WRK_CTMP_SDAY_SCH, !- Name
Temperature, !- ScheduleType
50, !- Hour 1
50, !- Hour 2
50, !- Hour 3
50, !- Hour 4
50, !- Hour 5
50, !- Hour 6
50, !- Hour 7
50, !- Hour 8
25, !- Hour 9
25, !- Hour 10
25, !- Hour 11
25, !- Hour 12
25, !- Hour 13
25, !- Hour 14
25, !- Hour 15
25, !- Hour 16
25, !- Hour 17
25, !- Hour 18
50, !- Hour 19
50, !- Hour 20
50, !- Hour 21
50, !- Hour 22
50, !- Hour 23
50; !- Hour 24

DAYSCHEDULE,
WRK_CTMP_HDAY_SCH, !- Name
Temperature, !- ScheduleType
50, !- Hour 1
50, !- Hour 2
50, !- Hour 3
50, !- Hour 4
50, !- Hour 5
50, !- Hour 6
50, !- Hour 7
50, !- Hour 8
50, !- Hour 9
50, !- Hour 10
50, !- Hour 11
50, !- Hour 12
50, !- Hour 13
50, !- Hour 14
50, !- Hour 15
50, !- Hour 16
50, !- Hour 17
50, !- Hour 18
50, !- Hour 19
50, !- Hour 20
50, !- Hour 21
50, !- Hour 22
50, !- Hour 23
50; !- Hour 24

DAYSCHEDULE,
WRK_CTL_WDAY_SCH, !- Name
TempControl, !- ScheduleType
0, !- Hour 1
0, !- Hour 2
0, !- Hour 3
0, !- Hour 4
0, !- Hour 5
0, !- Hour 6
0, !- Hour 7
0, !- Hour 8
0, !- Hour 9
2, !- Hour 10
2, !- Hour 11
2, !- Hour 12
2, !- Hour 13
2, !- Hour 14
2, !- Hour 15
2, !- Hour 16
2, !- Hour 17
2, !- Hour 18
0, !- Hour 19
0, !- Hour 20
0, !- Hour 21
0, !- Hour 22
0, !- Hour 23
0; !- Hour 24

DAYSCHEDULE,
WRK_CTL_SDAY_SCH, !- Name
TempControl, !- ScheduleType
0, !- Hour 1
0, !- Hour 2
0, !- Hour 3
0, !- Hour 4
0, !- Hour 5
0, !- Hour 6
0, !- Hour 7
0, !- Hour 8
0, !- Hour 9
2, !- Hour 10
2, !- Hour 11
2, !- Hour 12
2, !- Hour 13
2, !- Hour 14
2, !- Hour 15
2, !- Hour 16
2, !- Hour 17
2, !- Hour 18
0, !- Hour 19
0, !- Hour 20
0, !- Hour 21
0, !- Hour 22
0, !- Hour 23
0; !- Hour 24

DAYSCHEDULE,
WRK_CTL_HDAY_SCH, !- Name
TempControl, !- ScheduleType
0, !- Hour 1
0, !- Hour 2
0, !- Hour 3
0, !- Hour 4
0, !- Hour 5
0, !- Hour 6
0, !- Hour 7
0, !- Hour 8
0, !- Hour 9
0, !- Hour 10
0, !- Hour 11
0, !- Hour 12
0, !- Hour 13
0, !- Hour 14
0, !- Hour 15
0, !- Hour 16
0, !- Hour 17
0, !- Hour 18
0, !- Hour 19
0, !- Hour 20
0, !- Hour 21
0, !- Hour 22
0, !- Hour 23
0; !- Hour 24

!- ===== ALL OBJECTS IN CLASS: WEEKSCHEDULE =====

WEEKSCHEDULE,

WRK_INF_WEEK_SCH,	!- Name
WRK_INF_HDAY_SCH,	!- Sunday DAYSCHEDULE Name
WRK_INF_WDAY_SCH,	!- Monday DAYSCHEDULE Name
WRK_INF_WDAY_SCH,	!- Tuesday DAYSCHEDULE Name
WRK_INF_WDAY_SCH,	!- Wednesday DAYSCHEDULE Name
WRK_INF_WDAY_SCH,	!- Thursday DAYSCHEDULE Name
WRK_INF_WDAY_SCH,	!- Friday DAYSCHEDULE Name
WRK_INF_SDAY_SCH,	!- Saturday DAYSCHEDULE Name
WRK_INF_HDAY_SCH,	!- Holiday DAYSCHEDULE Name
WRK_INF_WDAY_SCH,	!- SummerDesignDay DAYSCHEDULE Name
WRK_INF_WDAY_SCH,	!- WinterDesignDay DAYSCHEDULE Name
WRK_INF_WDAY_SCH,	!- CustomDay1 DAYSCHEDULE Name
WRK_INF_WDAY_SCH;	!- CustomDay2 DAYSCHEDULE Name

WEEKSCHEDULE,

WRK_PPL_WEEK_SCH,	!- Name
WRK_PPL_HDAY_SCH,	!- Sunday DAYSCHEDULE Name
WRK_PPL_WDAY_SCH,	!- Monday DAYSCHEDULE Name
WRK_PPL_WDAY_SCH,	!- Tuesday DAYSCHEDULE Name
WRK_PPL_WDAY_SCH,	!- Wednesday DAYSCHEDULE Name
WRK_PPL_WDAY_SCH,	!- Thursday DAYSCHEDULE Name
WRK_PPL_WDAY_SCH,	!- Friday DAYSCHEDULE Name
WRK_PPL_SDAY_SCH,	!- Saturday DAYSCHEDULE Name
WRK_PPL_HDAY_SCH,	!- Holiday DAYSCHEDULE Name
WRK_PPL_WDAY_SCH,	!- SummerDesignDay DAYSCHEDULE Name
WRK_PPL_WDAY_SCH,	!- WinterDesignDay DAYSCHEDULE Name
WRK_PPL_WDAY_SCH,	!- CustomDay1 DAYSCHEDULE Name

WRK_PPL_WDAY_SCH; !- CustomDay2 DAYSCHEDULE Name

WEEKSCHEDULE,

WRK_ATV_WEEK_SCH,	!- Name
WRK_ATV_HDAY_SCH,	!- Sunday DAYSCHEDULE Name
WRK_ATV_WDAY_SCH,	!- Monday DAYSCHEDULE Name
WRK_ATV_WDAY_SCH,	!- Tuesday DAYSCHEDULE Name
WRK_ATV_WDAY_SCH,	!- Wednesday DAYSCHEDULE Name
WRK_ATV_WDAY_SCH,	!- Thursday DAYSCHEDULE Name
WRK_ATV_WDAY_SCH,	!- Friday DAYSCHEDULE Name
WRK_ATV_SDAY_SCH,	!- Saturday DAYSCHEDULE Name
WRK_ATV_HDAY_SCH,	!- Holiday DAYSCHEDULE Name
WRK_ATV_WDAY_SCH,	!- SummerDesignDay DAYSCHEDULE Name
WRK_ATV_WDAY_SCH,	!- WinterDesignDay DAYSCHEDULE Name
WRK_ATV_WDAY_SCH,	!- CustomDay1 DAYSCHEDULE Name
WRK_ATV_WDAY_SCH;	!- CustomDay2 DAYSCHEDULE Name

WEEKSCHEDULE,

WRK_LTG_WEEK_SCH,	!- Name
WRK_LTG_HDAY_SCH,	!- Sunday DAYSCHEDULE Name
WRK_LTG_WDAY_SCH,	!- Monday DAYSCHEDULE Name
WRK_LTG_WDAY_SCH,	!- Tuesday DAYSCHEDULE Name
WRK_LTG_WDAY_SCH,	!- Wednesday DAYSCHEDULE Name
WRK_LTG_WDAY_SCH,	!- Thursday DAYSCHEDULE Name
WRK_LTG_WDAY_SCH,	!- Friday DAYSCHEDULE Name
WRK_LTG_SDAY_SCH,	!- Saturday DAYSCHEDULE Name
WRK_LTG_HDAY_SCH,	!- Holiday DAYSCHEDULE Name
WRK_LTG_WDAY_SCH,	!- SummerDesignDay DAYSCHEDULE Name
WRK_LTG_WDAY_SCH,	!- WinterDesignDay DAYSCHEDULE Name

WRK_LTG_WDAY_SCH,	!- CustomDay1 DAYSCHEDULE Name
WRK_LTG_WDAY_SCH;	!- CustomDay2 DAYSCHEDULE Name

WEEKSCHEDULE,

WRK_ETC_WEEK_SCH,	!- Name
WRK_ETC_HDAY_SCH,	!- Sunday DAYSCHEDULE Name
WRK_ETC_WDAY_SCH,	!- Monday DAYSCHEDULE Name
WRK_ETC_WDAY_SCH,	!- Tuesday DAYSCHEDULE Name
WRK_ETC_WDAY_SCH,	!- Wednesday DAYSCHEDULE Name
WRK_ETC_WDAY_SCH,	!- Thursday DAYSCHEDULE Name
WRK_ETC_WDAY_SCH,	!- Friday DAYSCHEDULE Name
WRK_ETC_SDAY_SCH,	!- Saturday DAYSCHEDULE Name
WRK_ETC_HDAY_SCH,	!- Holiday DAYSCHEDULE Name
WRK_ETC_WDAY_SCH,	!- SummerDesignDay DAYSCHEDULE Name
WRK_ETC_WDAY_SCH,	!- WinterDesignDay DAYSCHEDULE Name
WRK_ETC_WDAY_SCH,	!- CustomDay1 DAYSCHEDULE Name
WRK_ETC_WDAY_SCH;	!- CustomDay2 DAYSCHEDULE Name

WEEKSCHEDULE,

WRK_CTMP_WEEK_SCH,	!- Name
WRK_CTMP_HDAY_SCH,	!- Sunday DAYSCHEDULE Name
WRK_CTMP_WDAY_SCH,	!- Monday DAYSCHEDULE Name
WRK_CTMP_WDAY_SCH,	!- Tuesday DAYSCHEDULE Name
WRK_CTMP_WDAY_SCH,	!- Wednesday DAYSCHEDULE Name
WRK_CTMP_WDAY_SCH,	!- Thursday DAYSCHEDULE Name
WRK_CTMP_WDAY_SCH,	!- Friday DAYSCHEDULE Name
WRK_CTMP_SDAY_SCH,	!- Saturday DAYSCHEDULE Name
WRK_CTMP_HDAY_SCH,	!- Holiday DAYSCHEDULE Name
WRK_CTMP_WDAY_SCH,	!- SummerDesignDay DAYSCHEDULE Name

WRK_CTMP_WDAY_SCH,	!- WinterDesignDay DAYSCHEDULE Name
WRK_CTMP_WDAY_SCH,	!- CustomDay1 DAYSCHEDULE Name
WRK_CTMP_WDAY_SCH;	!- CustomDay2 DAYSCHEDULE Name

WEEKSCHEDULE,

WRK_CTL_WEEK_SCH,	!- Name
WRK_CTL_HDAY_SCH,	!- Sunday DAYSCHEDULE Name
WRK_CTL_WDAY_SCH,	!- Monday DAYSCHEDULE Name
WRK_CTL_WDAY_SCH,	!- Tuesday DAYSCHEDULE Name
WRK_CTL_WDAY_SCH,	!- Wednesday DAYSCHEDULE Name
WRK_CTL_WDAY_SCH,	!- Thursday DAYSCHEDULE Name
WRK_CTL_WDAY_SCH,	!- Friday DAYSCHEDULE Name
WRK_CTL_SDAY_SCH,	!- Saturday DAYSCHEDULE Name
WRK_CTL_HDAY_SCH,	!- Holiday DAYSCHEDULE Name
WRK_CTL_WDAY_SCH,	!- SummerDesignDay DAYSCHEDULE Name
WRK_CTL_WDAY_SCH,	!- WinterDesignDay DAYSCHEDULE Name
WRK_CTL_WDAY_SCH,	!- CustomDay1 DAYSCHEDULE Name
WRK_CTL_WDAY_SCH;	!- CustomDay2 DAYSCHEDULE Name

!- ===== ALL OBJECTS IN CLASS: SCHEDULE =====

SCHEDULE,

WRK_INF_YEAR_SCH,	!- Name
Fraction,	!- ScheduleType
WRK_INF_WEEK_SCH,	!- Name of WEEKSCHEDULE 1
1,	!- Start Month 1
1,	!- Start Day 1
12,	!- End Month 1
31;	!- End Day 1

SCHEDULE,

WRK_PPL_YEAR_SCH, !- Name
 Fraction, !- ScheduleType
 WRK_PPL_WEEK_SCH, !- Name of WEEKSCHEDULE 1
 1, !- Start Month 1
 1, !- Start Day 1
 12, !- End Month 1
 31; !- End Day 1

SCHEDULE,

WRK_ATV_YEAR_SCH, !- Name
 Activity, !- ScheduleType
 WRK_ATV_WEEK_SCH, !- Name of WEEKSCHEDULE 1
 1, !- Start Month 1
 1, !- Start Day 1
 12, !- End Month 1
 31; !- End Day 1

SCHEDULE,

WRK_LTG_YEAR_SCH, !- Name
 Fraction, !- ScheduleType
 WRK_LTG_WEEK_SCH, !- Name of WEEKSCHEDULE 1
 1, !- Start Month 1
 1, !- Start Day 1
 12, !- End Month 1
 31; !- End Day 1

SCHEDULE,

WRK_ETC_YEAR_SCH, !- Name

Fraction, !- ScheduleType
WRK_ETC_WEEK_SCH, !- Name of WEEKSCHEDULE 1
1, !- Start Month 1
1, !- Start Day 1
12, !- End Month 1
31; !- End Day 1

SCHEDULE,
WRK_CTMP_YEAR_SCH, !- Name
Temperature, !- ScheduleType
WRK_CTMP_WEEK_SCH, !- Name of WEEKSCHEDULE 1

1, !- Start Month 1
1, !- Start Day 1
12, !- End Month 1
31; !- End Day 1

SCHEDULE,
WRK_CTL_YEAR_SCH, !- Name
TempControl, !- ScheduleType
WRK_CTL_WEEK_SCH, !- Name of WEEKSCHEDULE 1
1, !- Start Month 1
1, !- Start Day 1
12, !- End Month 1
31; !- End Day 1

!- ===== ALL OBJECTS IN CLASS: PEOPLE =====

PEOPLE,
PEOPLE_WRK, !- Name
WRK, !- Zone Name

WRK_PPL_YEAR_SCH, !- Number of People SCHEDULE Name

people, !- Number of People calculation method

2, !- Number of People

0, !- People per Zone Area {person/m²}

0, !- Zone area per person {m²/person}

0.3, !- Fraction Radian

, !- user specified sensible fraction

WRK_ATV_YEAR_SCH; !- Activity level SCHEDULE Name

!- ===== ALL OBJECTS IN CLASS: LIGHTS =====

LIGHTS,

LIGHTS_WRK, !- Name

WRK, !- Zone Name

WRK_LTG_YEAR_SCH, !- SCHEDULE Name

Lighting Level, !- Design Level calculation method

64, !- Lighting Level {W}

0, !- Watts per Zone Area {W/m²}

0, !- Watts per Person {W/person}

0, !- Return Air Fraction

0.72, !- Fraction Radian

0.18, !- Fraction Visible

0, !- Fraction Replaceable

GeneralLights; !- End-Use Subcategory

!- ===== ALL OBJECTS IN CLASS: ELECTRIC EQUIPMENT =====

ELECTRIC EQUIPMENT,

ELEC_WRK, !- Name

WRK, !- Zone Name

WRK_ETC_YEAR_SCH, !- SCHEDULE Name

Equipment Level, !- Design Level calculation method
 460, !- Design Level {W}
 19.1, !- Watts per Zone Area {W/m²}
 230, !- Watts per Person {W/person}
 , !- Fraction Latent
 , !- Fraction Radiant
 , !- Fraction Lost
 Computer; !- End-Use Subcategory

!- ===== ALL OBJECTS IN CLASS: INFILTRATION =====

INFILTRATION,

INFIL01, !- Name
 WRK, !- Zone Name
 WRK_INF_YEAR_SCH, !- SCHEDULE Name
 ACH, !- Design Volume Flow Rate calculation method
 0, !- Design Volume Flow Rate {m³/s}
 0, !- Flow per Zone Area {m³/s-m²}
 0, !- Flow per Exterior Surface Area {m³/s-m²}
 0.5, !- Air Changes Per Hour
 , !- Constant Term Coefficient
 , !- Temperature Term Coefficient
 , !- Velocity Term Coefficient
 ; !- Velocity Squared Term Coefficient

!- ===== ALL OBJECTS IN CLASS: NODE LIST =====

NODE LIST,

WRK_InletNodes, !- Node List Name
 WRK_Node_1; !- Node_ID_1

!- ===== ALL OBJECTS IN CLASS: CONTROLLED ZONE EQUIP
CONFIGURATION =====

CONTROLLED ZONE EQUIP CONFIGURATION,

WRK, !- Zone Name

WRK_Equipment, !- List Name: Zone Equipment

WRK_InletNodes, !- Node List or Node Name: Zone Air Inlet Node(s)

, !- Node List or Node Name: Zone Air Exhaust Node(s)

WRK_AirNode, !- Zone Air Node Name

WRK_ReturnAirNode; !- Zone Return Air Node Name

!- ===== ALL OBJECTS IN CLASS: ZONE EQUIPMENT LIST
=====

ZONE EQUIPMENT LIST,

WRK_Equipment, !- Name

PURCHASED AIR, !- KEY--Zone Equipment Type 1

WRK_PurchasedAir, !- Type Name 1

1, !- Cooling Priority 1

1; !- Heating Priority 1

!- ===== ALL OBJECTS IN CLASS: PURCHASED AIR =====

PURCHASED AIR,

WRK_PurchasedAir, !- Purchased Air Name

WRK_Node_1, !- Zone Supply Air Node Name

43.33, !- Heating Supply Air Temp {C}

13, !- Cooling Supply Air Temp {C}

0.015, !- Heating Supply Air Humidity Ratio {kg-H₂O/kg-air}

0.01, !- Cooling Supply Air Humidity Ratio {kg-H₂O/kg-air}

NO LIMIT, !- heating limit

autosize, !- Maximum heating air flow rate {m3/s}

NO LIMIT, !- cooling limit

autosize, !- Maximum cooling air flow rate {m3/s}

NO OUTSIDE AIR, !- outside air

autosize; !- Outside air flow rate {m3/s}

!- ===== ALL OBJECTS IN CLASS: ZONE CONTROL:THERMOSTATIC

=====

ZONE CONTROL:THERMOSTATIC,

WRK_Thermostat, !- Thermostat Name

WRK, !- Zone Name

WRK_CTL_YEAR_SCH, !- Control Type SCHEDULE Name

Single Cooling SetPoint, !- Control Type #1

WRK_CoolingSetpoints; !- Control Type Name #1

!- ===== ALL OBJECTS IN CLASS: SINGLE COOLING SETPOINT

=====

SINGLE COOLING SETPOINT,

WRK_CoolingSetpoints, !- Name

WRK_CTMP_YEAR_SCH; !- Setpoint Temperature SCHEDULE Name

!- ===== ALL OBJECTS IN CLASS: REPORT VARIABLE =====

Report Variable,

*, !- Key_Value

Outdoor Dry Bulb , !- Variable_Name

hourly; !- Reporting_Frequency

Report Variable,

*, !- Key_Value

Zone Mean Air Temperature , !- Variable_Name
hourly; !- Reporting_Frequency

Report Variable,
*, !- Key_Value
Surface Inside Temperature, !- Variable_Name
hourly; !- Reporting_Frequency

Report Variable,
*, !- Key_Value
Surface Outside Temperature, !- Variable_Name
hourly; !- Reporting_Frequency

Report Variable,
*, !- Key_Value
Zone Lights Electric Consumption, !- Variable_Name
hourly; !- Reporting_Frequency

Report Variable,
*, !- Key_Value
Zone Electric Equipment Electric Consumption, !- Variable_Name
hourly; !- Reporting_Frequency

Report Variable,
*, !- Key_Value
Zone Infiltration Air Change Rate, !- Variable_Name
hourly; !- Reporting_Frequency

Report Variable,

*; !- Key_Value

Purchased Air Total Cooling Energy, !- Variable_Name

hourly; !- Reporting_Frequency

!- ===== ALL OBJECTS IN CLASS: REPORT =====

Report,

variable dictionary; !- Type_of_Report

Report,

surfaces, !- Type_of_Report

dxf, !- Name_of_Report

Triangulate 3Dface; !- Specifications1_for_Report

Report,

construction; !- Type_of_Report

Report,

Surfaces, !- Type_of_Report

details; !- Name_of_Report

!- ===== ALL OBJECTS IN CLASS: REPORT:TABLE:STYLE =====

Report:Table:Style,

comma, !- ColumnSeparator

JtoKWH; !- UnitConversion

!- ===== ALL OBJECTS IN CLASS: REPORT:TABLE:MONTHLY
=====

Report:Table:Monthly,

Building Monthly Energy Consumption Report, !- Name
2, !- DigitsAfterDecimal
PurchasedCooling:Facility, !- VariableOrMeterName01
SumOrAverage, !- AggregationType01
InteriorLights:Electricity, !- VariableOrMeterName02
SumOrAverage, !- AggregationType02
InteriorEquipment:Electricity, !- VariableOrMeterName03
SumOrAverage; !- AggregationType03

Report:Table:Monthly,

Lighting Energy Consumption Report, !- Name
2, !- DigitsAfterDecimal
InteriorLights:Electricity:Zone:WRK , !- VariableOrMeterName01
SumOrAverage, !- AggregationType01
InteriorLights:Electricity, !- VariableOrMeterName02
SumOrAverage; !- AggregationType02

Report:Table:Monthly,

Electrical Equipment, !- Name
2, !- DigitsAfterDecimal
InteriorEquipment:Electricity:Zone:WRK , !- VariableOrMeterName01
SumOrAverage, !- AggregationType01
InteriorEquipment:Electricity, !- VariableOrMeterName02
SumOrAverage; !- AggregationType02

ประวัติผู้วิจัย

ชื่อ นายวรวุฒิ ธนาวุฒิวัฒนา
 ที่อยู่ 26/4 สุขุมวิท 65 แขวงพระโขนงเหนือ เขตวัฒนา กทม. 10110
 เบอร์โทรศัพท์ 081-8709209
 E-mail wutt_77@yahoo.com

ประวัติการศึกษา

พ.ศ. 2544 สำเร็จการศึกษาจาก คณะสถาปัตยกรรมศาสตร์ มหาวิทยาลัยรังสิต
 พ.ศ. 2549 ศึกษาต่อระดับปริญญาโท สาขาวิชาสถาปัตยกรรม
 บัณฑิตวิทยาลัย มหาวิทยาลัยศิลปากร

ประวัติการทำงาน

พ.ศ. 2544 สถาปนิก บริษัท อาร์ค ชีโร่ ทรี จำกัด
 พ.ศ. 2545-2547 สถาปนิก บริษัท คัลเลอร์ પาร์ตี้ จำกัด
 พ.ศ. 2547-2549 สถาปนิก บริษัท เอ-เซเว่น คอร์ปอเรชัน จำกัด